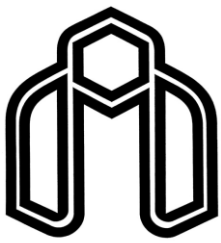


بِسْمِ اللّٰهِ الرَّحْمٰنِ الرَّحِيْمِ



دانشگاه صنعتی شهرود

دانشگاه مهندسی معدن، نفت و ژئوفزیک
کروه مهندسی اسخراج معدن

تعیین قابلیت حفاری معادن سنگ آهن سنگان با استفاده از

طبقه بندی مهندسی توده سنگ

دانشجو: رضا فرخاری

اساتید راهنما

دکتر حسین میرزاei نصیرآباد

دکتر فرهنگ سرشکی

استاد مشاور:

مهندس عبدالرؤوف مشهور

پایان نامه ارشد جهت اخذ درجه کارشناسی ارشد

شهریورماه ۱۳۹۱



مدیریت تحصیلات تکمیلی

فرم شماره (۶)

بسمه تعالیٰ

شماره:
تاریخ:
ویرایش:

فرم صورتجلسه دفاع از پایان نامه تحصیلی دوره کارشناسی ارشد

با تأییدات حداکثر متعال و با استعانت از حضور ولی عصر (عج) ارزیابی جلسه دفاع از پایان نامه کارشناسی ارشد حلم / آقای رضا فرخاری رئیس معدن گرایش استخراج تحت عنوان تعیین قابلیت حفاری معادن سنگ آهن سنجان با استفاده از طبقه‌بندی مهندسی توده‌سنگ که در تاریخ ۱۳۹۱/۶/۲۷ با حضور هیات محترم داوران در دانشگاه صنعتی شهرورد برگزار گردید به شرح ذیل اعلام می‌گردد:

قبول (با درجه: **قابل امتیاز**) مردود دفاع مجدد

۱- عالی (۲۰ - ۱۹) ۲- بسیار خوب (۱۸ - ۱۷)

۳- خوب (۱۷ - ۱۶) ۴- قابل قبول (۱۵ - ۱۴)

۵- نمره کمتر از ۱۴ غیر قابل قبول

عضو هیات داوران	نام و نام خانوادگی	مرتبه علمی	اضاء
۱- استاد اهتمام	دکتر حسین میرزا لی نصیرآباد	استادیار دانشیار	
۲- استاد مشاور	دکتر فرهنگ سرشکی	کارشناسی ارشد	
۳- تمامینده شورای تحصیلات تکمیلی	مهندس عبدالرئوف مشهور	استادیار	
۴- استاد متحسن	دکتر محمد کاراموزیان	استاد	
۵- استاد متحسن	پروفیسر محمد عطائی	دانشیار	
دکتر سید رحمان ترابی			

رئيس دانشکده:

تَعْدِيمَةٌ

مَرْوَادُ عَزِيزٍ وَلَسُوزٍ
وَهُنَّ

وَهُنَّ سُرْعَانٌ

سپاس خدای را که سخنوران، در ستودن او بمانند و شمارندگان، شمردن نعمت‌های او ندانند و کوشندگان، حق او را گزاردن نتوانند. و سلام و درود بر محمد(ص) و خاندان پاک او(علیهم السلام). از اساتید بزرگوارم؛ جناب آقای دکتر میرزائی نصیرآباد و آقای دکتر سرشکی که، با حسن خلق و فروتنی، از هیچ کمکی در این عرصه بر من دریغ ننمودند و زحمت راهنمایی این رساله را بر عهده گرفتند، کمال تشکر و قدردانی را دارم.

از پدر و مادر عزیز و دلسوز... این دو معلم بزرگوارم... که همواره بر کوتاهی و درشتی من، قلم عفو کشیده و کریمانه از کنار غفلت‌هایم گذشته‌اند و برایم در تمام عرصه‌های زندگی یار و یاوری بی- چشم‌داشت بوده‌اند، نهایت سپاس را دارم.

از همسر صبور و مهربانم که با تحمل دشواری‌ها، سبب شد تا در کمال آسودگی خیال و فراغت بال، این تحقیق را به انجام برسانم، صمیمانه سپاس‌گزارم.

از آقای مهندس نادر زیاری، مسئول آزمایشگاه مکانیک سنگ که در طول انجام آزمایشات، از هیچ کمکی دریغ نکردنده، کمال تشکر را دارم.

از اساتید محترم دانشکده، که در یک سال گذشته زحمات زیادی را کشیدند، بسیار سپاس‌گزارم. از پرسنل زحمتکش مجموعه معادن سنگ‌آهن سنگان، بالاخص آقایان مهندس علی عرب و مهندس محمد کوشش، که در کمک به انجام این تحقیق از هیچ کوششی دریغ نکردند، کمال تشکر را دارم.

از مجموعه شرکت مهندسی کاوشگران، به خصوص آقایان مهندس مهدی کمالی، مهندس رامین زنگنه و مهندس مهدی قویدل کمال تشکر را دارم. همچنین از دوستان خود، جواد قاسمی و حامد طاهری که در طول انجام پایان‌نامه کمک نمودند، متشرکرم.

تعهد نامه

اینجانب رضا فرخاری دانشجوی دوره کارشناسی ارشد رشته مهندسی معدن دانشکده معدن، نفت و ژئوفیزیک دانشگاه صنعتی شاهروود نویسنده پایان نامه تعیین قابلیت حفاری معادن سنگ آهن سنگان با استفاده از طبقه بندی مهندسی توده سنگ تحت راهنمایی دکتر حسین میرزاچی نصیرآباد و دکتر فرهنگ سرشکی متعهد می شوم.

- تحقیقات در این پایان نامه توسط اینجانب انجام شده است و از صحت و اصالت برخوردار است .
- در استفاده از نتایج پژوهش‌های محققان دیگر به مرجع مورد استفاده استناد شده است .
- مطالب مندرج در پایان نامه تاکنون توسط خود یا فرد دیگری برای دریافت هیچ نوع مدرک یا امتیازی در هیچ جا ارائه نشده است .

کلیه حقوق معنوی این اثر متعلق به دانشگاه صنعتی شاهروود می باشد و مقالات مستخرج با نام « دانشگاه صنعتی شاهروود » و یا « Shahrood University of Technology » به چاپ خواهد رسید .

- حقوق معنوی تمام افرادی که در به دست آمدن نتایج اصلی پایان نامه تأثیرگذار بوده اند در مقالات مستخرج از پایان نامه رعایت می گردد.
- در کلیه مراحل انجام این پایان نامه ، در مواردی که از موجود زنده (یا باقیمانده آنها) استفاده شده است ضوابط و اصول اخلاقی رعایت شده است .

در کلیه مراحل انجام این پایان نامه ، در مواردی که به حوزه اطلاعات شخصی افراد دسترسی یافته یا استفاده شده است اصل رازداری ، ضوابط و اصول اخلاق انسانی رعایت شده است .

تاریخ: ۱۳۹۱/۷/۲۴

امضای دانشجو

مالکیت نتایج و حق نشر

- کلیه حقوق معنوی این اثر و محصولات آن (مقالات مستخرج ، کتاب ، برنامه های رایانه ای ، نرم افزار ها و تجهیزات ساخته شده است) متعلق به دانشگاه صنعتی شاهروود می باشد . این مطلب باید به نحو مقتضی در تولیدات علمی مربوطه ذکر شود .
- استفاده از اطلاعات و نتایج موجود در پایان نامه بدون ذکر مرجع مجاز نمی باشد.

چکیده

با توجه به هزینه بالا و ماشین‌آلات گران قیمت، شناخت تمامی پارامترهای دخیل در حفاری و بهینه‌سازی آن، شرایط را برای استخراج بهینه فراهم می‌سازد. شناخت محیط حفاری و خصوصیات توده‌سنگ برجا، کمک بسیار زیادی به انتخاب نوع سیستم حفاری، تعیین تعداد ماشین‌آلات حفاری، ارزیابی توان تولید معدن و پیش‌بینی سرعت حفاری خواهد نمود. عوامل متعددی در امر حفاری دخیل‌اند. برخی از این عوامل با قابلیت حفاری رابطه مستقیم و برخی دیگر رابطه عکس دارند.

معدن سنگ‌آهن سنگان در جنوب‌شرقی استان خراسان‌رضوی واقع شده است. جهت تعیین قابلیت حفاری در این معدن، دو تا از معدن فعال این مجموعه با نام‌های باغک و دردوی انتخاب شده است. به منظور انجام تحقیق در این معدن، ابتدا ترازهای مختلف هر کدام از این معدن بر اساس پارامترهای مطرح شده در سیستم رده‌بندی RDi، زون‌بندی شده‌اند، که معدن باغک به ۳۱ زون و معدن دردوی به ۲۲ زون تقسیم شده است. سپس در هر یک از معدن، چهار زون جهت جمع‌آوری نمونه و ثبت سرعت حفاری انتخاب شده‌اند. مقاومت فشاری تکمحوره، مقاومت بار نقطه‌ای، چگالی و تخلخل هر کدام از این نمونه‌ها مشخص شده است. علاوه بر این، بافت، سختی موس، سختی اشمیت، فاصله‌داری، شیبداری و پرشدگی درزه‌ها در تمامی زون‌ها مشخص شده است. از آنجایی که یکی از پارامترهای مهمی که باید در سیستم رده‌بندی RDi تعیین شود، مقاومت فشاری تکمحوره است و تعیین این پارامتر برای تمامی ۵۳ زون امری هزینه‌بر می‌باشد، بنابراین در این تحقیق ابتدا سختی اشمیت برای تمامی زون‌ها تعیین گردیده است، آنگاه پس از تعیین رابطه بین مقاومت فشاری تکمحوره و چکش اشمیت و همچنین رابطه بین مقاومت بار نقطه‌ای و چکش اشمیت در چهار زون انتخابی در هر یک از معدن، مشخص شد که، ضریب همبستگی بین مقاومت بار نقطه‌ای و چکش اشمیت در هر دو معدن نسبت به ضریب همبستگی مقاومت فشاری تکمحوره و چکش اشمیت در زون‌های تعیین شده بیشتر می‌باشد. با استفاده از رابطه بین مقاومت بار نقطه‌ای و چکش اشمیت،

مقاومت فشاری تمام زون‌ها که یکی از پارامترهای ورودی سیستم رده‌بندی RDi می‌باشد، محاسبه شده است.

علاوه بر این‌ها، پس از محاسبه اندیس قابلیت حفاری (RDi) و ثبت سرعت حفاری در زون‌های تعیین شده، رابطه بین اندیس قابلیت حفاری و سرعت حفاری در هر یک از معادن به طور جداگانه به دست آمده است.

نهایتاً پس از محاسبه اندیس قابلیت حفاری برای تمام زون‌ها و با استفاده از رابطه بین اندیس قابلیت حفاری و سرعت حفاری، سرعت در تمام زون‌ها در هر دو معدن به دست آمده است.

همچنین، زون‌بندی نهایی در این معادن بر اساس میانگین وزنی طول پیمایش انجام شده، و در هر دو معدن ۱۲ زون همراه با اندیس قابلیت حفاری و سرعت متوسط حفاری مشخص شده است. با توجه به مطالب گفته شده می‌توان قبل از حفاری، سرعت حفاری را با استفاده از سیستم رده‌بندی RDi هم به صورت کیفی و هم کمی تعیین کرده و با اطلاع از وضعیت هر زون، سراغ حفاری در آن رفت.

کلید واژه: طبقه بندی مهندسی توده‌سنگ، قابلیت حفاری، معادن سنگ آهن سنگان

لیست مقالات مستخرج از پایان نامه

- ارائه یک رابطه تجربی بین اندیس سختی و مقاومت فشاری تکمحوری سنگ (مطالعه موردی: معادن سنگ آهن سنگان)، شانزدهمین همایش انجمن زمین‌شناسی ایران، دانشگاه شیراز.
- تخمین قابلیت نفوذ سرمته‌های دورانی در توده‌سنگ‌های معادن سنگ آهن سنگان، اولین کنفرانس فناوری‌های معدنکاری ایران (یزد، ۱۵ تا ۱۷ شهریور ۱۳۹۱).

فهرست عناوین

۱	۱	مقدمه
۲	۱.۱	مقدمه
۳	۲.۱	هدف و ضرورت انجام تحقیق
۴	۳.۱	ساختار پایان نامه
۵	۲	عوامل مؤثر بر قابلیت حفاری توده سنگ
۶	۱.۲	مقدمه
۷	۲.۲	تجهیزات حفاری
۸	۱.۲.۲	بار پشت متنه
۱۲	۲.۲.۲	سرعت چرخش متنه
۱۴	۳.۲.۲	فلاشینگ
۱۵	۴.۲.۲	مشخصات سرمته
۱۸	۳.۲	پارامترهای ژئوتکنیکی
۳۰	۱.۳.۲	خصوصیات فیزیکی و مکانیکی ماده سنگ
۳۰	۱.۱.۳.۲	اندازه و شکل دانه ها
۳۲	۲.۱.۳.۲	ارزیابی کمی بافت سنگ
۴۰	۳.۱.۳.۲	درجه سیمانی شدن و نوع ماتریکس
۴۱	۴.۱.۳.۲	چگالی
۴۴	۵.۱.۳.۲	تخلخل
۴۷	۶.۱.۳.۲	مقاومت فشاری تک محوره
۵۵	۷.۱.۳.۲	سختی اشمعیت
۵۹	۸.۱.۳.۲	مقاومت کششی
۶۳	۹.۱.۳.۲	سختی
۶۴	۱۰.۱.۳.۲	سایندگی
۶۵	الف-	اندیس سایش سورشار
۶۶	ب-	اندیس سایش ضربه دینامیکی
۶۶	پ-	فاکتور سایندگی شیمازک
۷۴	۱۱.۱.۳.۲	خواص الاستیسیته و پلاستیسیته
۷۶	۱۲.۱.۳.۲	تردی
۸۲	۱۳.۱.۳.۲	کار تخریب
۸۴	۲.۳.۲	توده سنگ
۸۷	۱.۲.۳.۲	پارامترهای هندسی ناپیوستگی ها
۸۷	الف-	تأثیر فاصله داری درزه ها بر نرخ نفوذ
۹۰	ب-	تأثیر شیب درزه ها بر سرعت حفاری
۹۴	۲.۲.۳.۲	پارامترهای زمین شناسی
۹۴	الف-	تأثیر گسل خوردگی بر سرعت حفاری

فهرست عناوین

۹۴	ب- چین خوردگی
۹۴	پ- جهت داری
۹۶	ت- هوازدگی
۱۰۱	۴.۲ عوامل خدماتی و عملیاتی
۱۰۳	۵.۲ نتیجه گیری
۱۰۵	۳ سیستم های رده بندی ارائه شده در زمینه قابلیت حفاری
۱۰۶	۱.۳ مقدمه
۱۰۶	۲.۳ طبقه بندی ویلبور
۱۰۶	۱.۲.۳ سختی
۱۰۷	۲.۲.۳ بافت
۱۰۸	۳.۲.۳ شکستگی
۱۰۸	۴.۲.۳ ساخت
۱۱۰	۳.۳ رده بندی توده های سنگی بر اساس قابلیت تراشه شدن
۱۱۳	۴.۳ اندیس قابلیت نفوذ در سنگ ها (RPi)
۱۱۵	۵.۳ اندیس قابلیت حفاری توده سنگ (RDi)
۱۱۹	۶.۳ نتیجه گیری
۱۲۰	۴ معرفی معادن سنگ آهن سنگان
۱۲۱	۱.۴ مقدمه
۱۲۲	۲.۴ موقعیت جغرافیایی و شرایط آب و هوایی منطقه سنگان
۱۲۳	۳.۴ تاریخ چه معدن
۱۲۴	۴.۴ زمین شناسی
۱۲۵	۵.۴ معدن باغک
۱۲۵	۱.۵.۴ موقعیت جغرافیایی
۱۲۶	۲.۵.۴ ژئومورفولوژی
۱۲۶	۳.۵.۴ آب و هوا
۱۲۷	۴.۵.۴ زمین شناسی
۱۲۹	۵.۵.۴ استخراج معدن
۱۳۰	۶.۴ معدن دردی
۱۳۰	۱.۶.۴ موقعیت جغرافیایی و ژئومورفولوژی
۱۳۱	۲.۶.۴ زمین شناسی
۱۳۲	۳.۶.۴ استخراج معدن
۱۳۳	۷.۴ جمع بندی
۱۳۵	۵ تعیین قابلیت حفاری معادن باغک و دردی
۱۳۶	۱.۵ مقدمه

فهرست عناوین

۱۳۸.....	۲.۵ تعیین قابلیت حفاری تودهسنگ در معدن باگ
۱۳۸.....	۱.۲.۵ زون‌بندی
۱۴۱.....	۲.۲.۵ اندازه‌گیری پارامترهای مربوط به ماده‌سنگ
۱۴۱.....	۱.۲.۲.۵ برداشت نمونه
۱۴۳.....	۲.۲.۲.۵ مقاومت فشاری تک محوره
۱۴۷.....	۴.۲.۲.۵ تعیین سختی و بافت
۱۵۰.....	۵.۲.۲.۵ تعیین سختی اشمیت
۱۵۲.....	۶.۲.۲.۵ تعیین ارتباط بین مقاومت فشاری تکمحوره و مقاومت بار نقطه‌ای با سختی اشمیت در زون‌های انتخابی
۱۵۴.....	۷.۲.۲.۵ چگالی و تخلخل
۱۵۵.....	۳.۲.۵ پارامترهای مربوط به تودهسنگ
۱۵۸.....	۴.۲.۵ ثبت سرعت حفاری در زون‌های انتخابی
۱۶۰.....	۵.۲.۵ محاسبه اندیس قابلیت حفاری در زون‌های انتخابی
۱۶۱.....	۶.۲.۵ ارتباط بین RDi و سرعت حفاری
۱۶۲.....	۷.۲.۵ امتیازدهی به هر کدام از زون‌ها بر اساس سیستم رده‌بندی RDi
۱۶۸.....	۸.۲.۵ زون‌بندی نهایی تودهسنگ‌های معدن باگ
۱۷۰.....	۳.۵ تعیین قابلیت حفاری تودهسنگ‌های معدن دردروی
۱۷۰.....	۱.۳.۵ زون‌بندی
۱۷۲.....	۲.۳.۵ اندازه‌گیری پارامترهای مربوط به ماده‌سنگ
۱۷۲.....	۱.۲.۳.۵ برداشت نمونه
۱۷۳.....	۲.۲.۳.۵ مقاومت فشاری تکمحوره
۱۷۴.....	۳.۲.۳.۵ مقاومت بار نقطه‌ای
۱۷۶.....	۴.۲.۳.۵ تعیین سختی و بافت
۱۷۸.....	۵.۲.۳.۵ تعیین سختی اشمیت
۱۷۹.....	۶.۲.۳.۵ تعیین ارتباط بین مقاومت فشاری تکمحوره و مقاومت بار نقطه‌ای با سختی اشمیت در زون‌های انتخاب شده
۱۸۲.....	۷.۲.۳.۵ چگالی و تخلخل
۱۸۲.....	۳.۳.۵ پارامترهای مربوط به تودهسنگ
۱۸۵.....	۴.۳.۵ ثبت سرعت حفاری در زون‌های انتخابی
۱۸۶.....	۵.۳.۵ محاسبه اندیس قابلیت حفاری در زون‌های مختلف معدن دردروی
۱۸۷.....	۶.۳.۵ ارتباط بین RDi و سرعت حفاری
۱۸۸.....	۷.۳.۵ امتیازدهی به هر کدام از زون‌ها بر اساس سیستم RDi
۱۹۳.....	۸.۳.۵ زون‌بندی نهایی تودهسنگ‌های معدن دردروی
۱۹۵.....	۴.۵ مقایسه بین پارامترهای مختلف در معادن باگ و دردروی

فهرست عناوین

۱۹۷.....	۵.۵ جمع‌بندی و نتیجه‌گیری
۱۹۹.....	۶ نتیجه‌گیری و پیشنهادات
۲۰۰.....	۱.۶ نتیجه‌گیری
۲۰۲.....	۲.۶ پیشنهادات
۲۰۴.....	منابع
۲۰۹.....	۷ پیوست
۲۱۰.....	۱.۷ آزمایش سختی ویکرز
۲۱۱.....	۱.۱.۷ عدد سختی ویکرز
۲۱۱.....	۲.۱.۷ مقدار نیرو در آزمایش ویکرز
۲۱۱.....	۲.۷ جداول مربوط به زون‌های معدن باغک
۲۲۵.....	۳.۷ جداول مربوط به زون‌های معدن دردوى
۲۳۴.....	۴.۷ جداول مربوط به پارامترهای اندازه‌گیری شده جهت به دست آوردن چگالی و تخلخل
۲۳۶.....	۵.۷ جداول مربوط به مشخصات نمونه‌های تهیه شده جهت انجام مقاومت فشاری تکمحوره و مقاومت بار نقطه‌ای

فهرست اشکال

- ۷ شکل ۱-۲- پارامترهای مؤثر در قابلیت حفاری توده سنگ و سایش تجهیزات (Thuro, 1997)
- ۹ شکل ۲-۱- شکل کلی تغییرات سرعت حفاری نسبت به تغییرات بار پشت مته (Jimeno et al, 1995)
- ۱۱ شکل ۳-۲- تأثیر بار پشت مته در سیستم حفاری ضربه‌ای بر سرعت نفوذ برای فشارهای مختلف هوای فشرده در سنگ تاکونیت (یاوری, ۱۳۸۱)
- ۱۱ شکل ۴-۲- تأثیر بار پشت مته در سیستم حفاری دورانی بر سرعت نفوذ برای انواع سنگ‌های مختلف (یاوری, ۱۳۸۱)
- ۱۲ شکل ۵-۲- ارتباط بین متوسط بار پشت مته و نرخ نفوذ (Yasar et al, 2011)
- ۱۳ شکل ۶-۲- ارتباط بین دور مته و سرعت حفاری (بار روی مته ثابت است) (اصانلو, ۱۳۸۲)
- ۱۳ شکل ۷-۲- اثر سرعت چرخش بر نرخ نفوذ برای بارهای محوری مختلف در سنگ دولومیت (یاوری, ۱۳۸۱)
- ۱۵ شکل ۸-۲- تأثیر افزایش فشار هوا به روی سرعت حفاری (استوار, ۱۳۸۳)
- ۱۶ شکل ۹-۲- انواع سرمته‌های ۶، ۷، ۸ و ۹ دکمه‌ای با سیستم‌های فلاشینگ متفاوت مورد استفاده در سنگ-های سخت (Thuro, 1997)
- ۱۷ شکل ۱۰-۲- انواع سرمته‌های مورد استفاده در سیستم‌های حفاری ضربه‌ای- چرخشی (Thuro, 1997)
- ۱۷ شکل ۱۱-۲- تأثیر قطر بر سرعت چالزنی (jimeno et al, 1995)
- ۱۸ شکل ۱۲-۲- ارتباط بین قطر مته و بار روی مته (اصانلو, ۱۳۸۲)
- ۳۱ شکل ۱۳-۲- ارتباط بین اندیس زبری و نرخ نفوذ در سنگ آهک (Altindag, 2003)
- ۳۱ شکل ۱۴-۲- ارتباط بین متوسط اندازه خردنهای حفاری و نرخ نفوذ در سنگ آهک (Altindag, 2003)
- ۳۴ شکل ۱۵-۲- مفهوم فاکتور زاویه (Ersoy & Waller, 1995)
- ۳۵ شکل ۱۶-۲- شمای کلی یک مقطع نازک برای محاسبه ضریب بافت (Ersoy & Waller, 1995)
- ۳۷ شکل ۱۷-۲- ارتباط ضریب بافت و سرعت حفاری اکتشافی در سه نوع سرمته مختلف (Ersoy & Waller, 1995)
- ۳۷ شکل ۱۸-۲- رابطه بین سرعت حفاری و ضریب بافت (Howarth & Rowlands, 1987)
- ۳۹ شکل ۱۹-۲- رابطه بین ضریب بافت و مقاومت فشاری تکمحوره (Howarth & Rowlands, 1987)
- ۴۰ شکل ۲۰-۲- نمایش مقاومت بافت در برابر شکست در حال بارگذاری با یک نفوذگر گوهای (Rowlands, 1987)
- ۴۳ شکل ۲۱-۲- ارتباط چگالی سنگ و سرعت حفاری دورانی (Kahraman et al, 2000)
- ۴۳ شکل ۲۲-۲- ارتباط چگالی سنگ و سرعت حفاری ضربه‌ای (Kahraman et al, 2003)
- ۴۴ شکل ۲۳-۲- ارتباط بین چگالی و نرخ نفوذ (Bilim, 2011)
- ۴۵ شکل ۲۴-۲- رابطه سرعت حفاری با تخلخل و چگالی در ماسهسنگ (Thuro, 1997)
- ۴۵ شکل ۲۵-۲- رابطه عمر سرمته و تخلخل در ماسهسنگ (Thuro, 1997)
- ۴۶ شکل ۲۶-۲- رابطه سرعت حفاری با تخلخل و چگالی خشک سنگ (Thuro et al, 2002)
- ۴۶ شکل ۲۷-۲- ارتباط میان نرخ نفوذ و تخلخل (Bilim, 2011)

فهرست اشکال

..... شکل ۲-۲۸- رابطه سرعت حفاری و مقاومت فشاری در نمونه‌ای از ماسه‌سنگ (Akun & Karpuz, 2005)	۴۸
..... شکل ۲-۲۹- رابطه بین انديس قabilite حفاری و مقاومت فشاری در دو نوع سرمته (Kahraman et al, 2000)	۴۸
..... شکل ۲-۳۰- رابطه سرعت حفاری ضربه‌ای و مقاومت فشاری (Kahraman et al, 2003)	۴۹
..... شکل ۲-۳۱- ارتباط بین مقاومت فشاری تکمحوره و نرخ نفوذ در سیستم‌های حفاری چرخشی	۴۹
..... شکل ۲-۳۲- رابطه بین سرعت حفاری ضربه‌ای و مقاومت فشاری تکمحوره سنگ (حسینی و عطائی، ۱۳۸۸)	۵۰
..... شکل ۲-۳۳- رابطه بین مقاومت فشاری تکمحوره و نرخ نفوذ (Yasar et al, 2011)	۵۱
..... شکل ۲-۳۴- رابطه بین سرعت حفاری ضربه‌ای در تونل‌ها و مقاومت فشاری سنگ‌های اسلیتی و کوارتزیت در کشور آلمان (Thuro & Spaun, 1996)	۵۱
..... شکل ۲-۳۵- ارتباط بین نرخ نفوذ و مقاومت فشاری تکمحوره (Bilim, 2011)	۵۲
..... شکل ۲-۳۶- ارتباط انديس قabilite حفاری و مقاومت بار نقطه‌ای (Kahraman et al, 2000)	۵۳
..... شکل ۲-۳۷- ارتباط مقاومت بار نقطه‌ای و سرعت حفاری ضربه‌ای (Kahraman et al, 2003)	۵۳
..... شکل ۲-۳۸- ارتباط بین مقاومت بار نقطه‌ای و نرخ نفوذ در سیستم‌های حفاری چرخشی	۵۴
..... شکل ۲-۳۹- رابطه بین مقاومت بار نقطه‌ای و نرخ نفوذ (Bilim, 2011)	۵۴
..... شکل ۲-۴۰- ارتباط عدد چکش اشميٽ و انديس قabilite حفاری (Kahraman et al, 2000)	۵۶
..... شکل ۲-۴۱- ارتباط عدد چکش اشميٽ و سرعت حفاری ضربه‌ای (Kahraman et al, 2003)	۵۶
..... شکل ۲-۴۲- ارتباط بین سختی اشميٽ و نرخ نفوذ در کوارتزيت (Denkhaus, 2003)	۵۷
..... شکل ۲-۴۳- ارتباط بین سختی اشميٽ و نرخ نفوذ در شيل (Denkhaus, 2003)	۵۷
..... شکل ۲-۴۴- ارتباط بین سختی اشميٽ و نرخ نفوذ در سیستم‌های حفاری چرخشی	۵۸
..... شکل ۲-۴۵- ارتباط بین سختی اشميٽ و نرخ نفوذ (Bilim, 2011)	۵۸
..... شکل ۲-۴۶- ارتباط مقاومت كششی و سرعت حفاری دوراني (Kahraman et al, 2000)	۶۰
..... شکل ۲-۴۷- ارتباط مقاومت كششی و سرعت حفاری ضربه‌ای (Kahraman et al, 2003)	۶۰
..... شکل ۲-۴۸- ارتباط مقاومت كششی و سرعت حفاری ضربه‌ای در تونل‌سازی (Thuro & Spaun, 1996)	۶۱
..... شکل ۲-۴۹- ارتباط بین مقاومت كششی بروزيلی و نرخ نفوذ در سیستم‌های حفاری چرخشی (Bilgin & Kahraman, 2003)	۶۱
..... شکل ۲-۵۰- رابطه بین سرعت حفاری ضربه‌ای و مقاومت كششی بروزيلی سنگ (حسینی و عطائی، ۱۳۸۸)	۶۲
..... شکل ۲-۵۱- ارتباط بین مقاومت كششی بروزيلی و نرخ نفوذ (Bilim, 2011)	۶۲
..... شکل ۲-۵۲- نمایی از دستگاه سایش سورشار (Tunnels & Tunnelling International, 2006)	۶۶
..... شکل ۲-۵۳- رابطه ميزان سايندگي رزيبوال سنگ با استفاده از سختی موس (Thuro, 1997)	۶۸
..... شکل ۲-۵۴- ارتباط بین انديس سایش سورشار و کوارتز محتوى (Plinninger & Thuro, 2004)	۶۸
..... شکل ۲-۵۵- ارتباط بین انديس سایش سورشار و کوارتز محتوى (Plinninger & Thuro, 2004)	۶۹

فهرست اشکال

- شکل ۵۶-۲- رابطه شاخص سایندگی سنگ RAI و عمر سرمته (Thuro & Plinninger, 2003) ۷۰
- شکل ۵۷-۲- رابطه میزان کوارتز محتوی و عمر سرمته در انواع سنگ‌های طبیعت (Thuro & Plinninger, 2003) ۷۱
- شکل ۵۸-۲- رابطه عمر سرمته با درصد کوارتز محتوی در سنگ‌های مختلف دانه-دانه با کوارتز محتوی معادل (Thuro & Plinninger, 2003) ۷۲
- شکل ۵۹-۲- ارتباط بین شاخص سایش سنگ و اندیس سایش سورشار (Plinninger & Thuro, 2004) ۷۳
- شکل ۶۰-۲- ارتباط سرعت حفاری و مدول الاستیسیته سنگ‌ها (Thuro & Spaun, 1996) ۷۴
- شکل ۶۱-۲- ارتباط قابلیت حفاری و مدول الاستیسیته سنگ‌ها در حفاری دورانی (Kahraman et al, 2000) ۷۵
- شکل ۶۲-۲- ارتباط قابلیت حفاری و مدول الاستیسیته سنگ‌ها در حفاری ضربه‌ای (Kahraman et al, 2003) ۷۵
- شکل ۶۳-۲- رابطه بین سرعت حفاری ضربه‌ای و مدول الاستیسیته سنگ (حسینی و عطائی، ۱۳۸۸) ۷۶
- شکل ۶۴-۲- ارتباط بین تردی B_1 و B_2 (Kahraman, 2002) ۷۷
- شکل ۶۵-۲- ارتباط بین تردی B_1 و B_3 (Kahraman, 2002) ۷۸
- شکل ۶۶-۲- ارتباط بین تردی B_2 و B_3 (Kahraman, 2002) ۷۸
- شکل ۶۷-۲- ارتباط بین نرخ نفوذ و تردی B_1 در TBM (Kahraman, 2002) ۷۹
- شکل ۶۸-۲- ارتباط بین نرخ نفوذ و تردی B_2 در TBM (Kahraman, 2002) ۷۹
- شکل ۶۹-۲- ارتباط بین نرخ نفوذ و تردی B_1 در سیستم حفاری چرخشی (Kahraman, 2002) ۸۰
- شکل ۷۰-۲- ارتباط بین نرخ نفوذ و تردی B_2 در سیستم حفاری چرخشی (Kahraman, 2002) ۸۰
- شکل ۷۱-۲- ارتباط بین نرخ نفوذ و تردی B_3 در سیستم حفاری ضربه‌ای (Kahraman, 2002) ۸۱
- شکل ۷۲-۲- ارتباط بین اندیس قابلیت حفاری و B_1 (Thuro & Spaun, 1996) ۸۱
- شکل ۷۳-۲- برآورد کار تخریب ویژه از منحنی تنش کرنش یک نمونه سنگ تحت فشار تک محوره (Thuro, 1997) ۸۲
- شکل ۷۴-۲- رابطه بین نرخ نفوذ و کارتخریب در ۲۳ نمونه سنگ در جبهه کار تونل (Thuro and Spaun, 1996) ۸۳
- شکل ۷۵-۲- ارتباط بین کار تخریب و نرخ نفوذ (Thuro and Spaun, 1996) ۸۳
- شکل ۷۶-۲- ارتباط بین فاصله‌داری درزه‌ها با نرخ نفوذ در سنگ آهک (Thuro, 1997) ۸۸
- شکل ۷۷-۲- رابطه سرعت حفاری با فراوانی درزه‌ها (Akun & Karpuz, 2005) ۸۸
- شکل ۷۸-۲- رابطه سرعت حفاری با فاصله‌داری درزه‌ها (Hoseiniie et al, 2008) ۸۹
- شکل ۷۹-۲- ارتباط بین RQD و نرخ نفوذ در ماسه‌سنگ (Akun & Karpuz, 2005) ۹۰
- شکل ۸۰-۲- توزیع بار پشت متنه در سطح درزه‌های شیب‌دار (حسینی و همکاران، ۱۳۸۵) ۹۱
- شکل ۸۱-۲- رابطه بین سرعت حفاری و شیب درزه‌ها (Hoseiniie et al, 2008) ۹۲
- شکل ۸۲-۲- رابطه بین سرعت حفاری و ابعاد پرکننده درزه‌ها (Hoseiniie et al, 2008) ۹۳
- شکل ۸۳-۲- عملیات چالزنی با توجه به جهت‌داری متفاوت برگوارگی (Thuro, 1997) ۹۵

فهرست اشکال

شکل ۸۴-۲- ارتباط بین نرخ نفوذ، مقاومت کششی و زاویه شیب برگوارگی (Thuro, 1997)	۹۶
شکل ۸۵-۲- ارتباط بین مقاومت فشاری تکمحوره و درجه هوازدگی گرانیت (زیاد، متوسط، کم)	۸۵-۲
.....(Thuro et al, 2002)	۹۷
شکل ۸۶-۲- رابطه بین نرخ نفوذ و درجه هوازدگی گرانیت در چالهای انفجاری (Thuro et al, 2002)	۹۸
شکل ۸۷-۲- رابطه بین مقدار مصرف مواد منفجره و درجه هوازدگی در گرانیت (Thuro et al, 2002)	۹۸
شکل ۸۸-۲- ارتباط بین درجه هوازدگی با چگالی خشک و تخلخل (Thuro et al, 2002)	۹۹
شکل ۸۹-۲- رابطه مقاومت فشاری تکمحوره در مقابل چگالی خشک و تخلخل (Thuro et al, 2002)	۱۰۰
شکل ۹۰-۲- نرخ حفاری در مقابل چگالی خشک و تخلخل (Thuro et al, 2002)	۱۰۱
شکل ۹۱-۲- تأثیر عوامل غیر وابسته به چالزنی بر سرعت کل چالزنی (پاوری، ۱۳۸۳)	۱۰۳
شکل ۱۱-۴- جانمایی آنومالی‌های مختلف معدن سنگ‌آهن سنگان (www.simp.ir)	۱۲۲
شکل ۱۲-۴- موقعیت جغرافیایی سنگان (www.simp.ir)	۱۲۳
شکل ۱۳-۴- دورنمایی از معدن باغک	۱۲۶
شکل ۱۴-۴- پنهنهای ساختاری- رسوی ایران و موقعیت محدوده مورد مطالعه دردوی- باغک (معدنکاو، ۱۳۸۸)	۱۲۸
شکل ۱۵-۴- نمایی از پیت نهایی معدن باغک (کاوشگران، ۱۳۹۱)	۱۳۰
شکل ۱۶-۴- دورنمایی از معدن دردوی	۱۳۱
شکل ۱۷-۴- نمایی از پیت نهایی معدن دردوی (کاوشگران، ۱۳۹۱)	۱۳۳
شکل ۱۸-۵- مراحل مختلف انجام مطالعات صحرایی و آزمایشگاهی	۱۳۷
شکل ۱۹-۵- زون‌بندی معدن باغک	۱۳۹
شکل ۲۰-۵- نمودار ستونی درصد خاک و سنگ‌های مختلف	۱۴۱
شکل ۲۱-۵- نمونه‌های جمع‌آوری شده جهت انجام آزمایش و انتقال آنها به آزمایشگاه دانشگاه صنعتی شاهروд	۱۴۲
شکل ۲۲-۵- زون‌های انتخاب شده جمع‌آوری نمونه از معدن باغک	۱۴۲
شکل ۲۳-۵- تهیه نمونه‌های استوانه‌ای	۱۴۳
شکل ۲۴-۵- آماده‌سازی نمونه‌ها جهت عملیات بارگذاری	۱۴۴
شکل ۲۵-۵- بارگذاری فشاری نمونه دولومیت	۱۴۴
شکل ۲۶-۵- آزمایش مقاومت بار نقطه‌ای نمونه شماره ۲ سنگ مگنتیت معدن باغک	۱۴۶
شکل ۲۷-۵- نمونه شماره ۲ سنگ مگنتیت معدن باغک قبل و بعد از بارگذاری	۱۴۶
شکل ۲۸-۵- نمونه سنگ‌ها به همراه جعبه سختی موس	۱۴۷
شکل ۲۹-۵- نمودار ستونی درصد سختی موس در معدن باغک	۱۴۹
شکل ۳۰-۵- نمودار ستونی درصد انواع بافت در معدن باغک	۱۵۰
شکل ۳۱-۵- نمودار ارتباط بین مقاومت فشاری تکمحوره و چکش اشمیت در معدن باغک	۱۵۲
شکل ۳۲-۵- نمودار ارتباط بین مقاومت بار نقطه‌ای و چکش اشمیت در معدن باغک	۱۵۳
شکل ۳۳-۵- نمودار ستونی درصد مقاومت فشاری تکمحوره در معدن باغک	۱۵۴

فهرست اشکال

..... ۱۷-۵	شکل ۱۷-۵- ابزار مورد استفاده برای تعیین چگالی و تخلخل
..... ۱۵۶ ۱۸-۵- پرشدگی درزه‌ها توسط میکا
..... ۱۵۷ ۱۹-۵- نمودار ستونی درصد فاصله‌داری درزه‌ها در معدن باگ
..... ۱۵۸ ۲۰-۵- نمودار ستونی درصد زاویه‌داری بین امتداد چال و سطح درزه در معدن باگ
..... ۱۶۰ ۲۱-۵- دستگاه حفاری TYI368A در حال حفاری و کمپرسورهای هوای فشرده در معدن باگ...
..... ۱۶۲ ۲۲-۵- نمودار ارتباط بین RDi و سرعت حفاری در معدن باگ
..... ۱۶۳ ۲۳-۵- تصویری از زون شماره ۲۵ (هماتیت) معدن باگ...
..... ۱۶۴ ۲۴-۵- تصویری از زون شماره ۱۱ (مگنتیت کم‌عیار) معدن باگ
..... ۱۶۶ ۲۵-۵- امتیاز RDi زون‌های مختلف معدن باگ
..... ۱۶۷ ۲۶-۵- تخمین سرعت حفاری زون‌های مختلف معدن باگ با استفاده از اندیس حفاری RDi
..... ۱۶۷ ۲۷-۵- نمودار ستونی درصد اندیس قابلیت حفاری در معدن باگ
..... ۱۶۸ ۲۸-۵- زون‌بندی نهایی توده‌سنگ‌های معدن باگ بر اساس شاخص قابلیت حفاری (RDi)
..... ۱۶۹ ۲۹-۵- زون‌بندی نهایی توده‌سنگ‌های معدن باگ بر اساس سرعت حفاری
..... ۱۷۰ ۳۰-۵- زون‌بندی معدن دردوى
..... ۱۷۱ ۳۱-۵- درصد انواع سنگ‌های معدن دردوى
..... ۱۷۳ ۳۲-۵- زون‌های تعیین شده جهت جمع‌آوری نمونه از معدن دردوى
..... ۱۷۴ ۳۳-۵- بارگذاری فشاری نمونه توف کربنات‌دار آذرآواری
..... ۱۷۵ ۳۴-۵- آزمایش مقاومت بار نقطه‌ای نمونه شماره ۱ سنگ هماتیت معدن دردوى
..... ۱۷۵ ۳۵-۵- نمونه شماره ۱ سنگ هماتیت معدن دردوى، قبل و بعد از بارگذاری
..... ۱۷۷ ۳۶-۵- نمودار ستونی درصد سختی موس در معدن دردوى
..... ۱۷۸ ۳۷-۵- نمودار ستونی مربوط به میزان بافت‌های مختلف در معدن دردوى
..... ۱۸۰ ۳۸-۵- نمودار ارتباط بین مقاومت فشاری تکمحوره و چکش اشمیت در معدن دردوى
..... ۱۸۰ ۳۹-۵- نمودار ارتباط بین مقاومت بار نقطه‌ای و چکش اشمیت در معدن دردوى
..... ۱۸۱ ۴۰-۵- نمودار ستونی درصد مقاومت فشاری تکمحوره در معدن دردوى
..... ۱۸۳ ۴۱-۵- پرشدگی گرانیت توسط کلسیت در معدن دردوى
..... ۱۸۴ ۴۲-۵- نمودار ستونی درصد فاصله‌داری درزه‌ها در معدن دردوى
..... ۱۸۴ ۴۳-۵- نمودار ستونی درصد زاویه‌داری بین امتداد چال و سطح درزه در معدن باگ
..... ۱۸۶ ۴۴-۵- دستگاه حفاری Roc L8 در حال حفاری در معدن دردوى
..... ۱۸۸ ۴۵-۵- نمودار ارتباط بین RDi و سرعت حفاری در معدن دردوى
..... ۱۸۹ ۴۶-۵- تصویری از زون شماره ۱ (مگنتیت پرعیار) معدن دردوى
..... ۱۹۰ ۴۷-۵- تصویری از زون شماره ۱۹ (گرانیت آلتره) معدن دردوى
..... ۱۹۲ ۴۸-۵- مقدار شاخص RDi در زون‌های مختلف معدن دردوى
..... ۱۹۲ ۴۹-۵- تخمین سرعت حفاری در زون‌های مختلف معدن دردوى
..... ۱۹۳ ۵۰-۵- نمودار ستونی درصد اندیس قابلیت حفاری در معدن دردوى.

فهرست اسکال

۱۹۴	شکل ۵۱-۵ - زون‌بندی نهایی توده‌سنگ‌های معدن دردوى بر اساس شاخص قابلیت حفاری (RDi)
۱۹۴	شکل ۵۲-۵ - زون‌بندی نهایی توده‌سنگ‌های معدن دردوى بر اساس سرعت حفاری
۲۱۰	شکل ۱-۷ - آزمایش سختی ویکرز

فهرست جداول

جدول ۱-۲- بار پیشنهادی برای قطرهای مختلف در سنگ‌های سخت (اصانلو، ۱۳۸۲)	۸
جدول ۲-۲- پارامترهای مؤثر بر قابلیت حفاری (Thuro, 1997; Ersoy & Waller, 1995)	۱۹
جدول ۳-۲- تحقیقات انجام شده در زمینه تأثیر پارامترهای فیزیکی و مکانیکی سنگ بر قابلیت حفاری	۲۷
جدول ۴-۲- روش وزن دهی به تفاوت‌های زاویه‌های دانه‌های کشیده (Ersoy & Waller, 1995)	۳۴
جدول ۵-۲- چگالی برخی از کانی‌های شاخص در حفاری (فهیمی‌فر و سروش، ۱۳۸۰)	۴۲
جدول ۶-۲- سختی کانی‌ها بر اساس مقیاس موس (وفاییان، ۱۳۷۶)	۶۳
جدول ۷-۲- رابطه بین سختی موس و مقاومت فشاری تکمحوره (Jimeno et al, 1995)	۶۴
جدول ۸-۲- امتیازدهی به تودهسنگ در رابطه با فاصله‌داری درزه‌ها (Hoseinie et al, 2008)	۸۹
جدول ۹-۲- امتیازدهی به تودهسنگ در رابطه با شیب درزه‌ها (زاویه بین امتداد چال و سطح درزه) (Hoseinie et al, 2008)	۹۲
جدول ۱۰-۲- امتیازدهی به تودهسنگ در رابطه با پرکننده درزه‌ها (زاویه بین امتداد چال و سطح درزه) (Hoseinie et al, 2008)	۹۳
جدول ۱-۳- مقیاس سختی موس (Wilbur, 1982)	۱۰۷
جدول ۲-۳- سختی (Wilbur, 1982)	۱۰۷
جدول ۳-۳- بافت (Wilbur, 1982)	۱۰۸
جدول ۴-۳- شکستگی (Wilbur, 1982)	۱۰۸
جدول ۵-۳- شکل (Wilbur, 1982)	۱۰۹
جدول ۶-۳- جدول ردی بندی توده‌های سنگی بر اساس قابلیت تراشه شدن (محمدی و همکاران، ۱۳۸۳)	۱۱۱
جدول ۷-۳- جدول امتیازدهی به پارامترها و تعیین اندیس قابلیت نفوذ در سنگ‌ها (حسینی، ۱۳۸۷)	۱۱۴
جدول ۸-۳- پیش‌بینی قابلیت نفوذ در سنگ و نیز قابلیت ماشین کاری بر اساس RPi (حسینی، ۱۳۸۷)	۱۱۴
جدول ۹-۳- جدول امتیازدهی به پارامترها و تعیین اندیس قابلیت حفاری تودهسنگ‌ها (RDi) (Hoseini et al, 2008)	۱۱۷
جدول ۱۰-۳- پیش‌بینی سرعت حفاری بر اساس RDi (Hoseini et al, 2008)	۱۱۸
جدول ۱-۴- مشخصات ذخیره و عیار معدن باگک (کاوشگران، ۱۳۸۹)	۱۲۹
جدول ۲-۴- پارامترهای طراحی برای محدوده کانسار باگک (کاوشگران، ۱۳۸۹)	۱۲۹
جدول ۳-۴- مشخصات ذخیره و عیار معدن دردوى (کاوشگران، ۱۳۸۹)	۱۳۲
جدول ۴-۴- پارامترهای طراحی برای محدوده کانسار دردوى (کاوشگران، ۱۳۸۹)	۱۳۳
جدول ۱-۵- زون‌بندی معدن باگک همراه با جنس سنگ‌ها	۱۴۰
جدول ۲-۵- نتایج آزمایش مقاومت فشاری تکمحوره در معدن باگک	۱۴۵
جدول ۳-۵- نتایج آزمایش مقاومت بار نقطه‌ای در معدن باگک	۱۴۶
جدول ۴-۵- مقدار سختی موس نمونه‌های سنگی معدن باگک	۱۴۸
جدول ۵-۵- بافت نمونه‌های سنگی معدن باگک	۱۴۹
جدول ۶-۵- سختی اشمیت نمونه‌های سنگی معدن باگک	۱۵۱

فهرست جداول

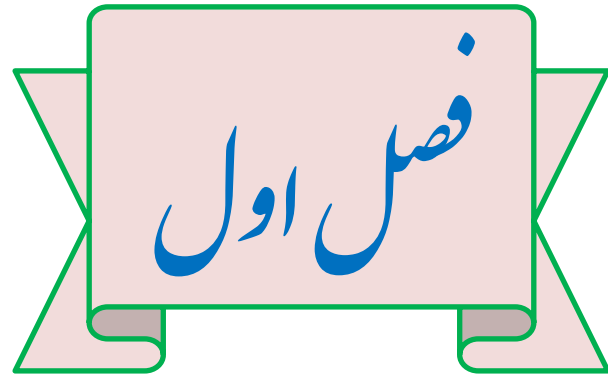
جدول ۷-۵- نتایج آزمایش چگالی و تخلخل معدن باگک.....	۱۵۵
جدول ۸-۵- سرعت حفاری در زون های مورد نظر معدن باگک.....	۱۵۹
جدول ۹-۵- مشخصات دستگاههای حفار و کمپرسورهای هوای فشرده معدن باگک.....	۱۵۹
جدول ۱۰-۵ - اندیس قابلیت حفاری برای زون های مشخص شده معدن باگک.....	۱۶۱
جدول ۱۱-۵- مشخصات زون شماره ۲۵ معدن باگک.....	۱۶۳
جدول ۱۲-۵- مشخصات زون شماره ۱۱ معدن باگک.....	۱۶۴
جدول ۱۳-۵ - جدول امتیازات نهایی بر اساس سیستم طبقه‌بندی RDi در معدن باگک.....	۱۶۵
جدول ۱۴-۵- جنس سنگ‌های زون های مختلف معدن دردروی.....	۱۷۱
جدول ۱۵-۵- نتایج آزمایش مقاومت فشاری تکمحوره در معدن دردروی.....	۱۷۴
جدول ۱۶-۵- نتایج آزمایش مقاومت بار نقطه‌ای در معدن دردروی.....	۱۷۵
جدول ۱۷-۵- مقدار سختی موس نمونه‌های سنگی معدن دردروی.....	۱۷۶
جدول ۱۸-۵- بافت نمونه‌های سنگی معدن دردروی.....	۱۷۷
جدول ۱۹-۵ - سختی اشمیت نمونه‌های معدن دردروی.....	۱۷۹
جدول ۲۰-۵- نتایج آزمایش چگالی و تخلخل در معدن دردروی.....	۱۸۲
جدول ۲۱-۵- سرعت حفاری در زون های مورد نظر معدن دردروی.....	۱۸۵
جدول ۲۲-۵-مشخصات دستگاه حفار در معدن دردروی.....	۱۸۵
جدول ۲۳-۵ - اندیس قابلیت حفاری برای زون های مشخص شده معدن دردروی.....	۱۸۷
جدول ۲۴-۵- مشخصات زون شماره ۱ معدن دردروی.....	۱۸۹
جدول ۲۵-۵- مشخصات زون شماره ۱۹ معدن دردروی.....	۱۹۰
جدول ۲۶-۵ - جدول امتیازات نهایی بر اساس سیستم طبقه‌بندی RDi در معدن دردروی.....	۱۹۱
جدول ۲۷-۵- مقایسه درصد انواع بافت در دو معدن باگک و دردروی.....	۱۹۵
جدول ۲۸-۵ - مقایسه درصد مقاومت فشاری تکمحوره در دو معدن باگک و دردروی.....	۱۹۶
جدول ۲۹-۵ - مقایسه درصد سختی موس در دو معدن باگک و دردروی.....	۱۹۶
جدول ۳۰-۵ - مقایسه درصد فاصله‌داری درزه‌ها در دو معدن باگک و دردروی.....	۱۹۶
جدول ۳۱-۵- مقایسه درصد زاویه بین امتداد چال و سطح درزه در دو معدن باگک و دردروی.....	۱۹۷
جدول ۳۲-۵- مقایسه درصد شاخص کیفیت حفاری (RDi) در دو معدن باگک و دردروی.....	۱۹۷
جدول ۱-۷- معدن باگک، زون شماره ۲.....	۲۱۲
جدول ۲-۷- معدن باگک، زون شماره ۳.....	۲۱۲
جدول ۳-۷- معدن باگک، زون شماره ۵.....	۲۱۳
جدول ۴-۷- معدن باگک، زون شماره ۶.....	۲۱۳
جدول ۵-۷- معدن باگک، زون شماره ۷.....	۲۱۴
جدول ۶-۷- معدن باگک، زون شماره ۹.....	۲۱۴
جدول ۷-۷- معدن باگک، زون شماره ۱۰.....	۲۱۵
جدول ۸-۷- معدن باگک، زون شماره ۱۱.....	۲۱۵

فهرست جداول

۲۱۶	جدول ۹-۷- معدن باغک، زون شماره ۱۲
۲۱۶	جدول ۱۰-۷- معدن باغک، زون شماره ۱۳
۲۱۷	جدول ۱۱-۷- معدن باغک، زون شماره ۱۴
۲۱۷	جدول ۱۲-۷- معدن باغک، زون شماره ۱۵
۲۱۸	جدول ۱۳-۷- معدن باغک، زون شماره ۱۶
۲۱۸	جدول ۱۴-۷- معدن باغک، زون شماره ۱۷
۲۱۹	جدول ۱۵-۷- معدن باغک، زون شماره ۱۸
۲۱۹	جدول ۱۶-۷- معدن باغک، زون شماره ۱۹
۲۲۰	جدول ۱۷-۷- معدن باغک، زون شماره ۲۰
۲۲۰	جدول ۱۸-۷- معدن باغک، زون شماره ۲۱
۲۲۱	جدول ۱۹-۷- معدن باغک، زون شماره ۲۲
۲۲۱	جدول ۲۰-۷- معدن باغک، زون شماره ۲۴
۲۲۲	جدول ۲۱-۷- معدن باغک، زون شماره ۲۵
۲۲۲	جدول ۲۲-۷- معدن باغک، زون شماره ۲۶
۲۲۳	جدول ۲۳-۷- معدن باغک، زون شماره ۲۷
۲۲۳	جدول ۲۴-۷- معدن باغک، زون شماره ۲۸
۲۲۴	جدول ۲۵-۷- معدن باغک، زون شماره ۲۹
۲۲۴	جدول ۲۶-۷- معدن باغک، زون شماره ۳۰
۲۲۵	جدول ۲۷-۷- معدن باغک، زون شماره ۳۱
۲۲۵	جدول ۲۸-۷- معدن دروی، زون شماره ۱
۲۲۶	جدول ۲۹-۷- معدن دروی، زون شماره ۲
۲۲۶	جدول ۳۰-۷- معدن دروی، زون شماره ۴
۲۲۷	جدول ۳۱-۷- معدن دروی، زون شماره ۵
۲۲۷	جدول ۳۲-۷- معدن دروی، زون شماره ۶
۲۲۸	جدول ۳۳-۷- معدن دروی، زون شماره ۷
۲۲۸	جدول ۳۴-۷- معدن دروی، زون شماره ۸
۲۲۹	جدول ۳۵-۷- معدن دروی، زون شماره ۹
۲۲۹	جدول ۳۶-۷- معدن دروی، زون شماره ۱۰
۲۳۰	جدول ۳۷-۷- معدن دروی، زون شماره ۱۱
۲۳۰	جدول ۳۸-۷- معدن دروی، زون شماره ۱۲
۲۳۱	جدول ۳۹-۷- معدن دروی، زون شماره ۱۳
۲۳۱	جدول ۴۰-۷- معدن دروی، زون شماره ۱۵
۲۳۲	جدول ۴۱-۷- معدن دروی، زون شماره ۱۷
۲۳۲	جدول ۴۲-۷- معدن دروی، زون شماره ۱۸

فهرست جداول

۲۳۳.....	جدول ۷-۴۳-۷ - معدن دروی، زون شماره ۱۹
۲۳۳.....	جدول ۷-۴۴-۷ - معدن دروی، زون شماره ۲۱
۲۳۴.....	جدول ۷-۴۵-۷ - معدن دروی، زون شماره ۲۲
۲۳۴.....	جدول ۷-۴۶-۷ - پارامترهای مربوط به چگالی نمونه‌های معدن باگ
۲۳۵.....	جدول ۷-۴۷-۷ - پارامترهای مربوط به چگالی نمونه‌های معدن دردوی
۲۳۶.....	جدول ۷-۴۸-۷ - مشخصات نمونه‌های معدن باگ جهت اندازه‌گیری مقاومت فشاری تکمحوره
۲۳۶.....	جدول ۷-۴۹-۷ - مشخصات نمونه‌های معدن دردوی جهت اندازه‌گیری مقاومت فشاری تکمحوره
۲۳۷.....	جدول ۷-۵۰-۷ - مشخصات نمونه‌های معدن باگ جهت اندازه‌گیری مقاومت بار نقطه‌ای
۲۳۷.....	جدول ۷-۵۱-۷ - مشخصات نمونه‌های معدن دردوی جهت اندازه‌گیری مقاومت بار نقطه‌ای



•
مقدمہ

فصل اول

مقدمه

۱.۱ مقدمه

عملیات حفاری در معادن از اهمیت بسیار زیادی برخوردار می‌باشد. در معدنکاری روباز، حفاری به عنوان اولین مرحله عملیات استخراج نقش بسیار تعیین کننده‌ای بر سایر مراحل استخراج دارد.

حفاری به معنی نفوذ^۱ در سنگ است. نفوذ در سنگ گاهی به منظور خردکردن آن‌ها صورت می‌گیرد که با حفر چال‌های انفجراری^۲ و قرار دادن مواد منفجره در داخل آن‌ها و انفجرار این مواد انجام می‌شود. این نوع حفاری را حفاری استخراجی^۳ می‌نامند. البته حفاری در معادن فقط به منظور استخراج نیست، بلکه قبل یا هنگام استخراج برای اکتشاف نیز انجام می‌پذیرد، که ممکن است به منظور کشف و پی بردن به وجود کانی یا ماده معدنی، یا پی بردن به شرایط کیفی سنگ‌ها با تهیه نمونه یا مغزه صورت گیرد (حفاری اکتشافی^۴) (اصانلو، ۱۳۸۲).

تورو^۵ در سال ۱۹۹۷، بیان کرد که، قابلیت حفاری اصطلاحی است که، تأثیر پارامترهای مختلف مؤثر بر عملکرد حفاری و سایش ابزار را توصیف می‌کند (Thuro, 1997).

روستان^۶ در سال ۱۹۹۸، قابلیت حفاری^۷ را به صورت زیر بیان نمود: مقاومت سنگ یا ترکیب کانی‌شناسی آن در برابر نفوذ، که توسط پارامترهای مختلف مهندسی سنگ، مانند: سختی، سایندگی، بافت، ساخت و ویژگی‌های شکستگی آن کنترل می‌شود (Rustan, 1998).

¹ Penetration

² Blastholes

³ Production drilling

⁴ Exploration drilling

⁵ Thuro

⁶ Rustan

⁷ Drillability

فصل اول

مقدمه

حسینی و همکارانش در سال ۲۰۰۹، قابلیت نفوذ^۸ و قابلیت حفاری را به صورت تأثیر همزمان Hoseinie et پارامترهای فیزیکی، مکانیکی و بافتی سنگ بر نرخ نفوذ سیستم‌های حفاری بیان کرد (al,2009).

۲.۱ هدف و ضرورت انجام تحقیق

امروزه کاربرد حفاری نیازمند شناخت کافی از عملیات آن می‌باشد تا امکان کاهش هزینه وجود داشته باشد. یک تخمین خوب و دقیق از میزان چالزنی برای بهینه سازی طول عمر و برنامه‌ریزی اقتصادی در هر پروژه حفاری در سنگ ضروری به نظر می‌رسد (Bilgesu, 1997). بنابراین با توجه به هزینه بالا و ماشین‌آلات گران قیمت، شناخت تمامی پارامترهای دخیل در حفاری و بهینه‌سازی آن، شرایط را برای استخراج بهینه فراهم می‌سازد. شناخت محیط حفاری و خصوصیات توده‌سنگ بر جا کمک بسیار زیادی به انتخاب نوع سیستم حفاری، تعیین تعداد ماشین-آلات حفاری، ارزیابی توان تولید معدن و پیش‌بینی سرعت حفاری خواهد بود (Hoseinie et al, 2008).

همچنین هزینه کل حفاری می‌تواند، با استفاده از پیش‌بینی نرخ نفوذ حفاری تخمین زده شود. همچنین می‌توان از این پیش‌بینی به منظور انتخاب مناسب‌ترین نوع ماشین حفاری برای شرایط مورد نظر استفاده کرد (Kahraman, 1999).

با توجه به مطالب بیان شده، این نتیجه را می‌توان بیان کرد که، عوامل متعددی در امر حفاری دخیل‌اند. برخی از عوامل بیان شده با قابلیت حفاری رابطه مستقیم و برخی دیگر رابطه عکس دارند که به تفصیل در فصل بعد به آن‌ها اشاره خواهد شد.

⁸ Penetrability

فصل اول

مقدمه

معدن سنگآهن سنگان دارای وسعت زیاد و حجم بالای حفاری می‌باشد. با توجه به اینکه در این معادن، برای ارزیابی قابلیت حفاری تودهسنگ زون‌های مختلف ساختاری، مطالعه‌ای صورت نگرفته است. لذا به نظر می‌رسد، جهت رسیدن به یک حفاری مطلوب باید مراحل زیر را طی نمود:

- تعیین عوامل مؤثر بر سرعت حفاری در معادن رو باز.

- طبقه‌بندی تودهسنگ‌های ترازهای مختلف معادن باگ و دردوی با استفاده از سیستم رده‌بندی

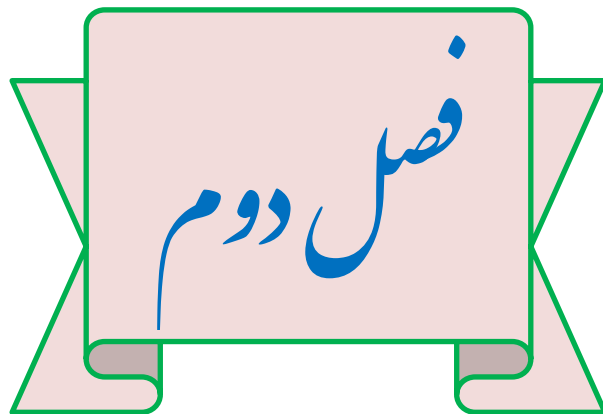
RDi

- زون‌بندی معادن باگ و دردوی جهت تعیین قابلیت حفاری.

- ارائه یک رابطه ریاضی جهت تعیین سرعت حفاری در زون‌های مختلف این دو معادن.

۳.۱ ساختار پایان‌نامه

در این پایان‌نامه، در فصل دوم، پس از مروری بر مطالعات پیشین، عوامل متعددی از دستگاه حفار، مشخصات ماده‌سنگ و مشخصاتی از تودهسنگ و محیط حفاری که به طور مستقیم یا غیر مستقیم بر قابلیت حفاری تأثیرگذارند، بیان شده است. در فصل سوم، چند مورد از سیستم‌های رده‌بندی که در زمینه قابلیت حفاری ارائه شده، آورده شده و پس از بررسی مزایا و معایب هر یک، سیستم رده‌بندی مناسب جهت تعیین قابلیت حفاری معادن باگ و دردوی انتخاب شده است. سپس در فصل چهارم به معرفی معادن سنگآهن سنگان پرداخته شده است. در ادامه در فصل پنجم، تمامی مراحلی که جهت تعیین قابلیت حفاری این معادن طی شده، بیان شده است، که در نهایت یک رابطه ریاضی، جهت تعیین سرعت حفاری در هر یک از معادن، تعیین شده و پس از زون‌بندی نهایی معادن مورد نظر، سرعت در هر یک از این زون‌ها به دست آمده است. در پایان، در فصل ششم، ابتدا نتایجی که از این تحقیق می‌توان گرفت ارائه شده، سپس پیشنهاداتی که جهت بهبود کار به نظر می‌رسد، ذکر شده است.



عوامل مؤثر بر قابلیت حفظی توده -

سن

فصل دوم

۱.۲ مقدمه

در معدنکاری روباز، حفاری به عنوان اولین مرحله عملیات استخراج نقش بسیار تعیین کننده‌ای بر سایر مراحل استخراج داشته و به عنوان بخش تفکیک ناپذیر عملیات استخراجی در معادن به شمار می‌رود. تاکنون روش مناسب‌تری برای جایگزینی این عملیات پیدا نشده است.

عملیات حفاری در معادن از اهمیت بسیار زیادی برخوردار است. حفاری و آتشباری از مهم‌ترین مراحل عملیاتی در معادن روباز به شمار می‌رود. با پیشرفت تکنولوژی و علوم، این عملیات نیز به طریق علمی‌تر و با اصول پایدارتر اجرا می‌شود (کمالی و مهربور، ۱۳۸۰).

برآورد قابلیت حفاری سنگ از جمله نیازهای مرحله طراحی و برنامه‌ریزی یک پروژه می‌باشد. به منظور دستیابی به یک برآورد خوب از قابلیت حفاری، باید عوامل مؤثر و میزان تأثیر آن‌ها را شناخت. بنابراین باید توجه داشت که در عملیات حفاری، عوامل متعددی بر میزان نفوذ تأثیرگذارند. برخی از این عوامل با تجهیزات به کار رفته مرتبط بوده و برخی دیگر مرتبط با پارامترهای سنگ می‌باشند.

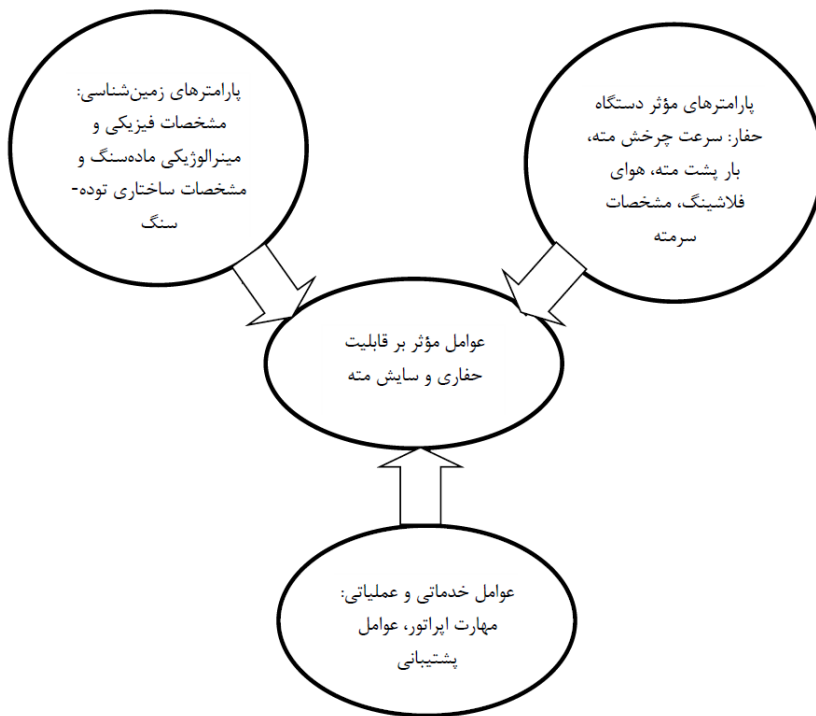
این عوامل را می‌توان به دو گروه تقسیم کرد (Yarali & Kahraman, 2011; Yasar et al, 2011) :

- عوامل قابل کنترل مانند: قطر و نوع سرمته، بار پشت متنه، سرعت چرخش متنه و فلاشینگ.
 - عوامل غیر قابل کنترل مانند: مشخصات سنگ و شرایط زمین‌شناسی.
- تورو^۱ در سال ۱۹۹۷، عوامل عمده مؤثر بر قابلیت حفاری را به سه دسته تجهیزات حفاری، پارامترهای ژئوتکنیکی و عوامل خدماتی و پشتیبانی، طبقه‌بندی نمود. در شکل (۱-۲)، می‌توان این عوامل را مشاهده نمود (Thuro, 1997).

¹.Thuro

فصل دوم

عوامل مؤثر بر قابلیت حفاری توده سنگ



شکل ۲-۱-۲ - پارامترهای مؤثر در قابلیت حفاری توده سنگ و سایش تجهیزات (Thuro, 1997)

همانطور که اشاره شد، تجهیزات حفاری که به عنوان پارامترهای قابل کنترل شناخته می‌شوند، پارامترهای مختلف دستگاه و سرمهنه را شامل می‌شوند. در مقابل، پارامترهای ژئوتکنیکی به عنوان پارامترهای غیر قابل کنترل معرفی شده و شامل خواص مختلف سنگ بکر و توده سنگ می‌باشند.

عوامل خدماتی و پشتیبانی، نیز به معنای مدیریت مناسب عملیات، استفاده صحیح و نگهداری مستمر تجهیزات و ابزارها، نیروی کارگری و نظارت، تأمین انرژی، محل کار، آب و هوا و مواردی از این قبیل می‌باشد (معماریان و همکاران، ۱۳۸۵؛ یاوری، ۱۳۸۱).

در ادامه به توضیح مختصر هر یک از عوامل فوق پرداخته خواهد شد.

۲.۲ تجهیزات حفاری

هارتمن در کتاب اصول مهندسی معدن خود، متغیرهای اجرایی (عوامل مربوط به تجهیزات حفاری)، را به میزان زیادی قابل کنترل دانسته و این متغیرها را به دو دسته تقسیم کرده است (یاوری، ۱۳۸۱):

فصل دوم

عوامل مؤثر بر قابلیت حفاری توده سنگ

- توان دستگاه حفاری، انرژی ضربه زن و فرکانس ضربه (تعداد ضربات سرمهته در واحد زمان)،

سرعت چرخش مته، بار پشت مته و میله مته

- خصوصیات و سرعت جریان سیال در گردش

در ادامه به شرح مهم‌ترین عوامل اشاره شده در بالا، پرداخته می‌شود.

۱.۲.۲ بار پشت مته

بار پشت مته^۱، عبارتست از مقدار باری که به مته وارد می‌آید و از این طریق موجب کنترل مسیر (از نظر انحراف مسیر چالزنی توسط مته) و افزایش مقدار چالزنی می‌گردد. اندازه آن بستگی به قطر مته، نوع سیستم چالزنی، مقاومت سنگ و نوع سرمهته دارد و مقدار آن از عدد دو رقمی تا ۱۴۳۰ کیلوگرم به ازای هر سانتی متر مته (۸۰۰۰ پوند به ازای هر اینچ مته)، متغیر است. در جدول (۱-۲)، مقدار بار پیشنهادی برای تعدادی از انواع مته‌ها بر حسب قطر برای سنگ‌های سخت ارائه شده است. جهت افزایش سرعت حفاری به بار روی مته مناسب نیاز است تا ماشین بتواند بر مقاومت فشاری سنگ غلبه کند (اصانلو، ۱۳۸۲).

جدول ۱-۲- بار پیشنهادی برای قطرهای مختلف در سنگ‌های سخت (اصانلو، ۱۳۸۲)

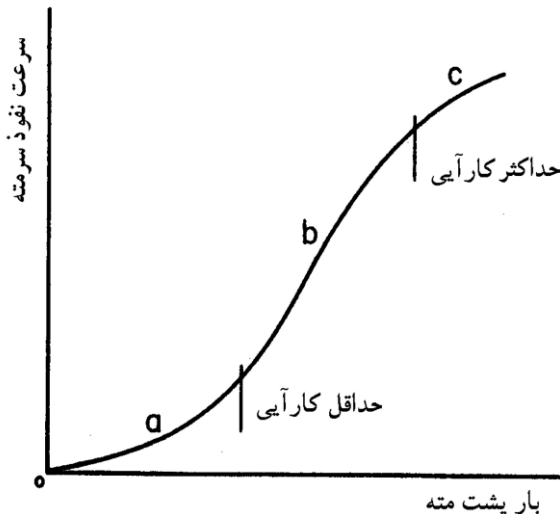
قطر مته (اینچ)	بار پشت مته پیشنهادی (کیلوگرم)
۵	۹۰۷۰
۷	۱۵۸۷۲
۹	۲۷۲۱۰
۱۲	۳۴۰۱۲
۱۵	۵۴۴۲۰

کلیه منحنی‌های به دست آمده بین سرعت حفاری و بار پشت مته در سنگ‌های مختلف، عموماً شکل ظاهری یکسان و نسبتاً مشابهی دارند. با این وصف می‌توان شکل کلی تغییرات سرعت حفاری نسبت به تغییرات بار پشت مته را به صورت شکل (۲-۲)، نشان داد.

^۱ Thrust

فصل دوم

عوامل مؤثر بر قابلیت حفاری توده سنگ



شکل ۲-۲- شکل کلی تغییرات سرعت حفاری نسبت به تغییرات بار پشت متنه (Jimeno et al, 1995)

سه حالت مختلف برای کار سرمته‌ها وجود دارد:

الف- بار پشت متنه کم

ب- بار پشت متنه مناسب

ج- بار پشت متنه زیاد

حداکثر بار پشت متنه، که با مقادیر کمتر از آن سنگ حفر نمی‌شود، از رابطه زیر به دست می‌آید.

$$E_{mi} = 28.5 \times RC \times D \quad (1-2)$$

که در آن:

E_{mi} : حداکثر بار پشت متنه

(MPa) : مقاومت فشاری سنگ RC

D : قطر سرمته (in)

حداکثر بار پشت متنه که با مقادیر بیش از آن سرمته گیر می‌کند، دو برابر مقدار قبلی فرض

می‌شود:

فصل دوم

عوامل مؤثر بر قابلیت حمایتی توده سنگ

$$E_m = 2 \times E_{mi} \quad (2-2)$$

که در آن E_m حداکثر بار پشت مته می‌باشد.

مقدار بار پشت مته حدی که سرمهته می‌تواند تحمل کند و به قطر سرمهته نیز بستگی دارد، از

معادله زیر به دست می‌آید:

$$E_L = 810 \times D^2 \quad (3-2)$$

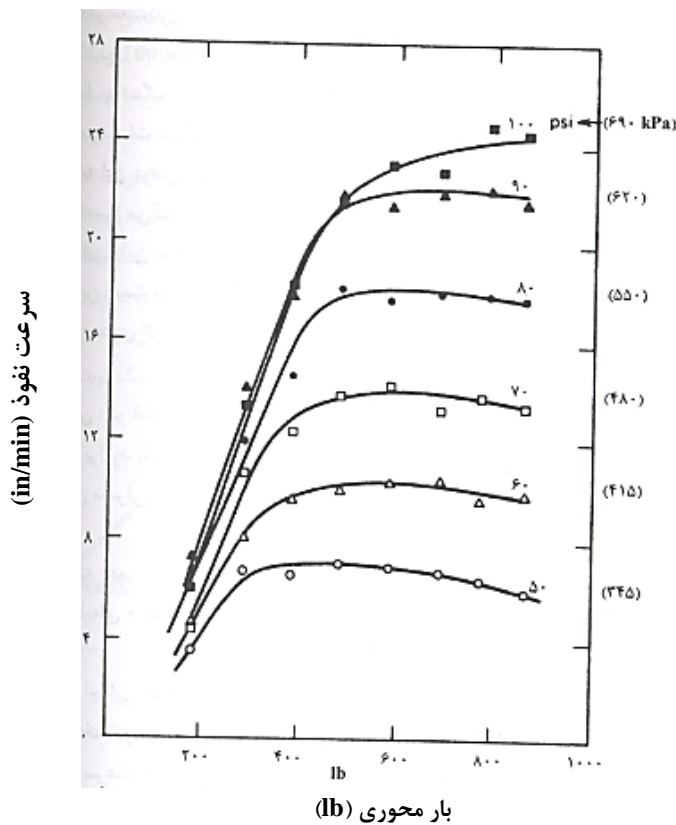
که در آن E_L بار پشت مته حدی اعمال شده به سرمهته می‌باشد (Jimeno et al, 1995).

هارتمن در کتاب اصول مهندسی معدن خود، تأثیر بار پشت مته را بر سرعت نفوذ سیستم‌های حفاری ضربه‌ای و دورانی، به صورت اشکال (3-۲) و (4-۲)، بیان کرده است.

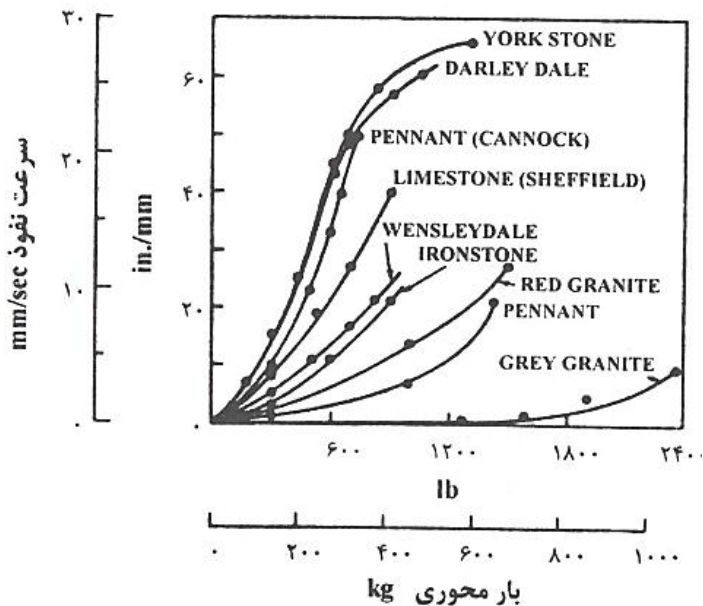
در شکل (3-۲)، تأثیر بار پشت مته، در سیستم حفاری ضربه‌ای بر سرعت نفوذ، برای فشارهای مختلف هوای فشرده در سنگ تاکونیت و در شکل (4-۲)، تأثیر بار پشت مته در سیستم حفاری دورانی بر سرعت نفوذ، در سنگ‌های مختلف با قطر سرمهته ۴۳ میلی‌متر و سرعت دوران ۱۸۰ دور بر دقیقه، مشاهده می‌شود.

فصل دوم

عوامل مؤثر بر قابلیت حفاری توده سنگ



شکل ۳-۲- تأثیر بار پشت مته در سیستم حفاری ضربه‌ای بر سرعت نفوذ برای فشارهای مختلف هوای فشرده در سنگ تاکونیت (یاوری، ۱۳۸۱)

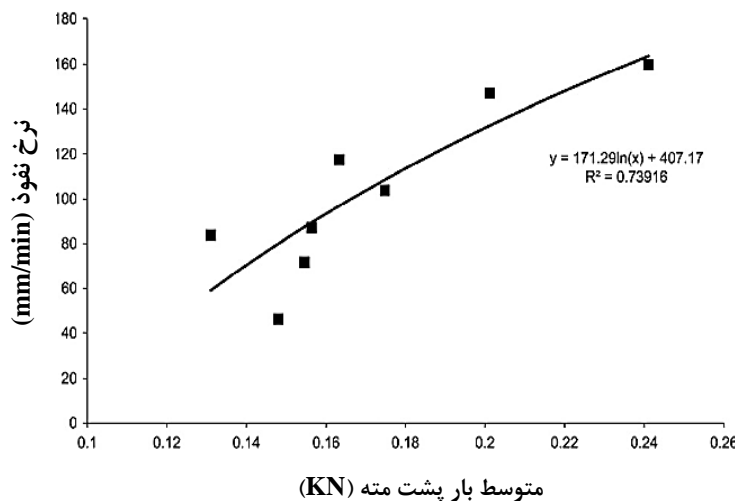


شکل ۴-۲- تأثیر بار پشت مته در سیستم حفاری دورانی بر سرعت نفوذ برای انواع سنگ‌های مختلف (یاوری، ۱۳۸۱)

فصل دوم

عوامل موثر بر قابلیت حفاری توده سنگ

یاشار و همکارانش در سال ۲۰۱۱، رابطه بین بار پشت متنه و نرخ نفوذ را در آزمایشگاه، بر روی نمونه‌های سیمانی به صورت شکل زیر به دست آوردند. همانطور که در شکل (۵-۲) مشاهده می‌شود، با افزایش بار پشت متنه، نرخ نفوذ نیز افزایش یافته است (Yasar et al, 2011).



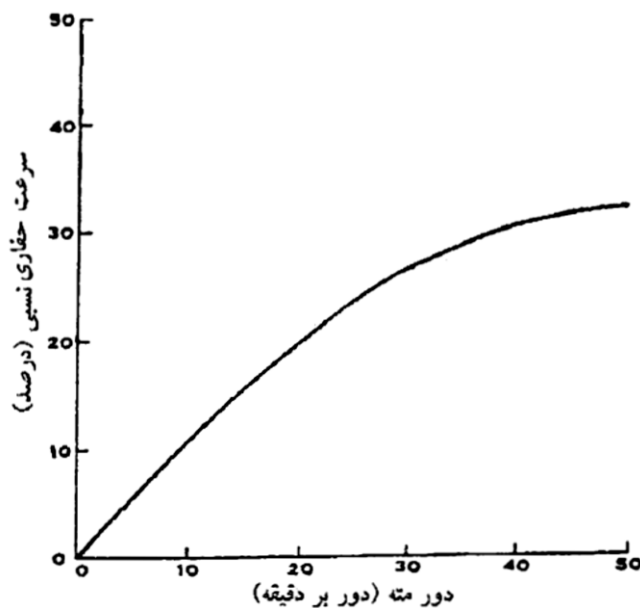
شکل ۵-۲- ارتباط بین متوجه بار پشت متنه و نرخ نفوذ (Yasar et al, 2011)

۲.۲.۲ سرعت چرخش متنه

تعداد چرخش یا دور متنه از اهمیت بهسزایی در سرعت حفاری برخوردار است. این بدان علت است که، نفوذ در سنگ در اثر تماس متنه با سنگ حاصل می‌شود و هر چه تعداد تماس بیشتر باشد، مقدار انرژی منتقل شده به سنگ نیز زیادتر است و لذا به نظر می‌رسد که با افزایش دور متنه، سرعت حفاری نیز باید افزایش یابد. اما بین افزایش دور متنه و سرعت حفاری رابطه کاملاً خطی مستقیم وجود ندارد. کاهش تعداد دور متنه به دلیل کاهش تعداد تماس سرمهنه با سنگ موجب کاهش سرعت حفاری می‌شود. بالعکس افزایش تعداد چرخش متنه موجب افزایش سرعت حفاری می‌شود. اما اگر تعداد دور متنه در هر دقیقه بیش از حد افزایش یابد، به دلیل عدم تماس کافی سرمهنه با سنگ و عدم انتقال کامل انرژی، سرعت حفاری نه تنها ممکن است سیر صعودی نداشته باشد، بالعکس ممکن است ثابت مانده یا کاهش یابد، به عبارت دیگر بین افزایش دور متنه در دقیقه و سرعت حفاری رابطه خطی مستقیم وجود ندارد (شکل ۶-۲) (اصانلو، ۱۳۸۲).

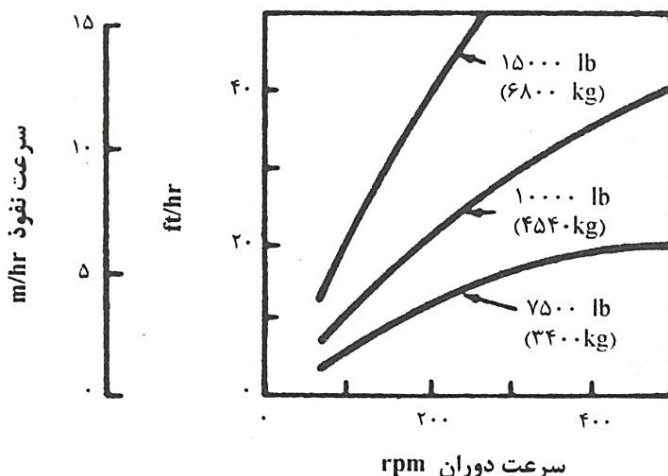
فصل دوم

عوامل مؤثر بر قابلیت حفاری توده سنگ



شکل ۶-۲- ارتباط بین دور مته و سرعت حفاری (بار روی مته ثابت است) (اصانلو، ۱۳۸۲)

همچنین هارتمن در کتاب اصول مهندسی معدن خود، تأثیر سرعت چرخش مته بر نرخ نفوذ را در سیستم حفاری دورانی برای سنگ دولومیت، به صورت شکل (۷-۲)، بیان کرده است.



شکل ۷-۲- اثر سرعت چرخش بر نرخ نفوذ برای بارهای محوری مختلف در سنگ دولومیت (یاوری، ۱۳۸۱)

فصل دوم

عوامل موثر بر قابلیت حفاری توده سنگ

۳.۲.۲ فلاشینگ

برای خروج ریزه‌های حفاری از ته چال از سیال‌هایی مانند هوای فشرده و آب استفاده می‌شود.

لازم است که سرعت ماده شستشو از سرعت نهایی سقوط بزرگترین ذره جدا شده و یا کانی، بزرگتر باشد. در این صورت سنگ و یا کانی خردشده بلافصله از ته چال جدا شده و سرمته با سنگ و یا کانی ته چال تماس حاصل می‌کند و سرعت نفوذ تحت شرایط مساوی به حداکثر می‌رسد. در غیر این صورت سرمته ضربات خود را بر روی ریزه‌های حفاری جدا شده، که هنوز در ته چال باقی مانده‌اند وارد آورده و به ریزتر نمودن آن‌ها می‌پردازد، تا با توجه به ابعاد ریزه‌های حفاری، حمل آن‌ها از چال امکان‌پذیر شود (استوار، ۱۳۸۳).

از مهم‌ترین وظایف هوای فلاشینگ می‌توان به موارد زیر اشاره کرد:

- خنک کردن و رونگ کاری سرمته

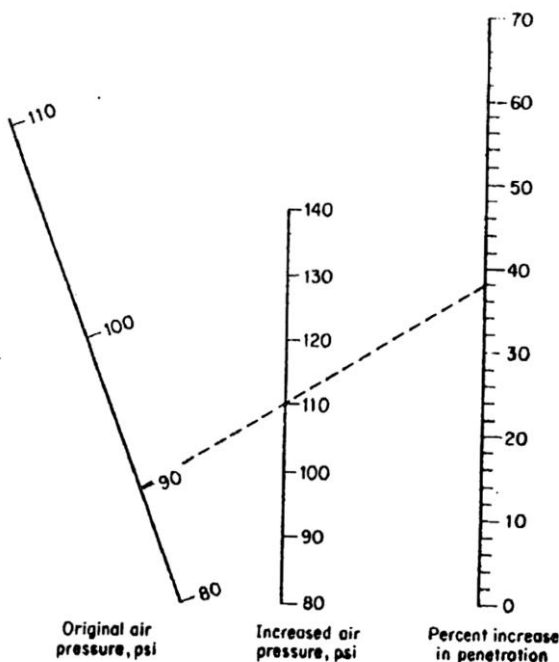
- بیرون راندن خردشدهای چالزنی (Jimeno et al, 1995)

به تجربه ثابت شده که افزایش فشار هوا، موجب افزایش سرعت حفاری در سنگ خواهد شد.

در شکل (۲-۸)، ملاحظه می‌شود که اگر فشار هوای ماشین حفاری از ۹۰ پوند بر اینچ مربع به ۱۱۰ پوند بر اینچ مربع افزایش یابد (شرایط حفاری از نظر نوع سنگ و اپراتور یکسان است)، مقدار نفوذ مته حفاری، ۳۸ درصد افزایش خواهد یافت (استوار، ۱۳۸۳).

فصل دوم

عوامل مؤثر بر قابلیت حفاری توده سنگ



شکل ۸-۲- تأثیر افزایش فشار هوا به روی سرعت حفاری (استوار، ۱۳۸۳)

همچنین اگر مقدار هوای فلاشینگ کمتر از میزان مورد لزوم باشد، اثرات منفی زیر ایجاد

خواهد شد:

- کاهش سرعت چالزنی

- افزایش بار پشت مته مورد نیاز جهت ادامه چالزنی

- افزایش آسیب‌های واردہ به دستگاه چالزنی به دلیل افزایش گشتاور چرخشی لازم جهت

چرخاندن سرمته

- افزایش سایش سازه‌ها، لوله چالزنی و سرمته (Jimeno et al, 1995).

۴.۲.۲ مشخصات سرمته

سرمهه حفاری به عنوان یک بخش حساس و بسیار مهم، تأثیرات چشمگیری در راندمان،

سرعت و هزینه‌های حفاری دارد. تماس مستقیم دستگاه و سنگ توسط سرمته برقرار شده و لذا

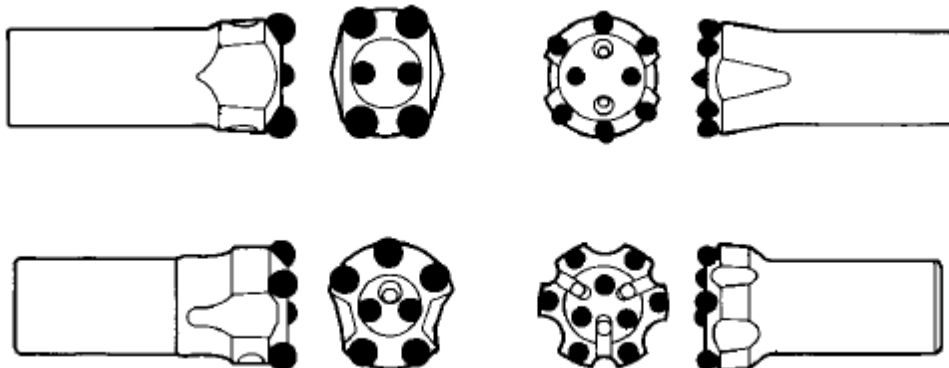
فصل دوم

عوامل مؤثر بر قابلیت حفاری توده سنگ

سرعت حفاری و میزان قابلیت خردشوندگی سنگ به طور مستقیم به شکل، نوع و اندازه سرمهته مربوط می‌شود (اصانلو، ۱۳۸۲).

در بین سرمهتهای مورد استفاده در ماشین‌های چالزنی ضربه‌ای، سرمهتهای دکمه‌ای از جایگاه ویژه‌ای برخوردارند. در اغلب شرایط زمین‌شناسی از سرمهتهای دکمه‌ای استفاده می‌شود، بنابراین در اینجا به توضیح این نوع سرمهتهای پرداخته می‌شود (معماریان و همکاران، ۱۳۸۵).

شکل (۹-۲)، سرمهتهای دکمه‌ای سیستم‌های حفاری ضربه‌ای- چرخشی را در حفاری‌های زیرزمینی نشان می‌دهد (Thuro, 1997).



شکل ۹-۲- انواع سرمهتهای ۶، ۷، ۸ و ۹ دکمه‌ای با سیستم‌های فلاشینگ متفاوت مورد استفاده در سنگ‌های سخت

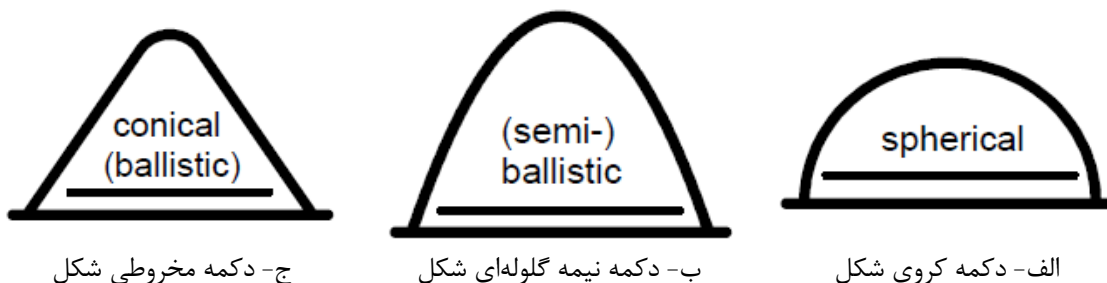
(Thuro, 1997)

سرمهته دکمه‌ای از خمیره‌ای که ابزار واقعی چالزنی، یعنی دکمه‌ها را در میان گرفته تشکیل شده است. این دکمه‌ها از آلیاژ بسیار سخت کاربید- تنگستن و خمیره کبالت درست شده است و دارای سختی ۹/۵ در مقیاس موس می‌باشند. خواص این سرمهتهای می‌تواند از طریق تفاوت تعداد دکمه‌های نصب شده، ترکیب ساخت، شکل، هندسه و جانمایی دکمه‌ها، کیفیت لحیم‌کاری و فولاد سرمهتهای، سوراخ‌های شستشو و شیارهای زهکشی، با شرایطی که در محل وجود دارد، منطبق شود (Thuro, 1997).

فصل دوم

عوامل موثر بر قابلیت حفاری توده‌گزک

در شکل (۱۰-۲)، سه نوع دکمه اصلی که در سرمهتهای سیستم‌های حفاری ضربه‌ای- دورانی استفاده می‌شود، نشان داده شده است.



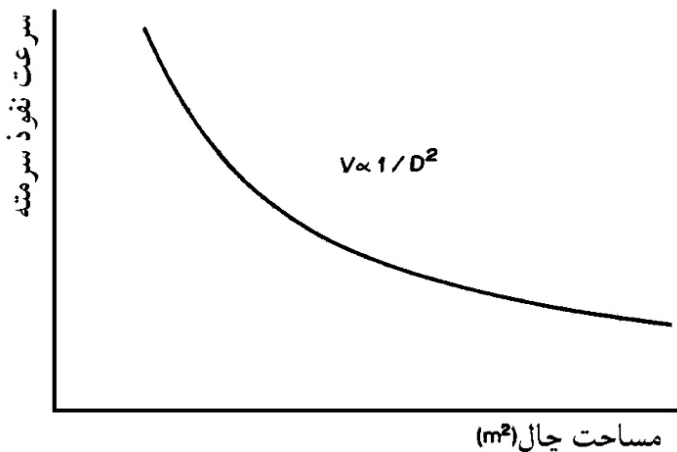
ج- دکمه مخروطی شکل

ب- دکمه نیمه گلوله‌ای شکل

الف- دکمه کروی شکل

شکل ۱۰-۲ - انواع سرمهتهای مورد استفاده در سیستم‌های حفاری ضربه‌ای- چرخشی (Thuro, 1997)

قطر سرمهته و در نهایت قطر چال نیز، یک پارامتر مهم در سرعت حفاری می‌باشد. هر چه قطر چال کمتر باشد، سرعت چالزنی بیشتر خواهد بود (استوار، ۱۳۸۳). همانطور که در شکل (۱۱-۲)، مشاهده می‌شود، سرعت حفاری با عکس مجدور قطر متناسب است.



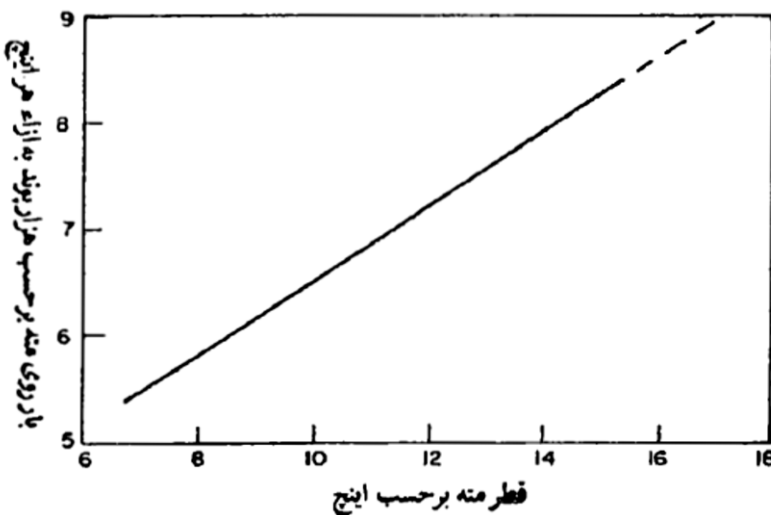
شکل ۱۱-۲ - تأثیر قطر بر سرعت چالزنی (Jimeno et al, 1995)

اندازه متنه در تعیین بار پشت متنه مؤثر است. از آنجایی که متنهای با قطر بیشتر ظرفیت تحمل‌پذیری فشار بیشتری دارند، لذا بار بیشتری را می‌توانند تحمل کنند. به عنوان مثال برای متنهای با قطر چهار اینچی می‌توان تا دو برابر متنهای دو اینچی بار اعمال کرد. این امر می‌تواند از عواملی باشد که در سیستم چرخشی بار زیادتری مورد استفاده قرار می‌گیرد، چون در این نوع

فصل دوم

عوامل مؤثر بر قابلیت حفاری توده سنگ

سیستم، قطر متدها معمولاً زیادتر از قطر متدهای سیستم ضربه‌ای است. شکل (۱۲-۲)، ارتباط بین قطر مته و بار روی مته را نشان می‌دهد.



شکل ۱۲-۲ - ارتباط بین قطر مته و بار روی مته (اصانلو، ۱۳۸۲)

به دلیل افزایش سرعت حفاری نمی‌توان به طور دلخواه، در متدهای قطرور از بار روی مته زیاد استفاده کرد. بار روی مته زیاد موجب استهلاک مته و کاهش عمر آن و در نتیجه افزایش هزینه مته می‌گردد. ذکر این نکته نیز ضروری است که هزینه مته از عوامل مؤثر در تعیین هزینه حفاری است و تا ۶۰ درصد هزینه‌ها را می‌تواند شامل شود (اصانلو، ۱۳۸۲).

۳.۲ پارامترهای ژئوتکنیکی

همانطور که اشاره شد، دسته دوم از عوامل مؤثر بر قابلیت حفاری که به عنوان عوامل غیر قابل کنترل محسوب می‌شوند، خصوصیات ژئوتکنیکی سنگ می‌باشند. به طور کلی خصوصیات سنگ در زمینه نرخ نفوذ، به چهار دسته خصوصیات بافتی، مکانیکی، ساختاری و هوازدگی تقسیم می‌شوند، که می‌توان خصوصیات ساختاری و هوازدگی را در یک قالب و به عنوان مشخصات مربوط به توده‌سنگ در نظر گرفت. به همین دلیل باید سه بعد از ویژگی‌های سنگ شناسایی شود (معماریان و همکاران، ۱۳۸۵):

فصل دوم

عوامل موثر بر قابلیت حفاری توده سنگ

- ترکیب کانی‌شناسی و بافت سنگ

- ماده‌سنگ و رفتار مکانیکی آن

- توده‌سنگ (ساختمان و شرایط آن).

دو ویژگی اول وابستگی زیادی به یکدیگر دارند، به گونه‌ای که خصوصیات بافتی سنگ‌ها به

وضوح بر رفتار مکانیکی و قابلیت حفاری تأثیر می‌گذارد.

همچنین شرایط توده‌سنگ وابستگی بسیار زیادی به تاریخچه زمین‌شناسی، وضعیت هوازدگی،

تجزیه هیدروترمال و ویژگی‌های ناپیوستگی‌ها دارد (Thuro, 1997).

بنابراین پارامترهای مؤثر بر قابلیت حفاری را می‌توان در دو گروه، خصوصیات فیزیکی و

مکانیکی ماده‌سنگ و شرایط توده‌سنگ بررسی نمود. در جدول (۲-۲) نیز، پارامترهای مختلفی از

ترکیب کانی‌شناسی و بافت سنگ، ماده‌سنگ و توده‌سنگ، که قابلیت حفاری را تحت تأثیر قرار می-

دهند، ذکر شده است.

جدول ۲-۲- پارامترهای مؤثر بر قابلیت حفاری (Thuro, 1997; Ersoy & Waller, 1995)

کانی	ترکیب کانی میکروفابریک	آندازه و شکل دانه‌ها، درجه جهت یافته‌گی، میزان قفل شدگی، تناسب نسبی دانه‌ها، ضربی بافت، کانی‌های محتوى، مقدار کوارتز معادل، نوع و جنس خمیره، نوع سیمان و درجه سیمان شدن، تخلخل، ارتباط مرز و نقاط برخورد دانه‌ها و ...
سنگ	رفتار الاستیک- پلاستیک خواص مکانیکی سنگ	کارتخریب، مقاومت فشاری، مدول یانگ، مقاومت کششی، ساینده‌گی، سختی، نسبت بین مقاومت فشاری به کششی، چگالی سنگ، فشار منفذی و ...
توده‌سنگ	شرایط توده‌سنگ و ناپیوستگی‌ها	درزه‌ها، شکستگی‌ها، تورق ^۱ ، برگ وارگی ^۲ ، گسل‌ها، چین خورده‌گی لایه‌ها، جهت‌داری ^۳ ، فاصله‌داری ناپیوستگی‌ها، وضعیت هوازدگی، تجزیه هیدروترمالی و دگرسانی، آب محتوى و ...

¹ Cleavage

² Foliation

³ Anisotropy

فصل دوم

عوامل مؤثر بر قابلیت حفاری توده سنگ

با توجه به اهمیت مسئله، در طول سالیان گذشته، محققان مختلفی، مطالعات تئوری و تجربی زیادی را انجام داده و ارتباط نرخ نفوذ را با عوامل مختلف مؤثر بر آن بررسی کرده‌اند. در ادامه، به اهم این مطالعات و نتایج حاصل پرداخته می‌شود.

پروتودیاکانوف^۱ در سال ۱۹۶۲، از آزمایش ضریب مقاومت سنگ^۲، که نشانگر مقدار مقاومت سنگ در مقابل ضربه می‌باشد، برای اندازه‌گیری استحکام آن استفاده کرد (Yarali & Kahraman, 2011).

ماشور^۳ در سال ۱۹۶۶، کارهای انجام شده پیشین در مورد چالزنی را به تفصیل مورد بررسی قرار داد. او به این نتیجه رسید که، زمانی که سرمهتهای چالزنی بارگذاری می‌شوند، مقاومت‌های کششی و برشی در سنگ، کنار سرمهته به وجود آمده و بسته به اینکه بارگذاری، اول به کدام یک از این مقاومت‌ها برسد، گسیختگی‌هایی کششی و یا برشی در سنگ رخ می‌دهد. به علت پیچیدگی دینامیکی عملیات چالزنی، مدل‌های ارائه شده، بیش از حد ساده در نظر گرفته شده‌اند (Kahraman et al, 2003).

سینگ^۴ در سال ۱۹۶۹، بیان کرد که، نرخ نفوذ با مقاومت فشاری تکمحوره رابطه عکس دارد (Kahraman, 1999).

پائون^۵ و همکارانش در سال ۱۹۶۹، تحقیقات میدانی را در زمینه حفاری ضربه‌ای انجام دادند. آن‌ها پس از انجام تحقیقات خود به این نتیجه رسیدند که، مقاومت فشاری تکمحوره^۶، سختی شور^۷،

^۱ Protodyakonov

^۲ Coefficient of rock strength

^۳ Maurer

^۴ Singh

^۵ Paone

^۶ Uniaxial compressive strength

^۷ Shore hardness

^۸ در این روش، یک چکش از جنس کربید تنگستن (۲/۳ گرم وزن و ۵/۷۳ میلیمتر قطر) به همراه یک الماس کوچک، از یک ارتفاع مشخص بر روی جسم فرود می‌آید. سختی شور از اندازه‌گیری ارتفاع واجهش به دست می‌آید. این ارتفاع به طور تصادفی بر روی عددی بین ۰-۱۴۰ که توسط دستگاهی که در بالای چکش الماسه قرار دارد، قرار می‌گیرد. طبق پیشنهاد ISRM، ساین آزمایش باید ۲۰ بار تکرار شود و از نتایج میانگین‌گیری شود.

فصل دوم

عوامل موثر بر قابلیت حفاری توده سنگ

مدول یانگ^۱ و مقاومت کششی^۲، رابطه قابل قبولی را با نرخ نفوذ در حفاری ضربه‌ای در نه نوع سنگ سخت و ساینده که شامل کانی‌هایی مانند کوارتز و فلدسبارند، نشان می‌دهند. همچنین آن‌ها بیان کردند که، هر کدام از این پارامترها به تنها یی نمی‌توانند نتایج رضایت‌بخشی را با نرخ نفوذ در حفاری ضربه‌ای نشان دهند (Kahraman et al, 2003).

فیش^۳ در سال ۱۹۶۸، مدلی را برای روش حفاری چرخشی ارائه داد. ایشان در این رابطه بیان کرد که، نرخ نفوذ در حفاری چرخشی با بار پشت متنه^۴ رابطه مستقیم و با مقاومت فشاری تک محوره رابطه عکس دارد (Kahraman, 1999).

سلیم و بروک^۵ در سال ۱۹۷۰، آزمایشاتی را بر روی نه نمونه سنگ با استفاده از سیستم حفاری ضربه‌ای در آزمایشگاه انجام دادند. آن‌ها روابط خطی را میان نرخ نفوذ در حفاری ضربه‌ای و پارامترهایی از قبیل: مقاومت فشاری، مقاومت کششی، سختی شور، چگالی ظاهری، ضربی مقاومت سنگ و مدول یانگ به دست آوردند که، این روابط می‌توانست جهت به دست آوردن نرخ نفوذ در سیستم حفاری ضربه‌ای استفاده شود (Yarali & Kahraman, 2011).

سلمرولسن و بلندهایم^۶ در سال ۱۹۷۰، سختی، مقاومت، تردی و ساینده‌گی را به عنوان مشخصاتی از سنگ که در عملیات چالزنی مهم هستند، معرفی کردند. همچنین آن‌ها با انجام آزمایشاتی بر روی سیستم‌های حفاری ضربه‌ای، رابطه خوبی بین نرخ نفوذ و شاخص نرخ چالزنی^۷ به دست آوردند (Yarali & Kahraman, 2011).

¹ Young's modulus

² Tensile strength

³ Fish

⁴ Trust

⁵ Selim & Bruce

⁶ Selmerolsen and Blindheim

⁷ Drilling Rate Index

فصل دوم

عوامل مؤثر بر قابلیت حفاری توده سنگ

هوستروالید و فرهرست^۱ در سال ۱۹۷۱، مطالعه‌ای کامل در مورد چالزنی ضربه‌ای انجام داده و سپس مدلی برای چالزنی ضربه‌ای واقعی به کار بردن. آن‌ها به طور مفصل انرژی منتقل شده در چالزنی ضربه‌ای، محل برخورد پیستون فولادی، نیروی پیش‌برنده و سایر موارد را برای طراحی سیستم‌های حفاری ضربه‌ای مورد بررسی قرار داده و رابطه زیر را برای نرخ نفوذ ارائه دادند

: (Hustrulid & Fairhurst, 1971))

$$PR = \frac{E_i \times bpm \times T_R}{A_H \times E_V} \quad (1-2)$$

که در این رابطه:

(blows/min) : فرکانس دمیدن (bpm) (in-lb) : انرژی هر بار دمیدن (E_i)

(in²) : مساحت چال (A_H) (in-lb/in³) : نرخ انتقال انرژی

(in-lb/in³) : انرژی به ازای واحد حجم (E_V)

همانطور که در رابطه فوق مشاهده می‌شود، نرخ نفوذ با انرژی دمیدن و فرکانس دمیدن، رابطه مستقیم و با مساحت چال و انرژی ویژه رابطه معکوس دارد.

اشمیت^۲ در سال ۱۹۷۲، رابطه‌ای را بین نرخ نفوذ با پارامترهایی از قبیل: مقاومت فشاری، مقاومت کششی، سختی شور، چگالی، مدول یانگ، سرعت موج طولی، عرضی و نسبت پواسون بیان کرد. او به این نتیجه رسید که، در میان پارامترهای بیان شده، مقاومت فشاری، مقاومت کششی و مدول یانگ رابطه خوبی را با نرخ نفوذ نشان می‌دهند (Yarali & Kahraman, 2011).

تانداناند^۳ و آنگر^۴ در سال ۱۹۷۵، با انجام مطالعات میدانی در رابطه با نه سنگ سخت و ساینده، به این نتیجه رسیدند که، مقاومت فشاری تک‌محوره، مقاومت کششی، سختی شور و مدول یانگ با نرخ نفوذ در حفاری ضربه‌ای رابطه نسبتاً خوبی دارند (Kahraman et al, 2000).

¹ Hustrulid & Fairhurst

² Schmidt

³ Tandanand

⁴ Unger

فصل دوم

عوامل مؤثر بر قابلیت حفاری توده سنگ

پایтанکار و میسرا^۱ در سال ۱۹۸۰، از خصوصیات سنگ مانند مقاومت فشاری تکمحوره، مقاومت کششی، انرژی مخصوص^۲، سختی شور و سختی موس دریافتند که این پارامترها هر کدام به تنها یی نمی‌توانند ارتباط خوبی با نرخ نفوذ در حفاری ضربه‌ای داشته باشند (Kahraman, 1999).

ویلبور^۳ در سال ۱۹۸۲، مهم‌ترین پارامترهای تأثیرگذار بر قابلیت حفاری را سختی موس، بافت، شکستگی و ساختار توده سنگ ذکر کرده است (Hoseinie et al, 2009).

استوار^۴ اهمیت منشأ سنگ، سختی، اندازه دانه‌ها، مقاومت فشاری تکمحوره، چگالی، سیستم درزه‌ها، و ساختار توده سنگ را در قابلیت حفاری بیشتر دانسته است (Hoseinie et al, 2009).

هوارس^۵ و همکارانش در سال ۱۹۸۶، رابطه‌ای قوی میان نرخ نفوذ و مشخصاتی از سنگ از قبیل: چگالی حجمی، مقاومت فشاری سنگ در حالت اشباع و تخلخل ظاهری بیان کردند. همچنین آن‌ها به این نتیجه رسیدند که رابطه میان نرخ نفوذ با سختی اشمیت و مقاومت فشاری سنگ در حالت خشک، رابطه‌ای قوی نمی‌باشد (Yarali & Kahraman, 2011).

هوارس و رولند^۶ در سال ۱۹۸۷، پس از بررسی رابطه میان ضریب بافت و نرخ نفوذ در سیستم حفاری ضربه‌ای، به این نتیجه رسیدند که، با افزایش ضریب بافت، قابلیت حفاری کاهش یافته و مقاومت فشاری سنگ افزایش می‌یابد (Howarth & Rowland, 1987).

تورو و اسپان^۷ در سال ۱۹۹۶، نرخ نفوذ را در جبهه کار تونل بررسی کردند. آن‌ها به این نتیجه رسیدند که، بین نرخ نفوذ در سیستم حفاری ضربه‌ای با مقاومت فشاری و کششی، یک رابطه لگاریتمی قوی وجود دارد (Thuro & Spaun, 1996).

¹ Paithankar and Misra

² Specific energy

³ Wilbur

⁴ Ostovar

⁵ Howarth

⁶ Rowland

⁷ Thuro & Spaun

فصل دوم

عوامل مؤثر بر قابلیت حفاری توده سنگ

اصلانلو^۱، پارامترهایی مانند نیروی به هم چسبی سنگ، تخلخل، چگالی، بافت، مقاومت فشاری

تک محوره، RQD، الاستیسیته، پلاستیسیته، چفرمگی، سختی و ساخت توده سنگ را به عنوان

پارامترهای تأثیرگذار بر قابلیت حفاری معرفی کرده است (Hoseinie et al, 2009).

قهرمان^۲ در سال ۱۹۹۹، با استفاده از مدل رگرسیون چندگانه به منظور پیش‌بینی نرخ نفوذ در

سیستم‌های حفاری چرخشی، DTH^۳ و سیستم‌های حفاری هیدرولیکی چکش بالا، به این نتیجه

رسید که، پارامترهایی که در هر کدام از این سیستم‌های حفاری، نرخ نفوذ را تحت تأثیر قرار می-

دهند، متفاوت می‌باشند. به طوری که پارامترهای مؤثر بر نرخ نفوذ در سیستم حفاری چرخشی، وزن

مته حفاری، سرعت چرخش مته حفاری، قطر مته و مقاومت فشاری سنگ می‌باشند. در سیستم

حفاری DTH، این پارامترهای مؤثر، فشار عملیاتی، قطر پیستون و عدد چکش اشمیت بوده و در

سیستم حفاری هیدرولیکی چکش بالا، فشار هوا، مقاومت فشاری سنگ و کوارتز محتوی، پارامترهای

مؤثر بر نرخ نفوذ می‌باشند (Kahraman, 1999).

قهرمان و همکارانش در سال ۲۰۰۰، اندیس قابلیت حفاری جدیدی را ارائه دادند. آن‌ها با

استفاده از این اندیس، مدلی ریاضی جهت نرخ نفوذ در سیستم‌های حفاری چرخشی به دست آوردند.

همچنین آن‌ها روابط مهمی را بین این اندیس با مقاومت فشاری، مقاومت کششی، مقاومت بار نقطه-

ای، عدد چکش اشمیت، سرعت موج، مدول الاستیک و چگالی به دست آوردند (Kahraman et al, 2000).

قهرمان در سال ۲۰۰۲، روابطی میان نرخ نفوذ در سیستم‌های حفاری ضربه‌ای و چرخشی با

تردی بیان کرد. ایشان به این نتیجه رسیدند که رابطه بین نرخ نفوذ و تردی، به روش اندازه‌گیری این

پارامتر بستگی دارد (Kahraman, 2002).

¹ Osanloo

² Kahraman

³ Down the hole

فصل دوم

عوامل موثر بر قابلیت حفاری توده سنگ

ایشان در سال ۲۰۰۳، قابلیت چالزنی را در سیستم‌های حفاری ضربه‌ای، در هشت نوع سنگ بررسی کرد. در طول مطالعات نوع دستگاه چالزن، نوع سرمهته، قطر و طول سوراخ، فشار هوا، فشار تغذیه نیرو، زمان چالزنی و ... ثبت شدند. نرخ نفوذ از این اندازه‌گیری‌ها محاسبه شده و برای تمامی مشاهدات به دست آمدند. پس از آن، ارتباط این اعداد با مقاومت فشاری تکمحوره، مقاومت کششی بزریلی، مدول الاستیک، مقاومت بار نقطه‌ای، سختی اشمیت، سرعت صوت و چگالی بررسی شد. از میان این پارامترها، انرژی ویژه، مقاومت فشاری تکمحوره، مقاومت کششی بزریلی، مقاومت بار نقطه‌ای و سختی اشمیت به عنوان مهم‌ترین پارامترهایی که بر نرخ نفوذ تأثیر می‌گذارند، انتخاب شدند. مقاومت بار نقطه‌ای و سختی اشمیت در مقایسه با مقاومت فشاری تکمحوره و مقاومت کششی بزریلی به راحتی تعیین می‌شوند، زیرا ابزار این آزمایش‌ها قابل حمل بوده و می‌توانند در محل مورد نظر مورد استفاده قرار گیرند (Kahraman & Bilgin, 2003).

بیلگین^۱ و قهرمان در سال ۲۰۰۳، با استفاده از سیستم حفاری چرخشی و آزمایش بر روی چهارده نمونه سنگ که از هشت معدن روباز مختلف جمع‌آوری کردند، روابطی را بین مشخصات مختلف سنگ و نرخ نفوذ به دست آورند. آن‌ها به این نتیجه رسیدند که، پارامترهایی از قبیل: مقاومت فشاری تکمحوره، مقاومت بار نقطه‌ای، عدد چکش اشمیت و سختی سورشار، روابط خیلی قوی را با نرخ نفوذ نشان می‌دهند. همچنین بین پارامترهایی مانند، مقاومت کششی بزریلی و سختی نفوذگر مخروطی با نرخ نفوذ نیز، روابط خوبی برقرار می‌باشد (Kahraman & Bilgin, 2003).

حسینی و عطائی در سال ۱۳۸۸، با انجام آزمایشاتی بر روی نه نوع سنگ مختلف با استفاده از سیستم حفاری ضربه‌ای چکش بالا، رابطه بین نرخ نفوذ را با سه پارامتر مقاومت فشاری تکمحوره، مقاومت کششی بزریلی و مدول یانگ، به دست آورده و نتیجه‌گیری کردند که، با افزایش این سه پارامتر، سرعت حفاری در این سیستم با سرمهته تیغه‌ای ضربه‌ای، به صورت لگاریتمی کاهش می‌یابد.

^۱ Bilgin

فصل دوم

عوامل مؤثر بر قابلیت حفاری توده سنگ

همچنین آن‌ها پیشنهاد کردند که، از میان سه پارامتر مقاومتی فوق، مقاومت فشاری تکمحوره به عنوان، مشخصه مهندسی سنگ قرار گیرد (حسینی و عطائی، ۱۳۸۸).^۱ حسینی و همکارانش در سال ۲۰۰۸، با ارائه سیستم رده‌بندی جدیدی با عنوان اندیس قابلیت حفاری توده‌سنگ^۲، به منظور پیش‌بینی کیفی قابلیت حفاری، با استفاده از مدل‌سازی فیزیکی در آزمایشگاه، به این نتیجه رسیدند که، پارامترهای مؤثر ماده‌سنگ بر نرخ نفوذ، بافت، سختی موس و مقاومت فشاری تکمحوره می‌باشند (Hoseinie et al, 2008).

یارعلی^۳ و قهرمان در سال ۲۰۱۱، بیان کردند که، تحقیقاتی در زمینه تردی^۴ که یکی از پارامترهای مؤثر بر قابلیت حفاری می‌باشد، انجام شده است. اما هیچ تعریف واحد یا روش اندازه‌گیری مشخصی در بین محققان مختلف وجود ندارد. آن‌ها با انجام آزمایشاتی بر روی ۳۲ نوع سنگ مختلف، ارتباط بین اندیس قابلیت حفاری^۵ و انواع مختلف تردی به دست آورdenد. آن‌ها به این نتیجه رسیدند که، اندیس قابلیت حفاری با برخی از انواع تردی رابطه‌ای قوی دارد، به طوری که با افزایش تردی، اندیس قابلیت حفاری کاهش می‌یابد (Yarali & Kahraman, 2011).

چنیانی^۶ و همکارانش در سال ۲۰۱۲، به منظور ارائه مدلی عملی و ساده، جهت پیش‌بینی قابلیت حفاری در سیستم حفاری دورانی، مطالعاتی را در معن مس سرچشمه انجام دادند. آن‌ها با در نظر گرفتن پارامترهای مختلفی از ماده‌سنگ، توده‌سنگ و ماشین حفار شامل: مقاومت فشاری تک-محوره، سختی اشمیت، کوارتز محتوی، اندازه خردایش، شبیب درزه، آلتراسیون، سرعت چرخش مته و بار پشت مته و استفاده از آنالیزهای آماری، معادلات تجربی را به منظور پیش‌بینی سرعت حفاری و به طور خاص، اندیس ویژه قابلیت حفاری توده‌سنگ^۷ توسعه دادند. آن‌ها به این نتیجه رسیدند که،

^۱ Rock mass Drillability Index

^۲ Yarali

^۳ brittleness

^۴ Drilling Rate Index

^۵ Cheniany

^۶ Specific Rock Mass Drillability Index

فصل دوم

عوامل موثر بر قابلیت حفاری توده سنگ

مهمترین پارامترهای مؤثر، پارامترهای مقاومتی شامل: مقاومت فشاری تکمحوره و عدد سختی اشمتیت می‌باشد و شب ناپیوستگی‌ها کمترین ارتباط را با اندیس ویژه قابلیت حفاری توده سنگ دارد (Cheniany et al, 2012).

همچنین حسینی و همکارانش در سال ۲۰۰۹ و قویدل در سال ۱۳۹۰، تحقیقات انجام شده در زمینه پارامترهای مؤثر فیزیکی و مکانیکی بر قابلیت حفاری را جمع‌آوری نمودند که در جدول (۳-۲)، ذکر شده است.

جدول ۳-۲- تحقیقات انجام شده در زمینه تأثیر پارامترهای فیزیکی و مکانیکی سنگ بر قابلیت حفاری (برگرفته از Hoseinie et al, 2009؛ قویدل، ۱۳۹۰)

Researcher	Year	PI	n	WV	S.E	DRI	CRS	S.H	To	YM	TS	CS	Sc.H	We	D	Ab	Ha	Te
Simon	1956								✓			✓					✓	B
Teale	1965					✓												GS
Hucka	1965											✓						Ma
Protodyakonov	1962	✓																QC
Maurer	1966											✓						
Fish	1968											✓						
Paone et al	1969								✓	✓	✓	✓	✓					
Singh	1969											✓						
S-Olsen and Blendheim	1970					✓												✓
Selim & Bruce	1970					✓												
Martini	1971					✓							✓					
Hustrulid and Fairhurst	1971, 1972					✓												
Mellor	1972				✓													
Schmidt	1972			✓					✓		✓	✓	✓	✓				
Tandanand and Unger	1975							✓										
Paithankar & Mirsha	1980												✓				✓	
Rabia and Brook	1980, 1981								✓									
Wilbur	1982															✓		✓
Rabia	1982				✓													
Clark	1982											✓						

فصل دوم

عوامل موثر بر قابلیت حذاری توده سنگ

Researcher	Year	PI	n	WV	CRS	DRI	S.E	To	YM	CS	TS	Ha	We	Ab	D	Sc.H	Te
Howarth	1986		✓	✓					✓	✓	✓						✓
Howarth & Rowland	1987																✓
West	1989														✓		
Bilgin et al	1993				✓					✓	✓	✓	✓				
Ersøy and Waller	1995									✓	✓	✓	✓	✓	✓	✓	✓
Jimeo et al	1995																
Andreev	1995																✓
Serradj	1996	✓										✓					
Thuro and Spaun	1996								✓	✓	✓	✓					
Thuro	1997											✓					
Rao et al.	1998			✓						✓	✓			✓	✓	✓	✓
Shimada and Matsui	1998						✓			✓	✓						
Osanloo	1998										✓				✓		✓
Kahraman	1999			✓					✓	✓	✓	✓	✓				
Kahraman et al.	2000			✓					✓	✓	✓	✓	✓	✓			
Li et al	2000											✓					
Kahraman et al	2000										✓	✓					✓
Altindog	2000-2				✓												✓
Liu et al.	2002					✓											✓
Kahraman	2002					✓											✓
Plininger et al.	2002														✓		
Ersøy	2003					✓						✓					
Kahraman et al	2003				✓	✓						✓					
Bilgin & Kahraman	2003								✓			✓	✓				
Izquierdo and Chiang	2004					✓						✓					
Tanaino	2005					✓						✓					
Akun and Karpuz	2005					✓						✓					
Schormair et al.	2006														✓		✓
Singh et al.	2006								✓			✓					✓

فصل دوم

عوامل مؤثر بر قابلیت حاره‌ی توده‌گز

Researcher	Year	PI	n	WV	S.E	DRI	CRS	SH	YM	To	TS	CS	Sc.H	QC	We	D	Ab	Ha	B	GS	Ma	Te	
K.B.Chary et al	2006			✓		✓																✓	✓
Yarali	2007					✓																	✓
Ataei and Hoseinie	2008																	✓					
Hoseinie et.al.	2008															✓			✓			✓	✓
Hoseinie et.al.	2009											✓							✓				✓
Adebayo et al.	2010					✓																	
Altindag	2010					✓																	
Yarali & Kahraman	2010					✓																	
Yarali & Kahraman	2011					✓										✓	✓						
Niyazi Bilim	2011		✓															✓					
Yarali & Kahraman	2011					✓										✓	✓				✓	✓	
Yarali & Soyer	2011					✓										✓	✓				✓	✓	
V.C. Kelessidis	2011					✓										✓							
Cheniany et al.	2012																✓						✓

که در این جدول، Te: بافت، GS: اندازه دانه^۱، Ma: ماتریکس^۲، QC: کوارتزمحتوی^۳، Ha: سختی^۴، Ab: سایندگی^۵، We: هوازدگی^۶، D: چگالی^۷، CS: سختی اشمیت، Sc.H: مقاومت فشاری، YM: مقاومت کششی، TS: مدول یانگ، To: چقرمگی^۸، S.H: سختی شور، CRS: ضریب مقاومت سنگ، DRI: اندیس نرخ نفوذ^۹، S.E: انرژی ویژه^{۱۰}، WV: سرعت موج^{۱۱}، n: تخلخل^{۱۲}، PI: اندیس پروتودیاکانوف^{۱۳}.

¹ Grain size

² Matrix

³ Quartz constant

⁴ Hardness

⁵ Abrasivity

⁶ Weathering

⁷ Density

⁸ Toughness

⁹ Drilling rate index

فصل دوم

عوامل موثر بر قابلیت حفاری توده سنگ

۱.۳.۲ خصوصیات فیزیکی و مکانیکی ماده سنگ

تا به حال بیشترین تحقیقات در مورد نرخ نفوذ در زمینه شرایط سنگ بکر انجام گرفته است. همانطور که اشاره شد، محققان متعددی مطالعات تئوریک و تجربی فراوانی انجام داده و نرخ نفوذ را با خواص گوناگونی از سنگ ارتباط داده‌اند (معماریان و همکاران، ۱۳۸۵). در ادامه این بخش از تحقیق، به برخی از مهم‌ترین پارامترهای فیزیکی و مکانیکی ماده سنگ و خصوصیات توده سنگ که بر قابلیت حفاری تأثیر می‌گذارند، اشاره می‌شود.

۱.۱.۳.۲ اندازه و شکل دانه‌ها

از نظر شکل دانه‌ها هر چه بافت سنگ دارای کانی‌های مسطح و دانه‌های کروی باشد، در مقایسه با بافت سنگ‌های دارای گوشیده و کشیده، زبری کمتری دارد و لذا در حفاری نیز سایش کمتری ایجاد کرده و قابلیت حفاری بهتری نسبت به حالت دیگر دارد (عطائی و همکاران، ۱۳۸۷).

راکسبروق و ریسپین^۵ در سال ۱۹۷۲، اندیسی به نام اندیس زبری^۶ معرفی کردند. این اندیس بدون بعد می‌باشد. اندیس زبری از جمع وزن تجمعی اندازه ذرات به دست می‌آید (Altindag, 2003). آلتینداغ در سال ۲۰۰۳، با بررسی ۱۹ چال انفعاری در سنگ آهک که با سیستم‌های حفاری ضربه‌ای حفر شده بودند، اندیس زبری و متوسط اندازه خردکهای حفاری را در هر یک از چال‌ها به دست آورده و ارتباط هر یک از این پارامترها را با نرخ نفوذ به صورت شکل‌های (۱۳-۲) و (۱۴-۲)، ارائه داد (Altindag, 2003).

^۱ Specific energy

^۲ P-wave velocity

^۳ porosity

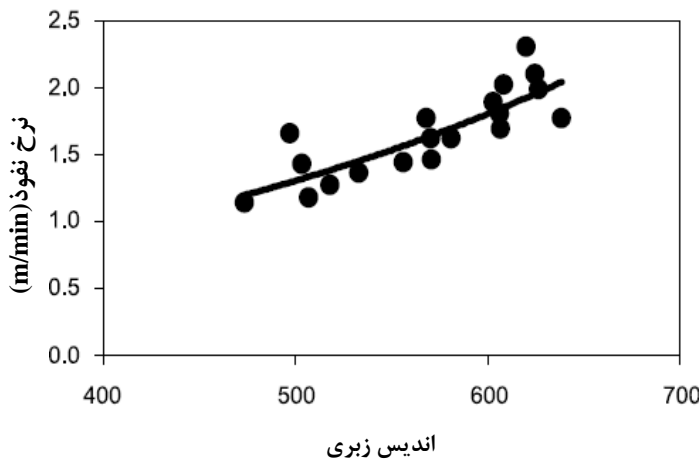
^۴ Protodyakonov index

^۵ Roxborough & Rispin

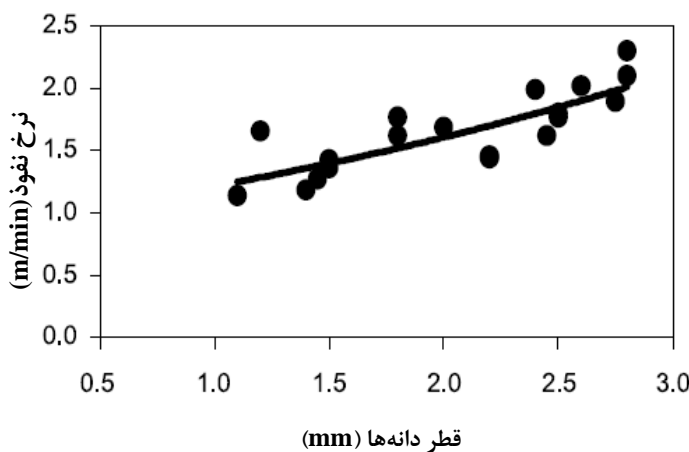
^۶ Coarseness Index

فصل دوم

عوامل موثر بر قابلیت حفاری توده سنگ



شکل ۱۳-۲- ارتباط بین اندیس زبری و نرخ نفوذ در سنگ آهک (Altindag, 2003)



شکل ۱۴-۲- ارتباط بین متوسط اندازه خرددهای حفاری و نرخ نفوذ در سنگ آهک (Altindag, 2003)

همانطور که در اشکال بالا مشاهده می‌شود، می‌توان نتیجه گرفت که، با افزایش اندازه دانه‌ها و اندیس زبری نرخ نفوذ افزایش می‌یابد، بالعکس هر چه دانه‌های سنگ کوچکتر و ریزتر باشد، بافت سنگ چگال‌تر شده و نرخ نفوذ کاهش می‌یابد. همچنین با استفاده از اندیس زبری و متوسط اندازه دانه‌های حاصل از چال‌های انفجار، می‌توان نرخ نفوذ را تخمین زد.

در تقسیم‌بندی رایج در حفاری، بافت سنگ‌ها بر اساس دو عامل اندازه و شکل در چهار گروه تقسیم‌بندی می‌شوند: دانه‌ای (مانند گرانیت)، پورفیری، شیشه‌ای، تخریبی (مانند ماسه سنگ). مشخص‌ترین بافت در این تقسیم‌بندی بافت دانه‌ای است، که در سنگ‌های آذرین با توجه به اندازه دانه‌ها، انواع آن در چند زیرگروه تقسیم‌بندی می‌شود (اصانلو، ۱۳۸۲):

فصل دوم

عوامل مؤثر بر قابلیت حاره‌ی توده‌سنگ

۱- خیلی درشت با دانه‌های بزرگتر از ۱۰ میلی‌متر

۲- درشت با دانه‌های ۵ تا ۱۰ میلی‌متر

۳- متوسط با دانه‌های ۵-۲ میلی‌متر

۴- ریزدانه با دانه‌های ۰/۲۵ تا ۲ میلی‌متر

۵- بسیار ریزدانه با دانه‌های کوچکتر از ۰/۲۵ میلی‌متر

۲.۱.۳.۲ ارزیابی کمی بافت سنگ

روش ارزیابی کمی بافت سنگ شامل ۴ مرحله است (Howarth & Rowland, 1987):

۱- اندازه‌گیری و تحلیل گردی ذرات

۲- اندازه‌گیری و تحلیل کشیدگی ذرات

۳- اندازه‌گیری و کمی سازی جهت‌گیری ذرات

۴- وزن‌دهی نتایج بر اساس درجه تراکم ذرات

روندهای تحلیل بصورت فرمول زیر خلاصه می‌شود:

$$TC = AW \left[\left(\frac{N_0}{N_0 + N_1} \times \frac{1}{FF_0} \right) + \left(\frac{N_0}{N_0 + N_1} \times AR_1 \times AF_1 \right) \right] \quad (4-2)$$

که در آن:

TC: ضریب بافت

AW: وزن دادن به مساحت (دانسیته تراکم دانه‌ها)

N_0 : تعداد دانه‌های با نسبت طول به قطر کمتر از ۲

N_1 : تعداد دانه‌های با نسبت طول به قطر بیشتر از ۲

FF_0 : میانگین حسابی فاکتور شکل برای دانه‌های N_0

AR_1 : میانگین حسابی نسبت طول بر قطر در دانه‌های N_1

AF_1 : فاکتور زاویه که برای ذره‌های N_1 محاسبه می‌شود.

فصل دوم

عوامل مؤثر بر قابلیت حاصلی توده سنگ

وزن مساحت (AW) به صورت زیر تعریف می‌شود:

$$AW = \text{مساحت ناحیه مرجع) / (مساحت دانه‌های درون مرز ناحیه مرجع)}$$

وزن مساحت بر اساس چگالی تراکمی دانه‌ها در داخل مرز ناحیه مرجع، محاسبه می‌شود. تأثیر

فاکتور وزن مساحت در سنگ‌های رسوبی مانند ماسه سنگ، سیلتاستون و سنگ آهک مشخص می-

باشد، اما این فاکتور در سنگ‌های کریستالین، مانند گرانیت و دیوریت تأثیری ندارد.

فاکتور شکل در رابطه ضریب بافت، معرف انحراف دانه از حالت گردبودن است. این انحراف به

دو صورت به وجود می‌آید. به صورت درازشده‌گی شکل یا افزایش ناصافی سطح نمونه. فاکتور شکل یا

فاکتور کشیدگی دانه از رابطه زیر قابل محاسبه است:

$$\text{فاکتور شکل} = \frac{\pi}{4} \cdot (\text{مساحت}) / (\text{محیط})^2 \quad (6-2)$$

مقدار این فاکتور از صفر برای دانه‌های خیلی ناصاف تا یک برای دانه‌های کاملاً کروی شکل

متغیر است. زمانی که یک دانه از حالت کروی بودن خارج می‌شود، مقدار این فاکتور نیز کاهش پیدا

می‌کند. در واقع زمانی که گوشهداری، درازشده‌گی و زبری دانه‌ها افزایش می‌یابد، سایش متنه افزایش و

نرخ نفوذ کاهش خواهد یافت. نتایج حاصل از شکل دانه‌های سنگ نشان می‌دهد که، گرانیت در

مقایسه با دیوریت، سنگ آهک، ماسه سنگ و سیلتاستون دارای فاکتور شکل کمتر و در نتیجه

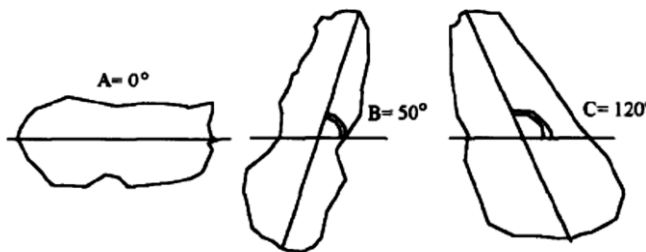
گوشهدارتر می‌باشد (Ersoy & Waller, 1995).

زاویه بین قطر بزرگ دانه و جهت افق را فاکتور زاویه می‌نامند. ماکزیمم مقدار این زاویه ۱۸۰

درجه می‌باشد (شکل ۱۵-۲).

فصل دوم

عوامل مؤثر بر قابلیت حاره‌ی توده‌گذگ



شکل ۱۵-۲ - مفهوم فاکتور زاویه (Ersoy & Waller, 1995)

فاکتور زاویه برای دانه‌های کشیده و طویل که نسبت قطر بزرگ به قطر کوچک آنها بیش از ۲ باشد محاسبه می‌گردد. تفاوت زاویه‌ای در ۹ کلاس دسته‌بندی شده، که وزن هر کلاس در جدول (۴)، نشان داده شده است.

جدول ۴-۲ - روش وزن‌دهی به تفاوت‌های زاویه‌های دانه‌های کشیده (Ersoy & Waller, 1995)

ردیف	دامنه	وزن (i)
۱	$0 < \theta_{DMAX} \leq 10$	۱
۲	$10 < \theta_{DMAX} \leq 20$	۲
۳	$20 < \theta_{DMAX} \leq 30$	۳
۴	$30 < \theta_{DMAX} \leq 40$	۴
۵	$40 < \theta_{DMAX} \leq 50$	۵
۶	$50 < \theta_{DMAX} \leq 60$	۶
۷	$60 < \theta_{DMAX} \leq 70$	۷
۸	$70 < \theta_{DMAX} \leq 80$	۸
۹	$80 < \theta_{DMAX} \leq 90$	۹

این فاکتور از جمع کردن وزن هر کلاس و تقسیم آن بر کل اعداد زاویه‌ای در هر کلاس به

شرح رابطه (۷-۲) محاسبه می‌شود:

$$AF_1 = \sum_{i=1}^9 \left[\frac{X_i}{N(N-1)} \right] i \quad (7-2)$$

که در آن:

N : تعداد کل دانه‌های کشیده و طویل

فصل دوم

عوامل مؤثر بر قابلیت حاصلی توده سنگ

X_i: شماره تفاوت زاویه‌ای در هر کلاس

ن: فاکتور وزن دهنده و شماره کلاس

برای محاسبه ضریب بافت سنگ، ابتدا از سنگ مورد نظر دو عدد مقطع نازک در جهات عمود

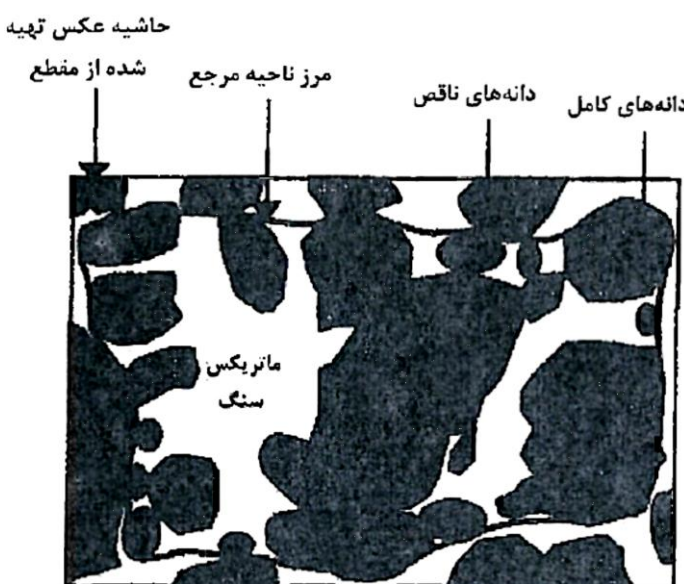
بر هم تهیه می‌شود. سپس از مقاطع تهیه شده در زیر میکروسکوپ عکسبرداری می‌شود. عکس‌های

تهیه شده وارد نرمافزار اتوکد^۱ شده و دیجیتایز می‌شوند. پس از دیجیتالی شدن عکس‌ها ابتدا یک

حدوده مرجع^۲ یا محدوده دید بر روی مقاطع مشخص می‌شود. این محدوده شامل تمامی دانه‌های

کامل قابل مشاهده در عکس بوده و لذا دانه‌های ناقص موجود در حاشیه عکس در نظر گرفته نمی-

شوند (شکل ۱۶-۲) (عطائی و همکاران، ۱۳۸۷).



شکل ۱۶-۲ - شمای کلی یک مقطع نازک برای محاسبه ضریب بافت (Ersoy & Waller, 1995)

پس از انجام مراحل فوق در نرمافزار اتوکد، دور هر یک از دانه‌های موجود در محدوده دید

قطع خط بسته گشیده می‌شود. سپس در نرمافزار، محیط، مساحت، قطر بزرگ و قطر کوچک هر

¹.Autocad

².Reference Boundary

فصل دوم

عوامل مؤثر بر قابلیت حفاری توده سنگ

دانه محاسبه می شود. سپس از نتایج حاصل از محاسبات مذکور پارامترهای موجود در رابطه ضریب بافت تعیین شده و میزان ضریب بافت محاسبه می شود (عطائی و همکاران، ۱۳۸۷).

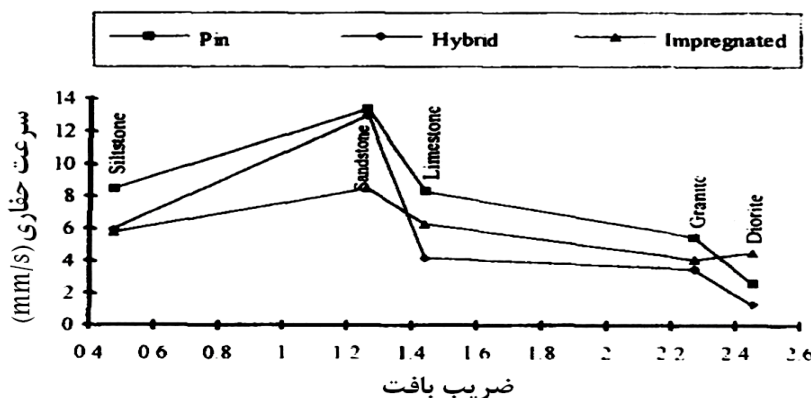
ارزوی و والر در سال ۱۹۹۵، با بررسی ارتباط بین ضریب بافت و پارامترهای مختلف به نتایج

زیر رسیدند (Ersoy & Waller, 1995)

- ضریب بافت و فاکتور شکل، دارای رابطه قوی با ضریب همبستگی ۰/۹۴ می باشد.
 - بین فاکتور سایندهای شیمازک و ضریب بافت نیز ارتباط خوبی با ضریب همبستگی ۰/۸۳ وجود دارد. به طوری که با افزایش این فاکتور، ضریب بافت افزایش می یابد.
 - همچنین ضریب همبستگی بین چگالی و سختی شور با ضریب بافت نیز، به ترتیب ۰/۷۳ و ۰/۶۹ می باشد و با افزایش چگالی و سختی شور، این ضریب نیز افزایش می یابد.
- سنگهای کریستالین نسبت به سنگهای رسوبی دارای ضریب بافت بیشتری می باشند. همچنین آنها، مثالی از ارتباط بین ضریب بافت سنگ و رفتار سرمته های الماسه و PDC در حین حفاری با سرعت چرخش ۱۱۵۰ دور بر دقیقه را مطابق (شکل ۲-۱۷)، بیان کردند. همانطور که در این شکل مشاهده می شود، ماسه سنگ از سایر سنگها متفاوت عمل می کند. متنهای PDC بیشترین نرخ نفوذ را در ماسه سنگها دارند. علت این تفاوت در ماسه سنگ به مقدار خمیره سیلیکاته، تخلخل و ضعف در اتصال دانه ها مربوط می شود، که موجب افزایش نرخ نفوذ در سرمته می شود .(Ersoy & Waller, 1995)

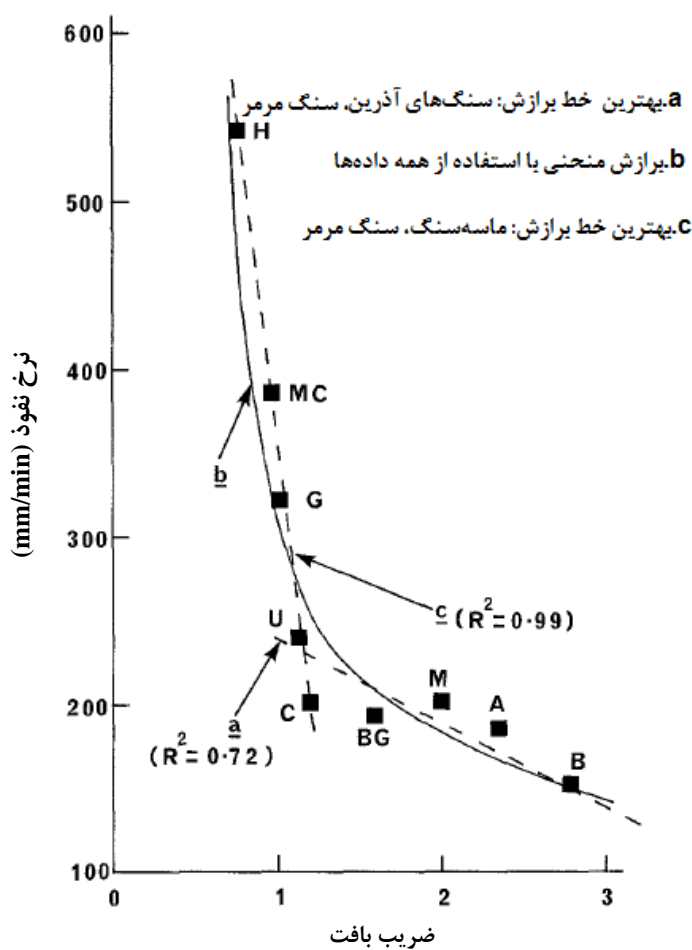
فصل دوم

عوامل مؤثر بر قابلیت حفاری توده سنگ



شکل ۱۷-۲- ارتباط ضریب بافت و سرعت حفاری اکتشافی در سه نوع سرمته مختلف (Ersoy & Waller, 1995)

هوارس و رولند در سال ۱۹۸۷، رابطه بین ضریب بافت و نرخ نفوذ را در سنگ‌های مختلف بررسی کرده و نتایج کار خود را در شکل (۱۸-۲)، ارائه دادند.



شکل ۱۸-۲- رابطه بین سرعت حفاری و ضریب بافت (Howarth & Rowlands, 1987)

فصل دوم

عوامل موثر بر قابلیت حavarی توده سنگ

همانطور که در شکل (۲-۱۸)، مشاهده می‌شود، دو خط با بهترین برازش می‌توانند از میان داده‌ها بگذرند، که منحنی b را به طور تقریبی بپوشاند. خط a ، بهترین تناسب را با داده‌های سنگ-های آذرین و مرمر ($R^2=0/72$)، نشان می‌دهد و خط c ، با داده‌های ماسه‌سنگ و مرمر تناسب دارد ($R^2=0/99$).

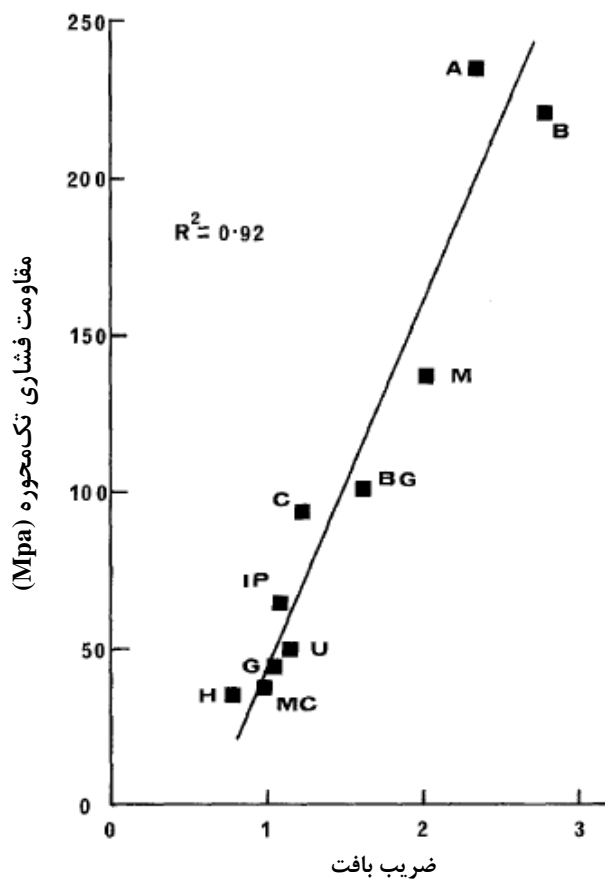
نرخ نفوذ، با افزایش مقدار ضریب بافت کاهش می‌یابد، اما سنگ‌های آذرین و ماسه‌سنگ‌ها متفاوت عمل می‌کنند. مشاهده می‌شود که هر تغییر کوچک (که این تغییر به علت تغییر مقدار خمیره پلی سیلیکاته ایجاد می‌شود)، در مقدار ضریب بافت ماسه‌سنگ‌ها، تغییر بسیار بزرگی را در نرخ نفوذ ایجاد می‌کند، در حالی که در سنگ‌های آذرین، اگر تغییرات بزرگی در مقدار ضریب بافت ایجاد شود (که این تغییر به علت شکل و درجه به هم قفل شدگی دانه‌ها ایجاد می‌شود)، تنها تغییر کوچکی در نرخ نفوذ ایجاد خواهد شد (Howarth & Rowlands, 1987).

با توجه به شکل فوق می‌توان گفت، فرآیند حفاری و مکانیزم شکست در سه گروه سنگ‌های بالا، مرتبط با یکدیگر و وابسته به ضریب بافت می‌باشند. مرمرها حد فاصل بین سنگ‌های آذرین و ماسه‌سنگ‌ها می‌باشند، بنابراین ویژگی‌های هر دو گروه را به نمایش می‌گذارند. دانه‌های کلسیت متبلور هستند، اگر چه دارای ارتباط سنتی می‌باشند، بنابراین به ماسه‌سنگ‌ها شباهت دارند. درجه ارتباط بین نرخ نفوذ و ضریب بافت به قدری بالا می‌باشد که می‌توان گفت، این ضریب تأثیر مهم و قابل توجهی بر نرخ نفوذ سیستم‌های حفاری و سرمته‌های الماسه‌ای دارد.

همچنین آن‌ها در این تحقیق رابطه بین مقاومت فشاری تکمحوره و ضریب بافت را مطابق شکل (۲-۱۹)، به دست آورده و مشاهده کردند که، این دو پارامتر دارای ارتباطی قوی می‌باشند، به طوری که با افزایش ضریب بافت، مقاومت فشاری سنگ افزایش و در نتیجه نرخ نفوذ در سنگ کاهش می‌یابد (Howarth & Rowlands, 1987).

فصل دوم

عوامل مؤثر بر قابلیت حاره‌ی توده‌گذگ



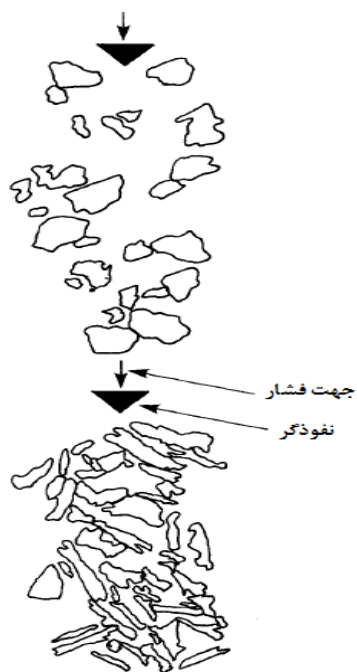
شکل ۲-۱۹-۲ - رابطه بین ضریب بافت و مقاومت فشاری تکمحوری (Howarth & Rowlands, 1987)

لیندکویست^۱ در سال ۱۹۸۴، نشان داد که، شکست برای کاهش فشار، به طور گسترده‌ای در طبیعت وجود دارد و شکست در راستای بیشترین فشار اتفاق می‌افتد. از آنجایی که در حفاری، نفوذ معمولاً توسط یک گوه انجام می‌شود، از طرفی، ضریب بافت نیز، شکل دانه‌ها، جهت یافتگی و درجه به هم قفل شدگی دانه‌ها را مدل می‌کند. بنابراین می‌توان گفت که یک بافت قفل شده، یک سد فیزیکی در مقابل نفوذ محسوب می‌شود (شکل ۲۰-۲) (Howarth & Rowlands, 1987).

^۱ Lindqvist

فصل دوم

عوامل مؤثر بر قابلیت حاره‌ی توده‌سنگ



شکل ۲-۲- نمایش مقاومت بافت در برابر شکست در حال بارگذاری با یک نفوذگر گوهای (Howarth & Rowlands, 1987)

۳.۱.۳.۲ درجه سیمانی شدن و نوع ماتریکس

مهم‌ترین خصوصیت فیزیکی سنگ‌ها، یعنی نیروی به هم چسبی، حاصل نیروی جاذبه بین مولکول‌های یک جسم یا ماده است. سنگ‌ها را بر اساس میزان نیروی به هم چسبی به چهار دسته تقسیم می‌کنند (اصانلو، ۱۳۸۲):

الف) سنگ سخت: به سنگی گفته می‌شود که تحت تأثیر نیروی به هم چسبی ذرات آنها بیکدیگر کاملاً مرتبطند و برای خرد کردن آنها نیروی زیادی لازم است (مانند کوارتز و سنگ‌های حاوی کوارتز)، به همین علت حفاری این سنگ‌ها دشوار است. اما از طرفی چون به طور معمول درزه و شکاف ندارند، دیواره چال یا چاههای حفر شده در این نوع سنگ‌ها به لوله محافظ و یا سایر سیستم‌های نگهدارنده نیاز ندارد.

فصل دوم

عوامل مؤثر بر قابلیت حفاری توده سنگ

ب) سنگ سیمانه‌ای: به سنگی گفته می‌شود که کانی‌های اصلی تشکیل‌دهنده آنها توسط رس یا سیلیس یا کانی دیگری به یکدیگر مرتبط و سیمانه شده‌اند. در بعضی موارد تورم حاصل در سیمان بعضی از این سنگ‌ها به هنگام حفاری ممکن است به انسداد ته چال یا چاه منجر شود.

ج) سنگ غیر سیمانه‌ای یا شل: به سنگی گفته می‌شود که سیمان ندارد (مانند ماسه یا گراول). دیواره چال یا چاه اکتشافی یا استخراجی حفر شده در میان این سنگ‌ها، باید بلا فاصله با لوله‌های ویژه‌ای محافظت شوند.

د) سنگ روان: به سنگی گفته می‌شود که به آسانی مورد هجوم و در دسترس آب قرار می‌گیرد و به سرعت خاصیت نیمه جامد خواهد یافت. مانند: ماسه ریز، رس حاوی مقدار کمی ماسه و لوم ماسه‌ای.

با افزایش کیفیت سیمانی شدن و نیز افزایش مقاومت سیمان سنگ، قابلیت حفاری سنگ کاهش پیدا می‌کند.

۴.۱.۳.۲ چگالی

چگالی یک سنگ نسبت جرم مخصوص سنگ (ρ_s) به جرم مخصوص آب (ρ_w) یا نسبت وزن مخصوص سنگ (γ_s) به وزن مخصوص آب (γ_w) است (وفایان، ۱۳۷۶).

از آن جایی که چگالی سنگ با سرعت حفاری رابطه عکس دارد، هر چه سنگ متراکم‌تر و چگال‌تر باشد، سرعت حفاری کمتر خواهد بود.

جدول (۲-۵)، چگالی برخی از کانی‌های شاخص در حفاری را نشان می‌دهد.

فصل دوم

عوامل موثر بر قابلیت حفاری توده سنگ

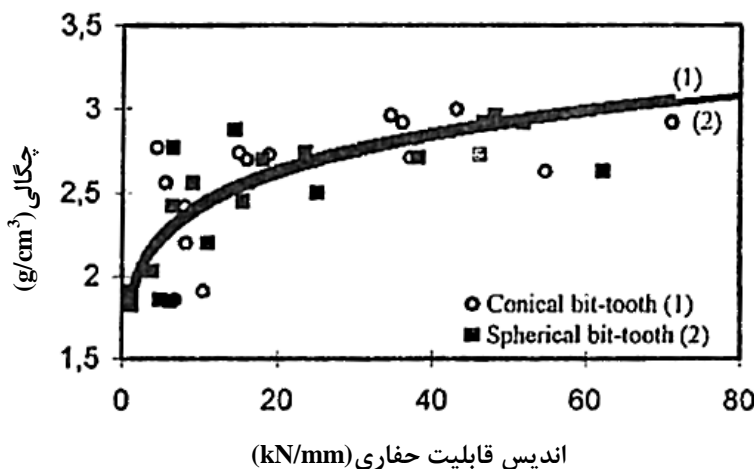
جدول ۵-۲- چگالی برخی از کانی‌های شاخص در حفاری (فهیمی‌فر و سروش، ۱۳۸۰)

نوع کانی	چگالی	نوع کانی	چگالی
هالیت	۲/۱-۲/۶	بیوتیت	۲/۸-۳/۱
ژیپس	۲/۳-۲/۴	دولومیت	۲/۸-۳/۱
سرپانتین	۲/۳-۲/۶	انیدریت	۲/۹-۳
اورتوکلاز	۲/۵-۲/۶	پیروکسن	۳/۲-۳/۶
کالسدون	۲/۶-۲/۶۴	الیوین	۳/۲-۳/۶
کوارتز	۲/۶۵	باریت	۴/۳-۴/۶
پلازیوکلاز	۲/۶-۲/۸	مگنتیت	۴/۴-۵/۲
کلریت	۲/۶-۳	پیریت	۴/۹-۵/۲
کلسیت	۲/۷	گالن	۷/۴-۷/۶
مسکویت	۲/۷-۳	ایلیت	۲/۶-۳

قهرمان^۱ و همکارانش در سال ۲۰۰۰، با جمع‌آوری ۲۲ نمونه سنگ از معادن مختلف روباز و کواری، با استفاده از سیستم حفاری دورانی، رابطه بین نرخ نفوذ و چگالی را مطابق شکل (۲۱-۲)، به دست آوردند. همانطور که در این شکل مشاهده می‌شود، شبی خط سرمته‌های مخروطی بیشتر از شبی خط سرمته‌های کروی می‌باشد. این بدان معنی است، زمانی که ویژگی‌های سنگ ثابت فرض شوند، اندیس قابلیت حفاری سرمته‌های کروی بیشتر از سرمته‌های مخروطی می‌باشد و برای رسیدن به عمق نفوذ مشخص در یک جنس سنگ، نیرویی که برای سرمته‌های کروی لازم است، بیشتر از نیروی لازم برای سرمته‌های مخروطی می‌باشد (Kahraman et al, 2000).

فصل دوم

عوامل مؤثر بر قابلیت حفاری توده سنگ

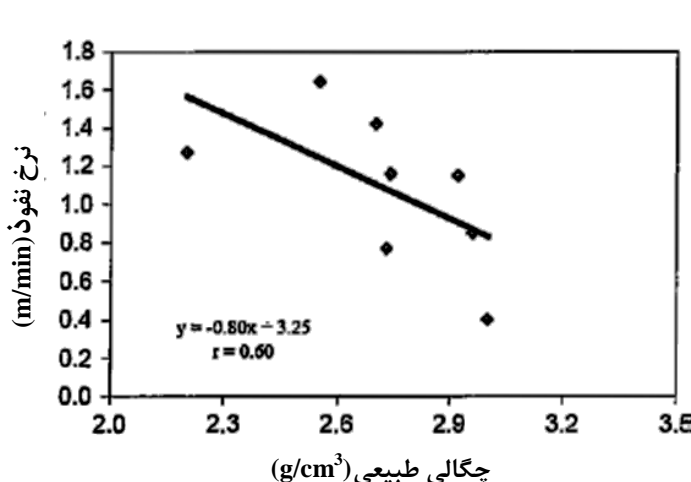


شکل ۲۱-۲- ارتباط چگالی سنگ و سرعت حفاری دورانی (Kahraman et al, 2000)

در شکل فوق، ضریب همبستگی برای نمودار شماره ۱، ۰/۷۶ و برای نمودار شماره ۲، ۰/۸ می-

باشد.

همچنین این محققین در سال ۲۰۰۳، با استفاده از سیستم حفاری ضربه‌ای و تعیین ارتباط بین چگالی و نرخ نفوذ در هشت نمونه سنگ جمع‌آوری شده از معادن روباز و بزرگراه‌ها، به این نتیجه رسیدند که بین این دو، ارتباط ضعیفی وجود دارد. ولی در نهایت می‌توان گفت که، با افزایش چگالی در سنگ، نرخ نفوذ کاهش و اندیس قابلیت حفاری افزایش می‌یابد (شکل ۲۲-۲) (Kahraman et al, 2003).

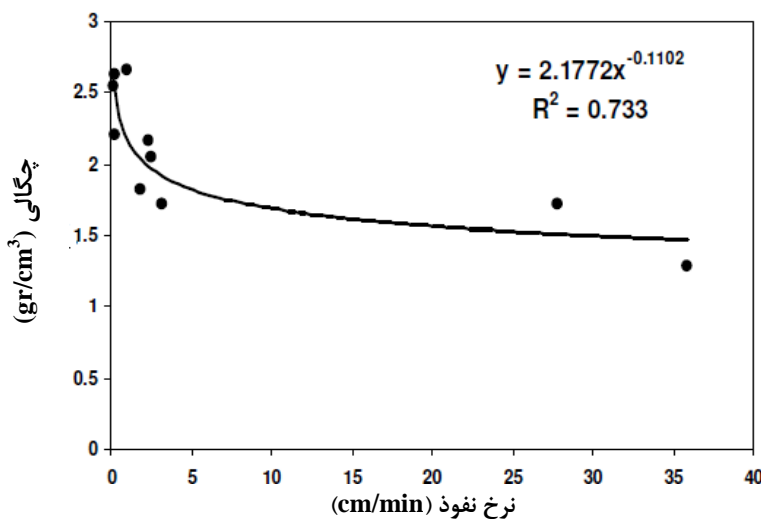


شکل ۲۲-۲- ارتباط چگالی سنگ و سرعت حفاری ضربه‌ای (Kahraman et al, 2003)

فصل دوم

عوامل مؤثر بر قابلیت حفاری توده سنگ

بیلیم^۱ در سال ۲۰۱۱، ده نوع سنگ مختلف از جمله: آندزیت، مرمر، توف، تراورتن، سنگ آهک و ... را از معادن روباز ترکیه جمع‌آوری نمود. ایشان از هر نوع سنگ ده نمونه انتخاب و نرخ نفوذ را در هر نوع سنگ با استفاده از سیستم حفاری دورانی با سرعت چرخش ۱۴۷۹ rpm، به دست آورد. همچنین ایشان با تعیین چگالی این ده نوع سنگ، ارتباط خوبی را بین نرخ نفوذ و چگالی مطابق شکل (۲۳-۲)، به دست آورد (Bilim, 2011).



شکل ۲۳-۲- ارتباط بین چگالی و نرخ نفوذ (Bilim, 2011)

۵.۱.۳.۲ تخلخل

سنگ‌ها اجسام کاملاً توپری نیستند و همیشه حاوی خلل و فرج به صورت حفره‌های کم و بیش مرتبط و یا حفره‌های مجزا هستند. وجود این حفره‌ها اهمیت زیادی در خواص مکانیکی سنگ دارند و به طور کلی هر چه تخلخل سنگ بیشتر باشد مقاومت مکانیکی آن کمتر است (وفایان، ۱۳۷۶).

تورو در سال ۱۹۹۷، به منظور بهبودی در پیش‌بینی نرخ نفوذ و سایش متنه، پس از بررسی پارامترهای مختلف زمین‌شناسی، مکانیکی و ماده‌سنگ مؤثر بر نرخ نفوذ و سایش متنه، ارتباط بین پارامترهای مختلفی را با یکدیگر مورد بحث و بررسی قرار داد. در اشکال (۲۴-۲) و (۲۵-۲)، به ترتیب

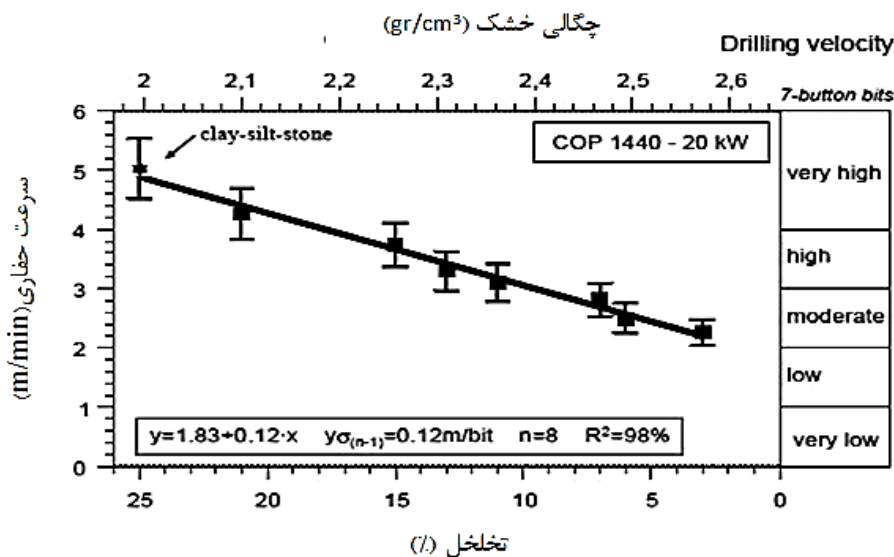
^۱ Bilim

فصل دوم

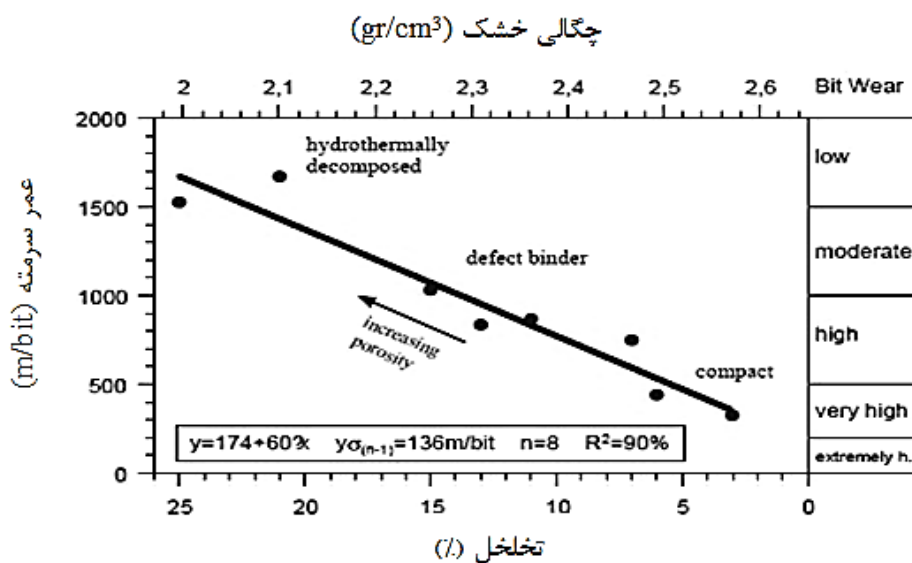
عوامل مؤثر بر قابلیت حفاری توده سنگ

روابط تخلخل و چگالی خشک با سرعت حفاری و عمر سرمته در ماسهسنگ مشاهده می شود

(Thuro, 1997)



شکل ۲۴-۲ - رابطه سرعت حفاری با تخلخل و چگالی در ماسهسنگ (Thuro, 1997)



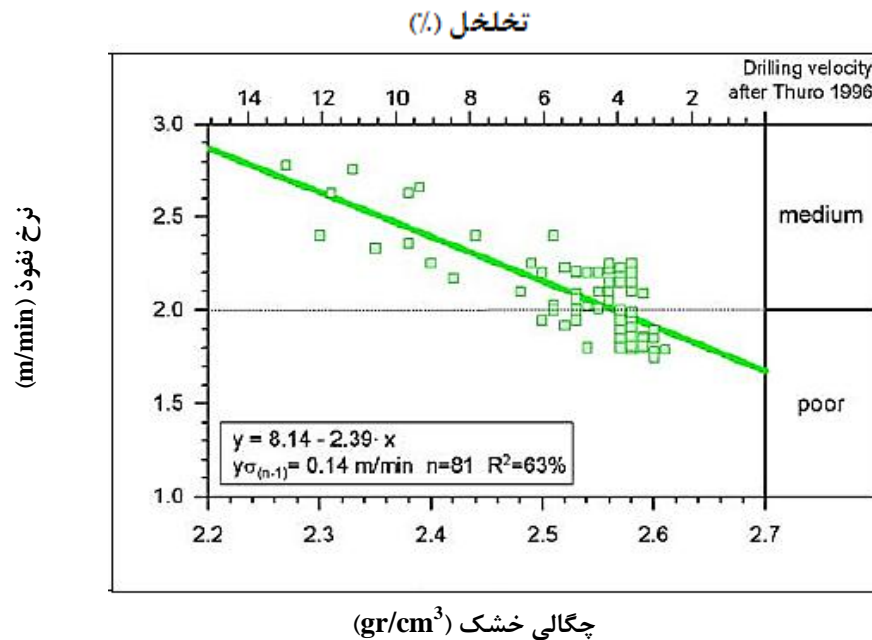
شکل ۲۵-۲ - رابطه عمر سرمته و تخلخل در ماسهسنگ (Thuro, 1997)

تورو و همکارانش در سال ۲۰۰۲، به کمی کردن پارامتر هوایزدگی و ارتباط آن با چگالی و تخلخل پرداختند. آنها به این نتیجه رسیدند که، چون درجه هوایزدگی در سنگ، ارتباط محضی با چگالی خشک و مقاومت سنگ بکر دارد، بنابراین نرخ نفوذ به طور مستقیم با تخلخل در ارتباط می-

فصل دوم

عوامل موثر بر قابلیت حفاری توده سنگ

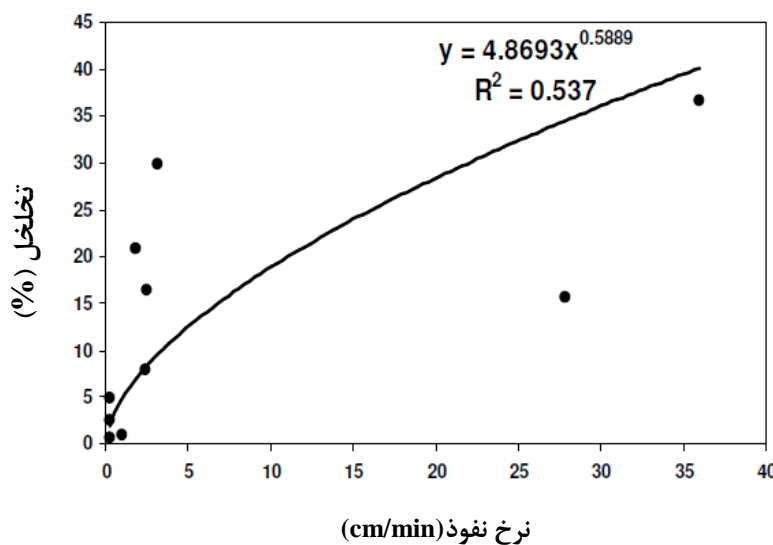
باشد. در شکل (۲۶-۲)، ارتباط چگالی خشک و تخلخل با نرخ نفوذ مشاهده می‌شود (Thuro et al, 2002).



شکل ۲۶-۲- رابطه سرعت حفاری با تخلخل و چگالی خشک سنگ (Thuro et al, 2002)

بیلیم در سال ۲۰۱۱، ارتباط بین تخلخل و نرخ نفوذ را مطابق شکل (۲۷-۲)، بیان نمود

.(Bilim, 2011)



شکل ۲۷-۲- ارتباط میان نرخ نفوذ و تخلخل (Bilim, 2011)

فصل دوم

عوامل مؤثر بر قابلیت حمایتی توده سنگ

همانطور که در این اشکال مشاهده می‌شود، با افزایش تخلخل سنگ، به علت کاهش مقاومت مکانیکی سنگ، نرخ نفوذ و عمر سرمته افزایش می‌یابد.

۶.۱.۳.۲ مقاومت فشاری تکمحوره

مقاومت مکانیکی سنگ، مقدار ایستادگی آن در برابر تخریب به وسیله یک نیروی خارجی استاتیک یا دینامیک می‌باشد. سنگ‌ها بیشترین مقاومت را در برابر فشار از خود نشان می‌دهند و معمولاً مقاومت کششی آن‌ها از ۱۰ تا ۱۵ درصد مقاومت فشاریشان تجاوز نمی‌کند. این مسئله به دلیل تردی سنگ‌ها، وجود مقادیر بالای نواقص و بی‌نظمی‌های موضعی و نهایتی^۱ چسبندگی پایین میان ذرات تشکیل‌دهنده سنگ می‌باشد (Jimeno et al, 1995).

عوامل مؤثر در مقاومت فشاری سنگ‌ها عبارتند از:

- نوع کانی‌های تشکیل‌دهنده و شرایط استقرار آنها
- درجه هوازدگی یا آلتراسیون سنگ‌ها
- نیروی بین مولکولی ذرات تشکیل‌دهنده آنها
- وجود عواملی چون درزه و شکاف در سنگ‌ها
- خواص الاستیکی، پلاستیکی و آنیزوتropی سنگ‌ها
- جهت و میزان نیروهای واردہ بر سنگ‌ها

بنابراین مقاومت فشاری تکمحوره می‌تواند نماینده تمام پارامترهای فوق به ویژه چگالی، تخلخل، الاستیسیته و پلاستیسیته سنگ‌ها باشد (حسینی و همکاران، ۱۳۸۶).

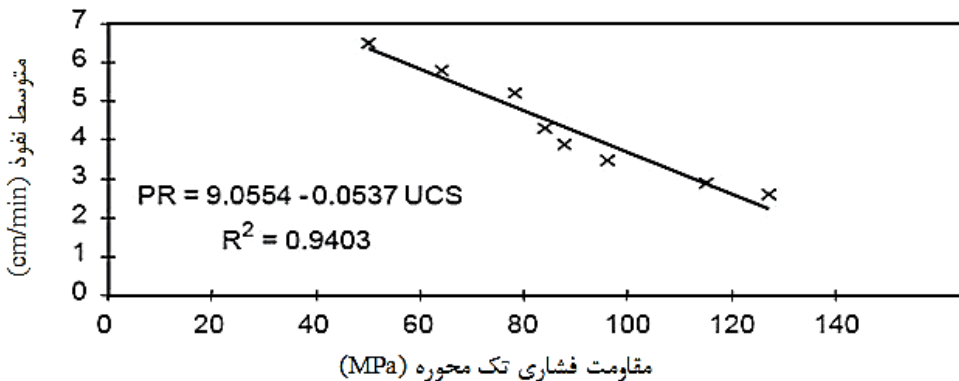
آکون و کارپوز^۱ در سال ۲۰۰۵، مقاومت فشاری تکمحوره را در نمونه‌های مختلفی از ماسه-سنگ بررسی کرده و برای هر یک از آن‌ها نرخ نفوذی به دست آورده‌اند. نتایج این آزمایش در شکل (۲۸-۲)، مشاهده می‌شود. با توجه به این شکل می‌توان نتیجه گرفت که، این مقاومت با نرخ نفوذ

^۱ Akun & Karpuz

فصل دوم

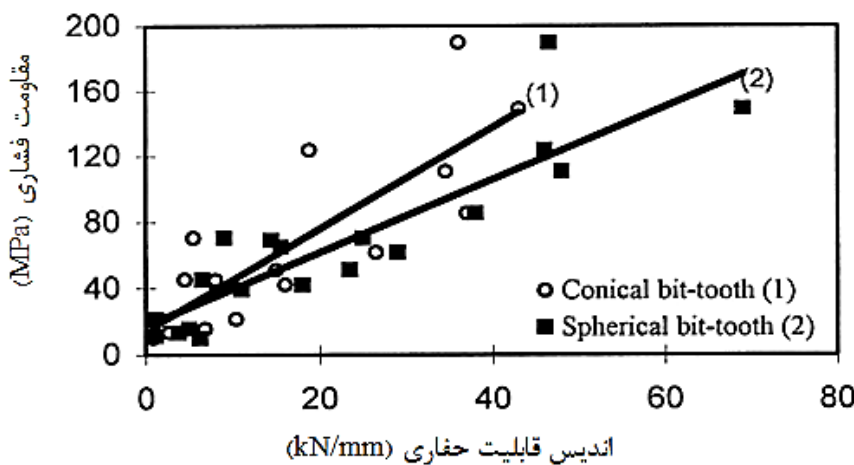
عوامل مؤثر بر قابلیت حفاری توده سنگ

دارای ضریب همبستگی بالایی بوده و یک پارامتر مؤثر در نرخ نفوذ می‌باشد (Akun & Karpuz, 2005).



شکل ۲۸-۲- رابطه سرعت حفاری و مقاومت فشاری در نمونه‌ای از ماسه‌سنگ (Akun & Karpuz, 2005) قهرمان و همکارانش در سال ۲۰۰۰، رابطه بین اندیس قابلیت حفاری و مقاومت فشاری را در دو نوع سرمته مطابق شکل (۲۹-۲)، به دست آوردند. البته ذکر این نکته ضروری است که این نمودار برای سنگ‌های دارای مقاومت فشاری بیش از ۴۰ مگاپاسکال قابل استفاده می‌باشد. ضریب همبستگی نیز برای خط مربوط به سرمته‌های کروی ۰/۸۳ و برای سرمته‌های مخروطی ۰/۸۸ می‌باشد.

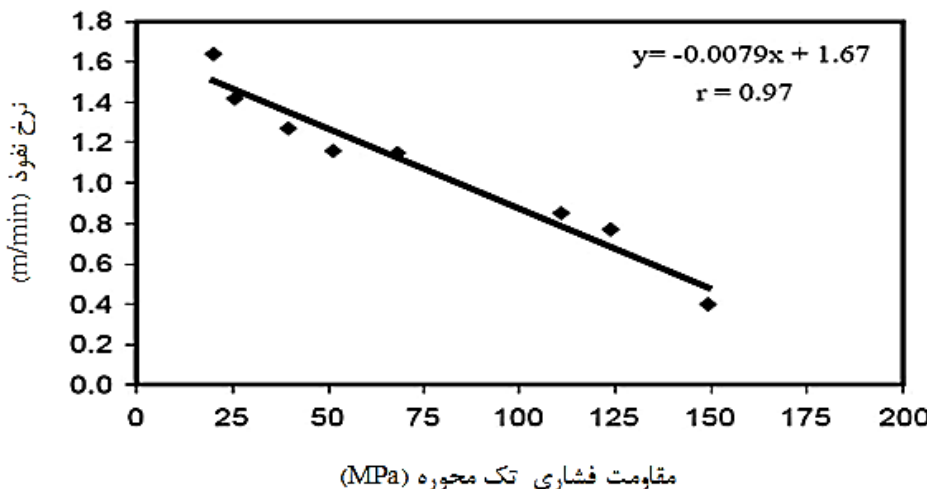
.(Kahraman et al, 2000)



شکل ۲۹-۲- رابطه بین اندیس قابلیت حفاری و مقاومت فشاری در دو نوع سرمته (Kahraman et al, 2000) همچنین قهرمان و همکارانش در سال ۲۰۰۳، در شکل (۳۰-۲)، رابطه بین مقاومت فشاری تک محوره و نرخ نفوذ را در سیستم حفاری ضربه‌ای به دست آوردند (Kahraman et al, 2003).

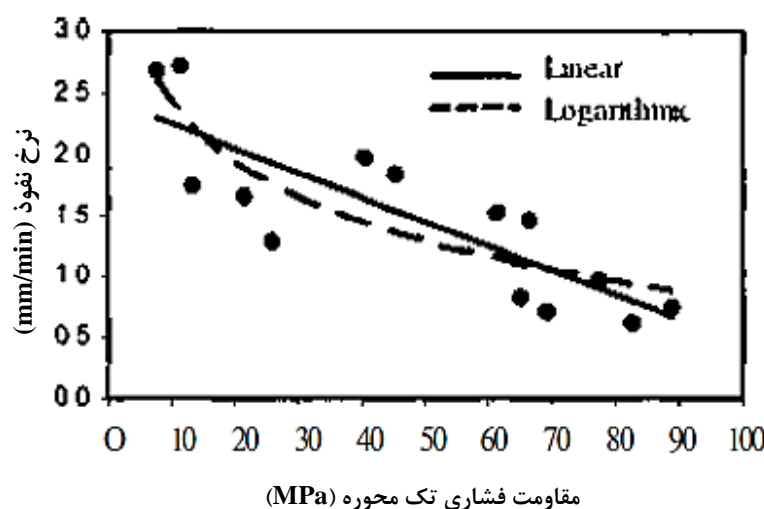
فصل دوم

عوامل مؤثر بر قابلیت حفاری توده سنگ



شکل ۳۰-۲- رابطه سرعت حفاری ضربه‌ای و مقاومت فشاری (Kahraman et al, 2003)

بیلگین و قهرمان در سال ۲۰۰۳، مقاومت فشاری تکمحوره را بر روی نمونه‌هایی با قطر ۳۳ میلی‌متر و نسبت طول به قطر ۲ انجام دادند. آن‌ها ارتباط بین این مقاومت و نرخ نفوذ را در سیستم‌های حفاری چرخشی به صورت شکل (۳۱-۲)، به دست آوردند (Bilgin & Kahraman, 2003).



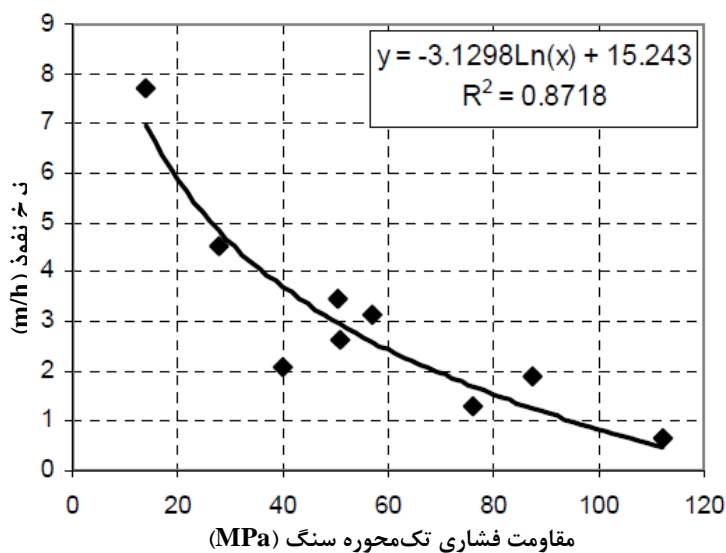
شکل ۳۱-۲- ارتباط بین مقاومت فشاری تکمحوره و نرخ نفوذ در سیستم‌های حفاری چرخشی (Bilgin & Kahraman, 2003)

حسینی و عطائی در سال ۱۳۸۸، آزمایشاتی را بر روی ۹ نوع سنگ مختلف که از ۸ معدن مختلف و یک شیروانی سنگی مشرف به یک بزرگراه، جمع‌آوری شده بود، با استفاده از سیستم حفاری ضربه‌ای هیدرولیکی انجام دادند. آن‌ها روابط‌ای لگاریتمی بین مقاومت فشاری تکمحوره و سرعت

فصل دوم

عوامل مؤثر بر قابلیت حفاری توده سنگ

حفاری ضربه‌ای مطابق شکل (۳۲-۲)، به دست آورده و به این نتیجه رسیدند که، چون ضریب همگرایی بین این دو پارامتر بالا می‌باشد، می‌توان از مقاومت فشاری تکمحوره برای پیش‌بینی سرعت حفاری ضربه‌ای استفاده کرد (حسینی و عطائی، ۱۳۸۸).

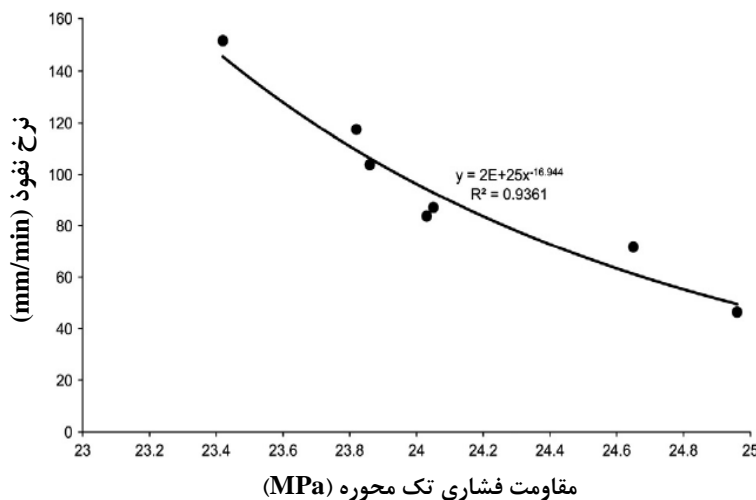


شکل ۳۲-۲- رابطه بین سرعت حفاری ضربه‌ای و مقاومت فشاری تکمحوره سنگ (حسینی و عطائی، ۱۳۸۸)

یاشار و همکارانش در سال ۲۰۱۱، آزمایشاتی را بر روی نمونه‌های سیمانی در آزمایشگاه انجام دادند. آن‌ها رابطه بین مقاومت فشاری تکمحوره و نرخ نفوذ را به صورت شکل (۳۳-۲)، به دست آوردن. همانطور که در این شکل مشاهده می‌شود، با افزایش این مقاومت، نرخ نفوذ کاهش می‌یابد .(Yasar et al, 2011)

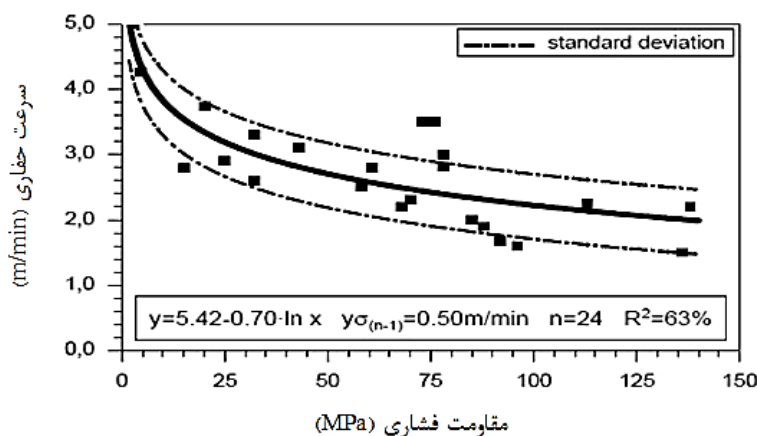
فصل دوم

عوامل موثر بر قابلیت حفاری توده سنگ



شکل ۲-۳۳- رابطه بین مقاومت فشاری تکمحوره و نرخ نفوذ (Yasar et al, 2011)

تورو و اسپان در سال ۱۹۹۶، ارتباط بین مدول یانگ، مقاومت فشاری، مقاومت کششی و تردی با سرعت حفاری را بر روی سنگ‌هایی مانند ماسه‌سنگ رسی، سنگ‌آهک، شیست و مرمر بررسی کردند. در شکل (۳۴-۲)، ارتباط میان مقاومت فشاری تکمحوره و سرعت حفاری مشاهده شود (Thuro & Spaun, 1996).

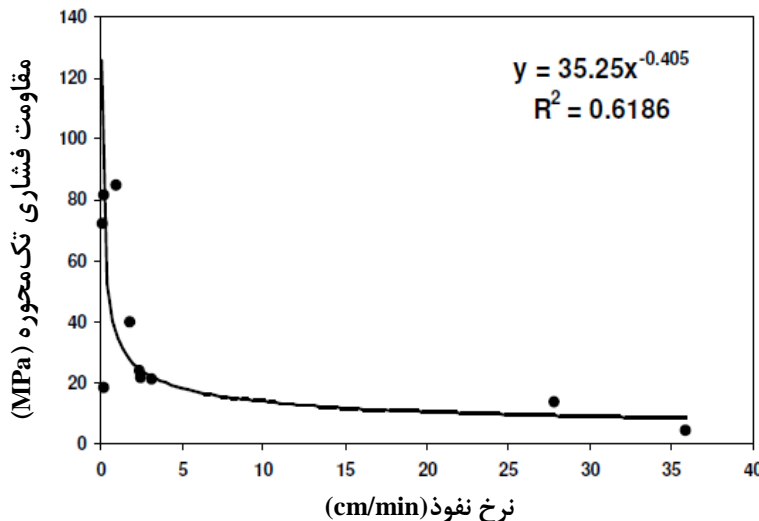


شکل ۳۴-۲- رابطه بین سرعت حفاری ضربه‌ای در تونل‌ها و مقاومت فشاری سنگ‌های اسلیتی و کوارتزیتی در کشور آلمان (Thuro & Spaun, 1996)

بیلیم نیز در سال ۲۰۱۱، با بررسی ارتباط بین نرخ نفوذ و مقاومت فشاری تکمحوره در ۱۰ نوع سنگ، این ارتباط را به صورت شکل (۳۵-۲)، بیان کرد (Bilim, 2011).

فصل دوم

عوامل موثر بر قابلیت حفاری توده سنگ



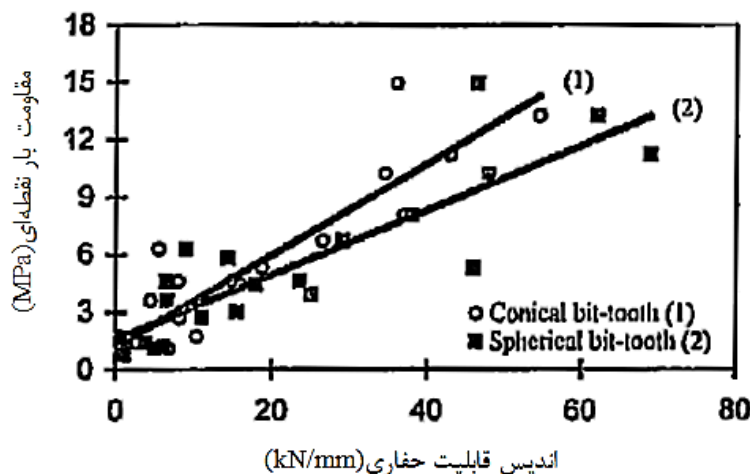
شکل ۳۵-۲- ارتباط بین نرخ نفوذ و مقاومت فشاری تکمحوره (Bilim, 2011)

کلیه تحقیقات انجام شده عموماً بر روی مقاومت فشاری تکمحوره صورت گرفته است که در عمل انجام آزمایش و تعیین این مشخصه سنگ، امری زمانبر و پرهزینه می‌باشد. لذا در سال‌های اخیر تحقیقاتی صورت گرفته تا بتوان با روش‌های سریع‌تر و ارزان‌تر مقاومت سنگ را تخمین زده و رابطه آن را با حفاری مشخص نمود. یکی از این روش‌ها استفاده از شاخص مقاومت بار نقطه‌ای می‌باشد. این شاخص به عنوان یک کمیت جانشین در بسیاری از زمینه‌های مکانیک سنگ جایگزین مقاومت فشاری تک محوره گردیده است (عطائی و همکاران، ۱۳۸۷).

قهرمان در سال ۲۰۰۰، در تحقیقات خود نشان داد که، در حفاری دورانی با دو نوع سرمته، با افزایش میزان بار نقطه‌ای، اندیس قابلیت حفاری افزایش و قابلیت حفاری سنگ‌ها به صورت خطی کاهش می‌یابد (شکل ۳۶-۲). در این شکل نیز، با توجه به شیب خط مربوط به سرمته‌های کروی، نتیجه‌گیری می‌شود که، برای حفاری عمق معینی از یک سنگ، نیروی لازم برای سرمته‌های کروی بیشتر از سرمته‌های مخروطی می‌باشد. ضریب همبستگی برای خط مربوط به سرمته‌های کروی ۰/۹ و برای سرمته‌های مخروطی ۰/۸۶ می‌باشد (Kahraman et al, 2000).

فصل دوم

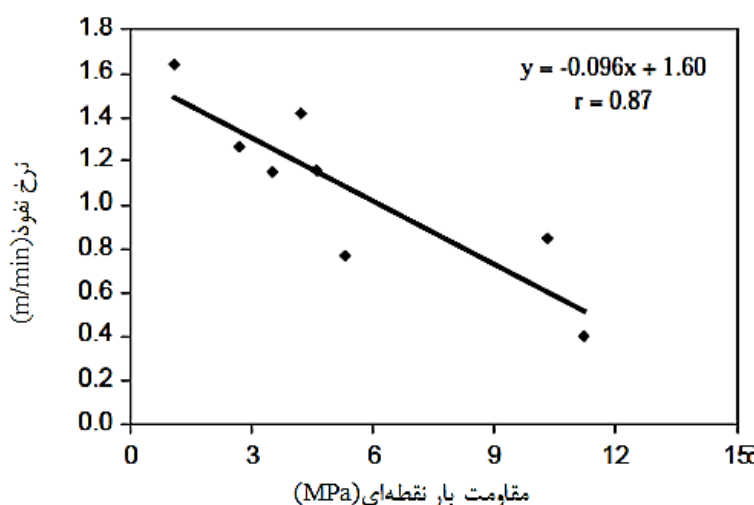
عوامل موثر بر قابلیت حفاری توده سنگ



شکل ۳۶-۲- ارتباط اندیس قابلیت حفاری و مقاومت بار نقطه‌ای (Kahraman et al, 2000)

همچنین قهرمان در سال ۲۰۰۳ طی آزمایش‌های آزمایشگاهی نشان داد که سرعت حفاری

ضربه‌ای با افزایش بار نقطه‌ای به صورت خطی کاهش می‌یابد (شکل ۳۷-۲).



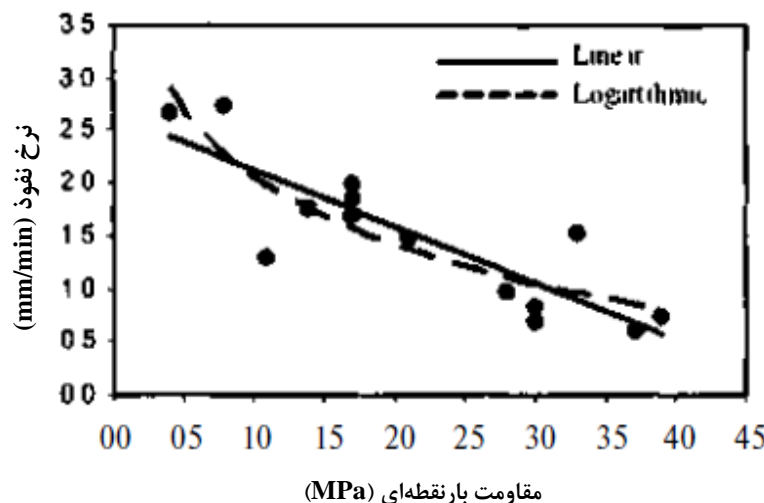
شکل ۳۷-۲- ارتباط مقاومت بار نقطه‌ای و سرعت حفاری ضربه‌ای (Kahraman et al, 2003)

بیلگین و قهرمان در سال ۲۰۰۳، ارتباط بین مقاومت بار نقطه‌ای با نرخ نفوذ در سیستم‌های

حفاری چرخشی را به صورت شکل (۳۸-۲)، بیان کردند. همانطور که مشاهده می‌شود، در هر دو

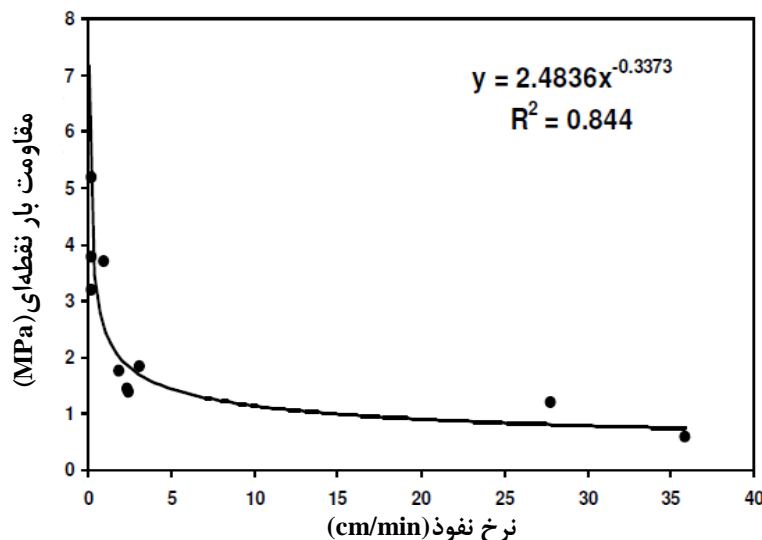
حالت خطی و لگاریتمی، با افزایش مقاومت بار نقطه‌ای، نرخ نفوذ کاهش می‌یابد (Bilgin &

.Kahraman, 2003)



شکل ۳۸-۲- ارتباط بین مقاومت بار نقطه‌ای و نرخ نفوذ در سیستم‌های حفاری چرخشی
(Bilgin & Kahraman, 2003)

بیلیم در سال ۲۰۱۱، رابطه بین مقاومت بار نقطه‌ای و نرخ نفوذ را مطابق شکل (۳۹-۲)، به دست آورده. ایشان بیان کردند که، در میان پارامترهای مختلف، مقاومت بار نقطه‌ای، بهترین ارتباط را با نرخ نفوذ دارد (Bilim, 2011).



شکل ۳۹-۲- رابطه بین مقاومت بار نقطه‌ای و نرخ نفوذ (Bilim, 2011)

فصل دوم

۷.۱.۳.۲ سختی اشمیت

سختی اشمیت، کاربردهای مختلفی در طبقه‌بندی سنگ‌ها، و تعیین خواص مهندسی آن‌ها دارد. دیر و میلر^۱ در سال ۱۹۶۵، در مطالعاتی که به منظور طبقه‌بندی سنگ‌ها بر روی دامنه وسیعی از آن‌ها از ۲۸ محل مختلف انجام دادند، از سختی اشمیت استفاده کرده و به این نتیجه رسیدند که، سختی اشمیت با مقاومت فشاری تکمحوره، ضریب همبستگی معادل ۰/۸۸ دارد. همچنین آن‌ها با ضرب کردن سختی اشمیت در چگالی خشک سنگ، رابطه‌ای بین مقاومت فشاری تکمحوره و سختی اشمیت به دست آورده که، دارای ضریب ۰/۹۴۳ بود. با توجه به مطالب بیان شده، چکش اشمیت می‌تواند به منظور تخمین سریع و ارزان مقاومت فشاری تکمحوره سنگ در صورا استفاده شود. یکی دیگر از کاربردهای سختی اشمیت، برآورد مقاومت زغالسنگ در حالت بر جا می‌باشد، چرا که انجام آزمایش تعیین مقاومت زغالسنگ بسیار مشکل است (فهیمی‌فر و سروش، ۱۳۸۰).

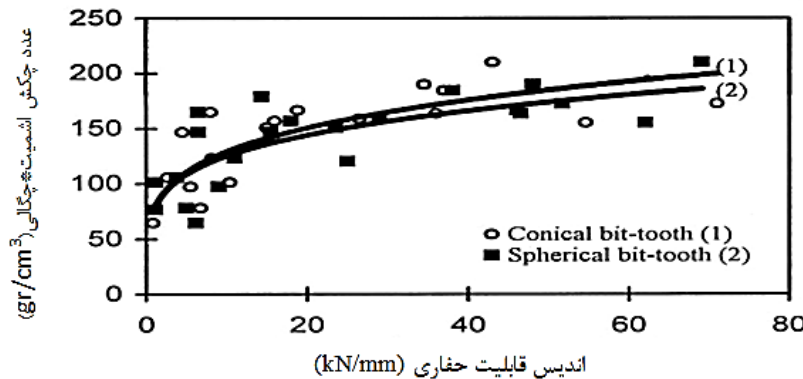
در ادامه به تعدادی از روابطی که توسط محققان مختلف در زمینه سختی اشمیت ارائه شده، اشاره می‌شود.

همانطور که قبلاً اشاره شد، قهرمان و همکارانش در سال ۲۰۰۰، با استفاده از سیستم حفاری دورانی بر روی ۲۲ نمونه سنگ مختلف، شامل: مارل، سنگ‌آهک رسی، سنگ‌آهک، ماسه‌سنگ، توف و ...، روابط بین پارامترهای مختلفی را با اندیس قابلیت حفاری به دست آورده، که یکی از این روابط، رابطه بین سختی اشمیت و این اندیس می‌باشد. در شکل (۴۰-۲)، رابطه بین سختی اشمیت ضربدر چگالی با اندیس قابلیت حفاری مشاهده می‌شود. همانطور که در این شکل مشاهده می‌شود، با افزایش سختی اشمیت ضربدر چگالی، اندیس قابلیت حفاری ابتدا با سرعت و سپس به تدریج افزایش می‌یابد. همچنین اندیس قابلیت حفاری سرمته‌های کروی بیشتر از سرمته‌های مخروطی می‌باشد .(Kahraman et al, 2000)

^۱ Deer & Miller

فصل دوم

عوامل مؤثر بر قابلیت حفاری توده سنگ



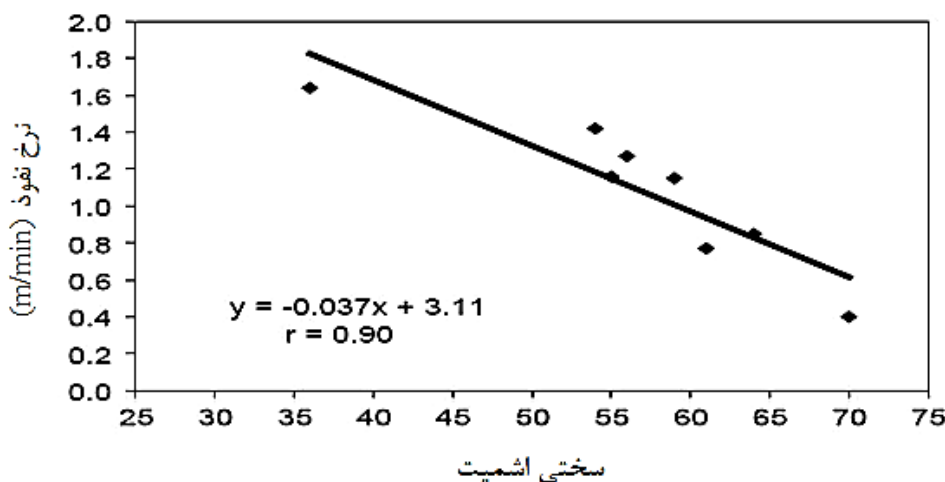
شکل ۴۰-۲- ارتباط عدد چکش اشمیت و اندیس قابلیت حفاری (Kahraman et al, 2000)

قابل ذکر است که در این شکل، ضریب همبستگی برای نمودار مربوط به سرمهتهای کروی

۰/۸۴ و برای سرمهتهای مخروطی ۰/۷۶ می‌باشد.

قهرمان و همکارانش در سال ۲۰۰۳ نیز، رابطه بین نرخ نفوذ در سیستم حفاری ضربهای و سختی اشمیت را در هشت نوع سنگ شامل: سنگ آهک، ماسه سنگ هوازده، ماسه سنگ، دولومیت، سنگ آهک، دیاباز، مارل و ماسه سنگ فلزدار به دست آورده و نتایج کار خود را به صورت شکل ۴۱-۲- (Kahraman et al, 2003)، بیان کردند

.(Kahraman et al, 2003)



شکل ۴۱-۲- ارتباط عدد چکش اشمیت و سرعت حفاری ضربهای (Kahraman et al, 2003)

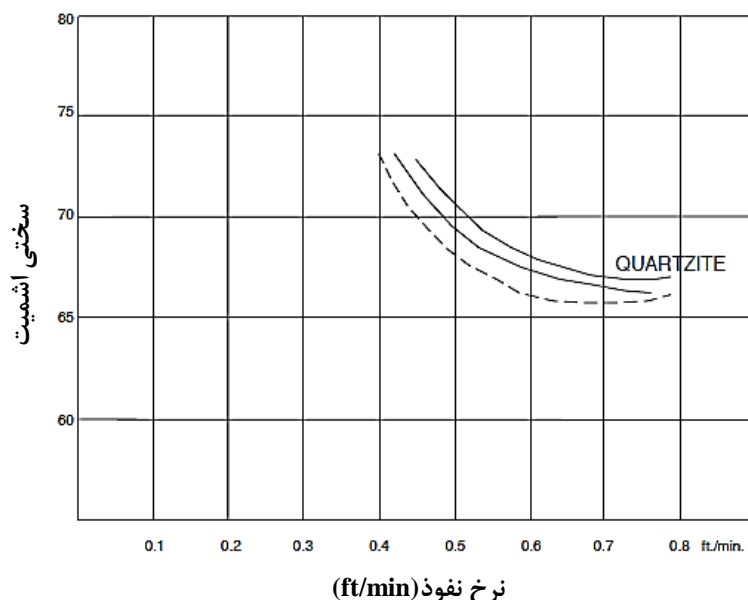
همانطور که مشاهده می‌شود، با افزایش عدد سختی اشمیت، نرخ نفوذ در سیستم حفاری

ضربهای کاهش یافته است.

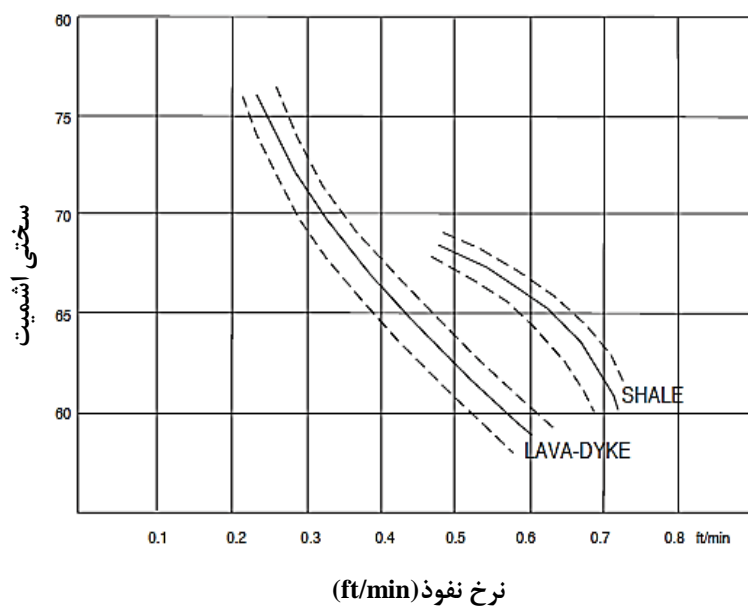
فصل دوم

عوامل موثر بر قابلیت حفاری توده‌گذ

دنخوس^۱ در سال ۲۰۰۲، رابطه بین چکش اشمیت و نرخ نفوذ را در معادن زغال آلمان بر روی کوارتزیت و شیل بررسی کرد. همانطور که در اشکال (۴۲-۲) و (۴۳-۲)، مشاهده می‌شود، با افزایش عدد چکش اشمیت، نرخ نفوذ کاهش یافته است (Denkhaus, 2003).



شکل ۲-۴۲-۲- ارتباط بین سختی اشمیت و نرخ نفوذ در کوارتزیت (Denkhaus, 2003)



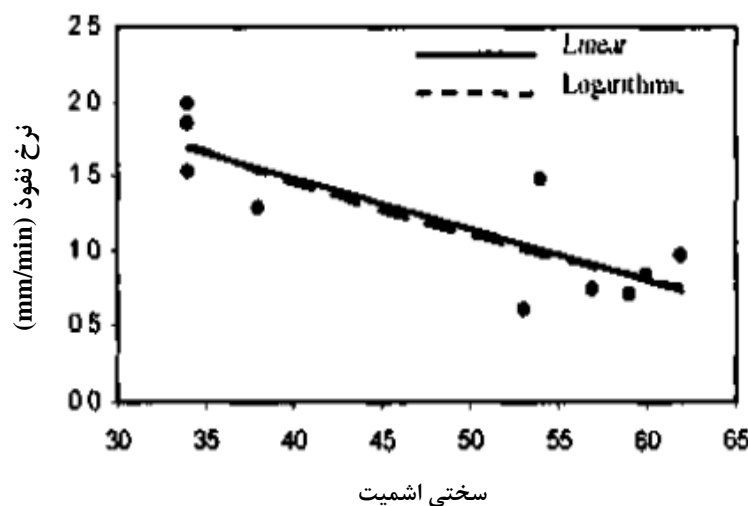
شکل ۲-۴۳-۲- ارتباط بین سختی اشمیت و نرخ نفوذ در شیل (Denkhaus, 2003)

^۱ Denkhaus

فصل دوم

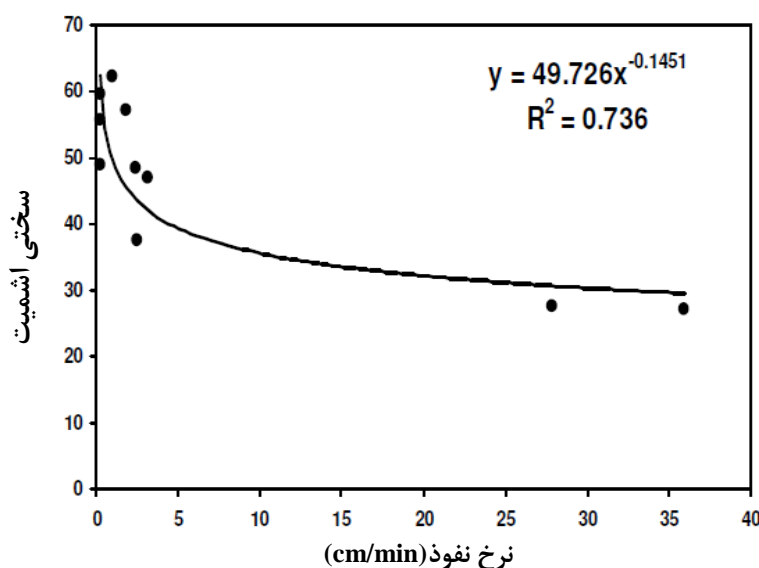
عوامل موثر بر قابلیت حفاری توده سنگ

همچنین بیلگین و قهرمان در سال ۲۰۰۳، ارتباط بین سختی اشمیت را با نرخ نفوذ در سیستم‌های حفاری چرخشی به صورت شکل (۴۴-۲)، بیان کردند. همانطور که مشاهده می‌شود، با افزایش سختی اشمیت، نرخ نفوذ کاهش می‌یابد (Bilgin & Kahraman, 2003).



شکل ۴۴-۲- ارتباط بین سختی اشمیت و نرخ نفوذ در سیستم‌های حفاری چرخشی (Bilgin & Kahraman, 2003)

بیلیم نیز در سال ۲۰۱۱، ارتباط بین سختی اشمیت و نرخ نفوذ را به صورت شکل (۴۵-۲)، به دست آورد (Bilim, 2011).



شکل ۴۵-۲- ارتباط بین سختی اشمیت و نرخ نفوذ (Bilim, 2011)

فصل دوم

عوامل مؤثر بر قابلیت حفاری توده سنگ

۸.۱.۳.۲ مقاومت کششی

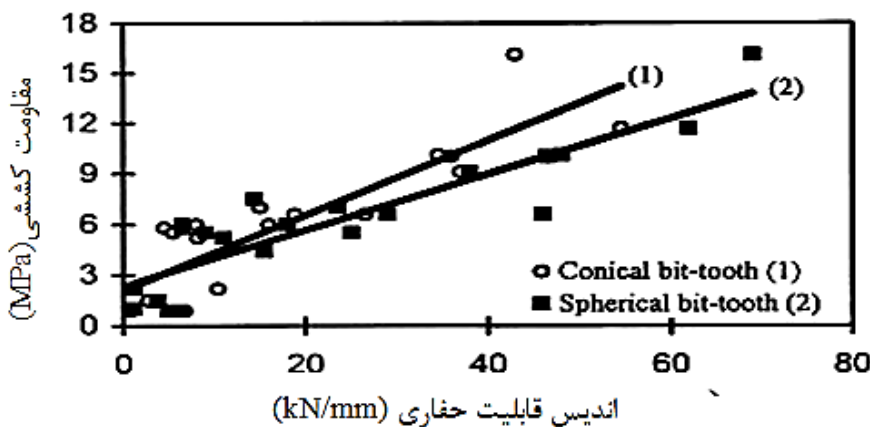
مقاومت کششی به عنوان یکی از مهم‌ترین پارامترهای مقاومتی سنگ مطرح می‌باشد. مقاومت کششی سنگ در عملیات حفاری و انتخاب نوع سیستم حفاری مفید است. این مقاومت تقریباً ۱۰ درصد مقاومت فشاری سنگ است و در مباحث حفاری، انفجار و معادن زیرزمینی (پایداری سقف)، از اهمیت ویژه‌ای برخوردار می‌باشد. مقاومت کششی در واقع مکریم تنش کششی است که یک سنگ می‌تواند داشته باشد و بر خلاف مقاومت فشاری که بررسی و مطالعات در مورد آن به حد وسیع و گسترده‌ای انجام گرفته است، در مورد مقاومت کششی شاید به دلیل دشواری در تهیه نمونه و انجام آزمایش، مطالعه کافی انجام نگرفته است (اصانلو، ۱۳۸۲).

در ادامه بحث به تحقیقاتی که در زمینه ارتباط بین مقاومت کششی و نرخ نفوذ انجام شده است، پرداخته می‌شود.

قهرمان و همکارانش در سال ۲۰۰۰، با استفاده از سیستم حفاری دورانی بر روی ۲۲ نمونه سنگ، رابطه بین اندیس قابلیت حفاری و مقاومت کششی را به صورت شکل (۴۶-۲)، به دست آورده‌اند. در این شکل، ضریب همبستگی برای خط مربوط به سرمته‌های کروی ۰/۸۷ و برای سرمته - های مخروطی ۰/۸۸ می‌باشد (Kahraman et al, 2000).

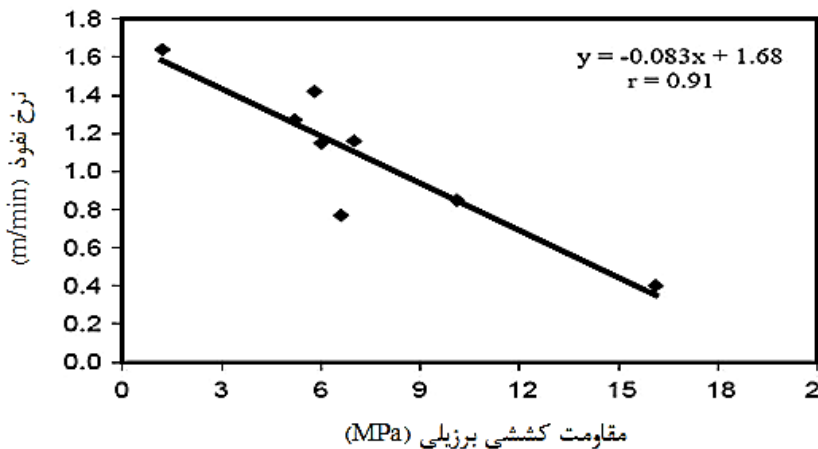
همانطور که در این شکل مشاهده می‌شود، با افزایش مقاومت کششی، اندیس قابلیت حفاری افزایش یافته، در نتیجه قابلیت حفاری سنگ کاهش می‌یابد.

عوامل موثر بر قابلیت حفاری توده سنگ



شکل ۲-۴۶- ارتباط مقاومت کششی و سرعت حفاری دورانی (Kahraman et al, 2000)

همچنین قهرمان و همکارانش در سال ۲۰۰۳، رابطه‌ای قوی بین نرخ نفوذ و مقاومت کششی برزیلی در سیستم حفاری ضربه‌ای، مطابق شکل (۴۷-۲)، به دست آورده‌اند. ایشان بیان کردند که، علاوه بر مقاومت فشاری تکمحوره، انرژی مخصوص، مقاومت کششی و سختی اشمیت، مقاومت بار نقطه‌ای نیز از مهم‌ترین پارامترهای مؤثر بر نرخ نفوذ در سیستم‌های حفاری ضربه‌ای می‌باشد (Kahraman et al, 2003).



شکل ۲-۴۷- ارتباط مقاومت کششی و سرعت حفاری ضربه‌ای (Kahraman et al, 2003)

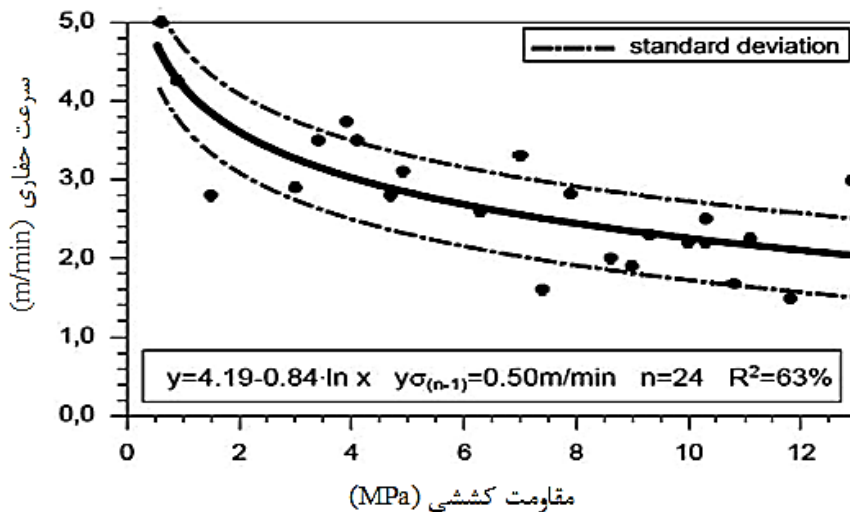
تورو و اسپان در سال ۱۹۹۶، رابطه بین نرخ نفوذ در سیستم حفاری ضربه‌ای و مقاومت کششی را در سنگ‌های مختلفی مانند: سیلتاستون رسی، سنگ‌آهک، مرمر، شیست و سنگ‌های کریستالین،

فصل دوم

عوامل مؤثر بر قابلیت حفاری توده سنگ

مطابق شکل (۴۸-۲)، به دست آورده‌ند. همانطور که از منحنی رگرسیون لگاریتمی این ارتباط مشاهده

می‌شود، با افزایش مقاومت کششی، نرخ نفوذ کاهش یافته است (Thuro & Spaun, 1996).

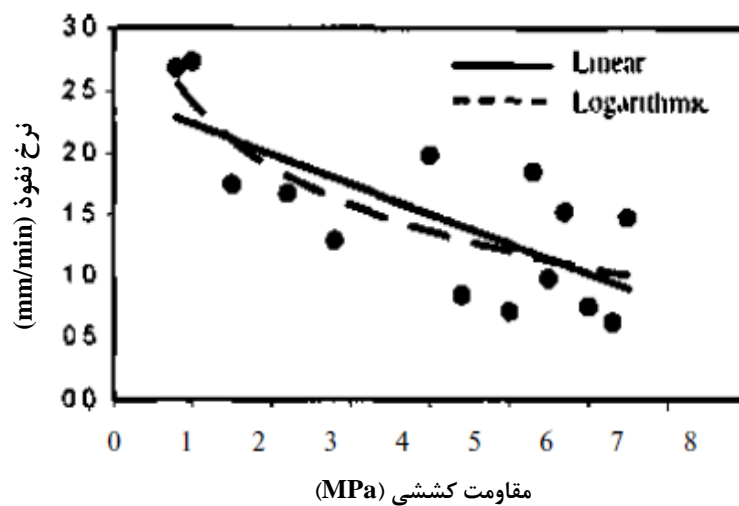


شکل ۴۸-۲- ارتباط مقاومت کششی و سرعت حفاری ضربه‌ای در تونل‌سازی (Thuro & Spaun, 1996)

بیلگین و قهرمان در سال ۲۰۰۳، با انجام آزمایش مقاومت کششی برزیلی، ارتباط بین این

مقاومت با نرخ نفوذ را در سیستم‌های حفاری چرخشی، به صورت شکل (۴۹-۲)، بیان کردند (Bilgin & Kahraman, 2003).

(& Kahraman, 2003)



شکل ۴۹-۲- ارتباط بین مقاومت کششی برزیلی و نرخ نفوذ در سیستم‌های حفاری چرخشی (Bilgin & Kahraman, 2003)

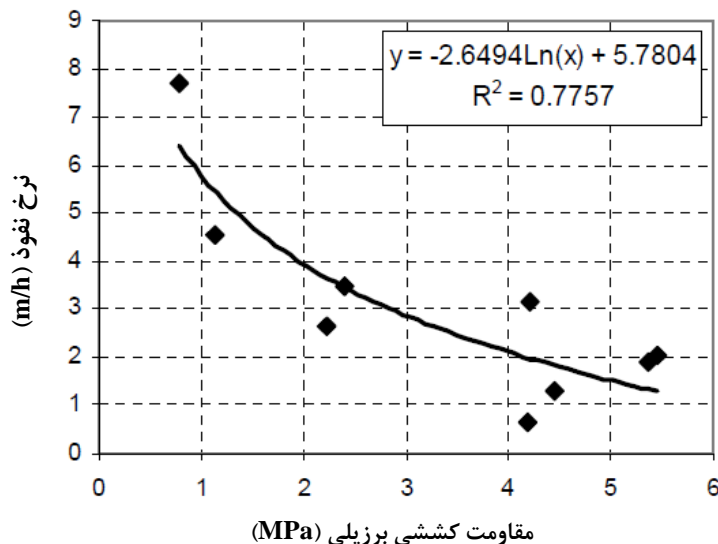
(2003)

فصل دوم

عوامل مؤثر بر قابلیت حفاری توده سنگ

حسینی و عطائی در سال ۱۳۸۸، ارتباط بین مقاومت کششی و نرخ نفوذ را در سیستم حفاری

ضربهای، مطابق شکل (۵۰-۲)، به دست آورند.



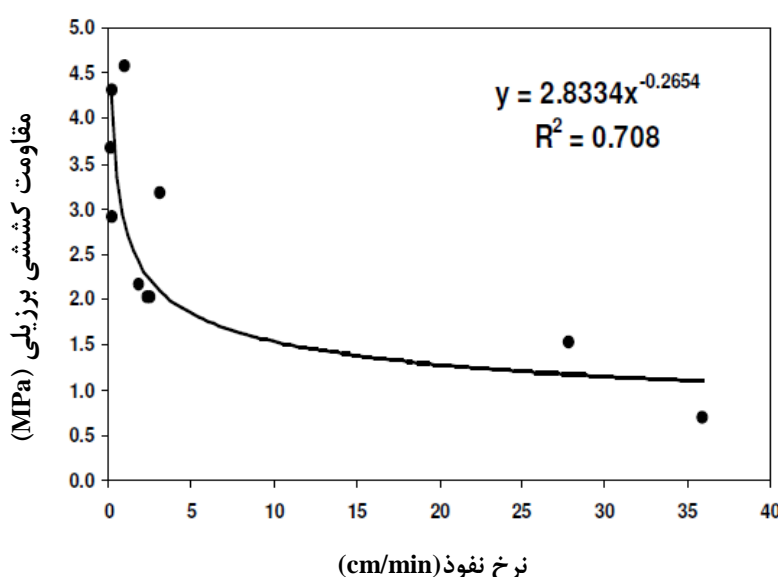
شکل ۵۰-۲- رابطه بین سرعت حفاری ضربهای و مقاومت کششی برزیلی سنگ (حسینی و عطائی، ۱۳۸۸)

همانطور که در این شکل مشاهده می‌شود، با افزایش مقاومت کششی، نرخ نفوذ به صورت

لگاریتمی کاهش یافته است (حسینی و عطائی، ۱۳۸۸).

بیلیم نیز در سال ۲۰۱۱ در ترکیه، ارتباط بین مقاومت کششی برزیلی و نرخ نفوذ را در ۱۰ نوع

سنگ مختلف بررسی کرد. نتیجه این بررسی در شکل (۵۱-۲)، مشاهده می‌شود (Bilim, 2011).



شکل ۵۱-۲- ارتباط بین مقاومت کششی برزیلی و نرخ نفوذ (Bilim, 2011)

فصل دوم

۹.۱.۳.۲ سختی

سختی به صورت مقاومت لایه سطحی سنگ در برابر نفوذ جسم دیگری که دارای سختی بیشتری است، تعریف می‌شود. سختی سنگ‌ها اولین و اصلی‌ترین مقاومتی است که باید در حفاری بر آن غلبه کرد (Jimeno et al, 1995). بیش از ۲۰۰ آزمایش سختی برای توصیف ویژگی‌های سنگ وجود دارد، که بیشتر آن‌ها به منظور اهداف خاصی طراحی شده و بیشتر از آن توسعه پیدا نکرده‌اند (Thuro & Plinninger, 2003).

در زیر به یکی از روش‌های اندازه‌گیری سختی، یعنی سختی موس، که در این تحقیق مورد استفاده قرار خواهد گرفت، پرداخته می‌شود. از آنجا که سختی یک سنگ قاعده‌تاً میانگین سختی کانی‌های تشکیل دهنده آن است، بنابراین باید ابتدا مقیاس سختی کانی‌ها توضیح داده شود. مقیاس سنجش سختی کانی‌ها معیار استاندارد موس^۱ است، که در آن سختی ده کانی به صورت اعداد صحیح ۱ تا ۱۰ در نظر گرفته شده است. در این معیار، هر کانی با عدد سختی بالاتر می‌تواند کانی با عدد سختی پایین‌تر را خراش دهد (جدول ۶-۲) (وفایان، ۱۳۷۶).

جدول ۶-۲- سختی کانی‌ها بر اساس مقیاس موس (وفایان، ۱۳۷۶)

کانی	سختی	مشخصه سختی
تالک	۱	کانی روی کاغذ بدون خراش می‌نویسد.
گچ	۲	کاغذ را خراش می‌دهد.
کلسیت	۳	نوك چاقو به آسانی کانی را خراش می‌دهد.
فلوریت	۴	با فشار کمی به وسیله چاقو روی آن خراش می‌افتد.
آپاتیت	۵	با فشار زیاد به وسیله چاقو روی آن خراش می‌افند.
فلدسبار	۶	روی چاقو و شیشه خراش می‌دهد.
کوارتز	۷	روی چاقو و شیشه خراش می‌دهد.
توباز	۸	روی چاقو و شیشه خراش می‌دهد.
کرندوم	۹	روی چاقو و شیشه خراش می‌دهد.
الماس	۱۰	روی چاقو و شیشه خراش می‌دهد.

^۱ Mohs

فصل دوم

عوامل موثر بر قابلیت حفاری توده سنگ

بدیهی است که، با افزایش سختی سنگ، سرعت حفاری و قابلیت حفاری سنگ‌ها کاهش خواهد یافت. جمینو^۱ و همکارانش در سال ۱۹۹۵، رابطه بین سختی سنگ‌ها و مقاومت فشاری تک-محوره را به صورت جدول (۷-۲)، ارائه داده‌اند.

جدول ۷-۲- رابطه بین سختی موس و مقاومت فشاری تکمحوره (Jimeno et al, 1995)

مقاآمت فشاری تکمحوره (MPa)	مقدار سختی موس	درجه سختی
>۲۰۰	۷-۱۰	بسیار سخت
۱۲۰-۲۰۰	۶-۷	سخت
۶۰-۱۲۰	۴/۵-۶	نیمه سخت
۳۰-۶۰	۳-۴/۵	نیمه نرم
۱۰-۳۰	۲-۳	نرم
<۱۰	۱-۲	بسیار نرم

۱۰.۱.۳.۲ سایندگی

سایش به پاسخ سنگ‌ها نسبت به عوامل مخرب فیزیکی گفته می‌شود، که در واقع مقدار فرسایش سنگ در برابر عوامل فرساینده را نشان می‌دهد. قدرت سایندگی سنگ عبارت است از: مقدار تأثیر فرسایشی سنگ روی سایر موادی که با آن در تماس هستند. این پارامتر در تعیین میزان استهلاک ماشین‌های حفاری و تونل‌زنی و تعیین عمر مفید قطعات، حائز اهمیت است. قابلیت سایش و قدرت سایندگی سنگ بستگی به نوع و مقدار کانی‌ها، تعداد ریزترک‌ها، درجه هوازدگی سنگ و نیز چسبندگی بین دانه‌ها دارد (فهیمی‌فر و سروش، ۱۳۸۰).

فاکتورهای مختلفی، سایندگی در سنگ را تحت تأثیر قرار می‌دهند. مهمترین فاکتورهایی که می‌توان به آن‌ها اشاره کرد، عبارتند از: ترکیب کانی‌شناسی، سختی کانی‌های تشکیل‌دهنده سنگ، مشخصات دانه‌ها شامل: اندازه، شکل و گوشهداری، نوع ماتریکس و درجه سیمانه شدن، مقاومت، سختی و انرژی ویژه. از آزمایش‌هایی که برای تعیین سایندگی استفاده می‌شوند، می‌توان به اندیس

^۱. Jimeno

فصل دوم

عوامل مؤثر بر قابلیت حفاری توده سنگ

سایش سورشار^۱، اندیس سایش ضربه دینامیکی^۲ و فاکتور ساینده شیمازک^۳ اشاره کرد (Waller, 1995).

الف- اندیس سایش سورشار

آزمایش اندیس سایش سورشار در فرانسه و در اواسط دهه ۱۹۸۰ ابداء شد. این اندیس یک روش سریع و ساده جهت تعیین ساینده سنگ می‌باشد.

برای انجام این آزمایش، در مدت زمان یک ثانیه و تحت بار استاتیکی ۷۰ نیوتون، نوک تیز پین فولادی، خراشی با سرعت ۱۰ میلی‌متر بر ثانیه بر روی سطحی ناهموار و تازه شکسته ایجاد می‌کند. این پین فولادی از نوع فولاد قابل عملیات حرارتی آلیاژ H۴۴۰ در استاندارد AISI می‌باشد، که در طی یک فرآیند عملیات حرارتی به مقاومت ۶۱۰ ویکرز^۴ رسیده است. نوک این پین فولادی با زاویه ۹۰ درجه به حداکثر تیزی رسیده است. اندیس سایش سورشار از اندازه‌گیری ضخامت قطر ساییده شده روی نوک تیز فولادی با کمک میکروسکوپ بر حسب میلی‌متر خوانده می‌شود. استفاده وسیع از این آزمایش توسط تولیدکنندگان تجهیزات تونل‌سازی، مانند مؤسسه‌های تحقیقاتی و مشاوران در زمینه حفاری سنگ منجر به این شده است که اندیس سایش سورشار تبدیل به یکی از پارامترهای استاندارد در طبقه‌بندی سنگ سخت شود (شکل ۲-۵۲). (Plinninger & Thuro, 2004)

^۱ Cershar Abrissivness Index

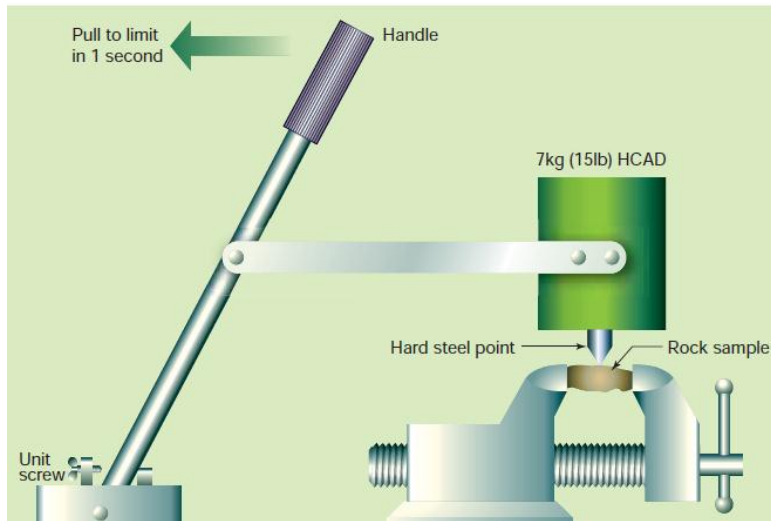
^۲ Dynamic impact abrasive index

^۳ Schimazek's F-abrasivity factor

^۴ واحد سختی ویکرز کیلوگرم نیرو بر میلی‌متر مربع است. (توضیح آن به طور کامل در قسمت پیوست آمده است).

فصل دوم

عوامل مؤثر بر قابلیت حاره‌ی توده‌سنگ



شکل ۲-۵۲- نمایی از دستگاه سایش سورشار (Tunnels & Tunnelling International, 2006)

ب- اندیس سایش ضربه دینامیکی

این اندیس روشی برای ارزیابی سایندگی بالقوه سنگ‌ها می‌باشد، که در دانشگاه ناتینگهام^۱ توسعه داده شده است. اندیس سایش ضربه دینامیکی این مزیت را دارد که، می‌تواند برای انواع سنگ‌های مقاوم تا ترد مورد استفاده قرار گیرد. این اندیس تابعی از سختی و میزان کانی‌های ساینده در سنگ بوده و زمانی که به علت شکل نمونه یا شرایط یا پایین بودن مقیاس مقاومتی سنگ، نتوان از روش‌های دیگر استفاده کرد، این روش مورد استفاده قرار می‌گیرد (Ersoy & Waller, 1995).

پ- فاکتور سایندگی شیمازک

این فاکتور سایندگی در سال ۱۹۷۰، توسط شیمازک و ناتز به صورت رابطه (۸-۲)، ارائه شده

است:

$$F = \frac{(EqQtz \times \varphi \times BTS)}{100} \quad (8-2)$$

که در آن:

F : فاکتور سایندگی شیمازک (N/mm)، $EqQtz$: درصد محتوی کوارتز معادل، φ : اندازه دانه

BTS : مقاومت کششی بزریلی می‌باشند. اگر اندازه دانه کمتر از ۰/۰۲۵ میلی‌متر باشد، دانه‌ها

¹ Nottingham

فصل دوم

عوامل موثر بر قابلیت حمایتی توده سنگ

تأثیر ناچیزی بر روی سایندگی خواهند داشت. مقاومت کششی نیز، مقاومت مرز بین دانه‌ها را نشان می‌دهد. سختی کانی‌های موجود در سنگ، نسبت به کوارتز سنجیده می‌شود. در اروپا این اندیس به منظور ارزیابی سایندگی سنگ‌های رسوبی، به خصوص معدن‌کاری زغال و تونل مورد استفاده قرار گرفته است. فاکتور سایش شیمازک یک رابطه خطی با سایش نشان داده است (Ersoy & Waller, 1995).

اندازه دانه‌ها با استفاده از مقاطع نازک و میانگین‌گیری وزنی اندازه دانه‌ها و مقدار مقاومت کششی غیر مستقیم از طریق آزمایش تعیین می‌شود.

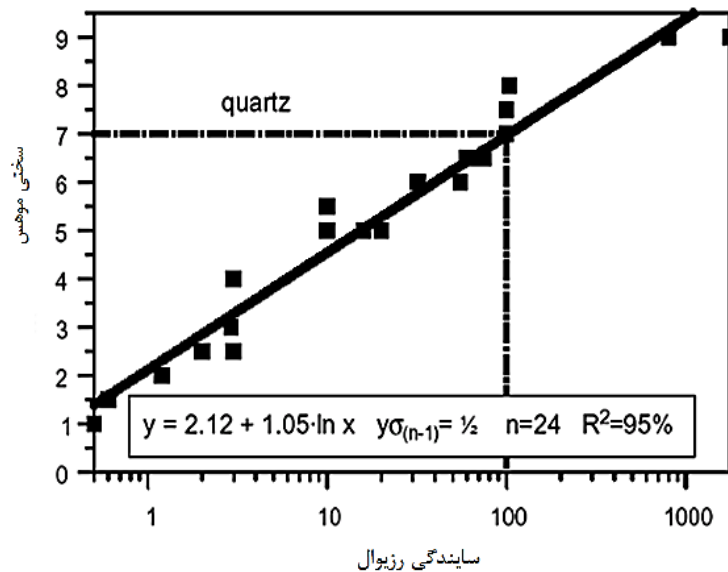
پ-۱ کوارتز محتوى

با توجه به اینکه، سایش ابزار، به طور عمده، به علت وجود کانی‌های سخت‌تر از فولاد با سختی ۵/۵ و به خصوص کوارتز با سختی ۷ می‌باشد، برای اینکه تمام کانی‌های موجود در یک نمونه سنگ در نظر گرفته شوند، باید مقدار کوارتز محتوى معادل در مقاطع نازک توسط آنالیز کیفی مشخص شود، که این به معنای کل کانی‌های محتوى با توجه به سایندگی یا سختی کوارتز می‌باشد. بنابراین مقدار کوارتز محتوى معادل از ضرب کردن مقدار هر کانی در سختی نسبی رزیوال آن نسبت به کوارتز به دست می‌آید (Thuro, 1997).

رابطه (۹-۲)، مقدار کوارتز محتوى معادل را نشان می‌دهد.

$$EqQtz = \sum_{i=1}^n A_i R_i \quad (9-2)$$

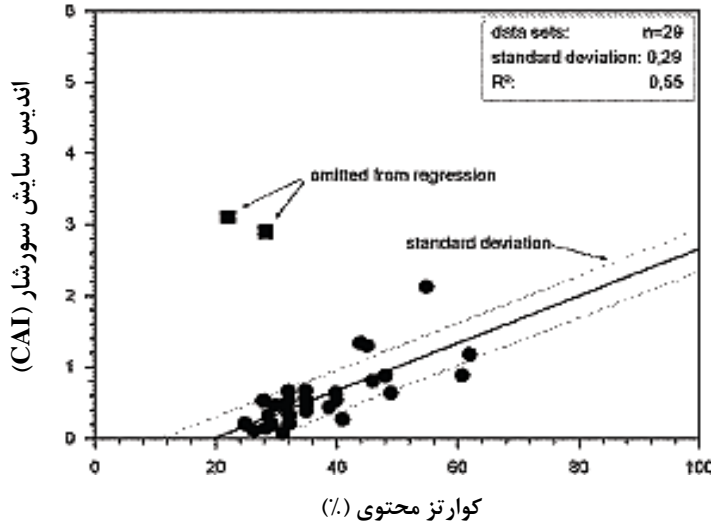
که در آن، A نشانگر درصد کانی‌ها، R سایندگی رزیوال و n تعداد کانی‌ها می‌باشد. ارتباط بین سختی موس و سایندگی رزیوال در شکل (۵۳-۲)، مشاهده می‌شود. با استفاده از این نمودار می‌توان با داشتن سختی موس، سایندگی رزیوال کانی مورد نظر را با دقت قابل قبولی به دست آورد (Thuro, 1997).



شکل ۵۳-۲- رابطه میزان ساختگی رزیوال سنگ با استفاده از سختی موس (Thuro, 1997)

وست^۱ در سال ۱۹۸۹، بیان کرد که کوارتز محتوی پارامتر اصلی ژئومکانیکی مؤثر بر مقدار اندیس سورشار است و یک رابطه منطقی برای ۲۹ سری داده با سایش کم ارئه کرد (شکل ۲-۲).

.(۵۴)



شکل ۵۴-۲- ارتباط بین اندیس سورشار و کوارتز محتوی (Plinninger & Thuro, 2004)

^۱ West

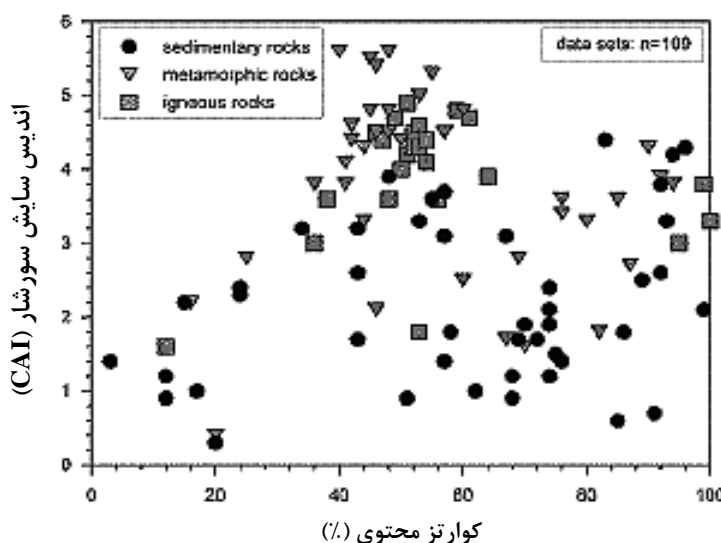
فصل دوم

عوامل موثر بر قابلیت حاره‌ی توده‌سنگ

یک برنامه تحقیقاتی نیز در مؤسسه TU مونیخ توسط کسلینگ^۱ در سال ۲۰۰۰ انجام گرفت.

در این آزمایش، ۱۰۹ نمونه سنگی مختلف، با محدوده وسیع سایش (اندیس از ۳/۵ تا ۰/۵) با استفاده از تست سورشار و همچنین پارامترهای استاندارد دیگری از سنگ سخت، نظیر مقاومت فشاری تک-محوره، مدول یانگ و مقاومت کششی برزیلی مانند تحلیل سنگ‌شناسی مقاطع نازک، مورد بررسی قرار گرفت. بر خلاف نظر وست، نتیجه کار ارائه شده در شکل (۵۵-۲)، نشان می‌دهد که کوارتز محتوی معادل، به تنها‌یی برای تفسیر مقادیر سایش حاصل از تست سورشار مناسب نمی‌باشد

.(Plinninger & Thuro, 2004)



شکل ۵۵-۲- ارتباط بین اندیس سایش سورشار و کوارتز محتوی (Plinninger & Thuro, 2004)

پ-۲ شاخص سایش سنگ^۲

شاخص سایش سنگ یک شاخص فرسایشی ژئوتکنیکی جدیدی می‌باشد که بخشی از فرآیند نرخ فرسایش سرمته را شامل می‌شود. این روش یک برنامه تحقیقی را که شامل تمامی محدوده مقیاس توده‌سنگ تا مقیاس کانی‌شناسی می‌شود، ارائه می‌دهد. زمانی که تحقیقات در مقیاس کانی-

¹ Kasling

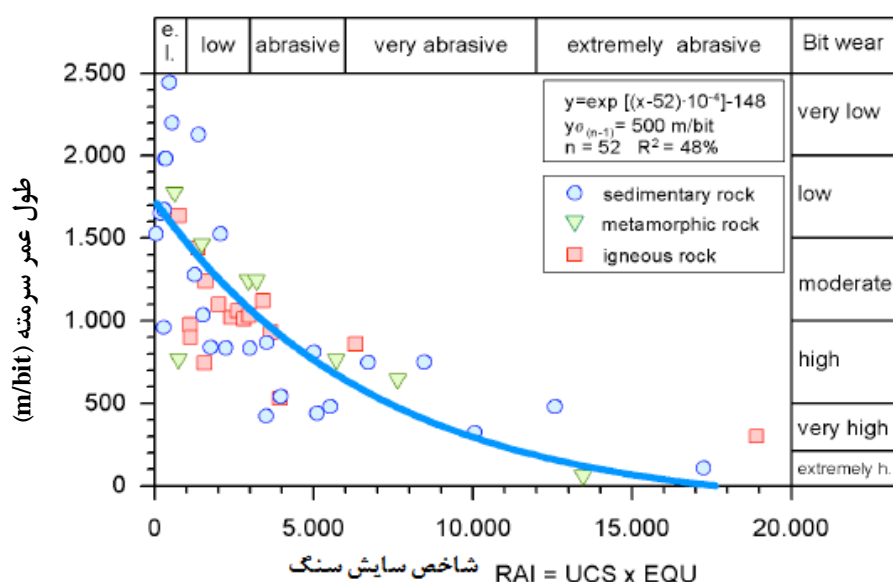
² Rock Abrissivness Index

فصل دوم

عوامل مؤثر بر قابلیت حاره‌ی توده سنگ

شناسی و سنگ انجام می‌گیرد، شاخص سایش انواع سنگ‌ها، از ضرب کردن مقاومت فشاری تک-محوره که معیاری از به هم چسبیدگی و قفل شدگی کانی‌هاست، در مقدار کوارتز محتوی به دست می‌آید. اما در مقیاس توده‌سنگ با آگاهی از پارامترهای مثبت و منفی تأثیرگذار، که سایش متنه را کاهش یا افزایش می‌دهند، می‌توان نمودار این شاخص را نتیجه گرفت (Thuro & Plinniger, 2003).

در شکل (۲-۵۶)، رابطه بین عمر سرمته در مقابل شاخص سایش سنگ مشاهده می‌شود.



شکل ۲-۵۶- رابطه شاخص سایندگی سنگ RAI و عمر سرمته (Thuro & Plinniger, 2003)

با توجه به شکل بالا، رابطه سایش سنگ به صورت زیر می‌باشد:

$$RAI = EqQtz \times UCS \quad (10-2)$$

که در آن، EqQtz نشانگر درصد میزان کوارتز محتوی معادل سنگ و UCS نمایانگر مقاومت فشاری سنگ بر حسب مگاپاسکال می‌باشد.

روش تعیین مقدار کوارتز محتوای معادل در بین سازندگان ابزارها، مهندسان و زمین‌شناسان به منظور تحقیقات اولیه کارگاهی و پیش از اینکه سایش ابزار اتفاق بیفتد، گستردگ است. در شکل (۲-۵۷)، عمر سرمته در سنگ‌های مختلفی با مقدار کوارتز محتوی معادل ارتباط داده شده است.

فصل دوم

عوامل مؤثر بر قابلیت حاره‌ی توده‌سنگ

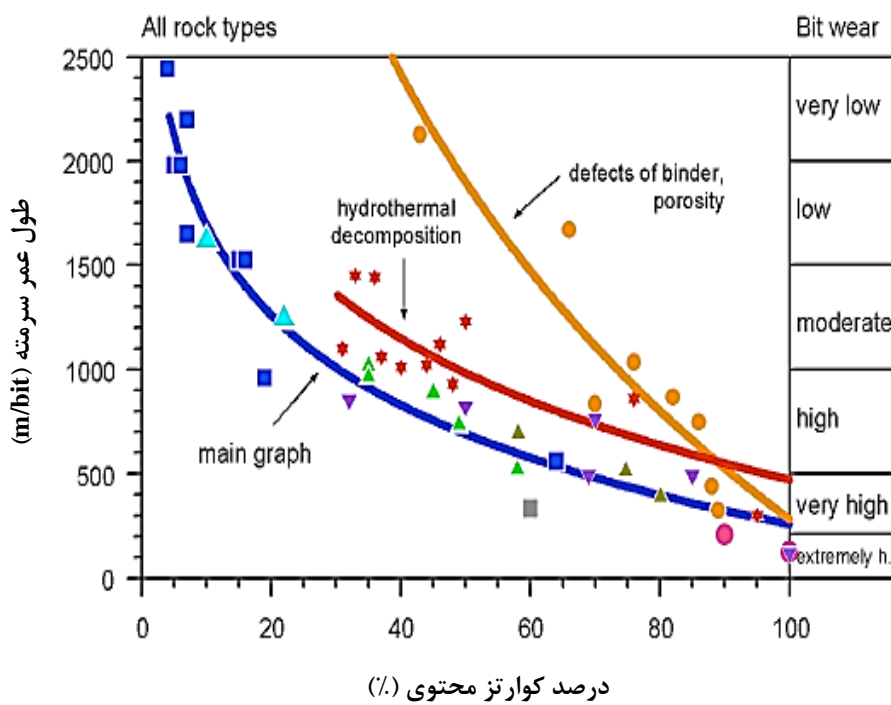
همانطور که مشاهده می‌شود، با افزایش مقدار کوارتز محتوی، میزان سایش سرمهته‌ها افزایش می‌یابد.

اما برخی از انواع سنگ‌ها به طور واضحی، منحنی‌های خاص خود را دارند (Thuro & Plinninger, 2003)

- ماسه‌سنگ‌ها، به ویژه آن‌هایی که دارای تخلخل بالاتری هستند، که اغلب به علت نقصان در

سیمان سیلیسی آن‌ها می‌باشد.

- سنگ‌های تجزیه شده هیدروترمالی بلورین.



شکل ۲-۵۷- رابطه میزان کوارتز محتوی و عمر سرمههای طبیعت (Thuro & Plinninger, 2003)

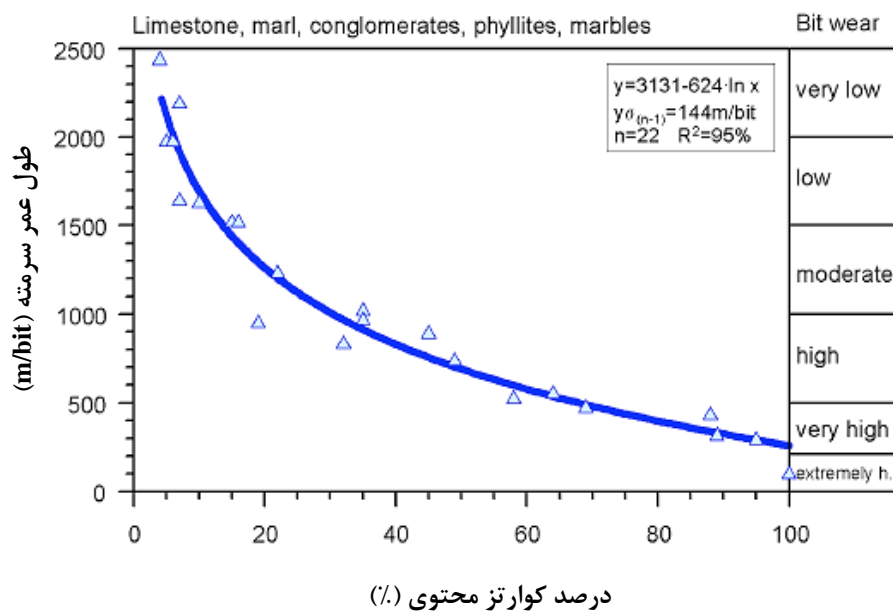
در هر کدام از انواع سنگ‌های مختلف، قفل‌شدگی دانه‌ها در ریزبافت‌های سنگ، یک مانع محسوب می‌شود. بنابراین برای پیش‌بینی عمر مته در هر نوع سنگ، باید به طور خاص مورد بحث قرار گیرد. همانطور که در شکل (۵۸-۲)، مشاهده می‌شود، گروهی از سنگ‌های دانه-دانه شامل سنگ‌آهک، مارل، کنگلومرا، فیلیت و مرمر، توسط منحنی رگرسیون لگاریتمی توصیف شده‌اند. برای این گروه از سنگ‌های انتخاب شده، رابطه بدست آمده بسیار نزدیک است و ممکن است زمانی که

فصل دوم

عوامل مؤثر بر قابلیت حفاری توده سنگ

مقدار کوارتز محتوای معادل آن‌ها به وسیله آنالیزهای کیفی در مقاطع نازک مشخص شود، به منظور

پیش‌بینی فرسایش سرمته مورد استفاده قرار گیرند (Thuro & Plinninger, 2003).



شکل ۲-۵۸- رابطه عمر سرمته با درصد کوارتز محتوی در سنگ‌های مختلف دانه-دانه با کوارتز محتوی معادل

(Thuro & Plinninger, 2003)

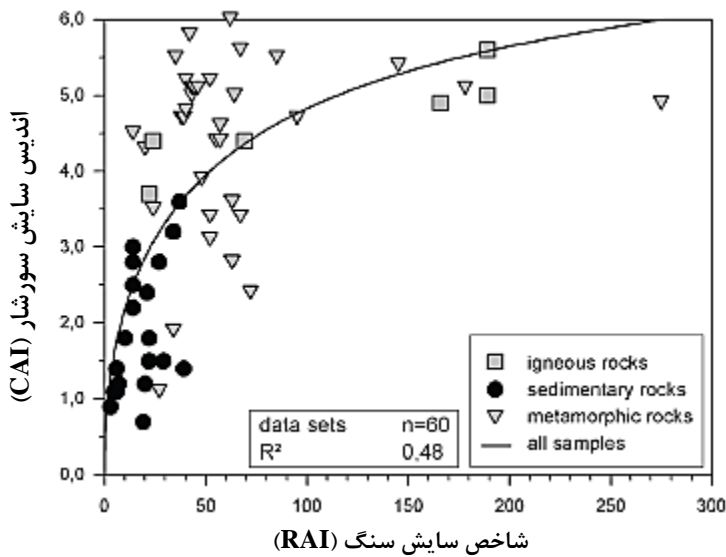
همچنین پلانینگر و همکارانش در سال ۲۰۰۴، بیان کردند که، شاخص سایش سنگ رابطه

لگاریتمی نسبتاً خوبی را با اندازه سایش سورشار نشان می‌دهد (شکل ۲-۵۹) (Plinninger &

.(Thuro, 2004)

فصل دوم

عوامل موثر بر قابلیت حاره‌ی توده سنگ



۵۹-۲- ارتباط بین شاخص سایش سنگ و آندس سایش سورشار (Plinninger & Thuro, 2004)

قهرمان در سال ۱۹۹۹، به منظور پیش‌بینی سرعت حفاری در سه نوع سیستم حفاری چرخشی، DTH و سیستم حفاری ضربه‌ای -دورانی چکش بالا، تحقیقاتی را بر روی چندین نوع سنگ شامل: سنگ‌آهک، دولومیت، ماسه‌سنگ آلتره شده، سرپانتیت، هماتیت، توف و دولومیت انجام داد. ایشان با استفاده از صدھا مدل، بهترین مدل را برای پیش‌بینی نرخ نفوذ در هر یک از سیستم‌های حفاری اشاره شده ارائه کرد. ایشان به این نتیجه رسیدند که، پارامترهای غالب سنگ در روش چرخشی، مقاومت فشاری تکمحوره، در روش DTH عدد سختی اشمیت و در سیستم حفاری ضربه-ای -دورانی چکش بالا مقاومت فشاری و کوارتز محتوى می‌باشند. در رابطه (۱۱-۲)، سرعت حفاری در سیستم حفاری ضربه‌ای -دورانی چکش بالا، آمده است (Kahraman, 1999).

$$PR = 0.47 \frac{b_{pm}^{0.375}}{\sigma_c^{0.534} \times q^{0.093}} \quad (11-2)$$

σ_c : مقاومت فشاری تکمحوری (Mpa)

PR: سرعت حفاری (m/min)

b: فرکانس دمش هوای فلاشینگ (bpm)

q: میزان کوارتز (%)

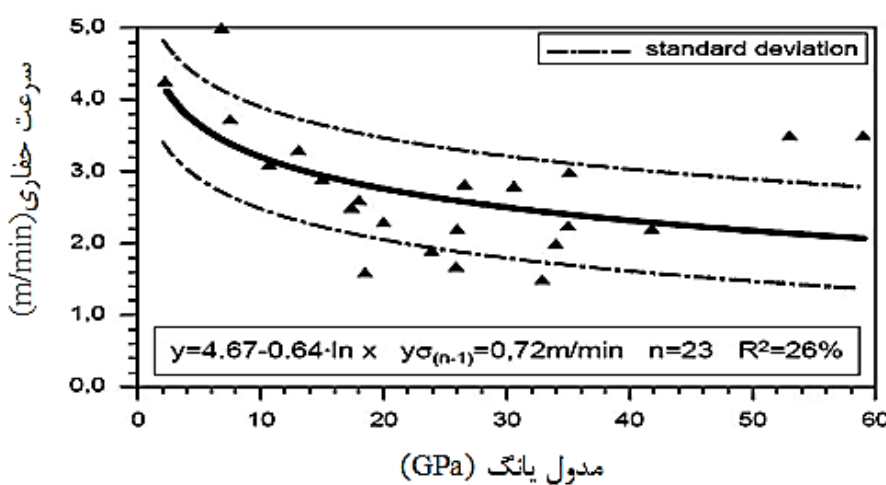
فصل دوم

عوامل مؤثر بر قابلیت حفاری توده سنگ

۱۱.۱.۳.۲ خواص الاستیسیته و پلاستیسیته

قابلیت تغییر شکل، نحوه شکست و نوع شکست سنگ به خاصیت الاستیسیته و پلاستیسیته سنگ‌ها بستگی دارد. خواص الاستیک سنگ‌ها توسط مدول الاستیسیته (E) و نسبت پواسون (ν) مشخص می‌شود.

اکثر کانی‌های موجود در سنگ رفتار الاستیک ترد دارند و از قانون هوک تعیین می‌کنند. خواص الاستیک توسط مدول الاستیسیته مشخص می‌شود. مدول الاستیسیته نسبت تنش قائم به تغییر شکل نسبی ایجاد شده در اثر آن است (Jimeno et al, 1995). همانطور که قبلًا اشاره شد، تورو در سال ۱۹۹۶، پس از انجام آزمایشاتی بر روی تعدادی نمونه سنگ، نشان داد که با افزایش مدول یانگ سنگ‌ها، سرعت حفاری به صورت لگاریتمی کاهش می‌یابد. با توجه به این شکل، مشاهده می‌شود که ضریب همبستگی بین مدول یانگ و سرعت حفاری، بالا نبوده و این دو پارامتر ارتباط خوبی را با یکدیگر نشان نمی‌دهند (شکل ۶۰-۲) (Thuro & Spaun, 1996).



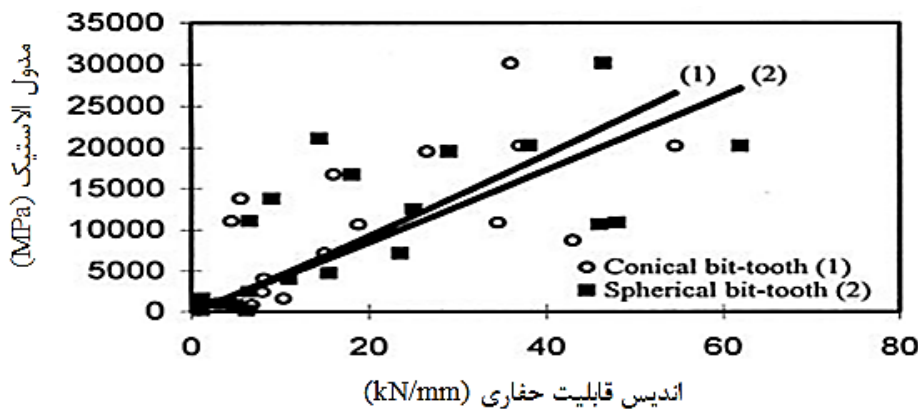
شکل ۶۰-۲- ارتباط سرعت حفاری و مدول الاستیسیته سنگ‌ها (Thuro & Spaun, 1996)

قهرمان در سال ۲۰۰۰، با انجام تعداد زیادی آزمایش با استفاده از سیستم حفاری دورانی و دو نوع سرمته کروی و مخروطی، نشان داد که با افزایش مدول الاستیسیته سنگ‌ها، سرعت حفاری

فصل دوم

عوامل موثر بر قابلیت حفاری توده سنگ

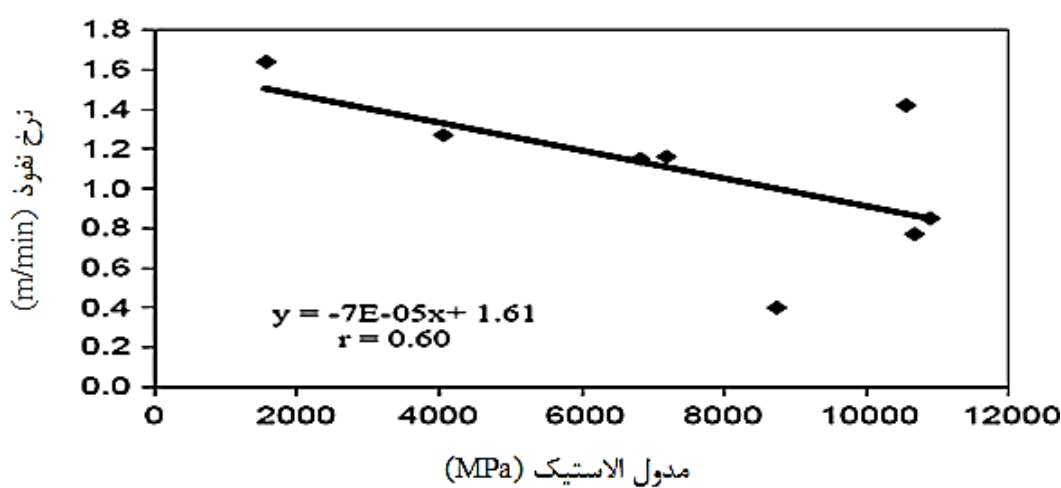
دورانی در سنگ کاهش و اندیس قابلیت حفاری افزایش می‌یابد (شکل ۶۱-۲) (Kahraman et al, 2000).



شکل ۶۱-۲- ارتباط قابلیت حفاری و مدول الاستیسیته سنگ‌ها در حفاری دورانی (Kahraman et al, 2000)

در شکل بالا، ضریب همبستگی برای سرمته‌های کروی 0.84 ± 0 و برای سرمته‌های مخروطی 0.78 ± 0 می‌باشد.

همچنین قهرمان در سال ۲۰۰۳ طی تحقیقی پیرامون حفاری ضربه‌ای نشان داد که با افزایش مدول الاستیسیته سنگ‌ها سرعت حفاری به صورت خطی کاهش می‌یابد (شکل ۶۲-۲) (Kahraman et al, 2003).

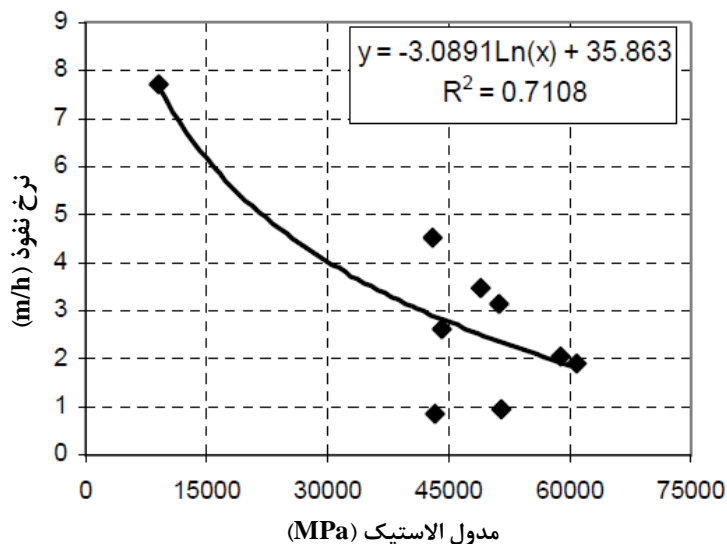


شکل ۶۲-۲- ارتباط قابلیت حفاری و مدول الاستیسیته سنگ‌ها در حفاری ضربه‌ای (Kahraman et al, 2003)

فصل دوم

عوامل مؤثر بر قابلیت حفاری توده سنگ

حسینی و عطائی نیز در سال ۱۳۸۸، با بررسی رابطه بین نرخ نفوذ و مدول الاستیسیته در سیستم حفاری ضربه‌ای پنوماتیکی با سرمته تیغه‌ای ضربدری، به این نتیجه رسیدند که، با افزایش مدول الاستیسیته، نرخ نفوذ به صورت لگاریتمی کاهش می‌یابد. اما این ارتباط، یک ارتباط قابل قبولی نمی‌باشد (شکل ۶۳-۲) (حسینی و عطائی، ۱۳۸۸).



شکل ۶۳-۲- رابطه بین سرعت حفاری ضربه‌ای و مدول الاستیسیته سنگ (حسینی و عطائی، ۱۳۸۸)

۱۲.۱.۳.۲ تردی

تردی یکی از پارامترهای مهم و مؤثر در قابلیت حفاری سنگ می‌باشد. تعیین ارتباط بین قابلیت حفاری و تردی به مهندسی سنگ کمک خواهد کرد. همانطور که قبلًاً اشاره شد، بین محققان مختلف، تعریف، مفهوم و روش اندازه‌گیری واحدی برای این پارامتر وجود ندارد (Gunaydin et al, 2004).

قهرمان در سال ۲۰۰۲، به طور آماری رابطه بین قابلیت حفاری با سه تعریف مختلف از تردی را با به کارگیری داده‌های خامی که از کارهای آزمایشگاهی محققان مختلفی به دست آمده بود، بررسی کرد. او در این تحقیق از روابط زیر برای تحقیق استفاده نمود (Kahraman, 2002) :

$$B_1 = \frac{\sigma_c}{\sigma_t} \quad \text{رابطه (۱۲-۲)}$$

فصل دوم

عوامل مؤثر بر قابلیت حاره‌ی توده‌گزگش

σ_c : مقاومت فشاری تک محوره

σ_t : مقاومت کششی

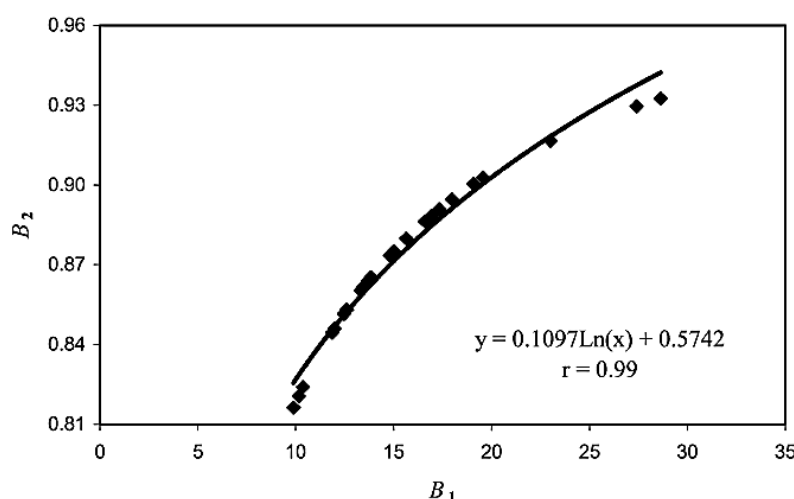
$$B_2 = \frac{\sigma_c - \sigma_t}{\sigma_c + \sigma_t} \quad \text{رابطه (۱۳-۲)}$$

$$B_3 = q\sigma_c \quad \text{رابطه (۱۴-۲)}$$

q : درصد خاکه به دست آمده در آزمایش پروتودیاکانوف

بین تردی B_1 و B_2 ، رابطه لگاریتمی خوبی وجود دارد، در حالی که ارتباطی بین تردی B_3 و تردی‌های B_1 و B_2 دیده نمی‌شود. از این مقایسه می‌توان نتیجه گرفت که تردی B_3 با تردی‌های B_1 و B_2 تفاوت دارد، که این تفاوت به روش اندازه‌گیری تردی B_3 برمی‌گردد (Kahraman, 2002).

در شکل (۶۴-۲)، یک ارتباط بسیار خوب بین تردی B_1 و B_2 مشاهده می‌شود، اما در اشکال (۶۵-۲) و (۶۶-۲) هیچ گونه ارتباطی میان تردی B_3 با تردی‌های B_1 و B_2 مشاهده نمی‌شود.

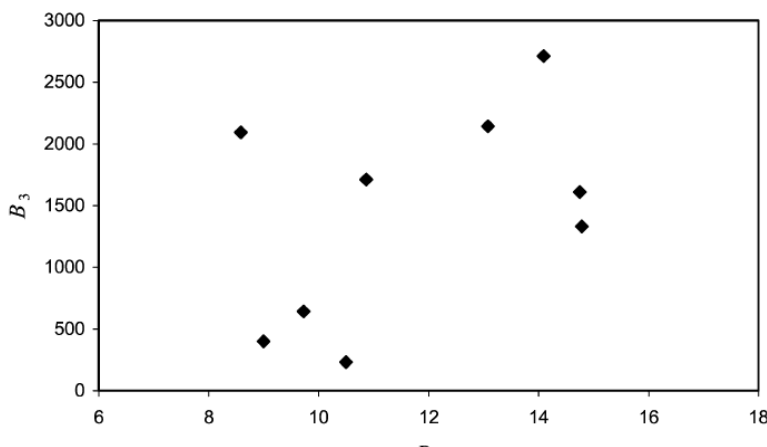


شکل ۶۴-۲- ارتباط بین تردی B_1 و B_2

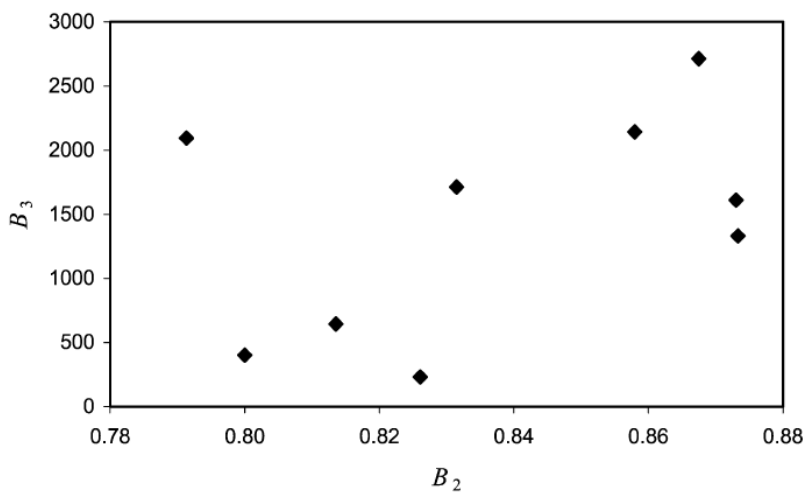
(Kahraman, 2002)

فصل دوم

عوامل موثر بر قابلیت حفاری توده سنگ



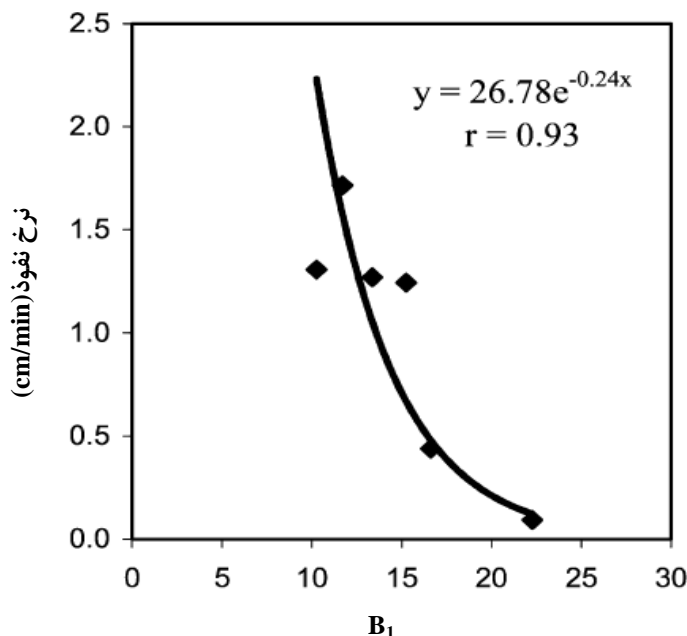
شکل ۲-۶۵- ارتباط بین تردی B_1 و B_3 (Kahraman, 2002)



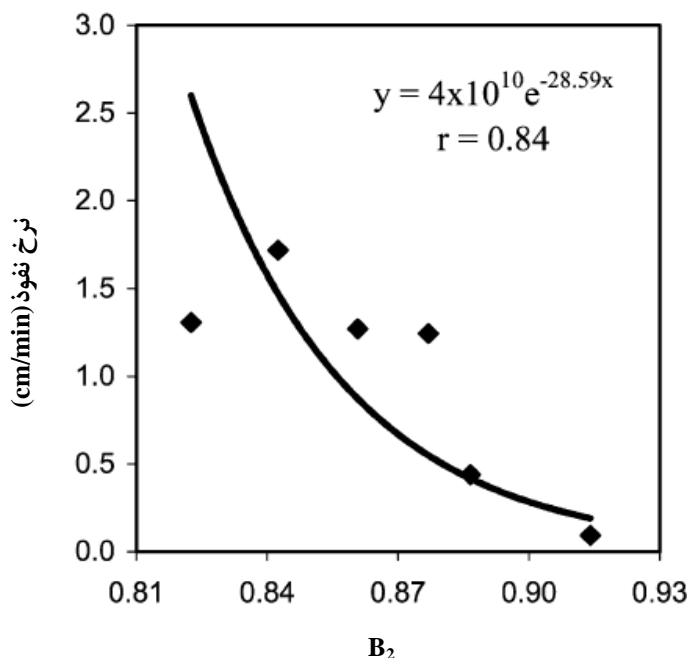
شکل ۲-۶۶- ارتباط بین تردی B_2 و B_3 (Kahraman, 2002)

در اشکال (۲-۶۷) تا (۲-۷۱) نیز، ارتباط بین تردی‌های مختلف با نرخ نفوذ مشاهده می‌شود. به

طوری که با افزایش تردی نرخ نفوذ کاهش می‌یابد. همانطور که مشاهده می‌شود، بین تردی‌های B_1 و B_2 در TBM، ارتباط بسیار خوبی وجود دارد. همچنین در سیستم حفاری چرخشی تردی‌های B_1 و B_2 و در سیستم حفاری ضربه‌ای تردی B_3 ارتباط خوبی را با نرخ نفوذ نشان می‌دهد.



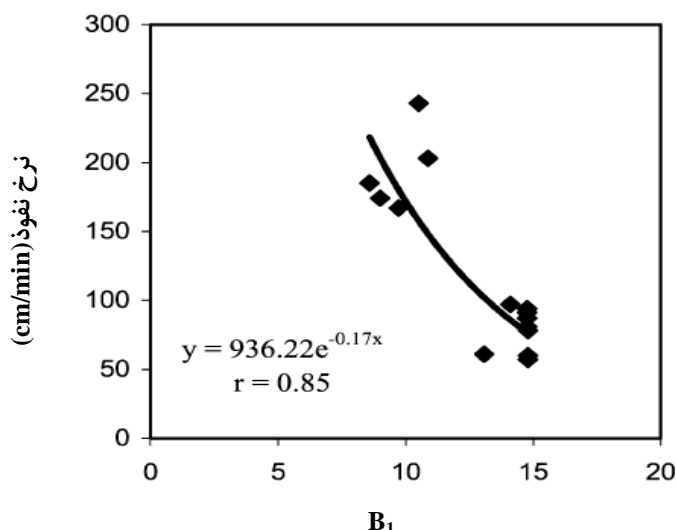
شکل ۲-۶۷- ارتباط بین نرخ نفوذ و تردی B_1 در TBM (Kahraman, 2002)



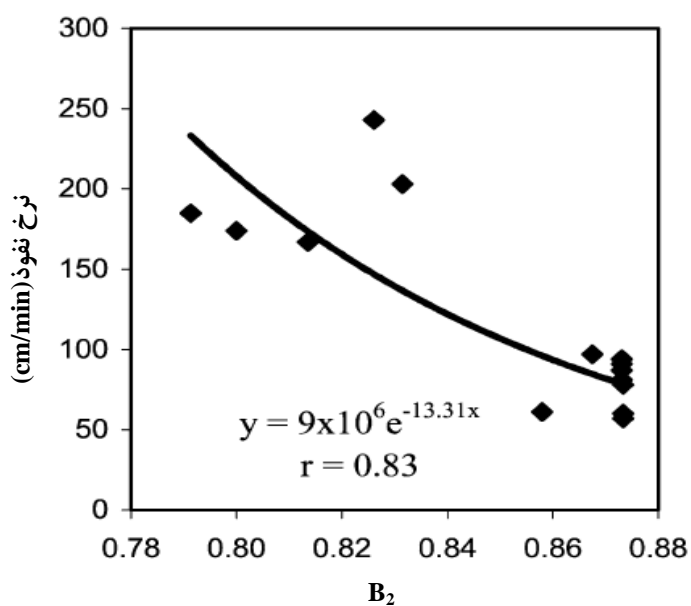
شکل ۲-۶۸- ارتباط بین نرخ نفوذ و تردی B_2 در TBM (Kahraman, 2002)

فصل دوم

عوامل مؤثر بر قابلیت حفاری توده سنگ



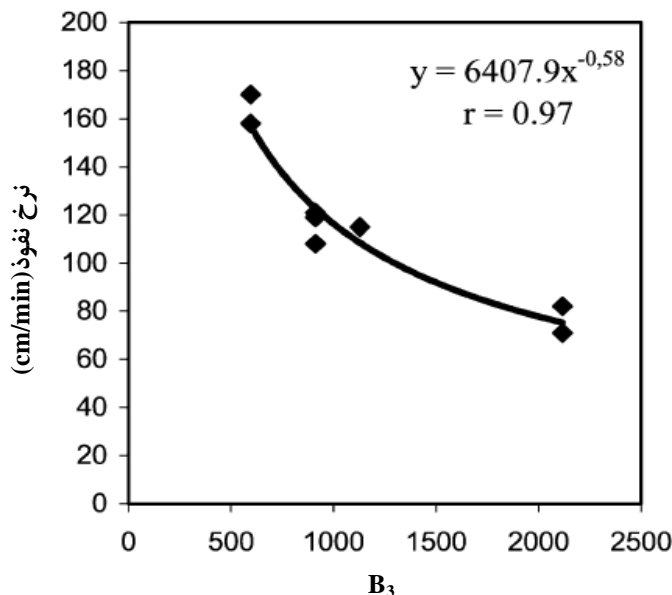
شکل ۶۹-۲- ارتباط بین نرخ نفوذ و تردی B_1 در سیستم حفاری چرخشی (Kahraman, 2002)



شکل ۷۰-۲- ارتباط بین نرخ نفوذ و تردی B_2 در سیستم حفاری چرخشی (Kahraman, 2002)

فصل دوم

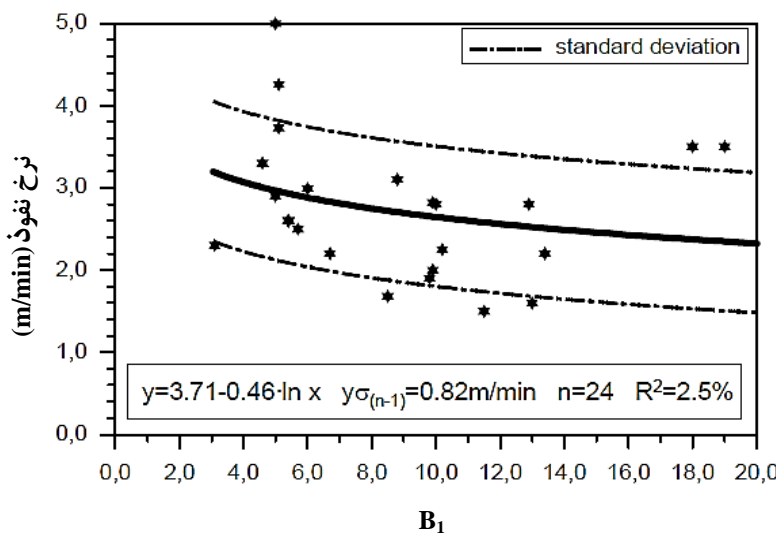
عوامل موثر بر قابلیت حفاری توده سنگ



شکل ۷۱-۲- ارتباط بین نرخ نفوذ و تردی B_3 در سیستم حفاری ضربه‌ای (Kahraman, 2002)

تورو و اسپان نیز در سال ۱۹۹۶، ارتباط بین تردی B_1 و نرخ نفوذ را در سیستم حفاری ضربه‌ای

.به صورت شکل (۷۲-۲)، بیان کردند (Thuro & Spaun, 1996)



شکل ۷۲-۲- ارتباط بین اندیس قابلیت حفاری و B_1 (Thuro & Spaun, 1996)

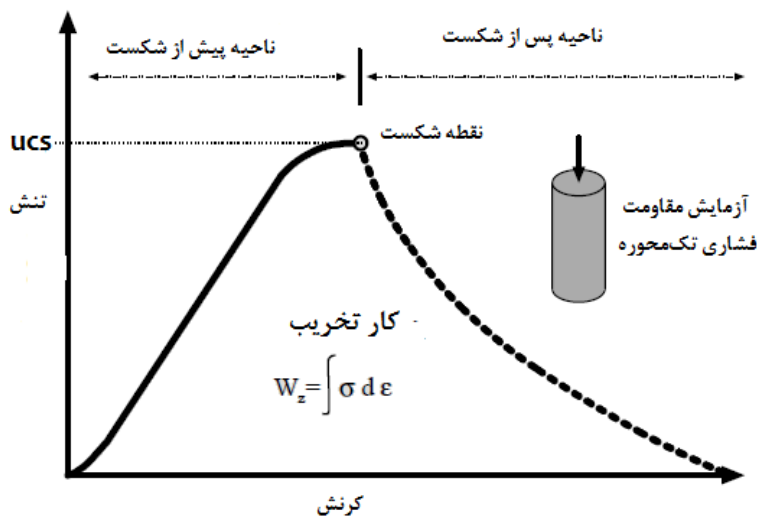
همانطور که مشاهده می‌شود، ارتباط بین تردی B_1 و نرخ نفوذ در سیستم حفاری ضربه‌ای، رابطه

خوبی را نشان نمی‌دهد.

فصل دوم

۱۳.۱.۳.۲ کار تخریب

تورو و اسپان در سال ۱۹۹۶، مشخصه جدیدی از سنگ با نام کار تخریب^۱ را معرفی کرده و بیان کردند که، این مفهوم در مقایسه با سایر خصوصیات سنگ، بهترین رابطه را با قابلیت چالزنی دارد. اصطلاح کار ویژه تخریب (W_z)، مقدار کار لازم برای تغییر شکل یک نمونه سنگ تا انتهای ناحیه پس از شکست است (شکل ۷۳-۲) (Thuro & Spaun, 1996).



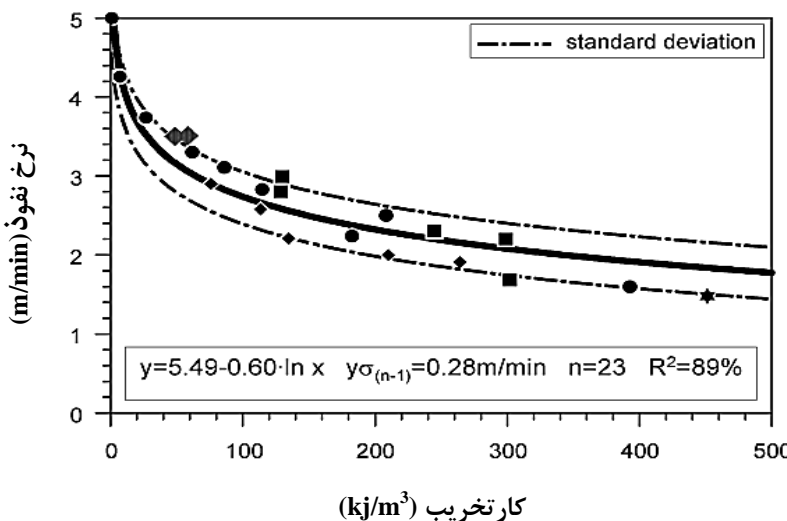
شکل ۷۳-۲- برآورد کار تخریب ویژه از منحنی تنش کرنش یک نمونه سنگ تحت فشار تک محوره (Thuro, 1997)

به طور کلی در هر گونه فرآیند خردایش سنگ (به عنوان نمونه، عملیات مربوط به چالزنی)، باید انرژی کافی به سنگ انتقال یابد، تا علاوه بر شکستن سنگ باعث خردایش و جدا شدن سنگ از محل اولیه شود. این کار به معنای آن است که، فرآیند خردایش، هم ناحیه پیش از شکست و هم ناحیه پس از شکست را شامل می‌شود. به همین دلیل مفهومی مانند کار تخریب، که هر دوی این نواحی را در بر می‌گیرد، رابطه‌ای مناسب و نزدیک با قابلیت حفاری دارد. این محققین پس از بررسی ۲۳ نمونه سنگ با استفاده از سیستم حفاری ضربه‌ای در جبهه کار تونل، رابطه بین کارتخریب و نرخ نفوذ را به صورت شکل (۷۴-۲)، بیان کردند (Thuro and Spaun, 1996).

^۱ Destruction Work

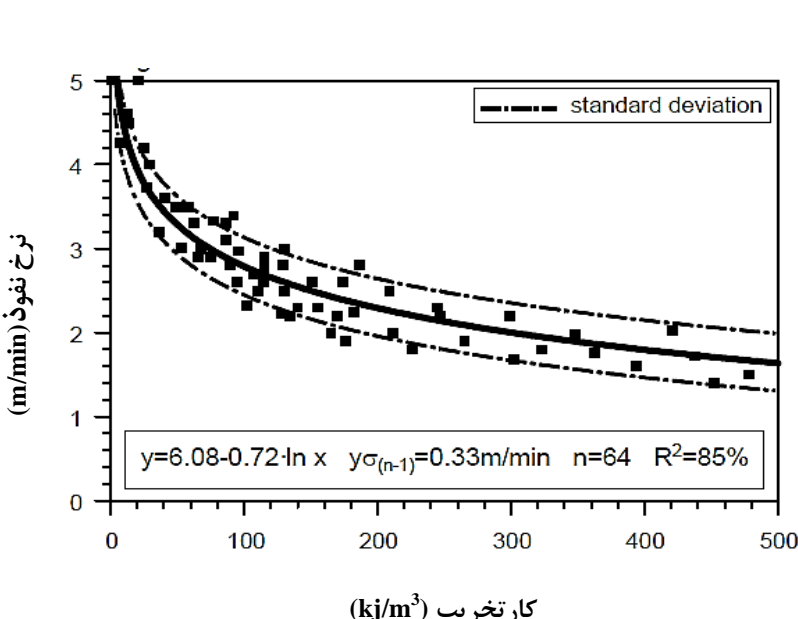
فصل دوم

عوامل مؤثر بر قابلیت حاره‌ی توده سنگ



شکل ۷۴-۲- رابطه بین نرخ نفوذ و کار تخریب در ۲۳ نمونه سنگ در جبهه کار تونل (Thuro and Spaun, 1996)

همچنین این محققین با انجام ۶۴ آزمایش، ارتباط بین نرخ نفوذ و کار تخریب را به صورت شکل (۷۵-۲)، بیان کردند. همانطور که در این اشکال مشاهده می‌شود، بین کار تخریب و نرخ نفوذ رابطه خوبی وجود دارد و با افزایش مقدار کار تخریب، نرخ نفوذ کاهش می‌یابد. از این بررسی‌ها می‌توان این نتیجه‌گیری را کرد که، یکی از پارامترهای مؤثر بر نرخ نفوذ کار تخریب می‌باشد (Thuro and Spaun, 1996).



شکل ۷۵-۲- ارتباط بین کار تخریب و نرخ نفوذ (Thuro and Spaun, 1996)

فصل دوم

عوامل موثر بر قابلیت حفاری توده سنگ

در نهایت نتیجه گرفته می‌شود که، با استفاده از نمودارهای مختلف و پارامترهایی مانند: قطر متنه حفاری، سرعت چرخش متنه، بار پشت متنه، مقاومت فشاری تک محوره، مقاومت کششی، ضربه بافت و ... می‌توان نرخ نفوذ را پیش‌بینی کرده و یا بالعکس، با داشتن نرخ نفوذ، ویژگی‌های مختلف سنگ را پیش‌بینی کرد. البته جهت توسعه در این زمینه باید، آزمایشات و کار وسیع‌تری انجام شود (Kahraman, 2000).

۲.۳.۲ توده سنگ

مشخصات مختلف توده سنگ و ساختار آن نقش بسیار مهمی در فرآیند حفاری دارند. اگر چه پارامترهای مکانیکی سنگ نقش مهمی را ایفا می‌کنند، اما تأثیر پارامترهای زمین‌شناسی در بیشتر پروژه‌ها، به طور کامل در نظر گرفته نمی‌شوند. در برخی موارد، تأثیر پارامترهای زمین‌شناسی بر شکستگی سنگ، می‌تواند مهم‌تر از ویژگی‌های دیگر سنگ باشد (Thuro et al., 2002).

از این رو بهتر است، مشخصات زمین‌شناسی و سنگ‌شناسی توده سنگ، به اندازه سایر پارامترهای ژئوتکنیکی مورد بررسی قرار گیرند. تحقیقات انجام گرفته در زمینه تأثیر پارامترهای توده سنگ بر نرخ نفوذ، نسبت به پارامترهای مؤثر ماده سنگ، محدود می‌باشد. در ادامه به تعدادی از تحقیقاتی که در این زمینه انجام شده، اشاره می‌شود.

اودسون در سال ۱۹۷۹، رابطه بین نرخ نفوذ، شاخص کیفی توده سنگ، درجه آلتراسیون و جنس سنگ در سنگ‌های آذرین را مورد بررسی قرار داد. او به این نتیجه رسید که مقایسه RQD، با نرخ نفوذ مناسب نیست. چرا که مقادیر پایین RQD، در سنگ‌های بسیار شکاف‌پذیر و گسسته موجب نرخ‌های نفوذ بالایی می‌شود (Oddsson, 1979).

فصل دوم

عوامل مؤثر بر قابلیت حantarی توده سنگ

ویلبور و لیمن^۱ در سال ۱۹۸۲، در روش طبقه‌بندی‌شان، به ساختار توده‌سنگ اشاره کیفی کرده‌اند. در این روش از عبارات توده‌ای، ورقه‌ای، رگه‌ای و بلوكی برای توصیف توده‌سنگ‌ها استفاده شده است. با توجه به اینکه ممکن است افراد مختلف با توجه به شرایط پیچیده توده‌سنگ، تعریف‌های متفاوتی از آن داشته باشند، لذا طبقه‌بندی کیفی در برخی موارد کاربر را دچار سردرگمی می‌کند (حسینی و همکاران، ۱۳۸۵).

جیمینو^۲ و همکارانش در سال ۱۹۹۵، بیان کردند که، ویژگی‌های ساختاری توده‌سنگ، مانند: شیستوزیته، ضخامت لایه‌بندی، شیب و امتداد درزه‌ها و گسل‌ها، بر روی جهت‌داری و پایداری دیواره‌های چال و عملکرد حفاری، تأثیرگذارند (Jimeno et al, 1995).

تورو در سال ۱۹۹۷، علاوه بر بررسی پارامترهای مکانیکی سنگ، به تعیین ارتباط میان پارامترهای زمین‌شناسی مانند: فاصله‌داری و جهت‌داری ناپیوستگی‌ها با نرخ نفوذ پرداخت. او بیان کرد که، اگر فاصله‌داری درزه‌ها بیش از ابعاد چال باشد، تأثیر آن نامشخص خواهد بود. در مورد جهت‌داری ناپیوستگی‌ها نیز به این نتیجه رسید که، اگر جهت نفوذ عمود بر جهت برگ‌وارگی باشد، نرخ نفوذ افزایش و بالعکس، اگر موازی با جهت برگ‌وارگی باشد، نرخ نفوذ حداقل مقدار خود را خواهد داشت (Thuro, 1997).

سینگ^۳ و همکارانش در سال ۱۹۹۸، در بررسی عوامل دخیل در میزان انحراف چال‌های آتشکاری، عملکرد پارامترهای مختلفی از توده‌سنگ از جمله مقاومت سنگ، ناهمسانگردنی، لایه‌بندی و مشخصات درزه‌ها به ویژه شیب‌داری درزه‌ها را مورد تأکید قرار داده‌اند (حسینی و همکاران، ۱۳۸۵). تورو و همکارانش در سال ۲۰۰۲، به منظور کمی کردن پارامتر هوازدگی و بررسی ارتباط آن با نرخ نفوذ، تحقیقاتی را در دو تونل طولی ۳/۳ کیلومتری بزرگراه، در آلمان شرقی در سنگ گرانیت به

^۱ Wilbur & Lyman

^۲ Jimeno

^۳ Singh

فصل دوم

عوامل موثر بر قابلیت حavarی توده سنگ

شدت هوازده انجام دادند. آن‌ها مراحل مختلف هوازدگی را در ۶ مرحله، طبقه‌بندی کرده و به این نتیجه رسیدند که، با افزایش درجه هوازدگی نرخ نفوذ کاهش و میزان مصرف مواد منجره افزایش می‌یابد (Thuro et al, 2002).

آکون و کارپوز در سال ۲۰۰۵، با بررسی تأثیر پارامترهای مختلف بر نرخ نفوذ، یکی از پارامترهای مؤثر بر نرخ نفوذ را، شاخص کیفیت سنگ معرفی نمودند. آن‌ها به این نتیجه رسیدند که، درصد شاخص کیفیت سنگ و نرخ نفوذ رابطه خطی مستقیم دارند (Akun & Karpuz, 2005).

حسینی و همکارانش در سال ۲۰۰۸، در راستای ارئه یک سیستم رده‌بندی به منظور تعیین قابلیت حفاری، به بررسی کمی تأثیرات درزه‌ها بر راندمان چالزنی در سیستم حفاری دورانی، بر روی مدل‌های فیزیکی پرداختند. آن‌ها با شبیه‌سازی فاصله‌داری، شیب و پرشدگی درزه‌ها با استفاده از بلوک‌های بتونی در آزمایشگاه، به نتایج زیر رسیدند (Hoseinie et al, 2008):

- با افزایش فاصله‌داری درزه‌ها، نرخ نفوذ به صورت لگاریتمی افزایش یافته و به همین نسبت، موجب افزایش بازدهی عملیات حفاری می‌شود.

- با افزایش ابعاد مواد پرکننده درزه‌ها، نرخ نفوذ به صورت لگاریتمی افزایش می‌یابد. شرایط بحرانی، زمانی اتفاق می‌افتد که، اندازه ذرات پرکننده به اندازه ذرات فلاشینگ شود.

- با افزایش زاویه بین امتداد چال و سطح درزه، نرخ نفوذ به صورت خطی افزایش می‌یابد.

با توجه به جدول (۲-۲) و تحقیقات صورت گرفته که در بالا به آن‌ها اشاره شد، می‌توان عوامل مختلفی از توده‌سنگ را که بر نرخ نفوذ تأثیر می‌گذارند، به دو دسته زیر تقسیم کرد:

- پارامترهای هندسی ناپیوستگی‌ها، شامل: فاصله‌داری، شیب، بازشدگی و پرکننده‌ها.

- ساختارهای زمین‌شناسی، شامل: گسل خوردگی، چین خوردگی، آنیزوتربوبی و هوازدگی.

در ادامه به توضیح هر یک از موارد فوق و تأثیر آن‌ها بر نرخ نفوذ پرداخته می‌شود.

فصل دوم

عوامل مؤثر بر قابلیت حفاری توده سنگ

۱.۲.۳.۲ پارامترهای هندسی ناپیوستگی‌ها

الف- تأثیر فاصله‌داری درزه‌ها بر نرخ نفوذ

فاصله‌داری را می‌توان مهم‌ترین ویژگی سیستم درزه‌ها به حساب آورد. قابلیت حفاری و نفوذپذیری توده‌سنگ به فاصله‌داری درزه‌ها بستگی دارد. کاهش فاصله‌داری باعث کاهش پیوستگی محیط حفاری و نیز کاهش راندمان و نرخ نفوذ حفاری می‌گردد. وجود بیش از یک دسته درزه موجب بحرانی شدن وضعیت حفاری می‌شود. بحرانی‌ترین حالت در حفاری زمانی اتفاق می‌افتد که سنگ حالت بلوکی با بلوک‌های دارای حجم کوچک داشته باشد (Hoseinie et al, 2008).

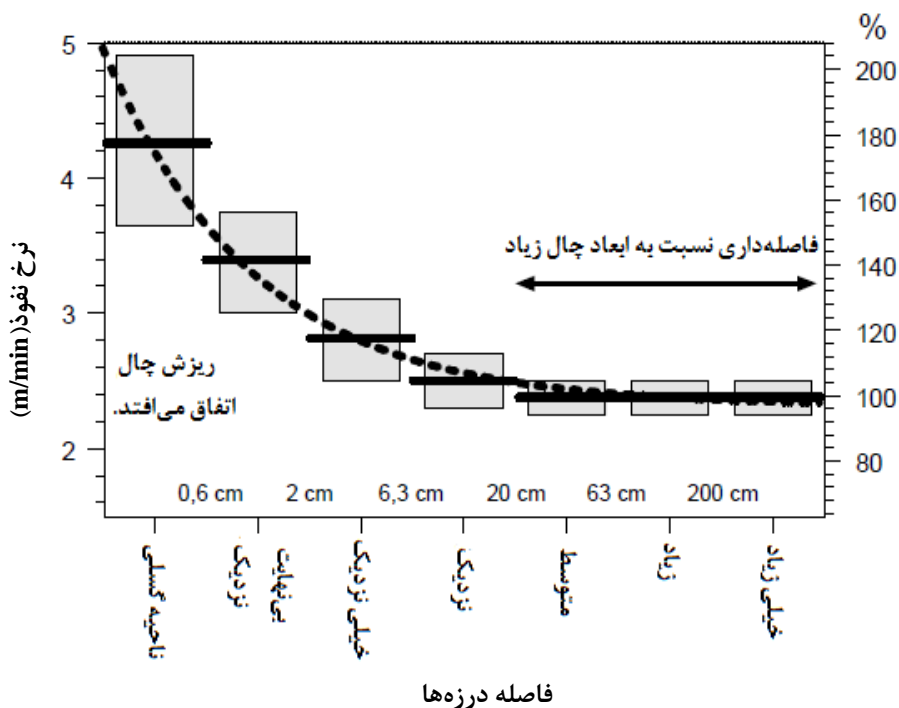
فاصله‌داری ناپیوستگی‌ها عامل مؤثری بر نرخ نفوذ در توده‌سنگ‌ها می‌باشد. ناپیوستگی‌ها صفحات ضعف توده‌سنگ‌ها را تشکیل می‌دهند. فاصله‌داری ناپیوستگی‌ها می‌تواند به صورت تعداد ناپیوستگی در هر متر معرفی شده و پارامتری برای پیش‌شکستگی^۱ سنگ باشد (Thuro, 1997). در شکل (۷۶-۲)، که ارتباط بین فاصله‌داری درزه‌ها با نرخ نفوذ در سنگ آهک را نشان می‌دهد، مشاهده می‌شود که، اگر فاصله‌داری نسبت به ابعاد چال زیاد باشد، تأثیر ناپیوستگی‌ها مشخص نخواهد بود. زمانی که درزه‌ها نزدیکتر می‌شوند، سرعت نفوذ تا دو برابر افزایش می‌یابد، اما مشکلی که در این حالت به وجود می‌آید، عدم تعادل چال است که، باعث فرو ریختن^۲ دیواره چال و گیر کردن وقت‌گیر چال انفجاری می‌شود. به همین جهت کوشش برای نفوذ سریع، به خصوص در مناطق گسلی بی‌نتیجه می‌باشد (Thuro, 1997).

¹ Precracking

² Collapse

فصل دوم

عوامل مؤثر بر قابلیت حفاری توده سنگ



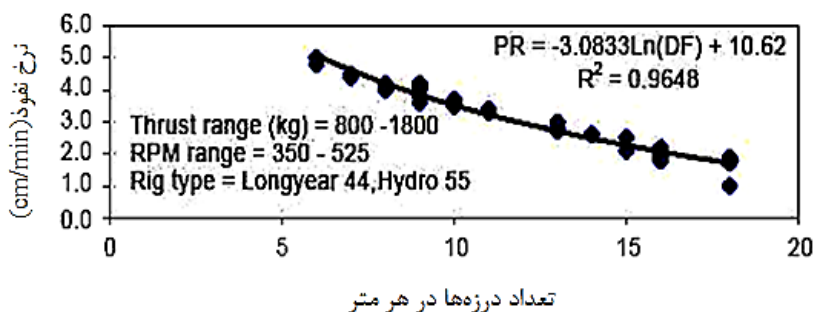
شکل ۷۶-۲- ارتباط بین فاصله‌داری درزه‌ها با نرخ نفوذ در سنگ آهک (Thuro, 1997)

آکون و کارپوز در سال ۲۰۰۵، یکی از پارامترهای مؤثر بر نرخ نفوذ را فراوانی درزه‌ها دانستند.

آن‌ها رابطه بین تعداد درزه‌ها در هر متر و نرخ نفوذ را در ماسه‌سنگ به دست آورده‌اند. با توجه به

نتیجه کار آن‌ها در شکل (۷۷-۲)، مشاهده می‌شود که، که با افزایش تعداد درزه‌ها در هر متر، نرخ

نفوذ کاهش یافته است (Akun & Karpuz, 2005).



شکل ۷۷-۲- رابطه سرعت حفاری با فراوانی درزه‌ها (Akun & Karpuz, 2005)

نتایج حفاری با سیستم حفاری DTH، در مدل‌های فیزیکی حسینی و همکارانش در سال

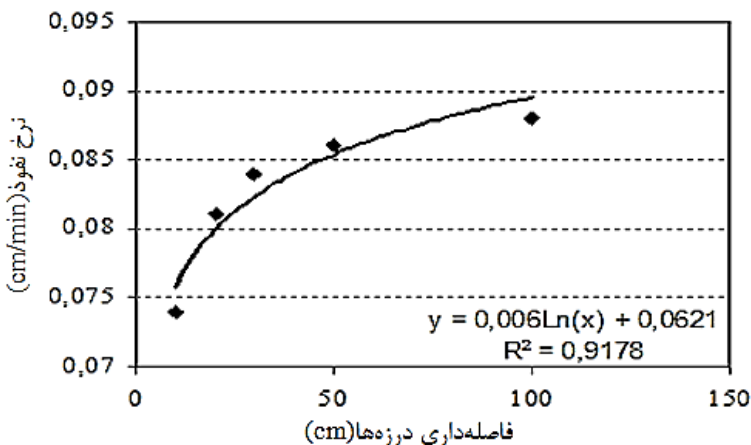
۲۰۰۸، نشان می‌دهد که، کمترین نرخ نفوذ و راندمان سیستم حفاری، مربوط به فاصله‌داری ۱۰

فصل دوم

عوامل مؤثر بر قابلیت حفاری توده سنگ

سانسی متر می باشد. در توده سنگ های با فاصله داری ۱۰-۵۰ سانتی متری نرخ نفوذ سیستم حفاری اختلاف کمی با هم دارند. لذا با توجه به اطلاعات به دست آمده می توان پیش بینی کرد که با افزایش فاصله داری به بیش از یک متر، رفتار توده سنگ به رفتار محیط های پیوسته نزدیک تر می شود (شکل ۷۸-۲).

(Hoseinie et al, 2008) (۷۸-۲)



شکل ۷۸-۲- رابطه سرعت حفاری با فاصله داری در زه ها (Hoseinie et al, 2008)

نتایج مدل سازی فیزیکی، به منظور امتیاز دهی به فاصله داری در زه ها جهت تعیین شاخص قابلیت حفاری^۱، در جدول (۸-۲)، ذکر شده است.

جدول ۸-۲- امتیاز دهی به توده سنگ در رابطه با فاصله داری در زه ها (Hoseinie et al, 2008)

فاصله داری در زه ها (m)	<۰/۱۵	۰/۱۵-۰/۵	۰/۵-۱	۱-۲	>۲
امتیاز	۱	۵	۹	۱۳	۱۸

البته سنگ هایی که دارای تورق و شیستوزیته قانونمند باشند، به علت سهولت حفاری در آنها، امتیاز ۱۲ برای آنها در نظر گرفته می شود.

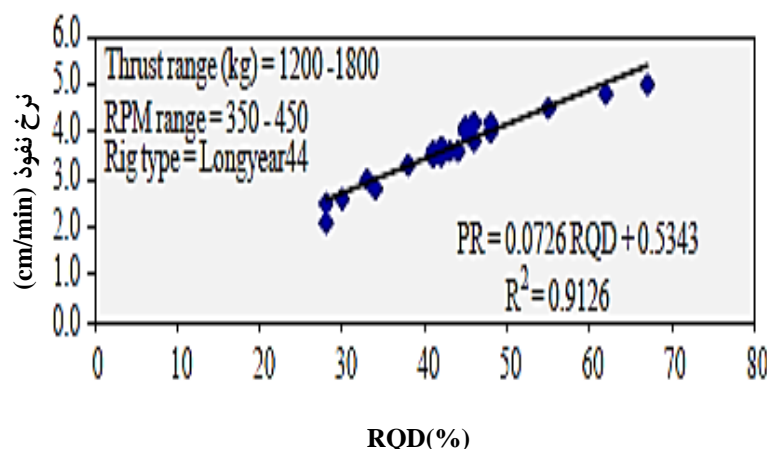
^۱ Rock mass Drillability Index

فصل دوم

عوامل مؤثر بر قابلیت حفاری توده سنگ

همچنین با افزایش شاخص کیفیت سنگ^۱، که به عنوان درصد قطعات مغزه سالم بلندتر از صد میلیمتر، نسبت به طول کل مغزه می‌باشد، انتظار می‌رود، هر چه درصد این شاخص افزایش یابد، نرخ نفوذ نیز افزایش پیدا کند.

همانطور که اشاره شد، آکون و کارپوز در سال ۲۰۰۵، یکی از پارامترهای مؤثر بر نرخ نفوذ را، شاخص کیفیت سنگ معرفی نمودند. آن‌ها به این نتیجه رسیدند که، درصد شاخص کیفیت سنگ و نرخ نفوذ رابطه خطی مستقیم دارند. شاخص کیفیت سنگ و نرخ نفوذ در سنگ‌های توده‌ای و همگن بالا بوده و در حین حفاری در این سنگ‌ها نیاز به تغییرات کمی در پارامترهای عملیاتی خواهیم داشت، بالعکس در سنگ‌های ضعیف که شاخص کیفیت سنگ و نرخ نفوذ در آن‌ها پایین است، کنترل بار پشت مته یک امر ضروری می‌باشد. همانطور که در شکل (۷۹-۲)، مشاهده می‌شود، با افزایش درصد این شاخص در ماسه‌سنگ، نرخ نفوذ نیز افزایش یافته است (Akun & Karpuz, 2005).



شکل ۷۹-۲- ارتباط بین RQD و نرخ نفوذ در ماسه‌سنگ (Akun & Karpuz, 2005)

ب- تأثیر شیب درزه‌ها بر سرعت حفاری

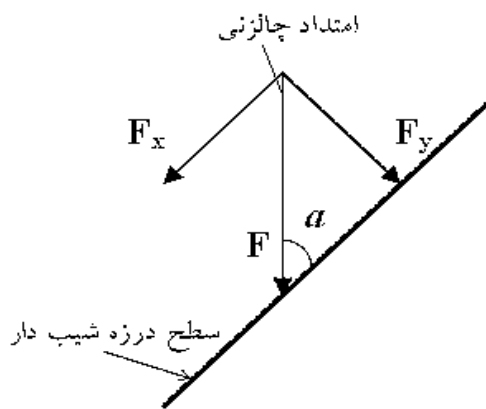
وجود درزه‌های شیب‌دار باعث انحراف چال، کاهش بار پشت مته و در نهایت کاهش نرخ نفوذ سیستم حفاری می‌گردد.

^۱ Rock Quality Designation

فصل دوم

عوامل مؤثر بر قابلیت حاره‌ی توده‌سنگ

چنانچه در شکل (۸۰-۲) نشان داده شده، در سطح درزه‌های شیب‌دار بار پشت مته (F) به صورت تابعی از زاویه (a)^۱ به دو مؤلفه موازی سطح درزه (F_x) و عمود بر سطح درزه (F_y) تجزیه می‌گردد. مؤلفه F_x به عنوان مهم‌ترین دلیل انحراف چال و کاهش بار پشت مته می‌باشد. با کاهش زاویه (a) مقدار $F_x = F \cos(a)$ افزایش یافته و عامل انحراف چال و کاهش نفوذ مته تقویت می‌گردد (حسینی و همکاران، ۱۳۸۵).



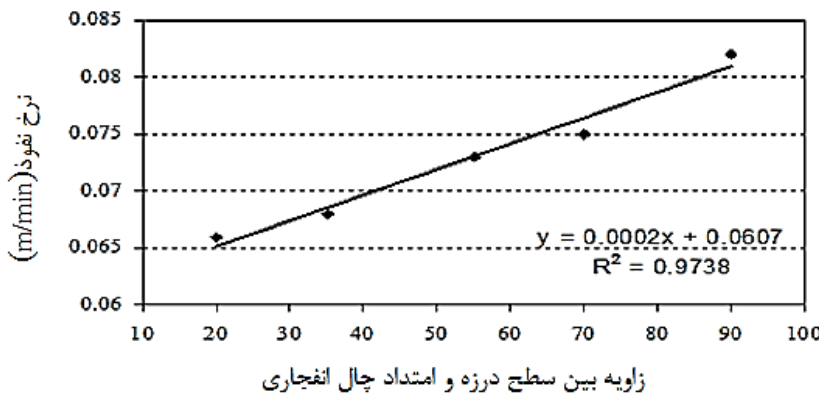
شکل ۲-۸۰-۲-توزیع بار پشت مته در سطح درزه‌های شیب‌دار (حسینی و همکاران، ۱۳۸۵)

از طرفی در درزه‌های باز که دارای پرکننده نیز می‌باشد، تماس چال با درزه‌ها باعث ریزش پرکننده‌ها به چال در حین و بعد از حفاری می‌گردد. این پدیده موجب گیرکردن سرمته در حین حفاری و پرشدگی چال بعد از حفاری می‌شود. نتایج مدلسازی فیزیکی، این نتیجه را بیان می‌کند که، با افزایش زاویه بین سطح درزه و امتداد چال، نرخ نفوذ سیستم حفاری و در نتیجه قابلیت حفاری توده‌سنگ افزایش می‌یابد (شکل ۸۱-۲) (Hoseinie et al, 2008).

^۱ زاویه بین امتداد چالزنی و سطح درزه شیب‌دار

فصل دوم

عوامل موثر بر قابلیت حفاری توده سنگ



شکل ۲-۱۱-۲- رابطه بین سرعت حفاری و شیب درزه‌ها (Hoseinie et al, 2008)

امتیازدهی به زاویه بین سطح درزه و امتداد چال، توسط حسینی و همکارانش، به منظور تعیین

شاخص قابلیت حفاری، در جدول (۹-۲)، ذکر شده است.

جدول ۹-۲- امتیازدهی به توده‌سنگ در رابطه با شیب درزه‌ها (زاویه بین امتداد چال و سطح درزه) (Hoseinie et al, 2008)

شیب‌داری درزه‌ها (درجه)	امتیاز
-۲۰	۱
۲۰-۳۵	۳
۳۵-۵۵	۶
۵۵-۷۰	۸
۷۰-۹۰	۱۲

پ- تأثیر دهانه و پرکننده درزه‌ها بر سرعت حفاری

دهانه بازشدنگی و اندازه ذرات پرکننده در فضای درزه‌های باز، از پارامترهایی هستند که، نرخ

نفوذ را در سیستم حفاری به شدت تحت تأثیر قرار می‌دهند.

درزه‌ها و ترک جوش خورده تأثیر چندانی بر کاهش نرخ نفوذ سیستم ندارند. وجود درزه‌های باز

به علت تسهیل فرار هوای فلاشینگ و کاهش خروج خردنهای حفاری، باعث کاهش نرخ نفوذ و گاه

قفل شدنگی سیستم حفاری می‌گردد. وجود مواد پرکننده در فضای درزه‌های باز باعث کاهش شدید

نرخ نفوذ سیستم حفاری می‌گردد. نتایج مطالعات تجربی نشان می‌دهد که در توده‌سنگ‌های با

پرکننده با ابعاد کوچکتر، مشکلات حفاری افزایش پیدا می‌کند. با کاهش ابعاد پرکننده تا حد ذرات

فلاشینگ، ذرات به جای خرد شدن، تحت فشار هوای فلاشینگ تنها در فضای بین سرتمه و سنگ

فصل دوم

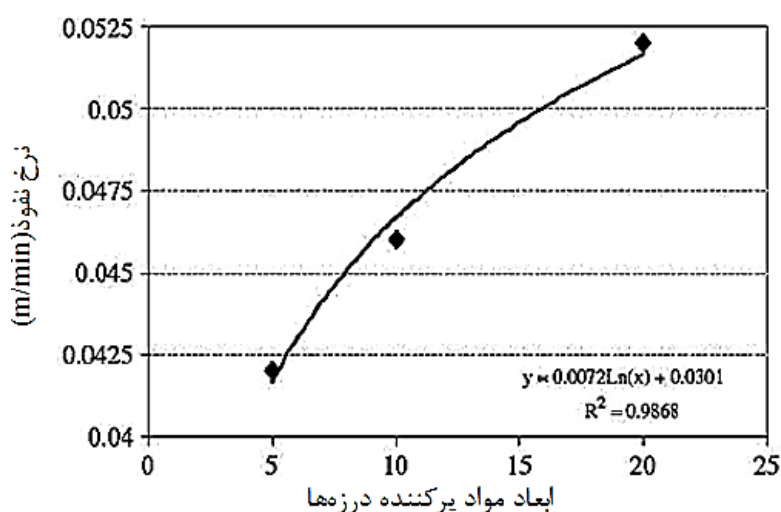
عوامل موثر بر قابلیت حفاری توده سنگ

حرکت می‌کنند. باقی ماندن ذرات در فضای بین سرمهته و سنگ باعث اتلاف انرژی و کاهش نرخ نفوذ

می‌گردد (Hoseinie et al, 2008)

در شکل (۲۰-۲)، رابطه بین نرخ نفوذ و ابعاد مواد پرکننده درزه‌ها با استفاده از مدل‌سازی

فیزیکی، که توسط حسینی و همکارانش ارائه شده است، مشاهده می‌شود.



شکل ۲-۲-۸- رابطه بین سرعت حفاری و ابعاد پرکننده درزه‌ها (Hoseinie et al, 2008)

در جدول (۱۰-۲)، نتایج امتیازدهی به این پارامتر به منظور ارائه شاخص قابلیت حفاری، ذکر شده است.

جدول ۱۰-۲- امتیازدهی به توده‌سنگ در رابطه با پرکننده درزه‌ها (زاویه بین امتداد چال و سطح درزه) (al, 2008

پرکننده درزه‌ها (mm)	درزه بسته	>۲۰	۱۲-۲۰	۹-۱۲	۲-۹
امتیاز	۱۵	۱۰	۷	۴	۱

قابل ذکر است که، برای درزه‌های پرشده با مواد خاکی و پودرهای بسیار ریز سنگی استثنائی امتیاز ۷ برای پرکننده‌ها منظور می‌شود.

فصل دوم

عوامل مؤثر بر قابلیت حفاری توده سنگ

۲.۲.۳.۲ پارامترهای زمین‌شناسی

الف- تأثیر گسل خوردگی بر سرعت حفاری

گسل در امر حفاری ممکن است در مقیاس کوچک (چالزنی) و یا در مقیاس بزرگ (ایجاد تونل)، موجب تغییر ناگهانی سنگ‌ها شود و پیشروی عملیات با مشکل مواجه گردد. به همین دلیل قبل از عملیات حفاری، تشخیص گسل و نوع آن ضروری است. سطوح گسل زده بسیار ضعیف و مثل خاک عمل می‌نمایند و برای حفاری در آنها نیاز به بار پشت مته زیاد نیست. بالعکس دور مته در دقیقه را می‌توان افزایش داد، در این شرایط ماشین حفاری چرخشی برای حفاری در اولویت قرار دارد. هر چه از این زون فاصله گرفته شود، مواد سخت تر می‌شوند (اصانلو، ۱۳۸۲).

ب- چین خوردگی

تأثیر چین خوردگی برای مهندسین چه در مقیاس کوچک و چه در مقیاس بزرگ مانند حفاری معدنی و ایجاد تونل بالاخص در دو حالت تاقدیس و ناودیس از اهمیت ویژه‌ای برخوردار می‌باشد. به طور کلی محدوده تاقدیس جزء نواحی کم مقاومت یا ضعیف محسوب می‌گردد، این امر به دلیل کشیدگی لایه‌های بالائی است که تا حدی ناشی از فشاری است که لایه‌های پایینی بدان وارد می‌آورند و لذا در قسمت‌های بالا دارای شکاف‌های باز و فروریختگی می‌باشند، که جهت حفاری نامناسب می‌باشند. در نواحی ناودیس، لایه‌ها تمایل به لغزش و سرخوردن به روی یکدیگر دارند و اغلب در این نواحی قطعات خردشده لایه‌های بالائی مشاهده می‌شوند که در مجموع عملیات حفاری به آسانی انجام نمی‌گیرد (اصانلو، ۱۳۸۲).

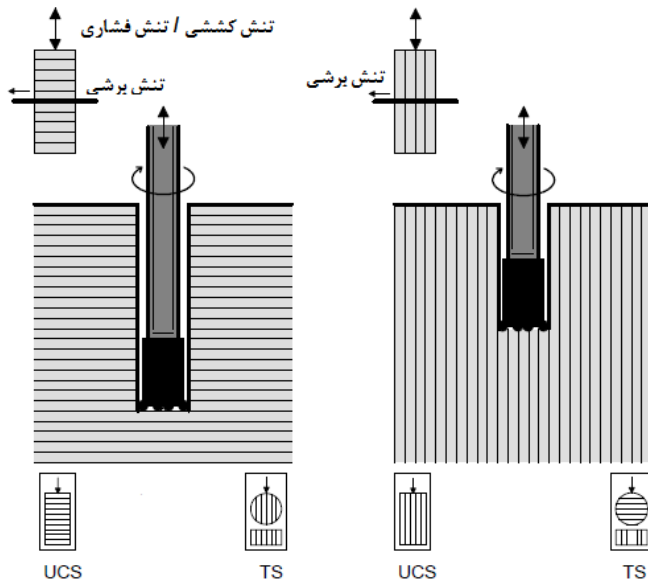
پ- جهت‌داری

مشخصات سنگ و در نتیجه نرخ نفوذ وابستگی زیادی به جهت‌یافتگی سطوح ضعف دارند. به عنوان مثال، هنگامی که جهت نفوذ عمود بر جهت‌یافتگی برگوارگی باشد، سنگ مورد نظر در زوایای عمود تحت فشار قرار گرفته و در جهت موازی با برگوارگی، تحت برش قرار دارد و قابلیت حفاری در

فصل دوم

عوامل مؤثر بر قابلیت حفاری توده‌گزک

این حالت افزایش می‌یابد. در مقابل، اگر جهت نفوذ موازی با برگوارگی باشد، فشار نیز موازی با برگوارگی است، اما تنש برشی در جهت عمود بر آن قرار دارد. واضح است که به دلیل بالاتر بودن مقاومت در حالت عمود بودن تنش برشی بر برگوارگی، ترک‌های کمتری می‌توانند توسعه یابند و در این حالت حداقل پیشروی چالزنی را موجب خواهد شد (شکل ۸۳-۲) (Thuro, 1997).

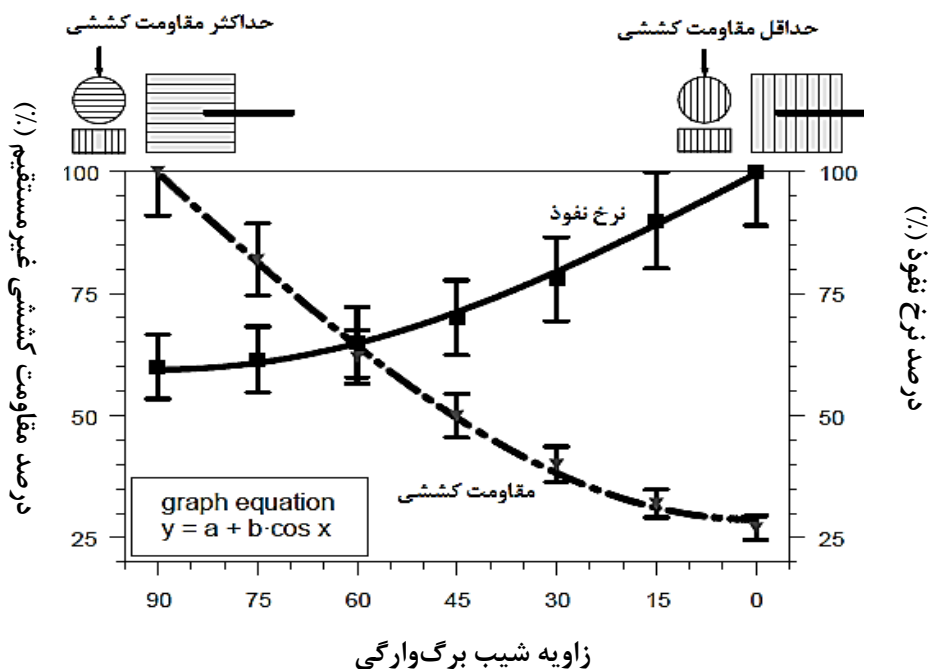


شکل ۸۳-۲- عملیات چالزنی با توجه به جهت‌داری متفاوت برگوارگی (Thuro, 1997)

همانطور که در شکل (۸۴-۲)، مشاهده می‌شود، هر چه مقدار شیب برگوارگی بیشتر باشد، قابلیت حفاری کمتر خواهد بود، زیرا در این حالت مقاومت کششی حداکثر می‌باشد. در مقابل هر چه زاویه شیب برگوارگی به سمت صفر میل کند، قابلیت حفاری نیز افزایش خواهد یافت، زیرا مقاومت کششی کاهش می‌یابد.

فصل دوم

عوامل مؤثر بر قابلیت حاره‌ی توده سنگ



شکل ۸-۲- ارتباط بین نرخ نفوذ، مقاومت کششی و زاویه شیب برگ وارگی (Thuro, 1997)

ت- هوازدگی

درجه هوازدگی سنگ، مفهومی کیفی می‌باشد، که بهتر است برای نشان دادن مقدار آن از سایر خواص سنگ استفاده کرد. با افزایش درجه هوازدگی، غیر از تغییراتی که در کانی‌شناسی سنگ رخ می‌دهد، به دلیل سست شدن بافت، مقدار تخلخل به طور قابل توجهی افزایش یافته و همزمان با آن چگالی خشک ماده‌سنگ کاهش می‌یابد. به عبارت دیگر تأثیر هوازدگی و دگرسانی به این صورت است که موجب کاهش چگالی و افزایش تخلخل می‌شود. همچنین با افزایش درجه هوازدگی، مقدار مقاومت فشاری تکمحوره کاهش و نرخ نفوذ افزایش می‌یابد. در ادامه، به کمی‌سازی پارامتر هوازدگی که توسط تورو و همکارانش در سال ۲۰۰۲، در دو تونل طویل $\frac{3}{3}$ کیلومتری بزرگراه در آلمان شرقی در سنگ گرانیت به شدت هوازده صورت گرفته است، اشاره خواهد شد. آن‌ها مراحل مختلف هوازدگی را در ۶ مرحله بر اساس روش‌های پیشنهادی ISRM و IAEG، طبقه‌بندی کردند که به شرح زیر می‌باشد (Thuro et al, 2002):

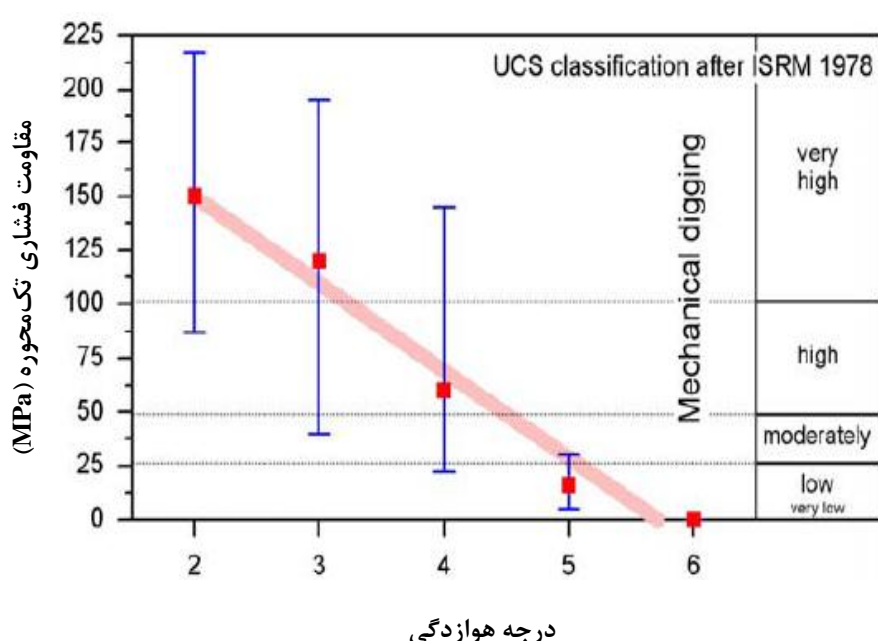
فصل دوم

عوامل مؤثر بر قابلیت حاره‌ی توده‌سنگ

گرانیت تازه (بدون هوازدگی)، گرانیت کمی هوازده، گرانیت هوازده، ناحیه شسته شده، ناحیه از هم پاشیده شده، ماسه و یا سیلت/رس.

با روی دادن هوازدگی، ویژگی‌های فیزیکی سنگ نیز بطور مشابه تغییر می‌کند. در اشکال زیر، با افزایش درجه کلاس‌ها، درجه هوازدگی نیز افزایش یافته است.

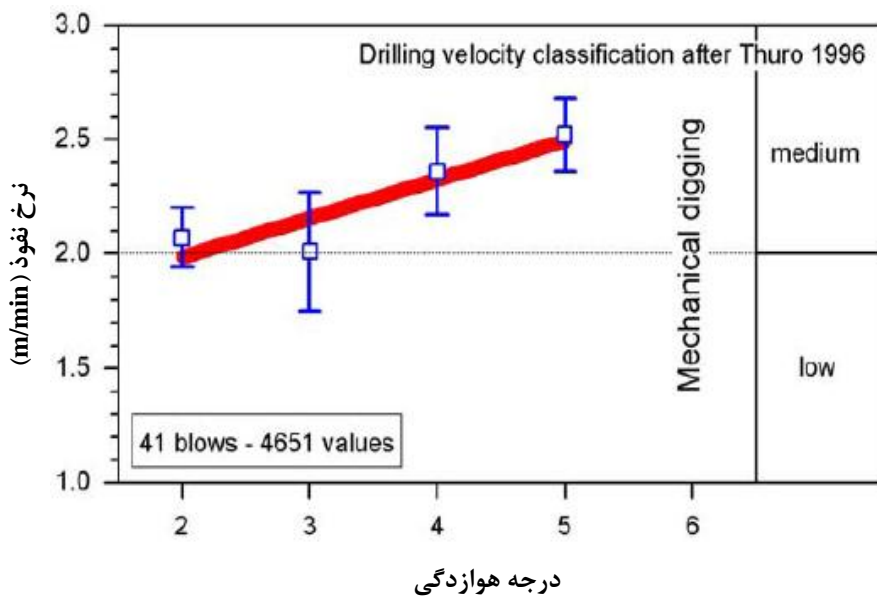
شکل (۲-۸۵)، ارتباط بین مقاومت فشاری تکمحوره را به ازای درجات مختلف هوازدگی نشان می‌دهد. منحنی‌های حاصل برای کمی سازی مراحل هوازدگی رضایت بخش نیستند.



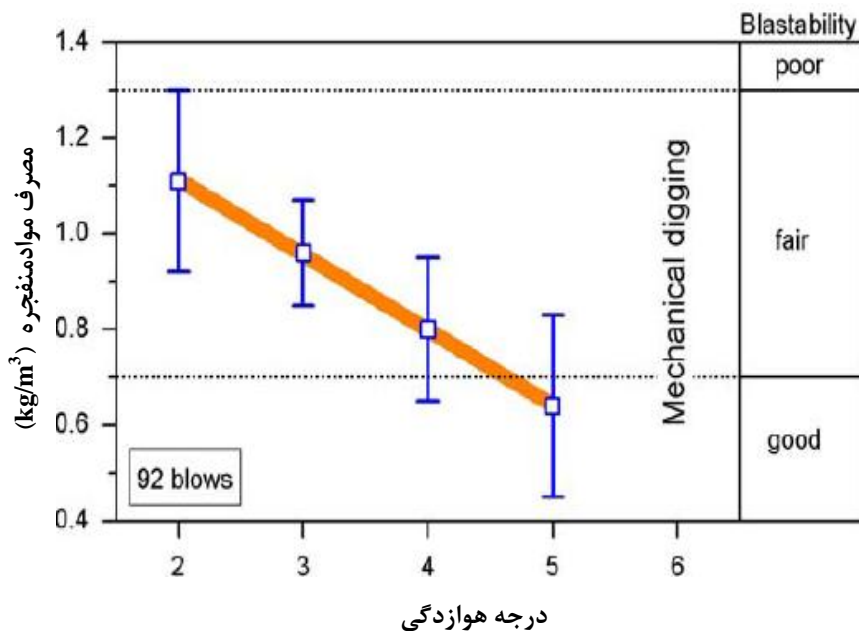
شکل ۲-۸۵-۲- ارتباط بین مقاومت فشاری تکمحوره و درجه هوازدگی گرانیت (زیاد، متوسط، کم) (Thuro et al, 2002) با وجود طبقه‌بندی هوازدگی توده‌سنگ، ارتباط ضعیفی بین این دو پارامتر وجود داشته و نشان می‌دهد که انحراف معیار بین مقادیر زیاد بوده است. این محدوده وسیع انحراف مقادیر، در پارامترهای فنی نیز دیده می‌شود (اشکال ۲-۸۶ و ۲-۸۷).

فصل دوم

عوامل مؤثر بر قابلیت حفاری توده سنگ

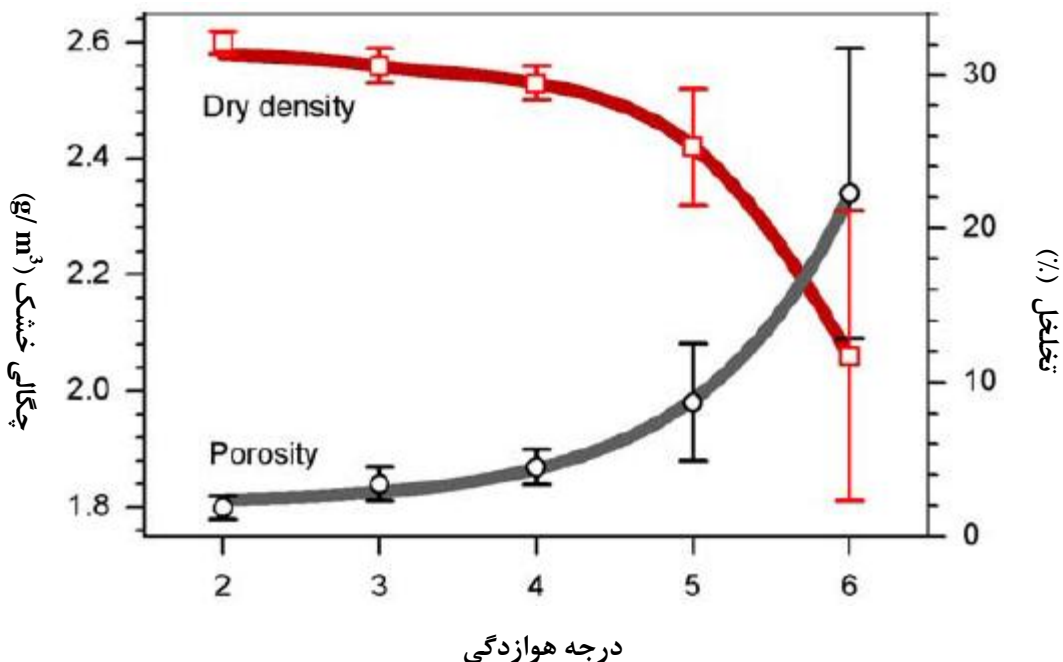


شکل ۲-۸۶- رابطه بین نرخ نفوذ و درجه هوازدگی گرانیت در چال‌های انفجاری (Thuro et al, 2002)



شکل ۲-۸۷- رابطه بین مقدار مصرف مواد منفجره و درجه هوازدگی در گرانیت (Thuro et al, 2002)

در اثر هوازدگی گرانیت و تجزیه آن به خاک رسی/اسیلتی، بواسطه لق شدگی ذرات ریز، تخلخل بطور قابل ملاحظه‌ای افزایش یافته و چگالی خشک سنگ کاهش می‌یابد (شکل ۲-۸۸).

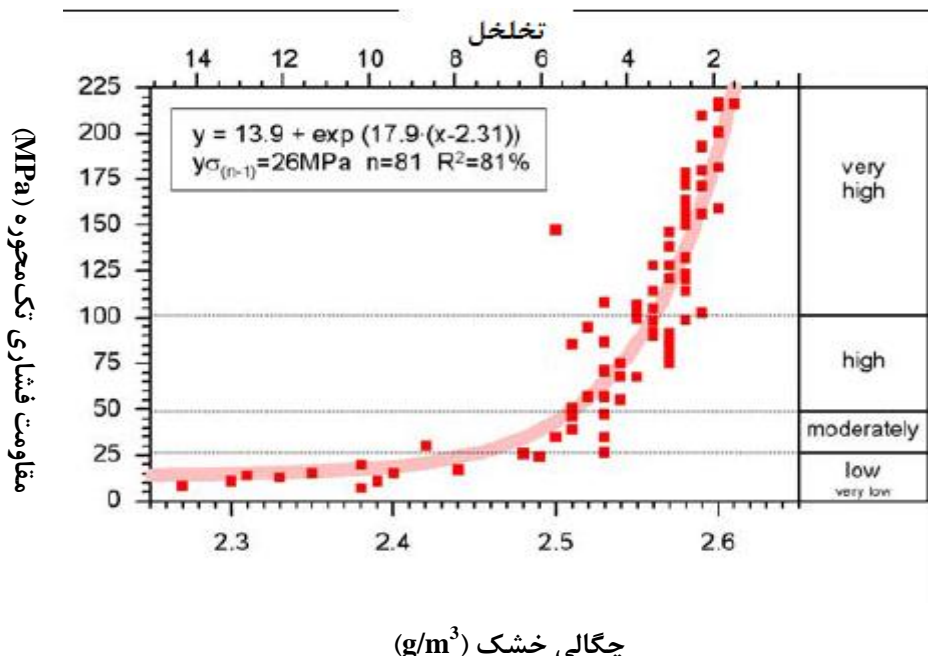


شکل ۲-۸۸- ارتباط بین درجه هوازدگی با چگالی خشک و تخلخل (Thuro et al, 2002)

به زبان ساده، هوازدگی و آلتراسیون گرانیت، با افزایش تخلخل و کاهش چگالی خشک همراه است. چگالی خشک یا تخلخل می‌توانند پارامترهای کلیدی ارتباط بین ویژگی‌های سنگ و اجرای حفاری باشند. با استفاده از چگالی خشک یا تخلخل، بجای فاکتور کلی‌تر درجه هوازدگی، به منظور ارتباط دادن درجه هوازدگی با مقاومت فشاری تکمحوره، رابطه خوبی در شکل (۲-۸۹)، مشاهده می‌شود. برای این منحنی نتایج تست‌های نمونه استوانه‌ای و بار نقطه‌ای در نظر گرفته شده است. مقیاس تخلخل در بالای منحنی به ازای چگالی خشک متوسط گرانیت تازه، $265\text{ گرم بر سانتیمتر مکعب} (\text{هوازدگی} = 0\%)$ ، نشان داده شده است (Thuro et al, 2002).

فصل دوم

عوامل مؤثر بر قابلیت حاره‌ی توده‌گز

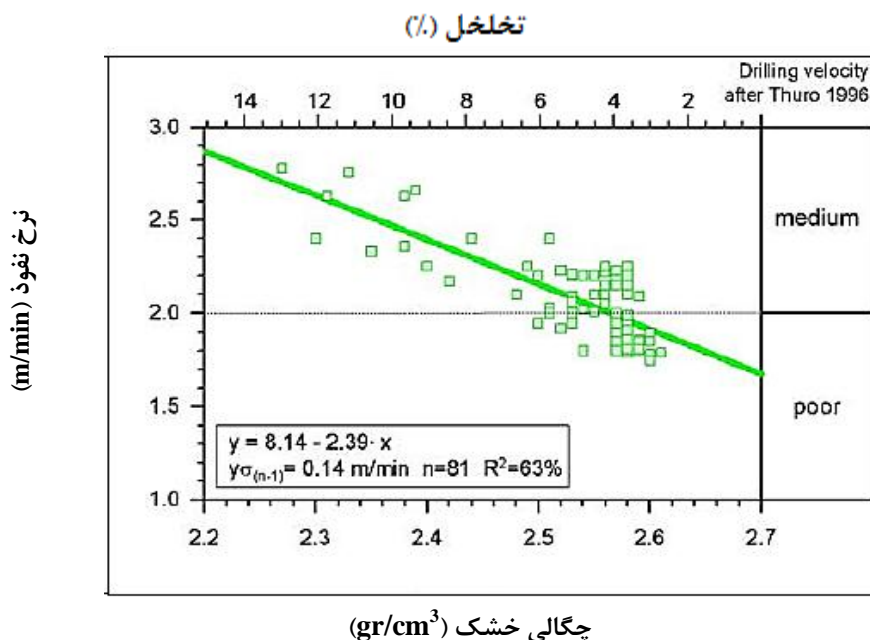


شکل ۸۹-۲- رابطه مقاومت فشاری تکمحوره در مقابل چگالی خشک و تخلخل (Thuro et al, 2002)

با ایجاد ارتباط بین درجه هوازدگی، چگالی خشک و مقاومت ماده، نرخ حفاری بطور مستقیم با تخلخل ارتباط پیدا می‌کند (شکل ۹۰-۲). منحنی فیت خوبی بر داده‌ها داشته و لذا یک کمی‌سازی صحیح از درجه هوازدگی با استفاده از تخلخل به عنوان یک پارامتر کلیدی با توجه به سرعت حفاری ایجاد شده است (Thuro et al, 2002).

فصل دوم

عوامل مؤثر بر قابلیت حفاری توده سنگ



شکل ۲-۹۰-۲- نرخ حفاری در مقابل چگالی خشک و تخلخل (Thuro et al, 2002)

۴.۲ عوامل خدماتی و عملیاتی

همانطور که قبل اشاره شد، عوامل خدماتی و پشتیبانی، می‌تواند شامل: مدیریت مناسب عملیات، استفاده صحیح و نگهداری مستمر تجهیزات و ابزارها، نیروی کارگری و نظارت، تأمین انرژی، محل کار، آب و هوا و مواردی از این قبیل باشد.

این عوامل مستقل، به میزان زیادی خارجی بوده و تا حدودی بر عملکرد حفاری تأثیر می-گذارند. بیشتر فعالیت‌های خدماتی و پشتیبانی، باید به نحوی برنامه‌ریزی شوند که، قبل یا بعد از چرخه تولید، ارائه شده و با فعالیت‌های تولیدی تداخلی نداشته باشند. البته برخی از این فعالیت‌ها که انجام آن‌ها، از جنبه ایمنی و بهداشت یا بازدهی عملیات ضرورت داشته باشند، باید به نحوی انجام گیرند که، جزء بخشی از چرخه تولید باشند. به هر حال، هر عملیاتی که انجام آن در معدن ضروری باشد، باید به طور منظم برنامه‌ریزی شود. به عنوان مثال برای انتخاب دستگاه حفاری، تعیین و مشخص کردن شرایطی که دستگاه در آن، مورد استفاده قرار می‌گیرد، مانند: نیروی کار، محل مورد نظر، آب و هوا و ... همراه با ملاحظات ایمنی، ضروری به نظر می‌رسد (یاوری، ۱۳۸۱).

فصل دوم

عوامل مؤثر بر قابلیت حفاری توده‌گزک

همچنین از آنجایی که پارامترهای وابسته به ماشین حفار تأثیر بسزائی در تعیین قابلیت حفاری دارند، بهتر است که دستگاه‌های حفاری، در زمان‌های مقرر سرویس‌های دوره‌ای شوند و چنانچه لازم باشد، تعمیرات پیشگیرانه برای آن‌ها انجام شود. این امر موجب افزایش کارایی دستگاه حفاری شده و باعث افزایش قابلیت حفاری خواهد شد.

به منظور کنترل مؤثر عملیات و مدیریت موفق در تمام زمینه‌ها، مدیر معدن نیز، باید از آموزش‌های کافی در حد بالا، تجربه، دید وسیع و توانایی‌های رهبری لازم برخوردار باشد (ترابی، ۱۳۷۲).

شرکت اینگرسول-رند نیز، از عوامل غیر وابسته به چالزنی که سرعت کل چالزنی را تحت تأثیر قرار می‌دهند، به موارد زیر اشاره کرده است (یاوری، ۱۳۸۳) :

- زمان تنظیم و استقرار بازوی حفار: زمان مورد نیاز برای قرارگیری محور بازوی دستگاه حفاری در بالای چال بعدی می‌باشد. البته در حفاری مایل، این زمان، زمان تنظیم زاویه انحراف مورد نیاز بازو را نیز شامل می‌شود.

- زمان تغییر میله متنه: زمانی است که، به منظور اضافه کردن میله متنهای، پس از توقف نفوذ دستگاه حفاری یا برای جدا کردن میله متنهای پس از رسیدن به عمق مورد نیاز چال صرف می‌شود.
- زمان جابه‌جایی: فاصله زمانی بین وقتی است که، پس از بیرون آوردن میله متنهای، آخرین میله بر روی هادی دستگاه قرار گرفته تا زمانی که دستگاه حفار بر روی موقعیت بعدی خود مستقر می‌شود.

- زمان بیکاری: شامل زمان‌هایی است که، دستگاه حفار در طول یک دوره چالزنی، به دلایلی مانند سوختگیری یا مشکلات مکانیکی کار نمی‌کند.

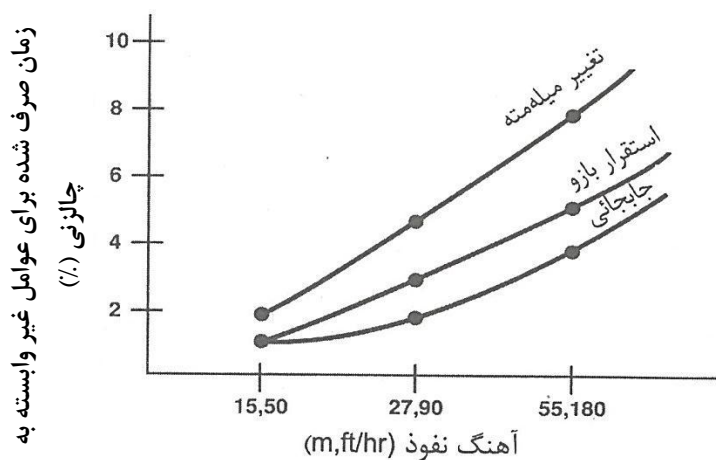
کلیه موارد اشاره شده، اثرات مختلفی بر سرعت نهایی چالزنی دارند. هرچه آهنگ نفوذ افزایش یابد، عوامل غیر وابسته به چالزنی نظیر زمان‌های اشاره شده، از اهمیت بیشتری برخوردار می‌شوند.

فصل دوم

عوامل مؤثر بر قابلیت حفاری توده سنگ

به عنوان مثال در حفاری سنگ گرانیت، با عمق چال ۱۴/۶ متر و قطر ۷۶ میلی‌متر، مقدار تأثیر این عوامل بر نرخ نفوذ در سرعت ۲۷ متر برساعت، ۲۰ درصد و در سرعت ۵۵ متر برساعت، ۲۸ درصد بوده است.

در شکل (۹۱-۲)، تأثیر عوامل غیر وابسته به چالزنی، بر سرعت کل چالزنی مشاهده می‌شود.



شکل ۹۱-۲- تأثیر عوامل غیر وابسته به چالزنی بر سرعت کل چالزنی (یاوری، ۱۳۸۳)

همانطور که در این شکل مشاهده می‌شود، با افزایش آهنگ نفوذ، درصد تأثیر این عوامل نیز افزایش یافته است.

با توجه به مطالب فوق، به نظر می‌رسد یکی از مواردی که باید در حفاری مد نظر قرار گیرد، آموزش متصلی دستگاه حفار به منظور کمینه‌سازی این زمان‌ها و در نهایت بیشینه‌سازی توان تولید می‌باشد.

۵.۲ نتیجه‌گیری

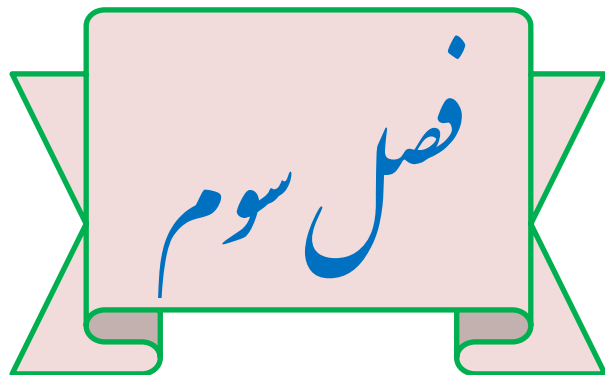
با این که هیچ کدام از عوامل زمین‌شناسی، تجربه، طراحی دستگاه، مهارت عملیاتی و آزمایش‌های آزمایشگاهی، به تنها‌ی روشهای تعیین قابلیت حفاری، توسط یک فرمول واضح، قابل ارائه نمی‌باشند و در مراحل اولیه می‌توان توسط جداول و روابط به دست آمده برای خواص پتروگرافی و

فصل دوم

عوامل موثر بر قابلیت حفاری توده سنگ

مکانیکی سنگ، نرخ نفوذ و فرسایش سرمته را برای سنگ‌های آزمایش شده با روندی موفقیت‌آمیزی پیش‌بینی کرد. اما علاوه بر خواص سنگ، مشکل عمدۀ، تنوع پدیده‌های زمین‌شناسی است که نمی‌توان آن‌ها را درون اشکال و خواص سنگ قرار داد (Thuro & Plinninger, 2003).

همچنین با توجه به مطالب بیان شده می‌توان گفت، مشخصات مختلفی از دستگاه حفار، ماده‌سنگ و توده‌سنگ بر قابلیت حفاری مؤثرند. برخی از این عوامل قابل کنترل و برخی نیز غیر قابل کنترل می‌باشند. هر کدام از این مشخصات به نسبت متفاوتی در قابلیت حفاری مؤثرند. بنابراین باید به دنبال سیستم رده‌بندی بود که، به طور مناسبی به اهمیت هر یک از پارامترهای فوق پرداخته باشد. یکی از سیستم‌های رده‌بندی که در زمینه قابلیت حفاری ارائه شده و در این فصل به امتیازبندی پارامترهای مربوط به توده‌سنگ آن اشاره شد، سیستم رده‌بندی RDi می‌باشد. در فصل آینده تعدادی از این سیستم‌های رده‌بندی از جمله، سیستم رده‌بندی RDi به طور مفصل توضیح داده خواهد شد. در نهایت سیستم مناسب انتخاب شده و جهت تعیین قابلیت حفاری دو معدن باگک و دردوی سنگان مورد استفاده قرار می‌گیرد.



سیسمونهای رده بندی ارائه شده در

زیسته قابلیت حزاری

فصل سوم

سیستم‌های رده‌بندی ارائه شده در زمینه قابلیت حفاری

۱.۳ مقدمه

جهت ارزیابی قابلیت حفاری، سیستم‌های رده‌بندی مختلفی ارائه شده است. در یکی از این سیستم‌های رده‌بندی فقط به ویژگی‌هایی از ماده‌سنگ اشاره شده است، اما در بقیه سیستم‌های رده‌بندی، هم به پارامترهایی از ماده‌سنگ و هم به ویژگی‌هایی از توده‌سنگ اشاره شده است.

در هر کدام از این سیستم‌های رده‌بندی به هر کدام از این مشخصات در شرایط مختلف امتیازاتی داده می‌شود. در نهایت با بررسی این مشخصات از ماده‌سنگ و توده‌سنگ و جمع امتیازات، وضعیت حفاری در محدوده مورد نظر مشخص می‌شود. در ادامه به معرفی هر یک از این سیستم‌های رده‌بندی که در زمینه قابلیت حفاری ارائه شده، اشاره می‌شود.

۲.۳ طبقه‌بندی ویلبور

در این سیستم رده‌بندی، ویلبور با توجه به ویژگی‌های زیر، قابلیت حفاری در سنگ‌ها را به صورت کیفی مورد بررسی قرار داده و قابلیت حفاری در سنگ را به پنج کلاس سریع، متوسط سریع، متوسط، آهسته-متوسط و آهسته تقسیم کرده است (Wilbur, 1982).

۱- سختی سنگ

۲- بافت و چگالی سنگ

۳- شکستگی‌های موجود در سنگ

۴- ساختار و شکل سنگ

۱.۲.۳ سختی

سختی یک کانی می‌تواند به وسیله مقیاس سختی موس که در جدول (۱-۳)، نشان داده شده است تعیین شود. عدد نشان داده شده در مقابل هر کانی نشان دهنده میزان سختی آن است. عدد بالاتر نشانگر سختی بالاتر آن کانی می‌باشد. کانی‌های با عدد بالاتر می‌توانند کانی‌های با عدد پایین‌تر یا برابر را خراش دهند. سنگ‌ها ممکن است شامل چندین کانی مختلف باشند، باید در

فصل سوم

سیستم های رده بندی ارائه شده در زمینه قابلیت حفاری

چندین قسمت از این سنگ سختی را به دست آورد و آنگاه سختی متوسطی را بدست آورد (Wilbur, 1982).

جدول ۱-۳- مقیاس سختی موس (Wilbur, 1982)

فلدسبار	۶	تالک	۱
کوارتز	۷	ژیپس	۲
توپاز	۸	کلسیت	۳
کرندوم	۹	فلوریت	۴
الماس	۱۰	آپاتیت	۵

در جدول (۲-۳)، وضعیت حفاری با توجه به میزان سختی سنگ مشاهده می شود. همانطور که مشاهده می شود، با افزایش سختی قابلیت حفاری از حالت سریع به آهسته تغییر پیدا کرده است.

جدول ۲-۳- سختی (Wilbur, 1982)

میزان سختی	وضعیت حفاری
۱-۲	سریع
۳-۴	متوسط سریع
۵-۶	متوسط
۷	آهسته-متوسط
۸-۹	آهسته

۲.۲.۳ بافت

بافت می تواند به طور چشمی تعیین شود و سپس با توجه به جدول (۳-۳)، شرایط حفاری آن تعیین شود.

فصل سوم

سیستم‌های رده‌بندی ارائه شده در زمینه قابلیت حفاری

جدول ۳-۳- بافت (Wilbur, 1982)

وضعیت حفاری	نوع سنگ و بافت
سریع	متخلخل (روزنده‌دار یا پر از حفره)
متوسط سریع	شکسته (نیمه تحکیم یافته)
متوسط	گرانوئیدی (با دانه‌های به اندازه کافی بزرگ و قابل شناسایی، گرانیت دانه متوسط)
آهسته-متوسط	پورفیری (بلورهای درشت با زمینه دانه‌ریز-گرانیت دانه)
آهسته	متراکم (دانه‌بندی خیلی ریز غیر قابل شناسایی با چشم غیر مسلح)

۳.۲.۳ شکستگی

مفهوم شکستگی در ارتباط با قابلیت حفاری به این مسئله اشاره دارد که، چطور یک سنگ توسط ضربه چکش از هم جدا می‌شود. در جدول (۴-۳)، پنج حالت مختلف حفاری با توجه به نوع سنگ و الگوی شکستگی آن طبقه‌بندی شده است.

جدول ۴-۳- شکستگی (Wilbur, 1982)

وضعیت حفاری	نوع سنگ و الگوی شکستگی
سریع	خرد شده به قطعات کوچک زمانی که چکش به آرامی برخورد می‌کند.
متوسط سریع	شکننده (سنگ می‌شکند زمانی که چکش به آرامی برخورد می‌کند).
متوسط	حالت بریده شدن (وقتی تکه‌های سنگ بریده شوند یا ترک برداشته و خرد شوند، زمانی که چکش برخورد می‌کند).
آهسته-متوسط	سخت (سنگ در مقابل شکستن مقاومت می‌کند، زمانی که ضربه سنگینی به سنگ وارد می‌شود).
آهسته	چکش‌خوار

۴.۲.۳ ساخت

ساخت، شرایط ساختاری توده سنگ را بیان می‌کند. ساختهای مختلفی که شرایط حفاری را تسهیل می‌کنند، در جدول (۵-۳)، آمده است.

همانطور که در این جدول مشاهده می‌شود، بالاترین نرخ حفاری مربوط به سنگ‌های توده‌ای و در مقابل، کمترین نرخ حفاری مربوط به سنگ‌های بلوکی و درزه‌دار می‌باشد (Wilbur, 1982).

فصل سوم

سیستم‌های رده‌بندی ارائه شده در زمینه قابلیت حفاری

جدول ۵-۳- شکل (Wilbur, 1982)

وضعیت حفاری	نوع سنگ همراه با ساختار آن
سریع	توده‌ای (محکم و متراکم تقریباً بدون درزه)
متوسط- سریع	ورقه‌ای (لایه‌ای با ۴ تا ۸ فوت (۱/۲ تا ۲/۴ متر) ضخامت با درزه‌های افقی نازک)
متوسط	لایه لایه (با لایه‌هایی ۱ تا ۳ فوت (۰/۹ تا ۰/۰ متر) ضخامت بادرزه‌های افقی با مقداری خاک)
آهسته- متوسط	رگه‌ای (تعداد زیادی درزه‌های باز در حالت‌های افقی و عمودی)
آهسته	بلوکی (درزه‌های باز پهن در همه جهات پر شده با خاک یا سنگ‌های شکسته)

همانطور که در این رده‌بندی مشاهده می‌شود، ویلبور قابلیت حفاری در سنگ را با توجه به چهار ویژگی: سختی، بافت، شکستگی و ساختشان، به پنج کلاس سریع، متوسط- سریع، متوسط، آهسته- متوسط و آهسته تقسیم کرده است. با توجه به این سیستم رده‌بندی می‌توان نتایج زیر را بیان کرد:

- از نظر سختی، هر چه میزان سختی سنگ افزایش می‌یابد، قابلیت حفاری سنگ کاهش پیدا می‌کند.
- از نظر بافت سنگ‌ها، مشاهده می‌شود، هر چه سنگ تخلخل بالاتری داشته باشد، قابلیت حفاری آن بیشتر بوده، از طرفی هر چه دانه‌های تشکیل دهنده سنگ ریزتر باشند، قابلیت حفاری در آن کاهش می‌یابد.
- از نظر پارامتر شکستگی، هر چه سنگ شکننده‌تر و مقاومت آن در برابر ضربه جهت شکستن کمتر باشد، قابلیت حفاری در آن، بیشتر می‌باشد.
- با توجه به ویژگی ساخت، می‌توان نتیجه گرفت که، هر چه سنگ توده‌ای (بدون درزه) باشد، قابلیت حفاری در آن افزایش می‌یابد. از طرفی هر چه سنگ بلوکی و میزان درزه و شکاف در آن زیاد بوده و باز شدگی درزه‌ها نیز زیاد باشند، قابلیت حفاری در آن‌ها به شدت کاهش می‌یابد، چون امکان گیر افتادن مته در این شرایط خیلی زیاد است.

فصل سوم

سیستم‌های رده‌بندی ارائه شده در زینه قابلیت حفاری

با توجه به مطالب بیان شده در رابطه با سیستم رده‌بندی ویلبور می‌توان گفت، این سیستم رده‌بندی، به ساخت توده‌سنگ اشاره کیفی کرده است. در این روش از عبارات توده‌ای، ورقه‌ای، رگه‌ای و بلوكی برای توصیف توده‌سنگ‌ها استفاده شده است. با توجه به اینکه ممکن است افراد مختلف با توجه به شرایط پیچیده توده‌سنگ تعریف‌های متفاوت از آن داشته باشند، لذا طبقه‌بندی کیفی در برخی موارد کاربر را دچار سردرگمی می‌نماید.

همچنین مشاهده می‌شود که در این رده‌بندی اشاره‌ای به فاصله‌داری و بازشدگی درزه‌ها نشده است. در ضمن در مورد پارامتری مانند مقاومت فشاری تکمحوره که یکی از عوامل بسیار تأثیرگذار بر قابلیت حفاری می‌باشد صحبتی به میان نیامده است.

۳.۳ رده‌بندی توده‌های سنگی بر اساس قابلیت تراشه شدن^۱

یکی از سیستم‌های رده‌بندی که، هم پارامترهایی از توده‌سنگ و هم پارامترهایی از ماده‌سنگ را در نظر گرفته است، روش امتیاز توده‌سنگ براساس قابلیت تراشه شدن است. این رده‌بندی در سال ۱۹۷۵ توسط Weaver ارائه شده است. همانطور که در جدول (۳-۶)، مشاهده می‌شود، در این رده‌بندی فاکتورهای سرعت امواج انکساری در سنگ، مقاومت فشاری تکمحوره، میزان هوازدگی، فاصله درزه‌ها، تداوم درزه‌ها، بازشدگی درزه‌ها و وضعیت شیب و امتداد درزه‌ها مورد استفاده قرار می‌گیرد و به هر کدام از این پارامترها، امتیازی اختصاص داده می‌شود. سپس با جمع امتیازات مربوط به هر کدام از پارامترهای فوق، قابلیت تراشه شدن توده سنگ و مقدار انرژی لازم جهت حفاری ارزیابی می‌گردد.

قابلیت تراشه شدن به اختصار با TRR^۲ نشان داده شده است (محمدی و همکاران، ۱۳۸۳).

¹ Rippability

² Total Rippability Rating

فصل سوم

سیستم های رده بندی ارائه شده در زیره قابلیت حفاری

جدول ۶-۳- جدول رده بندی توده های سنگی بر اساس قابلیت تراشه شدن (محمدی و همکاران، ۱۳۸۳)

۵	۴	۳	۲	۱	رده سنگ
سنگ خیلی ضعیف	سنگ ضعیف	سنگ نسبتاً خوب	سنگ خوب	سنگ خیلی خوب	توصیف
۴۵۰-۱۲۰۰	۱۲۰۰-۱۵۰۰	۱۵۰۰-۱۸۵۰	۱۸۵۰-۲۱۵۰	>۲۱۵۰	سرعت لرزه ای $\frac{m}{s}$
۵	۱۲	۲۰	۲۴	۲۶	امتیاز
سنگ خیلی نرم ۱/۷-۳	سنگ نرم ۳-۱۰	سنگ مقاوم ۱۰-۲۰	سنگ خیلی مقاوم ۲۰-۷۰	سنگ بی نهایت مقاوم >۷۰	مقاومت سنگ (MPa)
.	۱	۲	۵	۱۰	امتیاز
کاملاً "هوازده"	خیلی هوازده	هوازده	کمی هوازده	غیرهوازده	هوازده‌گی سنگ
۱	۳	۵	۷	۹	امتیاز
<۵۰	۵۰-۳۰۰	۳۰۰-۱۰۰۰	۱۰۰۰-۳۰۰۰	>۳۰۰۰	فاصله درزه ها (mm)
۵	۱۰	۲۰	۲۵	۳۰	امتیاز
ممتد- پرکننده	ممتد- با مقداری پرکننده	ممتد- بدون پرکننده	کمی ممتد	غیرممتد	تداوم درزه ها
.	.	۳	۶	۵	امتیاز
۵mm < پرکننده	۵mm < پرکننده	۱mm > باز شدگی	کمی باز شده	بدون بازشدنگی	پرکننده درزه ها
۱	۳	۴	۵	۵	امتیاز
خیلی مساعد	مساعد	کمی نامساعد	نامساعد	خیلی مساعد	امتداد و جهت شیب
۳	۵	۱۰	۱۳	۱۵	امتیاز
<۲۵	۲۰-۵۰	۵۰-۷۰	۷۰-۹۰	۹۰-۱۰۰	مجموع امتیازات
حفاری آسان	حفاری سخت	حفاری خیلی سخت	حفاری و آتشکاری بی نهایت سخت	آتشکاری	ارزیابی قابلیت تراشه شدن
D7	D7/D8	D8/D9	D9G/DD9G	-	انتخاب ماشین حفاری
۱۸۰	۱۸۰/۲۷۰	۲۷۰/۳۸۵	۳۸۵/۷۷۰	-	اسپ بخار
۱۳۵	۱۳۵-۲۰۰	۲۰۰-۲۹۰	۲۹۰-۵۷۵	-	کیلو وات

با توجه به این سیستم رده بندی، می‌توان مزایا و معایب زیر را برای آن بر شمرد.

مزایا:

فصل سوم

سیستم‌های رده‌بندی ارائه شده در زینه قابلیت حفاری

- در این رده‌بندی، پارامترهایی هم از ماده‌سنگ و هم از توده‌سنگ، مورد بررسی قرار گرفته است.
مثالاً پارامتری مانند مقاومت فشاری تکمحوره که در رده‌بندی ویلبور در نظر گرفته نشده بود، در این رده‌بندی مورد استفاده واقع شده است.
 - به هر کدام از پارامترهای در نظر گرفته شده، امتیاز داده شده و برخی از پارامترها مانند: سرعت لرزه‌ای، مقاومت سنگ، فاصله درزه‌ها و پرکننده درزه‌ها به صورت کمی آورده شده است.
 - در مورد درزه‌ها، به مشخصاتی مانند: فاصله‌داری، تداوم درزه‌ها، پرکننده درزه‌ها، امتداد و جهت شبی، امتیاز داده شده است.
 - این سیستم رده‌بندی می‌تواند جهت تعیین مقدار انرژی بولدوزر مورد استفاده در معادن روباز و ماشین TBM در تونل‌ها باشد.
- معایب:
- در این رده‌بندی، پارامتری مانند سرعت انكساری امواج در توده‌سنگ استفاده شده است که جهت تعیین این پارامتر به آزمایش‌های پرهزینه‌ای نیاز می‌باشد.
 - این رده‌بندی حداقل میزان انرژی ماشین انتخابی را مشخص می‌کند.
 - در مورد امتداد و جهت شبی به صورت کیفی و مبهم، اشاره شده است.
 - این سیستم رده‌بندی بیشتر جهت حفاری سطحی به کار می‌رود و در جایی که با حفاری عمیق، مانند حفر چال‌های انفجار سروکار داریم، این رده‌بندی جوابگو نخواهد بود.
- همچنین جهت آسان نمودن کار و کاهش هزینه‌های عملیات ژئوفیزیکی به منظور تعیین سرعت موج لرزه‌ای در توده‌سنگ و نیز با توجه به اینکه در هر سه رده‌بندی TRR، RMR و Q پارامترهای مشترکی جهت رده‌بندی توده‌های سنگی وجود دارد، می‌توان با برقراری ارتباط بین رده‌بندی TRR با رده‌بندی‌های RMR و Q، در همان مراحل مقدماتی، مقدار انرژی مورد نیاز حفاری را با دقت مناسبی تخمین زد.

فصل سوم

سیستم‌های رده‌بندی ارائه شده در زینه قابلیت حفاری

۴.۳ اندیس قابلیت نفوذ در سنگ‌ها^۳ (RPi)

این سیستم رده‌بندی در سال ۲۰۰۹، توسط حسینی و همکارانش ارائه شده است.

در تلاش برای ارائه این سیستم رده‌بندی، ابتدا تعداد ۱۲ پارامتر مختلف به شرح زیر که بر قابلیت نفوذ سنگ تأثیرگذارند، مشخص شده است.

اندازه دانه‌ها، هوازدگی، مدول یانگ، ساینده‌گی، سختی چکش اشمیت، نوع ماتریکس، مقاومت کششی، مقاومت فشاری تکمحوره، کوارتزمحتوی، بافت، سختی و چگالی.

جهت ارائه این سیستم رده‌بندی کمی، بر اساس پارامترهای مؤثر در قابلیت نفوذ سنگ‌ها که در بالا به آن‌ها اشاره شد، نظرات کیفی ۱۵ نفر از متخصصان داخل و خارج کشور توسط روش تحلیل سلسله مراتبی تجزیه و تحلیل شده‌اند. با دستیابی به وزن هر پارامتر سیستم رده‌بندی جدیدی به صورت کمی و بر مبنای پنج پارامتر مهم مقاومت فشاری تکمحوره، شاخص سایش شیمازک، سختی، بافت و مدول یانگ سنگ‌ها پیشنهاد شد. این سیستم که اندیس قابلیت نفوذ در سنگ نامیده شده در مجموع به سنگ‌ها امتیازی از ۱۰۰-۱۰۰ اختصاص می‌دهد. سپس قابلیت حفاری سنگ‌ها در پنج کلاس خیلی خوب، خوب، متوسط، ضعیف و خیلی ضعیف طبقه‌بندی می‌شود (حسینی، ۱۳۸۷).

پنج پارامتر فوق به همراه امتیازات مربوط به آن‌ها در جدول (۳-۷)، آورده شده است.

پس از تعیین شاخص RPi، بر اساس مقدار به دست آمده برای هر سنگ می‌توان قابلیت نفوذ در سنگ و نیز قابلیت ماشین‌کاری و کارپذیری آن را پیش‌بینی کرد. برای این منظور می‌توان از جدول (۳-۸)، بهره جست (حسینی، ۱۳۸۷).

^۳ Rock Penetrability index

فصل سوم

سیستم های رده بندی ارائه شده در زیر نویز قابلیت حفاری

جدول ۷-۳- جدول امتیازدهی به پارامترها و تعیین اندیس قابلیت نفوذ در سنگها (حسینی، ۱۳۸۷)

ردیفهای ارزش					پارامترها
>۲۰۰	۱۰۰-۲۰۰	۵۰-۱۰۰	۲۵-۵۰	۱-۲۵	مقاومت فشاری تک- محوره (MPa)
مقاومت خیلی بالا	مقاومت بالا	مقاومت متوسط	مقاومت کم	مقاومت خیلی کم	
۳	۸	۱۶/۵	۲۳	۳۲/۵	
>۴	۳-۴	۲-۳	۱-۲	۰-۱	
ساینده‌گی خیلی بالا	ساینده‌گی بالا	ساینده‌گی متوسط	ساینده‌گی کم	ساینده‌گی خیلی کم	
۲/۵	۶/۵	۱۳/۵	۱۹	۲۷	امتیاز
>۷	۶-۷	۴/۵-۶	۳-۴/۵	۱-۳	سختی موس
خیلی سخت	سخت	نسبتاً سخت	نسبتاً نرم	خیلی نرم تا نرم	
۲	۴/۵	۹	۱۲/۵	۱۸	
متراکم (دانه- بندی ریز)	پرفیری	گرانوئیدی (دانه متوسط)	شکسته (نیمه تحکیم یافته)	متخلخل	بافت
۰/۰۵-۱	ماتریکس: ۰/۵-۱ دانه‌ها: ۲-۵	۲-۵	>۵	اندازه دانه‌ها (mm)
۱/۵	۴	۷/۵	۱۰	۱۴/۵	امتیاز
>۱۰۰	۷۰-۱۰۰	۳۰-۷۰	۱۰-۳۰	۱۰-<	مدول یانگ (GPa)
خیلی زیاد	زیاد	متوسط	کم	خیلی کم	
۱	۲	۴	۵/۵	۸	

جدول ۸-۳- پیش‌بینی قابلیت نفوذ در سنگ و نیز قابلیت ماشین کاری بر اساس RPi (حسینی، ۱۳۸۷)

۱۰-۲۰	۲۰-۴۰	۴۰-۶۰	۶۰-۸۰	۸۰-۱۰۰	امتیاز RPi
کم	متوسط- کم	متوسط	متوسط- بالا	بالا	
خیلی سخت	سخت	متوسط	آسان	خیلی آسان	نفوذ در سنگ
ضعیف	متوسط- ضعیف	متوسط	متوسط- خوب	خوب	قابلیت ماشین کاری و کارپذیری سنگ

فصل سوم

سیستم‌های رده‌بندی ارائه شده در زمینه قابلیت حفاری

برای این سیستم رده‌بندی نیز می‌توان مزايا و معایب زیر را بر شمرد.

مزايا:

- با توجه به اينکه، كلیه پارامترهای مورد استفاده در اين رده‌بندی کمابیش در سایر روش‌های حفاری و به ویژه حفاری‌های زیرزمینی مانند حفاری با دستگاه تونل‌زنی (TBM)، رودهدر، دستگاه شیرر و رنده زغال‌بری و نیز برش و فرآوری سنگ‌های ساختمانی تأثیرگذارند، لذا می‌توان از اين رده‌بندی برای ارزیابی و پیش‌بینی عملکرد اين دستگاهها نیز استفاده کرد.
- از آنجا که اين سیستم رده‌بندی هم به منظور نفوذ در سنگ و هم قابلیت ماشین‌کاري و کارپذیری سنگ ارائه شده است، پارامترهای مورد استفاده در آن نیز مربوط به ماده‌سنگ می‌باشند.
- پارامترهای مورد استفاده در اين رده‌بندی، ابتدا به صورت کمی بیان شده، آنگاه به آن‌ها امتیاز داده شده است.

معایب:

- اگر بخواهد از اين سیستم رده‌بندی جهت تعیین قابلیت حفاری در معادن روباز استفاده شود، يکی از ضعف‌های عمداتی که به اين رده‌بندی وارد می‌باشد، در نظر نگرفتن ویژگی‌های درزه‌ها از قبیل: فاصله‌داری، دهانه بازشدنی، پرشدنی و شب آن‌ها می‌باشد که از عوامل تأثیرگذار در حفاریند.
- با توجه به اينکه اين سیستم رده‌بندی يك سیستم جدید در زمینه حفاری می‌باشد، بایستی با استفاده از مطالعات صحرایی گستردگه، مورد استفاده و ارزیابی بیشتری قرار گیرد، تا بتوان با اطمینان بیشتری از آن استفاده کرد.

۳.۵.۴ اندیس قابلیت حفاری توده‌سنگ^۴ (RDI)

این سیستم رده‌بندی نیز در سال ۲۰۰۸ توسط حسینی و همکارانش ارائه شده است.

⁴ Rock mass Drillability Index

فصل سوم

سیستم‌های رده‌بندی ارائه شده در زینه قابلیت حفاری

با مرور مطالعات انجام گرفته تاکنون، پارامترهای مهمی که حفاری را تحت تأثیر قرار می‌دهند،

به شرح زیر می‌باشند:

ژنز و منشأ تشکیل سنگ‌ها، سختی سنگ، بافت سنگ، تخلخل، چگالی، سایндگی، الاستیسیته و پلاستیسیته، مقاومت فشاری تکمحوره سنگ، قابلت تراشهدهی، سفتی سنگ، RQD و مشخصات تودهسنگ (درزه و شکاف، لایه‌بندی).

این سیستم رده‌بندی، با توجه به مطالعات گذشته به ویژه سیستم رده‌بندی ویلیبور پیرامون پارامترهای دخیل در حفاری ارائه شده است. همچنین در این سیستم سعی شده است تا با وارد کردن خصوصیات درزه‌ها، یک دید کمی از تودهسنگ و مشخصات مهندسی به دست آید.

در توسعه اندیس قابلیت حفاری تودهسنگ سه اصل اساسی زیر مورد توجه قرار گرفته است:

۱- از کمترین تعداد پارامترها برای طبقه‌بندی استفاده شود.

۲- از به کار بردن پارامترهای هم ارزش و هم ارز پرهیز شود.

۳- طبقه‌بندی تودهسنگ به راحتی در محل قابل انجام باشد. (به مطالعات آزمایشگاهی نیاز نباشد).

با در نظر گرفتن سه اصل فوق، پارامترهایی که جهت تعیین اندیس قابلیت حفاری تودهسنگ (RDI) مورد استفاده قرار گرفته‌اند، عبارتند از:

الف) پارامترهای فیزیکی ماده سنگ: بافت و اندازه دانه‌ها.

ب) پارامترهای مقاومتی ماده سنگ: سختی و مقاومت فشاری تکمحوره.

ج) پارامترهای ساختاری تودهسنگ (مشخصات درزه‌ها): فاصله‌داری درزه‌ها، دهانه و پرکنندگی درزه‌ها، شب درزه‌ها.

در سیستم RDI، به منظور امتیازدهی به مقادیر مختلف هر پارامتر، بیشترین امتیاز به بهترین وضعیت (سریع) داده شده است. برای امتیاز حالت‌های متوسط- سریع، متوسط، آهسته- متوسط و

فصل سوم

سیستم های رده بندی ارائه شده در زمینه قابلیت حفاری

آهسته به ترتیب ۰/۷۰٪، ۰/۵۰٪ و ۰/۲۵٪ امتیاز ماکزیمم، اختصاص یافته است (حسینی و همکاران، ۱۳۸۶). در جدول (۳-۹)، این رده بندی به همراه پارامترهای مورد استفاده در آن مشاهده می شود.

جدول ۹-۳- جدول امتیازدهی به پارامترها و تعیین اندیس قابلیت حفاری توده سنگ‌ها (RDI) (Hoseini et al, 2008)

ردیفهای ارزش					پارامترها	
متراکم (دانه-بندي ريز)	پرفيری	گرانوئيدی (دانه متوسط)	شكسته (نيمه تحكيم یافته)	متحلخل	بافت	
۰/۰۵-۱	ماتريكس: ۰/۵-۱ دانه‌ها: ۲-۵	۲-۵	>۵	اندازه دانه‌ها (mm)	۱
۱	۴	۷	۱۰	۱۵	امتیاز	
>۲۰۰	۱۰۰-۲۰۰	۵۰-۱۰۰	۲۵-۵۰	۱-۲۵	مقاومت فشاری تک محوره (MPa)	۲
مقاومت خيلي بالا	مقاومت بالا	مقاومت متوسط	مقاومت کم	مقاومت خيلي کم		
۲	۶	۱۱	۱۶	۲۲	امتیاز	۳
>۷	۶-۷	۴/۵-۶	۳-۴/۵	۱-۳		
خيلي سخت	سخت	نسبتاً سخت	نسبتاً نرم	خيلي نرم تا نرم	سختی موس	۴
۱	۴	۹	۱۳	۱۸	امتیاز	
۰-۰/۱۵	۰/۱۵-۰/۵	۰/۵-۱	۱-۲	>۲	* فاصله‌داری درزه‌ها (m)	۵
۱	۵	۹	۱۳	۱۸	امتیاز	
۲-۹	۹-۱۲	۱۲-۲۰	>۲۰	درزه بسته	** پرکنده درزه‌ها (mm)	۶
۱	۴	۷	۱۰	۱۵	امتیاز	
۰-۲۰	۲۰-۳۵	۳۵-۵۵	۵۵-۷۰	۷۰-۹۰	- شيبداری درزه-ها *** (درجه)	***
۱	۳	۶	۸	۱۲	امتیاز	

* سنگ‌هایی که دارای تورق و شیستوزیته قانونمند باشند، به علت سهولت حفاری در آنها، امتیاز ۱۲ برای فاصله‌داری منظور می‌گردد.

** برای درزه‌های پرشده با مواد خاکی و پودرهای بسیار ریز سنگی استثنائی امتیاز ۷ برای پرکنده‌ها منظور می‌شود.

*** زاویه بین امتداد چال و سطح درزه مد نظر می‌باشد.

فصل سوم

سیستم‌های رده‌بندی ارائه شده در زمینه قابلیت حفاری

در نهایت با توجه به مقدار RDI بدست آمده از جدول نهایی طبقه‌بندی، سرعت حفاری در توده‌سنگ را به صورت کیفی می‌توان بر طبق جدول (۳-۱۰)، پیش‌بینی نمود. شایان ذکر است، برای بررسی پارامترهای مربوط به سیستم درزه‌ها در توده‌سنگ‌های با بیش از یک دسته درزه، ویژگی‌های دسته‌درزه غالب مورد نظر طبقه‌بندی قرار می‌گیرد. برای مقادیر مرزی، امتیاز مربوط به طبقه پایین‌تر اختصاص داده می‌شود.

جدول ۳-۱۰ - پیش‌بینی سرعت حفاری بر اساس RDI (Hoseini et al, 2008)

اندیس قابلیت حفاری (RDI)		سرعت حفاری			
۷-۲۰	۲۰-۴۰	۴۰-۶۰	۶۰-۸۰	۸۰-۱۰۰	
آهسته	آهسته- متوسط	متوسط	متوسط- سریع	سریع	

با دقت در این سیستم رده‌بندی می‌توان مزایا و معایب زیر را برای آن بر شمرد:

مزایا:

- همانطور که اشاره شد، در این سیستم رده‌بندی، سعی شده است علاوه بر وارد کردن پارامترهایی از ماده‌سنگ، با در نظر گرفتن خصوصیات درزه‌ها، یک دید کمی از توده‌سنگ و مشخصات مهندسی به دست آید.

- همچنین در ارائه این رده‌بندی، سه اصل اساسی زیر مورد توجه قرار گرفته است:

۱- از کمترین تعداد پارامترها برای طبقه‌بندی استفاده شده است.

۲- از به کار بردن پارامترهای هم ارزش و هم ارز پرهیز شده است.

۳- طبقه‌بندی توده‌سنگ به راحتی در محل قابل انجام می‌باشد. به بیانی دیگر مانند سیستم رده‌بندی RPi، به مطالعات آزمایشگاهی زیادی نیاز نیست.

معایب:

- زمانی که بیش از یک دسته درزه غالب داشته باشیم، این سیستم رده‌بندی پاسخی در این زمینه نخواهد داشت.

فصل سوم

سیستم‌های رده‌بندی ارائه شده در زمینه قابلیت حفاری

- ارائه دهنده این سیستم رده‌بندی، به منظور ارزیابی تأثیرات سیستم درزه‌ها بر سرعت حفاری در معادن روباز، به مدت سه سال، تمامی مطالعات صحرایی خود را در معادن مس سونگون و معدن سنگ‌آهک سیمان صوفیان بر روی سیستم حفاری DTH، انجام داده است، در حالی که در معادن مختلف از سیستم‌های حفاری مختلفی استفاده می‌شود.

۶.۳ نتیجه‌گیری

با دقت در مطالبی که در زمینه سیستم‌های رده‌بندی مختلف بیان شد و همچنین با توجه به مزايا و معایي که برای هر کدام از آن‌ها ذکر شد، می‌توان به اين نتیجه رسید که، مناسب‌ترین سیستم رده‌بندی که می‌توان در معادن روباز جهت تعیین قابلیت حفاری چال‌های انفجار از آن استفاده کرد، سیستم رده‌بندی RDi می‌باشد. زیرا هم به ویژگی‌هایی بسیار تأثیرگذار از توده‌سنگ و هم ماده‌سنگ اشاره کرده است و از طرفی هر کدام از این ویژگی‌ها را به صورت کمی بیان کرده و امتیاز لازم را به آن‌ها داده است. همچنین به مطالعات آزمایشگاهی زیادی نیاز نیست و این امر هزینه-ها را کاهش می‌دهد. ولی سیستم رده‌بندی TRR، جهت حفاری سطحی به کار می‌رود و در نهایت در معادن روباز و یا در تونل‌ها مقدار انرژی ماشین مورد استفاده را تعیین می‌کند. از آنجایی که در این معادن باید قابلیت حفاری چال‌های انفجاری تعیین شود و این حفاری‌ها، حفاری‌های عمقی می‌باشند، بنابراین از این سیستم رده‌بندی که جهت حفاری سطحی استفاده می‌شود، نمی‌توان استفاده کرد. در سیستم رده‌بندی ویلبور نیز، مشخصات مختلف سنگ را کاملاً به صورت کیفی بررسی کرده و امتیازی به آن‌ها داده نشده است.

در سیستم رده‌بندی RPi نیز، فقط ویژگی‌هایی از ماده‌سنگ در نظر گرفته شده است و به مشخصات درزه‌ها که در حفاری در معادن روباز تأثیر زیادی دارند، اشاره‌ای نشده است. همچنین مطالعات آزمایشگاهی آن زیاد بوده، که موجب افزایش هزینه‌ها خواهد شد.



معرفی معادن سنگ آهمن سگان

فصل چهارم

۱.۴ مقدمه

نیاز صنایع فولاد کشور به سنگ آهن، موضوع و مشکل واردات ارزی سنگ آهن از خارج کشور با توجه به اهداف مشخص شده دولت جمهوری اسلامی ایران، مبنی بر توسعه صنایع فولاد و کاهش وابستگی به سنگ آهن وارداتی، لزوم بهره‌برداری و استخراج منابع داخلی کشور را در رأس برنامه- ریزی‌های اقتصادی قرار داده است.

بر اساس برداشت‌های مغناطیس‌سنگی- هوابردی و بررسی‌های زمین‌شناختی، مناطق آهن‌خیز ایران را می‌توان به شرح زیر تقسیم کرد:

الف- کمربند زنجان- سمنان- مشهد

ب- کمربند همدان- اصفهان- سیرجان

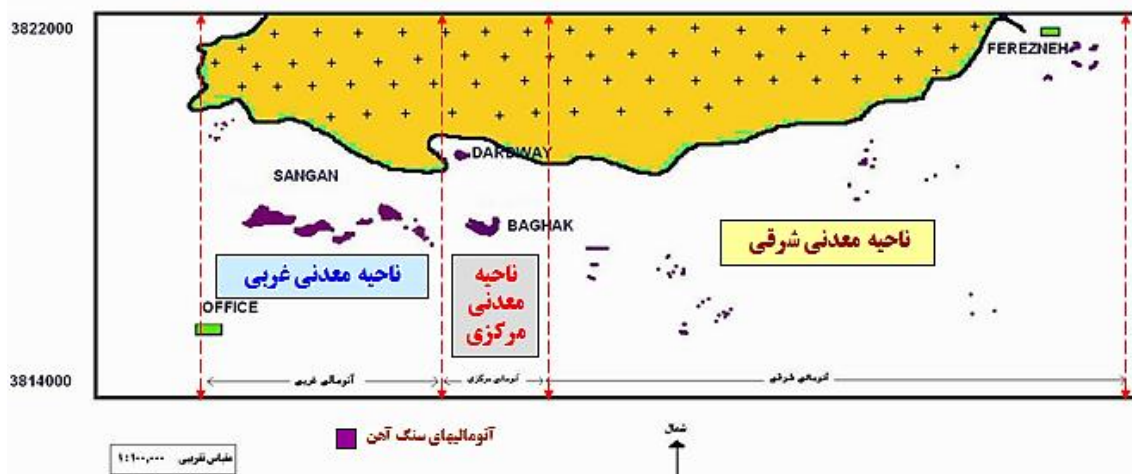
ج- کمربند انارک- بافق- کرمان

د- حوزه بندر عباس

معدن سنگ‌آهن سنگان در جنوب‌شرقی استان خراسان‌رضوی واقع شده است. این معدن بر روی کمربند آهن‌خیز زنجان- سمنان- مشهد قرار گرفته است.

نتایج مطالعات انجام شده حاکی از آن است، که ابعاد تقریبی این کانسار، در حدود 26×8 کیلومتر مربع بوده و از سه ناحیه معدنی شرقی، مرکزی و غربی تشکیل شده است و ذخیره زمین‌شناصی آن در حدود $1/2$ میلیارد تن تخمین زده می‌شود. همانطور که در شکل (۱-۴)، مشاهده می‌شود، آنومالی‌های غربی با ابعاد تقریبی 3×2 کیلومتر مربع از پنج آنومالی 'A، A'، B، C شمالی و C جنوبی تشکیل شده است و به طور گستردگی مورد اکتشاف قرار گرفته است.

فصل چهارم



شکل ۴- جانمایی آنومالی‌های مختلف معدن سنگ آهن سنگان (www.simp.ir)

آنومالی مرکزی دارای ابعاد 2×5 کیلومتر مربع می‌باشد، که از دو قسمت باگک و دردوی تشکیل شده است.

آنومالی‌های شرقی با ابعاد تقریبی 5×21 کیلومتر مربع در شرقی‌ترین محدوده معدن سنگ آهن سنگان قرار دارد و شامل آهن‌های سنجدک، فرزنه، سماهنه و سایر آنومالی‌های ناحیه شرقی تا مرز افغانستان است.

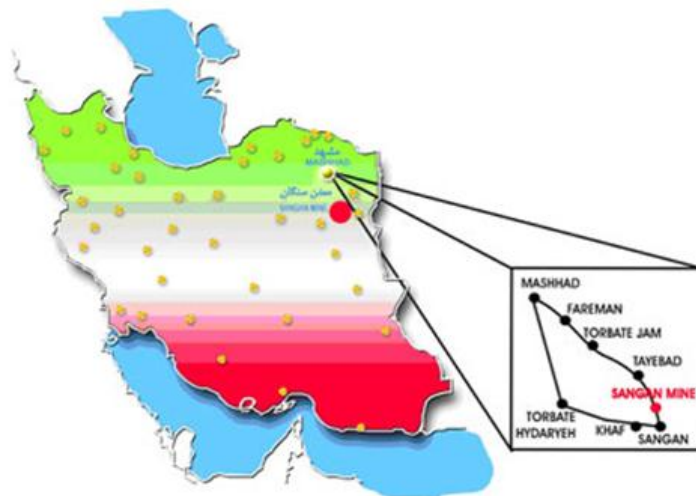
۲.۴ موقعیت جغرافیایی و شرایط آب و هوایی منطقه سنگان

کانسار سنگ آهن سنگان در استان خراسان (شمال شرقی ایران) در فاصله ۳۰۰ کیلومتری جنوب شرقی مشهد و ۱۶ کیلومتری شهر سنگان از توابع شهرستان خوف، در منطقه‌ای به عرض جغرافیائی 24° و 34° و طول جغرافیائی 60° و 60° واقع شده است.

این ناحیه از تپه ماهورهایی به ارتفاع تقریبی ۱۲۰۰ متر شروع شده و ارتفاع آن از سطح دریا در حدود ۱۶۵۰ متر می‌باشد. سنگان در ناحیه آب و هوایی گرم و خشک بیابانی و نیمه بیابانی واقع شده است، که میزان بارش سالیانه تقریباً بین ۱۴۰ تا ۲۰۰ میلیمتر در سال متغیر بوده و میزان متوسط بارندگی آن ۱۵۰ میلیمتر در سال است (شکل ۲-۴).

فصل چهارم

معرفی معادن سنگ آهن سنگان



شکل ۲-۴- موقعیت جغرافیایی سنگان (www.simp.ir)

متوسط میزان رطوبت نسبی سالیانه در این منطقه در حدود ۴۰ درصد بوده که از ۱۲ درصد تا ۷۶ درصد، به ترتیب در ماههای خرداد و دی متغیر است. از طرف دیگر کمترین مقدار میانگین ماهیانه رطوبت از خرداد تا شهریور (۲۵ تا ۳۵ درصد) اندازه‌گیری شده است. در این منطقه بادهای شدیدی در تابستان می‌وزد. باد اصلی این ناحیه هرات نامیده می‌شود که از رشته کوه هندوکش افغانستان در شمال و شمال غربی شروع شده و جهت آن در سرتاسر تابستان ثابت است. میانگین سرعت باد روزانه در حدود ۵۰ کیلومتر در ساعت است (www.simp.ir).

۳.۴ تاریخچه معدن

معدن سنگ آهن سنگان برای اولین بار و در حدود ۶۰۰ سال پیش با عنوان معادن سنگ آهن خوف در کتاب نزهت القلوب حمدالله مستوفی معرفی گردید. عملیات اکتشافی اولیه آن حد فاصل ۱۳۶۲ تا ۱۳۵۸ شمسی توسط بخش خصوصی انجام شد و در ادامه از نیمه دوم سال ۱۳۵۰ شناخت پارامترهای کیفی و کمی این کانسار توسط کارشناسان و نیروهای متخصص شرکت ملی فولاد ایران شروع شد. بر اساس نتایج حاصله تصمیم گرفته شد که، مطالعات تکمیلی اکتشاف و انجام آزمایش‌های معدنی و فرآوری، مطالعات امکان‌سنجی، بررسی چرخه تولید، تعیین ظرفیت بهینه، فاز

فصل چهارم

معرفی معادن سنگ آهن سنگان

بندی تولید، تعیین محصول نهایی، آزمایش‌های فنی و اقتصادی با بهره‌گیری از آخرین تکنولوژی روز دنیا و استفاده از توانمندی‌های سخت‌افزاری و نرم‌افزاری، به معروف‌ترین شرکت تحقیقاتی سنگ‌آهن در جهان (شرکت BHP استرالیا) سپرده شود. در ادامه شرکت‌های ایریتک^{۹۵} ایران، سایمونز^{۹۶} کانادا و بیتمن^{۹۷} آفریقای جنوبی نیز در غالب کنسرسیوم^{۹۸} SBI و با درنظر گرفتن جنبه‌های زمین‌شناسی، ذخایر معدنی و استخراج و فرآوری کانسنگ برای تولید کنسانتره آهن با عیار بالا، در مطالعات و تحقیقات مربوط به معادن سنگ‌آهن سنگان فعالیت نمودند (www.simp.ir).

۴.۴ زمین‌شناسی

کانسار سنگان با توجه به کانی‌سازی آن، از نوع سنگ‌آهن اسکارنی می‌باشد که قسمتی از روند شرق به غرب رشته‌کوه طالب را تشکیل می‌دهد. ساختار زمین‌شناسی نشان‌دهنده تماس ماده معدنی و باطله از شمال به جنوب به صورت زیر می‌باشد (www.simp.ir):

الف- گرانیت‌های سرنوسر

ب- کمپلکس کوارتزیت، ماسه سنگ و سیلت استون

ج- واحد اسکارنی شمالی (آنومالی C شمالی)

د- شیل و سیلت استون

ه- واحد اسکارنی جنوبی (آنومالی های A و B و C جنوبی)

و- مجموعه ولکانیکی

انواع زون‌های سنگ‌آهن که در سنگان تعریف شده‌اند بصورت زیر می‌باشند:

۱- زون آهن توده‌ای پر عیار

^{۹۵} IRITEC

^{۹۶} Symons

^{۹۷} Bitman

^{۹۸} Symons& Bitman & IRITEC

فصل چهارم

معرفی معادن سنگ آهن سمنگان

۲- زون آهن پراکنده کم عیار

۳- زون اکسیده

۴- زون سولفوره

از آنجائی که در این پروژه، معادن مرکزی (باغک و دردوى) مورد مطالعه قرار گرفته‌اند، بنابراین در ادامه این معادن با جزئیات بیشتر توضیح داده می‌شوند.

۵.۴ معدن باغک

۱.۵.۴ موقعیت جغرافیایی

کانسار سنگ آهن باغک بخشی از محدوده کانسارهای سنگ آهن سمنگان در استان خراسان رضوی (شمال شرقی ایران) در فاصله ۳۰۰ کیلومتری جنوب شرقی مشهد، ۶۸ کیلومتری جنوب غرب تایباد، ۴۰ کیلومتری شمال شرق خوف و ۱۸ کیلومتری شمال شرق شهر سمنگان واقع شده است. این منطقه در حدود ۴۰ کیلومتری مرز افغانستان نیز قرار دارد.

طول جغرافیایی کانسار سنگ آهن باغک بر اساس سیستم جغرافیایی UTM ۲۶۸۳۰۰-۳۸۱۷۲۰۰-۳۸۱۸۷۰۰ شمالی می‌باشد. ارتباط سایت معدن به کانسار باغک از طریق جاده خاکی از جنوب آنومالی‌های A، B و C جنوبی عبور می‌نماید. این مسیر ابتدا از کانسار باغک و سپس به کانسار دردوى می‌رسد. طول این مسیر حدود ۶ کیلومتر است. در شکل (۳-۴)، دورنمایی از معدن باغک مشاهده می‌شود (معدنکاو، ۱۳۸۸).

فصل چهارم

معرفی معادن سنگ آهن سمنان



شکل ۴-۳- دورنمایی از معدن باغک

۲.۵.۴ ژئومورفولوژی

کانسار باغک مانند بقیه آنومالی‌های سمنان در ناحیه‌ای کوهستانی واقع شده است. بلندترین نقطه باغک با ارتفاع ۱۷۸۰ متر از سطح دریا در حاشیه شرقی گردنه باغک و پست‌ترین نقطه آن با ارتفاع ۱۴۸۰ متر در محدوده جنوب آن قرار دارد. روند زهکشی از شمال به طرف جنوب و امتداد آبراهه‌ها بیشتر شمال‌غرب-جنوب‌شرق است که با امتداد تعدادی از گسل‌ها، هماهنگی دارد. لیتولوژی بخش مرتفع و خشن آن شامل توده‌های سنگ‌آهن، آهک، دولومیت و دایک‌های داسیتی می‌باشد، ولی توپوگرافی آرام به سنگ‌های نظیر شیل، سیلتستون و توف تعلق دارد (معدنکاو، ۱۳۸۸).

۳.۵.۴ آب و هوا

محدوده مورد بررسی از دیدگاه اقلیمی در ناحیه خشک تا نیمه کویر و تا حدودی کوهستانی قرار دارد. تغییرات درجه حرارت بین ۴۵ درجه سانتی‌گراد در فصل تابستان تا ۱۵- درجه سانتی‌گراد در فصل زمستان در نوسان می‌باشد. مقدار بارندگی سالیانه آن حدود ۱۲۰ میلی‌متر به صورت باران و برف می‌باشد. متوسط میزان رطوبت نسبی سالیانه در این منطقه در حدود ۴۰ درصد بوده که از ۱۲

در صد تا ۷۶ درصد در ماههای خرداد و دی متغیر است. از طرف دیگر کمترین میانگین رطوبت ماهیانه از خرداد تا شهریور (۲۵ تا ۳۵ درصد) اندازه‌گیری شده است. آنچه از نظر آب و هوایی قابل ذکر می‌باشد، وجود باد و طوفان‌های شدید در فصل تابستان و اوایل پاییز می‌باشد به طوری که انجام کارهای زمین‌شناسی را با مشکل روبرو می‌نماید و باعث حرکت شن می‌شود. باد اصلی این منطقه هرات نامیده می‌شود که از رشته کوه هندوکش افغانستان در شمال و شمال غربی شروع شده و جهت آن در سرتاسر تابستان ثابت است. میانگین سرعت باد روزانه در حدود ۵۰ کیلومتر در ساعت است (معدنکاو، ۱۳۸۸).

۴.۵.۴ زمین‌شناسی

از نظر زمین‌شناسی در زون قاره لوت قرار دارد. از نظر تکتونیکی فازهای مختلف کوهزایی را پشت سر گذاشته که در آن تعدادی قابل تشخیص می‌باشد. کانه‌زایی آن به عقیده اکثر محققین از نوع اسکارن می‌باشد. کانه اصلی سنگ‌آهن آن مگنتیت می‌باشد. قدیمی‌ترین سازندهای زمین‌شناسی موجود در محدوده معدن، شامل شیل و ماسه‌سنگ به همراه لایه‌هایی از آهک به سن ژوراسیک تا کرتاسه زیرین است، که پدیده اسکارنی شدن در آنها اتفاق افتاده است. عامل اصلی پدیده اسکارن را به گرانیت سرنوسر واقع در شمال معدن با سن آؤسن نسبت می‌دهند. علاوه بر واحدهای فوق سنگ‌های ولکانیکی - پیروکلاستیکی در جنوب این منطقه دارای گسترش است. تعدادی دایک با ترکیب داسیت، میکرودیوریت، میکرومونزونیت در داخل واحد اسکارنی دیده می‌شود. روند عمومی لایه‌ها، گرانیت سرنوسر و دایک‌های نفوذی تقریباً شرقی - غربی و به موازات گسل درونه واقع در شمال منطقه می‌باشد. ارتباط بخش اسکارنی با واحدهای اطراف، بیشتر گسله است. گسلهای این منطقه در چهار روند شمال‌غربی - جنوب‌شرقی، تقریباً شرقی - غربی، شمال‌شرقی - جنوب‌غربی و شمالی - جنوبی گسترش پیدا کرده است. کانه‌زایی به دلیل شکستگی زیاد، عدم وجود چین‌خوردگی، گسترش زیاد اسکارن از نوع اسکارن کم‌عمق می‌باشد و سیستم شکستگی‌ها با توجه به نوع لیتوژئی با تاثیر

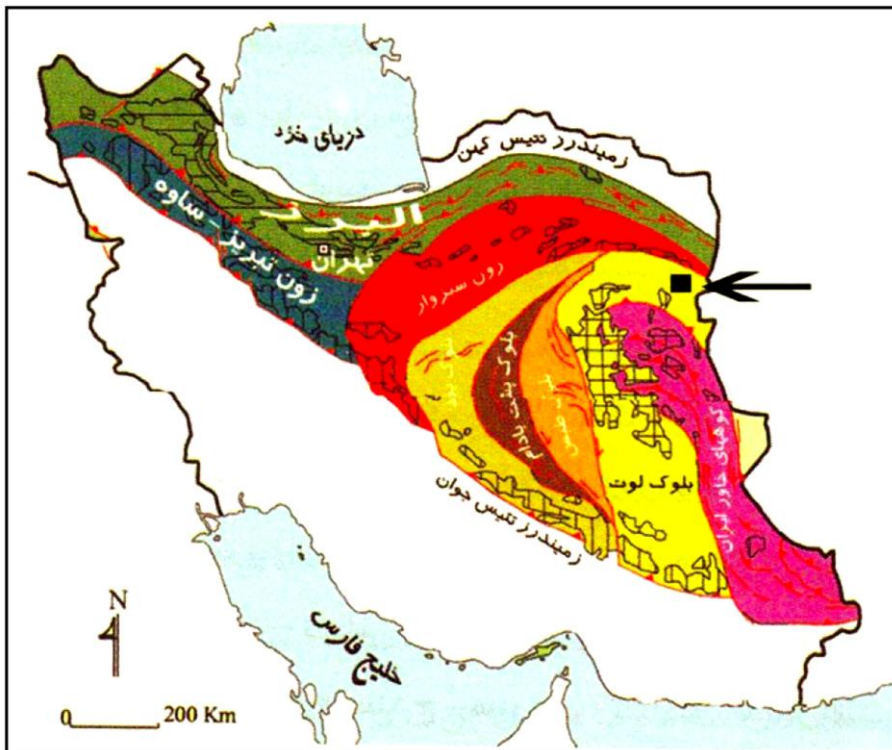
فصل چهارم

معرفی معادن سنگ آهن سگان

توده‌های نفوذی، چین‌ها و گسل‌ها در بخش‌های مختلف متفاوت است. ارتباط روشی بین شکستگی‌ها و کانه‌زایی مگنتیت وجود ندارد، اما کانه‌زایی‌های دیگر بیشتر از شکستگی‌های غیر تکتونیکی تبعیت کرده‌اند که شامل پیریت، هماتیت، فلوگوپیت و کلسیت است.

در این آنومالی واحدهای سنگی شامل شیل، سیلتستون، آهک کریستالین و آهک دولومیتی متعلق به مزوژوئیک، گرانیت سرنوسر، ریوداسیت، اسکارن، سنگ‌آهن، مربوط به ترشیری و بالاخره نهشته‌های واریزهای و آبرفتی مربوط به کواترنر می‌باشد (معدنکاو، ۱۳۸۸).

همچنین در شکل (۴-۴)، پهنه‌های ساختاری-رسوبی ایران و موقعیت محدوده مورد مطالعه دردوی-باغک را می‌توان مشاهده نمود.



شکل ۴-۴- پهنه‌های ساختاری-رسوبی ایران و موقعیت محدوده مورد مطالعه دردوی-باغک (معدنکاو، ۱۳۸۸)

فصل چهارم

۵.۵.۴ استخراج معدن

بر مبنای اطلاعات مدل بلوکی تهیه شده حاصل اجرای شبکه اکتشاف ۵۰ متری، مشخصات این معدن در جدول (۱-۴) آمده است.

جدول ۱-۴- مشخصات ذخیره و عیار معدن باگ (کاوشگران، ۱۳۸۹)

۶۰	میزان ذخیره (میلیون تن)	عيار (%)
۴۴/۴۱	Fe	
۱۵/۰۴	FeO	
۳/۰۷۴	S	
۲/۹۵	Fe/FeO	

ظرفیت استخراج سالانه معدن باگ مطابق با برنامه ریزی سال ۱۳۹۱ برابر با ۱۹۰ هزار تن سنگ آهن پرعیار و ۳۱۰ هزار تن سنگ آهن با عیار متوسط در نظر گرفته شده است. همچنین مطابق برنامه ریزی انجام شده بایستی $\frac{1}{3}$ میلیون تن سنگ باطله از این منطقه حمل گردد (کاوشگران، ۱۳۹۱). پارامترهای طراحی برای محدوده کانسار باگ در جدول (۲-۴) آمده است (کاوشگران،

: ۱۳۹۱)

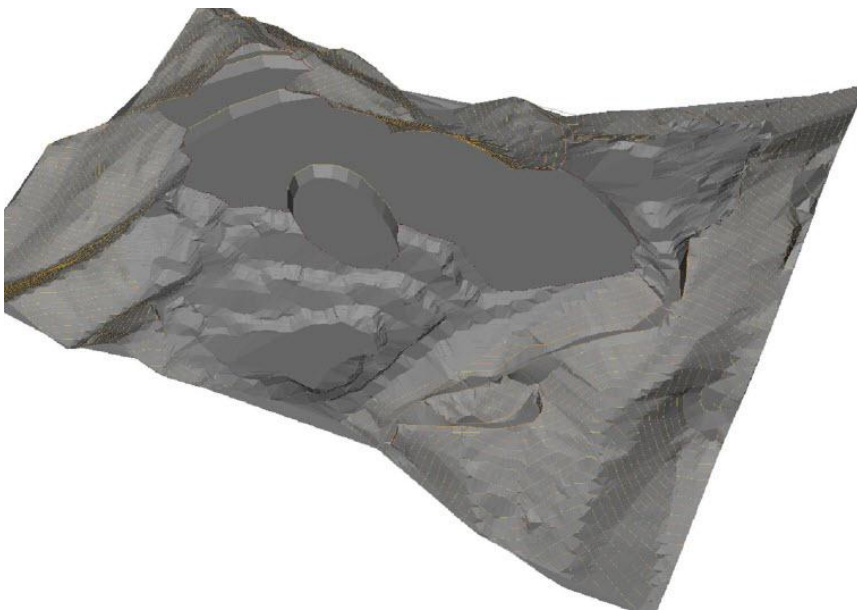
جدول ۲-۴- پارامترهای طراحی برای محدوده کانسار باگ (کاوشگران، ۱۳۸۹)

ارتفاع پلههای استخراجی ۱۰ متر	
۵ متر	عرض پلههای نهایی شده
۸ متر	عرض پلههای ایمنی
۷۵ درجه	شیب سینه کار
متوسط ۵۰ درجه	شیب دیواره نهایی

در شکل (۵-۴) نمایی از پیت نهایی معدن باگ مشاهده می شود.

فصل چهارم

معرفی معادن سنگ آهن سمنان



شکل ۵-۴- نمایی از پیتنهایی معدن باگک (کاوشگران، ۱۳۹۱)

۶.۴ معدن دردوى

۱.۶.۴ موقعیت جغرافیایی و ژئومورفولوژی

این معدن در حدفاصل طول جغرافیایی ۲۶۸۱۰۰-۲۶۷۳۵۰ شرقی و عرض جغرافیایی آن ۳۸۱۹۰۵۰-۳۸۱۹۵۵۰ شمالی (بر اساس سیستم جغرافیایی UTM) قرار گرفته است. آنومالی سنگ آهن دردوى بخشی از معدن سنگ آهن سمنان خواهد می باشد که در فاصله ۳۰۰ کیلومتری جنوب مشهد قرار دارد. راه دسترسی به آن از طریق مشهد- سه راه امام تقی- تربت حیدریه- خوف- سمنان می باشد. ارتباط بین سایت اصلی و معدن از طریق جاده خاکی که از جنوب آنومالی های A، B و C برقرار می باشد. این مسیر ابتدا به معدن باگک و سپس به معدن دردوى می رسد. طول این مسیر حدود ۸ کیلومتر است به لحاظ کوهستانی بودن این ناحیه، پستی و بلندی هایی با شیب تند در منطقه مشاهده می شود. بالاترین ارتفاع در این منطقه برابر با ۱۷۰۰ متر و پایین ترین نقطه دارای ارتفاعی معادل ۱۵۴۰ متر می باشد (کاوشگران، ۱۳۸۵). در شکل (۶-۴) نمایی از معدن دردوى مشاهده می شود.



شکل ۶-۴- دورنمایی از معدن دردوى

۲.۶.۴ زمین‌شناسی

از نظر زمین‌شناسی در زون قاره لوت قرار دارد. از نظر تکتونیکی فازهای مختلف کوهزایی را پشت سر گذاشته که در آن تعدادی قابل تشخیص می‌باشد. کانه‌زایی آن از نوع اسکارن می‌باشد. کانه اصلی سنگ‌آهن آن مگنتیت است.

قدیمی‌ترین سازندۀای زمین‌شناسی موجود در محدوده معدن شامل شیل و ماسه‌سنگ به همراه لایه‌هایی از آهک به سن ژوراسیک تا کرتاسه زیرین است که پدیده اسکارنی شدن در آن‌ها اتفاق افتاده است. عامل اصلی پدیده اسکارن را به گرانیت سرنوسر واقع در شمال معدن با سن ائوسن، نسبت می‌دهند. علاوه بر واحدهای فوق، سنگ‌های ولکانیکی- پیروکلاستیکی در جنوب منطقه مورد بررسی دارای گسترش است. تعدادی دایک با ترکیب داسیت، میکرودیوریت، میکرومونزونیت در داخل واحد اسکارنی دیده می‌شود.

رونده عمومی لایه‌ها، گرانیت سرنوسر و دایک‌های نفوذی تقریباً شرقی- غربی و به موازات گسل درونه (واقع در شمال منطقه) می‌باشد.

فصل چهارم

معرفی معادن سنگ آهن سگان

گسل‌های اصلی محدوده آنومالی دردوى در دو راستای شرق جنوب‌شرقی- غرب شمال‌غربی و شمال‌غربی- جنوب‌شرقی گسترش پیدا کرده است.

کانه‌زایی به دلیل شکستگی زیاد، عدم وجود چین‌خوردگی، گسترش زیاد اسکارن، از نوع اسکارن کم‌عمق می‌باشد و سیستم شکستگی‌ها با توجه به نوع لیتولوژی با تأثیر توده‌های نفوذی، چین‌ها و گسل‌ها در بخش‌های مختلف متفاوت است، ولی دسته‌درزه‌های شرقی- غربی و شمالی- جنوبی را بیشتر می‌توان مشاهده نمود.

ارتباط روشی بین شکستگی‌ها و کانه‌زایی مگنتیت وجود ندارد، اما کانه‌زایی‌های دیگر بیشتر از شکستگی‌های غیرتکتونیکی تبعیت کرده‌اند که شامل پیریت، هماتیت، فلوگوپیت و کلسیت است (معدنکاو، ۱۳۸۸).

۳.۶.۴ استخراج معدن

بر مبنای اطلاعات مدل بلوکی تهیه شده حاصل اجرای شبکه اکتشاف ۵۰ متری، مشخصات این معدن در جدول (۳-۴)، آمده است.

جدول ۳-۴- مشخصات ذخیره و عیار معدن دردوى (کاوشگران، ۱۳۸۹)

میزان ذخیره (میلیون تن)	عيار (%)
۱۲۰	
۴۳/۹۷	Fe
۱۸/۳۶	FeO
۱/۰۳۱	S
۲/۴۸	Fe/FeO

ظرفیت استخراج سالانه ۶۵۰ هزار تن سنگ‌آهن پرعيار و متوسط عيار در نظر گرفته شده است که پس از سنگ‌شکنی، در حدود ۴۰۰ هزارتن در سال سنگ‌آهن دانه‌بندی شده قابل عرضه خواهد بود. بر این اساس بهره‌برداری از این معدن در یک دوره ۱۳ ساله پيش‌بيينى شده است (کاوشگران، ۱۳۸۹).

فصل چهارم

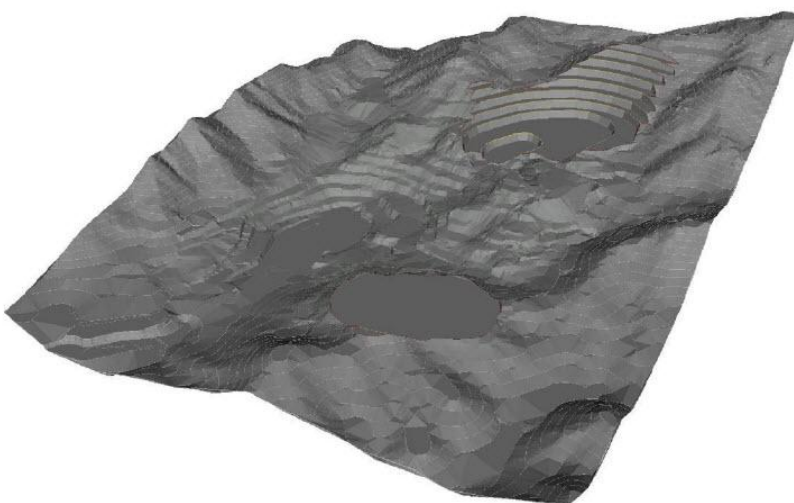
معرفی معادن سنگ آهن سگان

پارامترهای طراحی برای محدوده این کانسار به شرح ذیل می‌باشند:

جدول ۴-۴- پارامترهای طراحی برای محدوده کانسار دردوى (کاوشگران، ۱۳۸۹)

ارتفاع پله‌های استخراجی	۱۰ متر
عرض پله‌های نهایی شده	۵ متر
عرض پله‌های اینمی	۸ متر
شیب سینه کار	۷۵ درجه
شیب دیواره نهایی	متوسط ۴۵ درجه

در شکل (۷-۴) نمایی از پیت نهایی معدن دردوى مشاهده می‌شود.



شکل ۷-۴- نمایی از پیت نهایی معدن دردوى (کاوشگران، ۱۳۹۱)

۷.۴ جمع‌بندی

با توجه به نیاز صنایع فولاد کشور به سنگ‌آهن و مشکلاتی که در واردات وجود دارد، اهمیت استخراج منابع سنگ‌آهن داخل کشور روشن می‌شود.

مجموعه معادن سنگ‌آهن سنگان با ذخیره $1/2$ میلیارد تن، یکی از ذخایر عظیم سنگ‌آهن کشور محسوب می‌شود که به سه ناحیه شرقی، مرکزی و غربی تقسیم شده است. آنومالی‌های ناحیه شرقی در حال اکتشاف می‌باشند. همچنانی آنومالی‌های ناحیه غربی نیز جهت استخراج آماده شده و

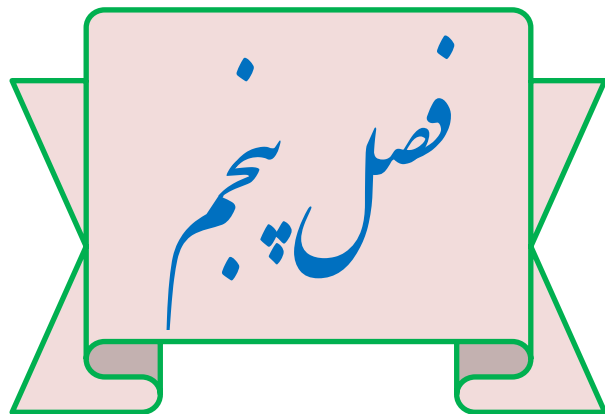
فصل چهارم

معرفی معادن سنگ آهن سگنان

در حال حاضر فقط از آنومالی B، استخراج می‌شود. اما آنومالی‌های ناحیه مرکزی با نامهای باغک و دردوی در حال استخراج بوده و معادن فعال کل مجموعه به شمار می‌روند.

میزان ذخیره معدن باغک ۶۰ میلیون تن و میزان ذخیره معدن دردوی ۱۲۰ میلیون تن می‌باشد. ظرفیت استخراج سالانه معدن باغک مطابق با برنامه‌ریزی‌های سال ۱۳۹۱ برابر با ۱۹۰ هزار تن سنگ آهن پرعيار و ۳۱۰ هزار تن سنگ آهن با عیار متوسط و ظرفیت استخراج سالانه معدن دردوی ۶۵۰ هزار تن سنگ آهن پرعيار و متوسط عیار در نظر گرفته شده است که پس از سنگ‌شکنی، در حدود ۴۰۰ هزار تن در سال سنگ آهن دانه‌بندی شده قابل عرضه خواهد بود.

با توجه به اینکه در سال، باید این میزان از سنگ آهن از این دو معدن استخراج شود، و جهت تولید این حجم از سنگ آهن به انفجار و حفر چال‌های انفجاری نیاز می‌باشد، می‌توان به اهمیت تعیین قابلیت حفاری در این دو معدن پی برد.



تعیین قابلیت حاری معادن

بآگ و درد وی

فصل پنجم

۱.۵ مقدمه

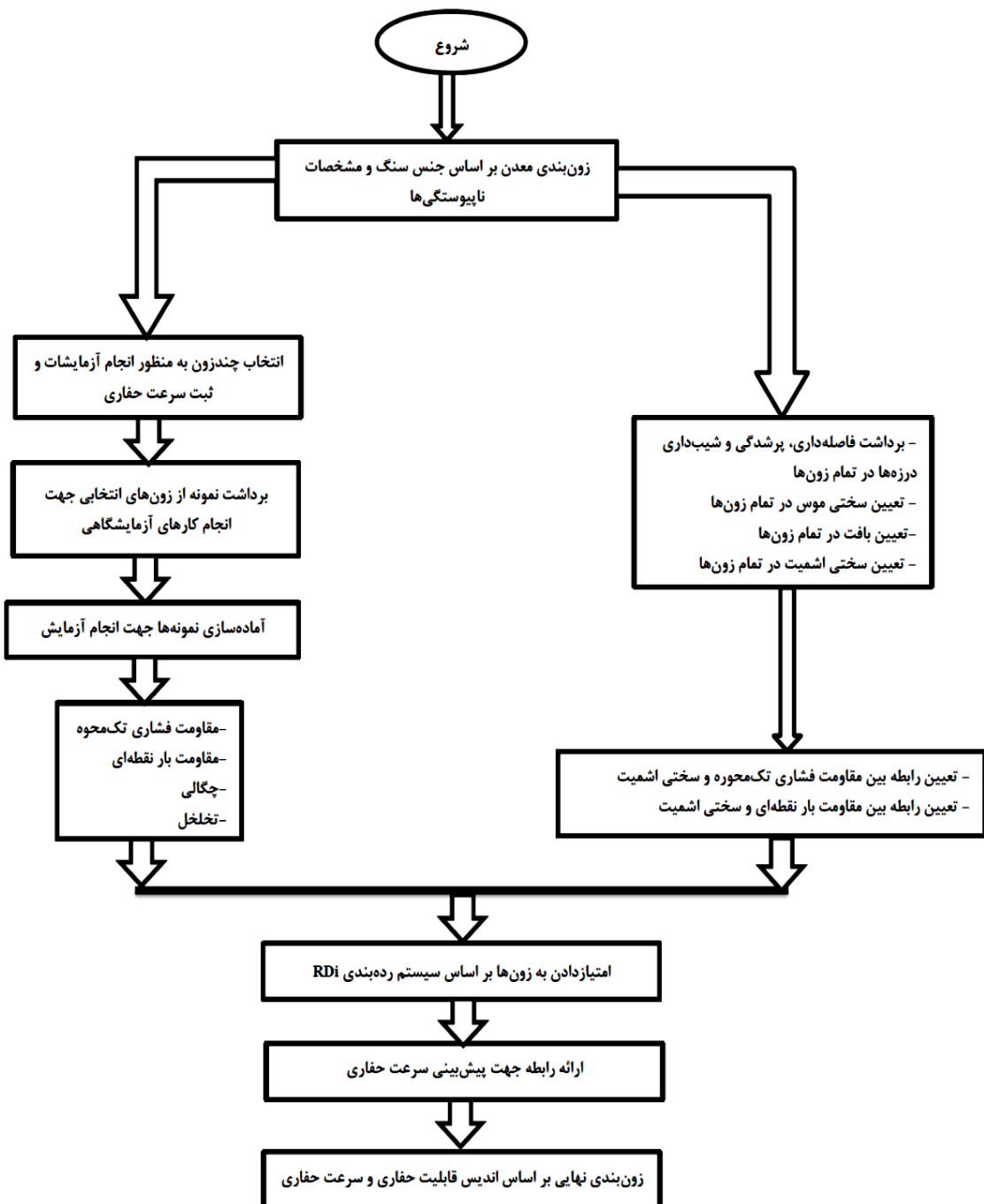
همانطور که قبلًاً اشاره شد، قابلیت حفاری عبارتست از: میزان چال حفر شده بر حسب طول (متر) در واحد زمان (معمولًاً دقیقه یا ساعت). با مشخص شدن متراز چالزنی مورد نیاز برای انفجار، بر طبق برنامه‌ریزی تولید، مدت زمان مورد نیاز برای حفر چال مشخص خواهد شد. با در اختیار داشتن نرخ نفوذ چالزنی در سنگ‌ها، می‌توان تعداد ماشین‌آلات حفاری مورد نیاز برای حفر متراز مشخصی از چال‌ها در طی زمان مشخصی را تعیین نمود. البته حالت معکوس مطالب فوق را می‌توان در نظر گرفت، یعنی بر اساس نرخ نفوذ سنگ‌ها و به تبع آن بر اساس زمان مورد نیاز برای حفر چال‌ها و تعداد ماشین‌آلات حفاری موجود، برنامه‌ریزی تولید صورت گیرد.

سیستم ردۀ بندی که برای تعیین قابلیت حفاری معادن باگک و دردوی مورد استفاده قرار گرفته است، سیستم ردۀ بندی RDI (اندیس قابلیت حفاری) می‌باشد. همانطور که قبلًاً اشاره شد، این سیستم ردۀ بندی در سال ۲۰۰۸ توسط حسینی و همکارانش ارائه شده است. در این طبقه‌بندی پارامترهای فیزیکی ماده‌سنگ (بافت و اندازه دانه‌ها)، پارامترهای مقاومتی ماده‌سنگ (سختی و مقاومت فشاری تکمحوره) و پارامترهای ساختاری توده‌سنگ (مشخصات درزه‌ها: فاصله‌داری، بازشدگی، پرشدگی و شیب) به منظور تخمین قابلیت حفاری سنگ مورد استفاده قرار گرفته است. استفاده توأم از خصوصیات ژئومکانیکی توده‌سنگ و ماده‌سنگ، پرهیز از به کارگیری پارامترهای همارزش و همارز، امتیازدهی منطقی و سهولت استفاده از آن، این سیستم را به صورت سیستمی جامع نسبت به سایر سیستم‌هایی که تاکنون ارائه شده، تبدیل کرده است.

در شکل (۱-۵)، مراحل انجام کار جهت تعیین قابلیت حفاری هر یک از معادن باگک و دردوی، آورده شده است.

فصل پنجم

تعیین قابلیت حفاری معادن باخک و دردودی



شکل ۱-۵ - مراحل مختلف انجام مطالعات صحرایی و آزمایشگاهی

همانطور که در این شکل مشاهده می‌شود، پس از زون‌بندی معادن مورد نظر بر اساس جنس سنگ و مشخصات ناپیوستگی‌ها، چند زون از هر معادن به منظور برداشت نمونه جهت تعیین مقاومت فشاری تک‌محوره، مقاومت بار نقطه‌ای، چگالی و تخلخل و ثبت سرعت حفاری انتخاب خواهد شد. از طرفی در تمام زون‌ها از جمله در زون‌های انتخابی، سختی موس، بافت، سختی اشمیت و مشخصات ناپیوستگی‌ها مانند فاصله‌داری، پرشدگی و زاویه بین امتداد چال و سطح درزه برداشت خواهد شد. پس از مطالعات آزمایشگاهی بر روی نمونه‌های برداشت شده از زون‌های انتخابی، با انجام تحلیل‌های رگرسیونی رابطه بین مقاومت فشاری و مقاومت بار نقطه‌ای با سختی اشمیت مشخص خواهد شد. پس از تعیین ارتباط بین پارامترهای ذکر شده، ضریب همبستگی هر کدام از این پارامترها که بیشتر باشد، جهت تعیین مقاومت فشاری سایر زون‌ها مورد استفاده قرار خواهد گرفت. همچنین اندیس قابلیت حفاری برای هر کدام از معادن در زون‌های انتخابی محاسبه شده و ارتباط بین این اندیس و سرعت حفاری در این زون‌ها مورد بررسی قرار خواهد گرفت. در نهایت با داشتن اندیس قابلیت حفاری در تمامی زون‌ها، با استفاده از رابطه تعیین شده بین سرعت حفاری و اندیس قابلیت حفاری در زون‌های انتخابی، تخمین قابلیت نفوذ در توده‌سنگ‌های سایر ترازها امکان-پذیر خواهد بود.

در ادامه، ابتدا به بررسی تعیین قابلیت حفاری در معادن باگک و سپس معادن دردوى پرداخته خواهد شد.

۲.۵ تعیین قابلیت حفاری توده‌سنگ در معادن باگک

۱.۲.۵ زون‌بندی

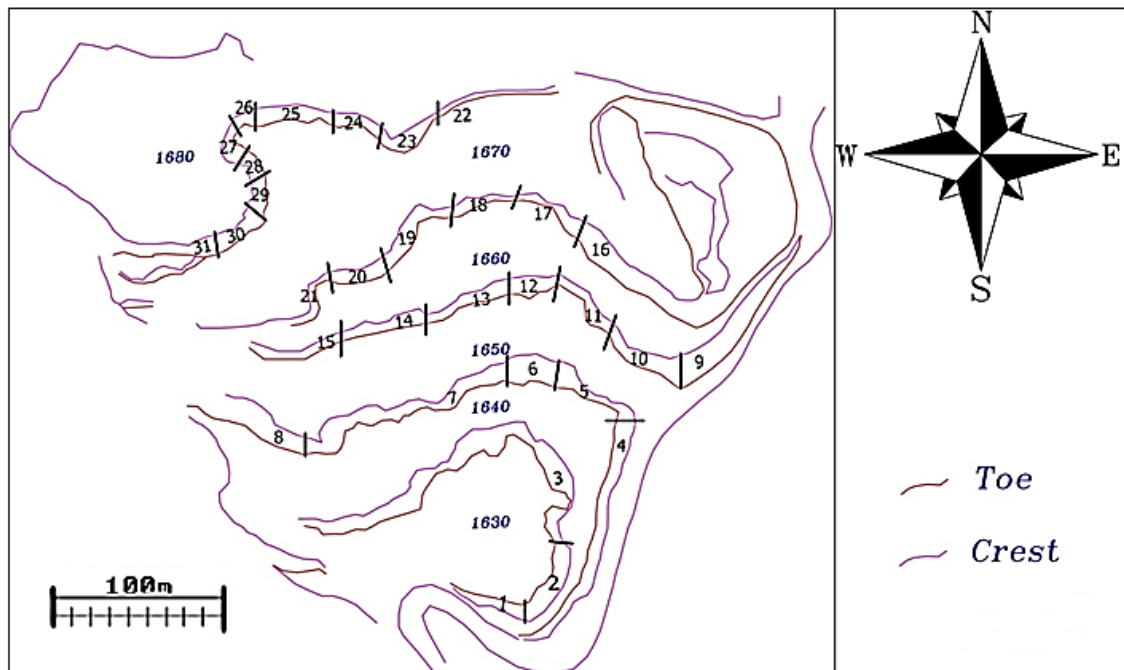
با توجه به پارامترهای مختلف توده‌سنگ و ماده‌سنگ که در سیستم رده‌بندی RDI ذکر شده است و با در نظر گرفتن این نکته که، در این معادن چالزنی جهت آتشباری، با توجه به جنس سنگ و نیز کم‌عیار یا پر‌عیار بودن مگنتیت موجود انجام می‌گیرد، ترازهای مختلف معادن با توجه به جنس

فصل پنجم

تعیین قابلیت حفاری معادن باگک و دردودی

سنگ و مشخصات درزهای مانند: فاصله‌داری، پرشدگی و شیب، به زون‌های مختلفی تقسیم شده، آنگاه قابلیت حفاری هر زون به طور جداگانه بررسی و تعیین می‌شود. بنابراین در این مرحله از کار، تمام ترازهای معدن باگک زون‌بندی شده است. در نهایت با توجه به تغییرات جنس سنگ و شرایط ناپیوستگی‌ها، این معدن به ۳۱ زون تقسیم شده است که در شکل (۲-۵)، ترازهای مختلف معدن باگک همراه با شماره زون و در جدول (۵-۱) نیز، جنس سنگ هر کدام از زون‌ها به تفکیک آورده شده است.

همانطور که اشاره شد، با توجه به اینکه در این معدن، جهت تولید آهن و یا برداشت باطله، آتشباری بر اساس جنس سنگ انجام می‌شود، بنابراین در این تحقیق ابتدا زون‌بندی بر اساس جنس سنگ و مشخصات ناپیوستگی‌ها انجام شده، آنگاه پس از امتیاز دادن بر اساس سیستم رده‌بندی RDi سرعت حفاری در هر یک از این زون‌ها پیش‌بینی شده است.



شکل ۲-۵- زون‌بندی معدن باگک

فصل پنجم

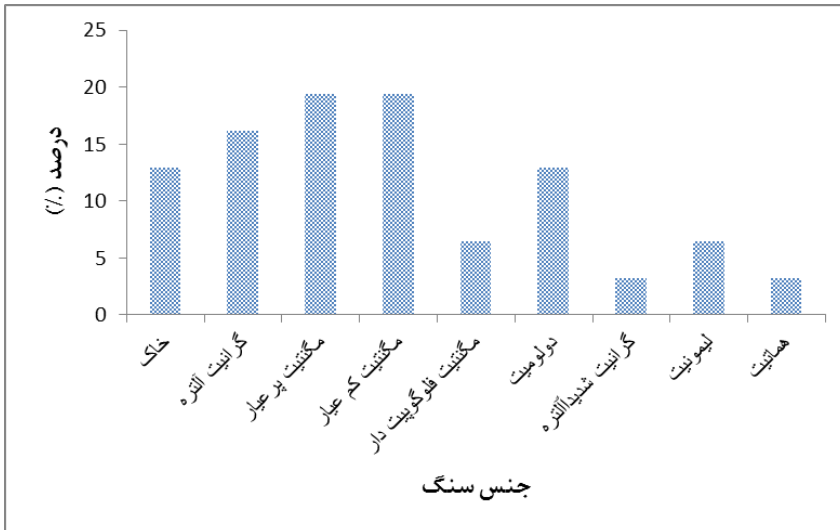
تعیین قابلیت حاره‌ی معادن باگک و دردودی

جدول ۱-۵- زون‌بندی معدن باگک همراه با جنس سنگ‌ها

جنس سنگ	تراز	شماره زون	جنس سنگ	تراز	شماره زون
مگنتیت کم‌عیار	۱۶۶۰	۱۷	خاک	۱۶۳۰	۱
مگنتیت پر‌عیار	۱۶۶۰	۱۸	گرانیت آلتره شده	۱۶۳۰	۲
مگنتیت کم‌عیار	۱۶۶۰	۱۹	مگنتیت پر‌عیار	۱۶۳۰	۳
دولومیت	۱۶۶۰	۲۰	خاک	۱۶۴۰	۴
مگنتیت پر‌عیار	۱۶۶۰	۲۱	مگنتیت کم‌عیار	۱۶۴۰	۵
خاک	۱۶۷۰	۲۲	مگنتیت فلوگوپیت‌دار	۱۶۴۰	۶
گرانیت شدیداً آلتره	۱۶۷۰	۲۳	مگنتیت کم‌عیار	۱۶۴۰	۷
لیمونیت	۱۶۷۰	۲۴	خاک	۱۶۴۰	۸
هماتیت	۱۶۷۰	۲۵	گرانیت آلتره شده	۱۶۵۰	۹
لیمونیت	۱۶۷۰	۲۶	مگنتیت فلوگوپیت‌دار	۱۶۵۰	۱۰
مگنتیت پر‌عیار	۱۶۷۰	۲۷	مگنتیت کم‌عیار	۱۶۵۰	۱۱
گرانیت آلتره شده	۱۶۷۰	۲۸	دولومیت	۱۶۵۰	۱۲
مگنتیت کم‌عیار	۱۶۷۰	۲۹	مگنتیت پر‌عیار	۱۶۵۰	۱۳
دولومیت	۱۶۷۰	۳۰	دولومیت	۱۶۵۰	۱۴
گرانیت آلتره شده	۱۶۷۰	۳۱	مگنتیت پر‌عیار	۱۶۵۰	۱۵
			گرانیت آلتره شده	۱۶۶۰	۱۶

در شکل (۳-۵)، درصد انواع سنگ‌های معدن باگک مشاهده می‌شود. با توجه به این شکل می-

توان ترتیب فراوانی سنگ‌های این معدن را به صورت زیر بیان کرد: مگنتیت پر‌عیار و کم‌عیار (٪/۳۸)، گرانیت‌آلتره (٪/۱۶)، دولومیت (٪/۱۳)، مگنتیت فلوگوپیت‌دار (٪/۷)، لیمونیت (٪/۷)، هماتیت (٪/۳) و گرانیت شدیداً آلتره (٪/۳).



شکل ۳-۵- نمودار ستونی درصد خاک و سنگ‌های مختلف

۲.۲.۵ اندازه‌گیری پارامترهای مربوط به ماده‌سنگ

با توجه به اینکه، برای استفاده از سیستم رده‌بندی RDI، باید پارامترهایی از ماده‌سنگ مانند بافت، مقاومت فشاری تکمحوره و سختی موس تعیین شوند، در ادامه به تعیین این پارامترها پرداخته می‌شود. همچنین مقاومت بار نقطه‌ای، چگالی، تخلخل و سختی اشمتیت نیز در این بخش تعیین گردیده است.

۱.۲.۲.۵ برداشت نمونه

با توجه به شکل (۳-۵) و فراوانی انواع سنگ‌ها در معدن باگک، نمونه‌ها از سنگ‌های غالب در این معدن، انتخاب شده است. اما به دلیل کمبود امکانات آزمایشگاهی و با توجه به این که تفاوت مگنتیت پر عیار و کم عیار فقط در عیار و شرایط ناپیوستگی‌های آن‌ها می‌باشد و از نظر مقاومتی تفاوتی با یکدیگر ندارند، تصمیم گرفته شد که از این معدن، جهت انجام آزمایش‌های مقاومت فشاری تکمحوره، مقاومت بار نقطه‌ای، چگالی و تخلخل، از زون‌های ۱۲ (دولومیت)، ۱۳ (مگنتیت پر عیار)، ۱۶ (گرانیت آلتراشده) و ۲۵ (هماتیت) و جهت تعیین بافت و سختی موس از تمامی زون‌ها، نمونه-

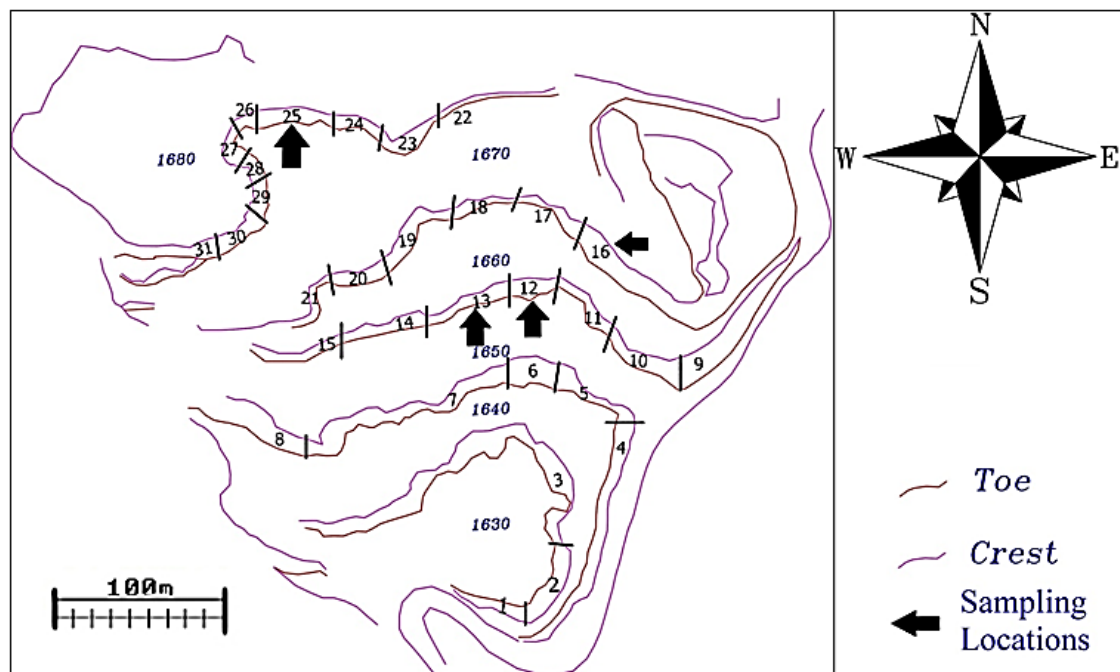
فصل پنجم

تعیین قابلیت حاره‌ی معادن باگک و دردودی

هایی جمع‌آوری شده و به آزمایشگاه منتقل شوند. در شکل (۴-۵) و (۵-۵)، نمونه‌های جمع‌آوری شده و محل انتخاب این نمونه‌ها مشاهده می‌شود.



شکل ۴-۵- نمونه‌های جمع‌آوری شده جهت انجام آزمایش و انتقال آن‌ها به آزمایشگاه دانشگاه صنعتی شاهروд



شکل ۵-۵- زون‌های انتخاب شده جهت جمع‌آوری نمونه از معدن باگک

فصل پنجم

تعیین قابلیت حاره‌ی معادن باخک و دردودی

۲.۲.۲.۵ مقاومت فشاری تک محوره

جهت تعیین مقاومت فشاری تکمحوره، از استاندارد ISRM استفاده شده است. طبق پیشنهاد ISRM، نسبت ارتفاع به قطر نمونه بین ۲/۵ تا ۳ و حداقل قطر نمونه ۵۴ میلیمتر (مغزه NX) می‌باشد. همانطور که در شکل (۶-۵)، مشاهده می‌شود، ابتدا با استفاده از دستگاه کرگیر، نمونه‌های استوانه‌ای مورد نظر تهیه شده، سپس بعد از برش و آماده‌سازی نمونه‌ها (شکل ۷-۵)، عملیات بارگذاری انجام شده است.



الف - دستگاه تهییه نمونه‌های استوانه‌ای
ب - نمونه‌های استوانه‌ای تهییه شده قبل از برش
شکل ۶-۵ - تهییه نمونه‌های استوانه‌ای

فصل پنجم



الف- دستگاه برش جهت برش و آماده سازی نمونه ها ب- نمونه های برش داده شده جهت عملیات بارگذاری

شکل ۵-۷-۵- آماده سازی نمونه ها جهت عملیات بارگذاری

برای نمونه در شکل (۸-۵)، نمونه دولومیت در زیر دستگاه بارگذاری مشاهده می شود.



الف- نمونه دولومیت قبل از عملیات بارگذاری

شکل ۸-۵- بارگذاری فشاری نمونه دولومیت

نتایج آزمایش مقاومت فشاری تک محوره در جدول (۲-۵) ذکر شده است. در قسمت پیوست،

اطلاعات مربوط به این آزمایش به طور کامل در جدول (۴۸-۷)، قابل مشاهده است.

فصل پنجم

تعیین قابلیت حاره‌ی معادن باگک و دردودی

جدول ۵-۲- نتایج آزمایش مقاومت فشاری تکمحوره در معدن باگک

نوع سنگ	مقاومت فشاری تکمحوره (MPa)	گرانیت آلتره شده	مگنتیت پرعيار	هماتیت	دولومیت
۹۵/۲	۱۱۹/۵۷	۶۰	۱۰۲/۱۶		

۳.۲.۲.۵ مقاومت بار نقطه‌ای

انجام آزمایش مقاومت فشاری تکمحوره، مستلزم آماده‌سازی دقیق نمونه و در اختیار داشتن دستگاه‌های گران و حساس می‌باشد و در عین حال، نتایج حاصل وابستگی شدیدی به شیوه بارگذاری دارد. بنابراین انجام دقیق و صحیح آزمایش مقاومت فشاری تکمحوره پرهزینه و وقت‌گیر است. به منظور رفع مشکلات فوق از مقاومت بار نقطه‌ای نیز، در این تحقیق استفاده شده است. به منظور انجام این آزمایش، نمونه‌هایی از محل زون‌های تعیین شده، جهت انجام آزمایش مقاومت بار نقطه‌ای انتخاب و در آزمایشگاه مهندسین مشاور کاوشگران مقدار مقاومت هر کدام از این نمونه‌ها تعیین شده است. برای انجام این آزمایش به علت نبود امکانات لازم جهت تهیه مغزه و یا نمونه بلوکی، از نمونه‌های کلوجه‌ای استفاده شده است. در شکل (۹-۵)، نمونه‌ای از مگنتیت معدن باگک، در حال بارگذاری در زیر دستگاه مقاومت بار نقطه‌ای مشاهده می‌شود. همچنین شکل (۱۰-۵)، قبل و بعد از بارگذاری این نمونه را نشان می‌دهد.

فصل پنجم

تعیین قابلیت حاره‌ی معادن باگک و دردی



شکل ۹-۵- آزمایش مقاومت بار نقطه‌ای نمونه شماره ۲ سنگ مغنتیت معدن باگک



الف- نمونه مغنتیت قبل از عملیات بارگذاری

ب- نمونه مغنتیت بعد از عملیات بارگذاری

شکل ۱۰-۵- نمونه شماره ۲ سنگ مغنتیت معدن باگک قبل و بعد از بارگذاری

نتایج آزمایش مقاومت بار نقطه‌ای نمونه‌های معدن باگک در جدول (۳-۵) ذکر شده است.

همچنین در قسمت پیوست، نتایج مربوط به این آزمایش به طور کامل در جدول (۷-۵)،

بیان شده است.

جدول ۳-۵- نتایج آزمایش مقاومت بار نقطه‌ای در معدن باگک

نوع سنگ	گرانیت آلتره شده	مگنتیت پرعيار	هماتیت	دولومیت
شاخص مقاومت بار نقطه‌ای تصحیح شده (MPa)	۴/۳۶	۶/۹۷	۱/۷۴	۴/۵۸
مقاومت بار نقطه‌ای (MPa)	۱۰۰/۱۷	۱۶۰/۲۴	۴۰	۱۰۵/۳۷

فصل پنجم

تعیین قابلیت حفاری معادن باگک و دردوی

از جداول (۲-۵) و (۳-۵) نتیجه‌گیری می‌شود که، نمونه‌های معدن باگک از نظر مقاومتی، نمونه‌های نسبتاً مقاومی می‌باشند و این بالا بودن مقاومت قابلیت حفاری را کاهش خواهد داد.

۴.۲.۵ تعیین سختی و بافت

دو پارامتر دیگر از ماده‌سنگ، سختی و بافت نمونه‌ها می‌باشد که باید تعیین شوند. جهت تعیین سختی، از مقیاس سختی موس استفاده شده است. در این آزمایش سختی سنگ یا کانی بر اساس قابلیت خراش‌برداری در اثر کشیده شدن یک جسم ثانوی روی آن مشخص می‌گردد. بافت نمونه‌های تمام زون‌ها، با توجه به سیستم رده‌بندی اشاره شده، به صورت چشمی و با نظر افراد متخصص تعیین شده است. در شکل (۱۱-۵)، نمونه سنگ‌ها به همراه جعبه سختی موس نشان داده شده است.



شکل ۱۱-۵ - نمونه سنگ‌ها به همراه جعبه سختی موس

در جدول (۴-۵)، سختی موس تمام نمونه‌های سنگی درج شده است.

فصل پنجم

تعیین قابلیت حفاری معادن باگک و دردودی

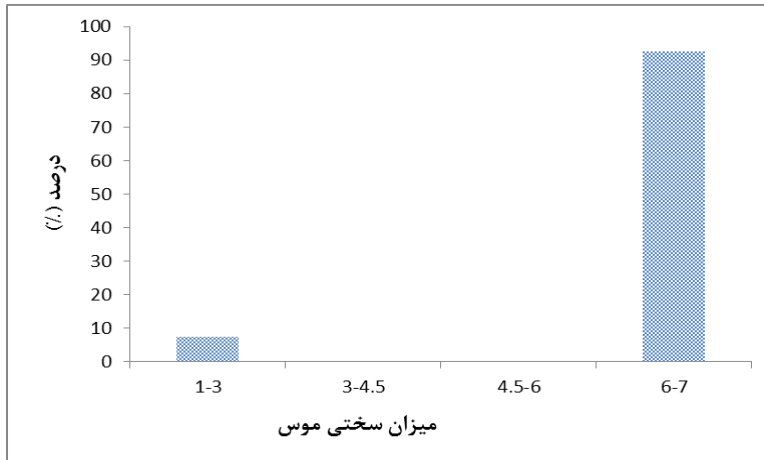
جدول ۴-۵- مقدار سختی موس نمونه‌های سنگی معدن باگک

شماره زون	جنس سنگ	میزان سختی	شماره زون	جنس سنگ	میزان سختی	میزان سختی	میزان سختی
۱	خاک	-	۱۷	مگنتیت کم عیار	۶-۷	۶-۷	مگنتیت کم عیار
۲	گرانیت آلترا شده	۶-۷	۱۸	مگنتیت پر عیار	۶-۷	۶-۷	مگنتیت پر عیار
۳	مگنتیت پر عیار	۶-۷	۱۹	مگنتیت کم عیار	۶-۷	۶-۷	مگنتیت کم عیار
۴	خاک	-	۲۰	دولومیت	۶-۷	۶-۷	مگنتیت پر عیار
۵	مگنتیت کم عیار	۶-۷	۲۱	مگنتیت پر عیار	۶-۷	۶-۷	مگنتیت کم عیار
۶	مگنتیت فلوگوبیت دار	۶-۷	۲۲	خاک	۶-۷	۶-۷	گرانیت شدیداً آلترا
۷	مگنتیت کم عیار	۶-۷	۲۳	گرانیت شدیداً آلترا	۶-۷	۶-۷	لیمونیت
۸	خاک	-	۲۴	هماتیت	۶-۷	۶-۷	لیمونیت
۹	گرانیت آلترا شده	۶-۷	۲۵	مگنتیت فلوگوبیت دار	۶-۷	۶-۷	مگنتیت پر عیار
۱۰	دولومیت	۶-۷	۲۶	مگنتیت کم عیار	۶-۷	۶-۷	گرانیت آلترا شده
۱۱	مگنتیت کم عیار	۶-۷	۲۷	مگنتیت پر عیار	۶-۷	۶-۷	مگنتیت کم عیار
۱۲	دولومیت	۶-۷	۲۸	گرانیت آلترا شده	۶-۷	۶-۷	گرانیت آلترا شده
۱۳	مگنتیت پر عیار	۶-۷	۲۹	مگنتیت کم عیار	۶-۷	۶-۷	دولومیت
۱۴	دولومیت	۶-۷	۳۰	دولومیت	۶-۷	۶-۷	مگنتیت پر عیار
۱۵	گرانیت آلترا شده	۶-۷	۳۱	گرانیت آلترا شده	۶-۷	۶-۷	گرانیت آلترا شده
۱۶	گرانیت آلترا شده	۶-۷					

با توجه به نمودار ستونی رسم شده برای سختی موس در معدن باگک مطابق شکل (۵-۱۲)، مشاهده می‌شود که ۹۳٪ سنگ‌های این معدن، دارای سختی ۶-۷ بوده، که در سیستم RDI مشاهده می‌شود که این پارامتر، قابلیت حفاری در این معدن را جزء سنگ‌های سخت محسوب شده و انتظار می‌رود که این پارامتر، قابلیت حفاری در این معدن را تحت تأثیر قرار داده و نرخ نفوذ را کاهش دهد.

فصل پنجم

تعیین قابلیت حفاری معادن باگک و دردودی



شکل ۱۲-۵ - نمودار ستونی درصد سختی موس در معدن باگک

در جدول (۵-۵) نیز، بافت نمونه‌های مختلف سنگی قابل مشاهده است.

جدول ۵-۵- بافت نمونه‌های سنگی معدن باگک

ردیف	شماره زون	جنس سنگ	ردیف	شماره زون	جنس سنگ
۱	۱	خاک	۲	۲	گرانیت آلتہ شده
۲	۲	گرانیت آلتہ شده	۳	۳	مگنتیت پر عیار
۳	۴	خاک	۴	۴	گرانیت آلتہ شده
۴	۵	مگنتیت کم عیار	۵	۵	مگنتیت کم عیار
۵	۶	مگنتیت فلوگوبیتدار	۶	۶	لایه‌ای و متراکم
۶	۷	مگنتیت کم عیار	۷	۷	متراکم
۷	۸	خاک	۸	۸	گرانیت آلتہ شده
۸	۹	گرانیت آلتہ شده	۹	۹	لایه‌ای و متراکم
۹	۱۰	مگنتیت فلوگوبیتدار	۱۰	۱۰	گرانیت آلتہ شده
۱۰	۱۱	مگنتیت کم عیار	۱۱	۱۱	گرانیت آلتہ شده
۱۱	۱۲	دولومیت	۱۲	۱۲	متراتکم
۱۲	۱۳	مگنتیت پر عیار	۱۳	۱۳	گرانیت آلتہ شده
۱۳	۱۴	دولومیت	۱۴	۱۴	متراتکم
۱۴	۱۵	مگنتیت پر عیار	۱۵	۱۵	گرانیت آلتہ شده
۱۵	۱۶	گرانیت آلتہ شده	۱۶	۱۶	گرانیت آلتہ شده

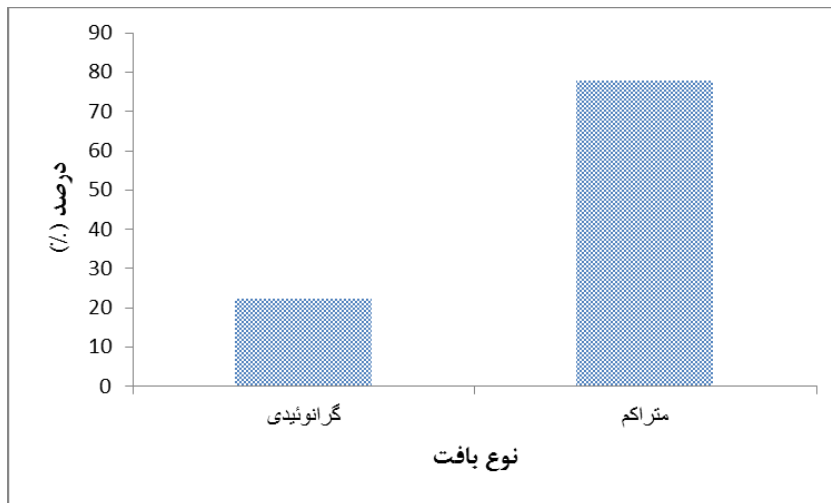
همانطور که در شکل (۱۳-۵)، مشاهده می‌شود، ۷۸٪ بافت سنگ‌های موجود در این معدن،

بافت متراکم می‌باشد، که در سیستم رده‌بندی RDi، به لحاظ تأثیر منفی بر قابلیت حفاری، بدترین

فصل پنجم

تعیین قابلیت حفاری معادن باگک و دردودی

بافت بوده و دارای کمترین امتیاز است. بنابراین انتظار می‌رود که این ویژگی نیز قابلیت حفاری در این معدن را تحت تأثیر قرار داده و آن را کاهش دهد.



شکل ۱۳-۵ - نمودار ستونی درصد انواع بافت در معدن باگک

۵.۲.۵ تعیین سختی اشمیت

همانطور که قبلًاً اشاره شد، سختی اشمیت، کاربردهای مختلفی در طبقه‌بندی سنگ‌ها، و تعیین خواص مهندسی آن‌ها دارد. دیر و میلر^۱ در سال ۱۹۶۵، در مطالعاتی که به منظور طبقه‌بندی سنگ‌ها بر روی دامنه وسیعی از آن‌ها از ۲۸ محل مختلف انجام دادند، از سختی اشمیت استفاده کردند و به این نتیجه رسیدند که، سختی اشمیت با مقاومت فشاری تکمحوره، ضریب همبستگی معادل ۰/۸۸ دارد. همچنین آن‌ها با ضرب کردن سختی اشمیت در چگالی خشک سنگ، رابطه‌ای بین مقاومت فشاری تکمحوره و سختی اشمیت به دست آوردند که، دارای ضریب ۰/۹۴۳ باشد. با توجه به مطالعات بیان شده، چکش اشمیت می‌تواند به منظور تخمین سریع و ارزان مقاومت فشاری تکمحوره سنگ در صحراء استفاده شود (فهیمی‌فر و سروش، ۱۳۸۰).

^۱ Deer & Miller

فصل پنجم

با نظر به این نکته که، در سیستم رده‌بندی مورد استفاده در این تحقیق، تعیین مقاومت فشاری سنگ یک پارامتر کاملاً ضروری می‌باشد و تعیین مقاومت فشاری تکمحوره چه در آزمایشگاه و چه به صورت مقاومت بار نقطه‌ای هزینه و وقت زیادی را می‌طلبد، بنابراین به نظر می‌رسد، اگر بتوان در چند زون مشخص، رابطه‌ای بین سختی اشمتیت و مقاومت فشاری تکمحوره و یا مقاومت بار نقطه‌ای پیدا کرد، آنگاه با تعمیم این رابطه برای بقیه زون‌ها، می‌توان با صرف هزینه کمتر و با دقت نسبتاً خوب، مقاومت فشاری یا بار نقطه‌ای تمام نمونه‌های سنگی سایر زون‌ها را با استفاده از سختی اشمتیت ماده‌سنگ، به دست آورد (جدول ۶-۵).

جهت اندازه‌گیری سختی اشمتیت در هر یک از زون‌ها، ۲۰ آزمایش انجام شده است، سپس با حذف نیمی از داده‌هایی که مقدار کمتری دارند، میانگین ۱۰ داده باقی‌مانده محاسبه شده و در نهایت با ضرب کردن این مقدار در ضریب تصحیح، سختی اشمتیت در هر زون به دست آمده است.

جدول ۶-۵- سختی اشمتیت نمونه‌های سنگی معدن باگ

شماره زون	جنس سنگ	شماره زون	جنس سنگ	شماره زون	سختی اشمتیت
۱	خاک	۱۷	مگنتیت کم عیار	۵۶/۷۸	-
۲	گرانیت آلتره شده	۱۸	مگنتیت پر عیار	۵۴/۰۸	۳۷/۲۶
۳	مگنتیت پر عیار	۱۹	مگنتیت کم عیار	۵۴/۶۵	۵۳/۸۲
۴	خاک	۲۰	دولومیت	۴۹/۸۶	-
۵	مگنتیت کم عیار	۲۱	مگنتیت پر عیار	۵۵/۸۲	۵۴/۲۳
۶	مگنتیت فلوگوپیت‌دار	۲۲	خاک	-	۴۳/۲۴
۷	مگنتیت کم عیار	۲۳	گرانیت شدیداً آلتره	۵۵/۹۴	۵۴/۸
۸	خاک	۲۴	لیمونیت	-	-
۹	گرانیت آلتره شده	۲۵	هماتیت	۴۴/۳۴	۵۴/۶
۱۰	مگنتیت فلوگوپیت‌دار	۲۶	لیمونیت	-	۴۱/۷۸
۱۱	مگنتیت کم عیار	۲۷	مگنتیت پر عیار	۵۶/۵۸	۵۴/۱۴
۱۲	دولومیت	۲۸	گرانیت آلتره شده	۵۴/۷۴	۵۱/۰۶
۱۳	مگنتیت پر عیار	۲۹	مگنتیت کم عیار	۵۶/۹۵	۵۶/۹۵
۱۴	دولومیت	۳۰	دولومیت	۵۱/۰۶	۴۸/۷۵
۱۵	گرانیت آلتره شده	۳۱	مگنتیت پر عیار	۵۵/۵	۵۷/۸
۱۶	گرانیت آلتره شده				۵۵/۹۴

فصل پنجم

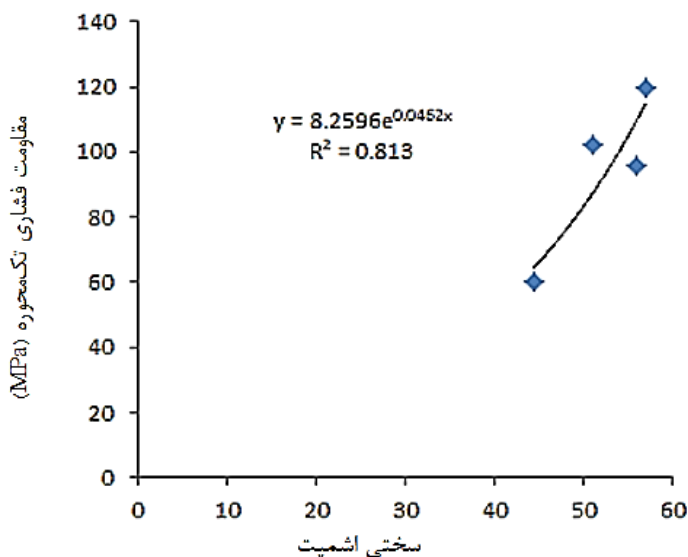
تعیین قابلیت حاره‌ی معادن باگک و دردودی

۶.۲.۵ تعیین ارتباط بین مقاومت فشاری تکمحوره و مقاومت بار نقطه‌ای با سختی

ashmei در زون‌های انتخابی

همانطور که اشاره شد، در سیستم رده‌بندی مورد استفاده در این تحقیق، تعیین مقاومت فشاری سنگ، یک پارامتر کاملاً ضروری می‌باشد و تعیین مقاومت فشاری تکمحوره به روش آزمایشگاهی و یا با استفاده از روش غیر مستقیم به صورت مقاومت بار نقطه‌ای هزینه و وقت زیادی را می‌طلبد، بنابراین به نظر می‌رسد، اگر بتوان در زون‌های مشخص شده در شکل (۵-۵)، رابطه‌ای بین سختی اشمهی و مقاومت فشاری تکمحوره و یا مقاومت بار نقطه‌ای پیدا کرد، آنگاه می‌توان با تعیین سختی اشمهی زون‌های دیگر و جایگذاری آن در این رابطه، با صرف هزینه کمتر و با دقت نسبتاً خوب، مقاومت فشاری یا بار نقطه‌ای نمونه‌های سنگی سایر زون‌ها را تخمین زد.

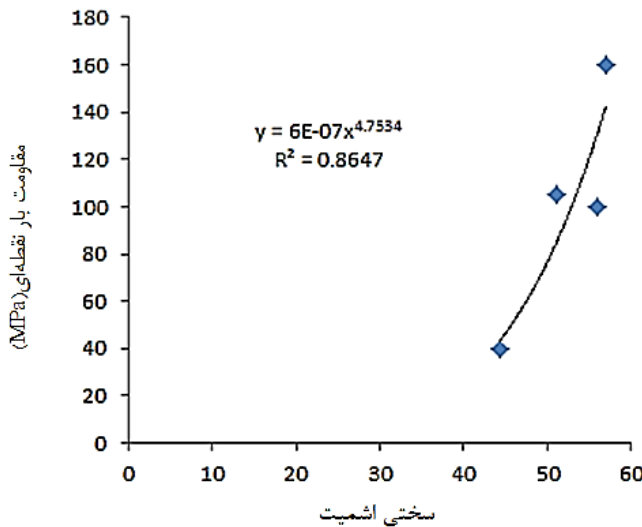
در اشکال (۱۴-۵) و (۱۵-۵)، به ترتیب نمودار ارتباط بین مقاومت فشاری تکمحوره با سختی اشمهی و مقاومت بار نقطه‌ای و سختی اشمهی مشاهده می‌شود.



شکل ۱۴-۵-نمودار ارتباط بین مقاومت فشاری تکمحوره و چکش اشمهی در معدن باگک

فصل پنجم

تعیین قابلیت حاره‌ی معادن باگک و دردی



شکل ۱۵-۵ - نمودار ارتباط بین مقاومت بار نقطه‌ای و چکش اشمیت در معدن باگک

هر چه تعداد نمونه‌ها بیشتر باشد، اعتبار رابطه پیشنهادی نیز بیشتر خواهد بود، ولی همانطور که قبلًا اشاره شد، به دلیل کمبود امکانات آزمایشگاهی، فاصله زیاد معدن تا آزمایشگاه و هزینه بالای حمل نمونه‌ها و با توجه به نمودار ستونی رسم شده برای درصد سنگ‌های مختلف این معدن، چهار نمونه از سنگ‌های غالب آن، جهت انجام آزمایش مقاومت فشاری تکمحوره و هشت نمونه به منظور آزمایش مقاومت بار نقطه‌ای انتخاب شده است. با توجه به اشکال بالا، ضریب همبستگی بین مقاومت فشاری تکمحوره و سختی اشمیت ۰/۸۱ و بین مقاومت بار نقطه‌ای و سختی اشمیت ۰/۸۶ می‌باشد. مشاهده می‌شود که، این همبستگی بین مقاومت بار نقطه‌ای و سختی اشمیت بیشتر از همبستگی بین مقاومت فشاری تکمحوره و سختی اشمیت می‌باشد. بنابراین رابطه‌ای که برای بدستآوردن مقاومت فشاری زون‌های دیگر استفاده شده است، رابطه بین مقاومت بار نقطه‌ای و سختی اشمیت می‌باشد (رابطه ۱-۵).

$$ucS = 6 \times 10^{-7} \times SH^{4.7534} \quad (1-5)$$

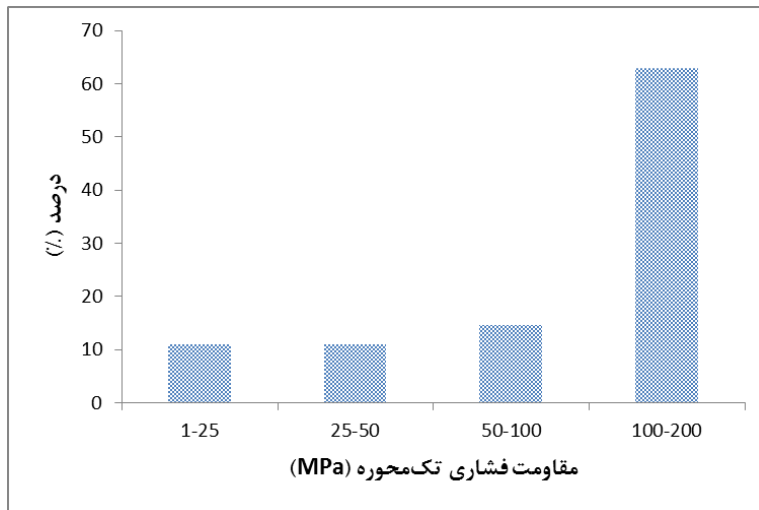
که در آن:

ucS: مقاومت بار نقطه‌ای (MPa)

فصل پنجم

SH: سختی اشمیت

پس از به دست آوردن مقاومت فشاری تکمحوره برای تمامی سنگ‌های زون‌های مختلف، با استفاده از نمودار ستونی در شکل (۱۶-۵)، بازه‌های مختلف مقاومتی برای سنگ‌های این معدن، نشان داده شده است.



شکل ۱۶-۵ - نمودار ستونی درصد مقاومت فشاری تکمحوره در معدن باغک

همانطور که در این شکل مشاهده می‌شود، بیش از ۶۳٪ سنگ‌های این معدن در بازه مقاومتی ۱۰۰-۲۰۰ مگاپاسکال قرار دارند که مربوط به مگنتیت، گرانیت و دولومیت می‌شوند، که در سیستم رده‌بندی RDI جزء سنگ‌های با مقاومت بالا محسوب شده و از این نظر سرعت حفاری را تحت تأثیر قرار داده و آن را کاهش می‌دهند.

۷.۲.۲.۵ چگالی و تخلخل

در این بخش از تحقیق، برای اینکه بتوان با توجه به تخلخل و چگالی به دست آمده یک قضاویت نسبی در مورد قابلیت حفاری انجام داد، این دو پارامتر در آزمایشگاه مکانیک سنگ دانشگاه صنعتی شاهروд، اندازه‌گیری شده و نتایج آن در جدول (۷-۵)، آمده است.

فصل پنجم

تعیین قابلیت حاره‌ی معادن باگک و دردی

جدول ۷-۵- نتایج آزمایش چگالی و تخلخل معدن باگک

دولومیت	هماتیت	مگنتیت پر عیار	گرانیت آلتره شده	نوع سنگ
۳/۰۲	۴	۴/۶۱	۲/۶۱	چگالی (g/cm^3)
۱/۱۳	۱۳/۱۸	۰/۳۸	۰/۹۳	تخلخل (%)

برای انجام آزمایش‌ها، نمونه‌های سنگی از قسمت بکر سنگ انتخاب شده است. اطلاعات مربوط به مقادیر چگالی و تخلخل، به طور کامل در قسمت پیوست در جدول (۴۶-۷)، توضیح داده شده است. در شکل (۱۷-۵)، ابزار مورد استفاده جهت اندازه‌گیری چگالی و تخلخل نشان داده شده است.



ب- دستگاه خشک کن جهت خشک کردن نمونه‌ها

الف- دستگاه خشک کن جهت خشک کردن نمونه‌ها

شکل ۱۷-۵- ابزار مورد استفاده برای تعیین چگالی و تخلخل

۳.۲.۵ پارامترهای مربوط به تودهسنگ

با توجه به سیستم رده‌بندی RDI، مشاهده می‌شود که، به منظور استفاده از این سیستم رده‌بندی، باید مشخصات مربوط به تودهسنگ شامل: فاصله‌داری درزه‌ها، پرکننده درزه‌ها و شیبداری

فصل پنجم

تعیین قابلیت حفاری معادن باخک و دردودی

درزه‌ها که زاویه بین امتداد چال و سطح درزه می‌باشد، مشخص شود. بنابراین در این بخش از تحقیق، این پارامترها اندازه‌گیری و ثبت شده است.

وضعیت ناپیوستگی‌ها یکی از مهم‌ترین عوامل مؤثر بر قابلیت حفاری می‌باشد. همانطور که اشاره شد، یکی از مزیت‌هایی که سیستم رده‌بندی RDi نسبت به سایر رده‌بندی‌ها دارد، در نظر گرفتن وضعیت ناپیوستگی‌ها و در واقع تأثیر دادن ویژگی‌هایی از توده‌سنگ بر قابلیت حفاری است. در بعضی از زون‌ها که بیش از یک دسته‌درزه وجود دارد، وضعیت دسته‌درزه‌ای در نظر گرفته شده که بدترین وضعیت را دارد و نسبت به دسته‌درزه‌های دیگر قابلیت حفاری را بیشتر تحت تأثیر قرار می‌دهد. در این مرحله از تحقیق، زاویه بین امتداد چال و سطح درزه، فاصله‌داری و پرشدگی درزه‌ها برداشت شده است. در شکل (۱۸-۵)، نمونه‌ای از پرشدگی درزه‌ها توسط میکا نشان داده شده است.

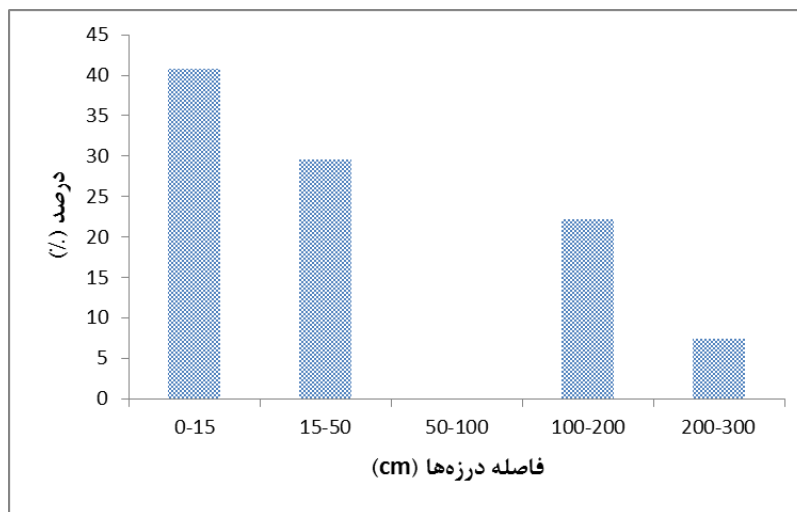


شکل ۱۸-۵ - پرشدگی درزه‌ها توسط میکا

فصل پنجم

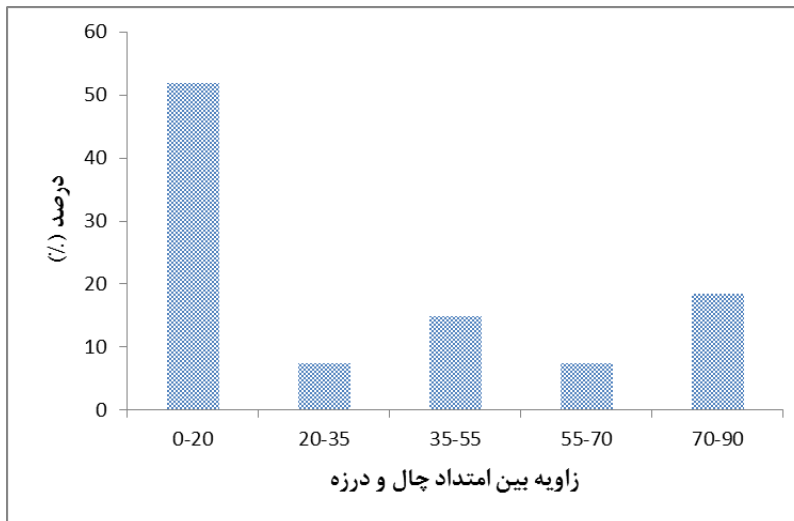
تعیین قابلیت حفاری معادن باگک و دردوی

با توجه به شکل (۱۹-۵)، که نمودار ستونی فاصله‌داری درزه‌ها در بازه‌های مختلف را در معدن باگک نشان می‌دهد، مشاهده می‌شود که، فاصله‌داری در این معدن متفاوت می‌باشد. به طوری که ۴۱٪ فاصله‌داری در بازه ۱۵-۰ سانتی‌متر، ۳۰٪ در بازه ۱۵-۵۰ سانتی‌متر، ۲۲٪ در بازه ۱-۲ متر و بیش از ۷٪ در بازه بیش از ۲ متر می‌باشد. بنابراین نتیجه‌گیری می‌شود که بیش از ۷۱٪ از فاصله‌داری درزه‌ها کمتر از ۵۰ متر بوده که این امر پیوستگی محیط حفاری را کاهش داده و موجب کاهش نرخ نفوذ خواهد شد.



شکل ۱۹-۵- نمودار ستونی درصد فاصله‌داری درزه‌ها در معدن باگک

یکی دیگر از پارامترهایی که در عملیات برداشت ویژگی‌های ناپیوستگی‌ها، ثبت شده است، زاویه بین امتداد چال و سطح درزه می‌باشد. این کار نیز در تمام زون‌ها برای درزه‌ها انجام شده است، که نمودار ستونی بازه‌های مختلف این زاویه در شکل (۳۰-۵)، نشان داده شده است.



شکل ۲۰-۵ - نمودار ستونی درصد زاویه‌داری بین امتداد چال و سطح درزه در معدن باگک

با توجه به نمودار ستونی مربوط به فراوانی زاویه بین امتداد چال و سطح درزه، مشاهده می‌شود که، بیش از ۵۲٪ زوایای اندازه‌گیری شده در معدن بین ۰-۲۰ درجه، ۷٪ زوایا بین ۳۵-۴۰، ۱۵٪ بین ۴۵-۵۵، ۷٪ بین ۵۵-۶۰ و ۱۹٪ آن‌ها زاویه‌ای بین ۶۰-۹۰ درجه دارند. با توجه به این نکته که، با افزایش این زاویه، نرخ نفوذ نیز افزایش پیدا می‌کند، مشاهده می‌شود که بیش از نیمی از زوایای اندازه‌گیری شده، اندازه‌ای زیر ۲۰ درجه دارند که این امر، تأثیر منفی بر روی نرخ نفوذ خواهد داشت.

۴.۲.۵ ثبت سرعت حفاری در زون‌های انتخابی

با توجه به اینکه یکی از اهداف این تحقیق تعیین سرعت حفاری در بخش‌های مختلف معدن می‌باشد، اگر بتوان رابطه‌ای بین اندیس قابلیت حفاری (RDi) و سرعت حفاری در چند زون انتخابی، در شکل (۵-۵) به دست آورده، می‌توان با به دست آوردن اندیس قابلیت حفاری در سایر زون‌ها و با استفاده از رابطه موجود، سرعت حفاری در سایر زون‌ها را نیز تعیین نمود. با توجه به مطالب بیان شده، در این قسمت از تحقیق سرعت حفاری در زون‌های اشاره شده در بخش‌های قبل اندازه‌گیری شده است. در جداول (۸-۵) و (۹-۵)، به ترتیب سرعت حفاری و مشخصات دستگاه‌های حفار به همراه کمپرسورهای مورد استفاده بیان شده است.

فصل پنجم

تعیین قابلیت حفاری معادن باگک و دردودی

جدول ۸-۵- سرعت حفاری در زون‌های مورد نظر معدن باگک

شماره زون	جنس سنگ	سرعت(m/min)	قطر چال(mm)
۱۲	دولومیت	۰/۲۷	۱۱۵
۱۳	مگنتیت پرعیار	۰/۲۸	۱۱۵
۱۶	گرانیت آلترا شده	۰/۴۵	۱۱۵
۲۵	هماتیت	۰/۴۱	۱۱۵

جدول ۹-۵- مشخصات دستگاه‌های حفار و کمپرسورهای هوای فشرده معدن باگک

نام دستگاه	فشار پشت (bar)	دور موتور (RPM) کمپرسور	نوع کمپرسور	دور مته	فشار هوا (bar)	قطر حفاری(mm)
TYI368A	-	۲۱۵۰-۲۱۷۰	Atlascopco	-	۱۲	۱۱۵
TYI368A	-	۲۱۵۰-۲۱۷۰	Ingersoll Rand	-	۱۲	۱۱۵

همچنین در شکل (۲۱-۵)، تصویر ماشین حفار و کمپرسورهای مورد استفاده این دستگاه‌ها

مشاهده می‌شود.



شکل ۲۱-۵ - دستگاه حفاری TYI368A در حال حفاری و کمپرسورهای هوای فشرده در معدن باگک

۵.۲.۵ محاسبه اندیس قابلیت حفاری در زون‌های انتخابی

در این قسمت، اندیس قابلیت حفاری برای زون‌های مشخص شده در شکل (۵-۵)، محاسبه شده است، تا در بخش‌های بعدی بتوان یک رابطه مناسب بین اندیس قابلیت حفاری و سرعت حفاری ثبت شده در این زون‌ها به دست آورد. بعد از محاسبه اندیس قابلیت حفاری برای سایر زون‌ها و جایگذاری آن در این رابطه، سرعت حفاری را می‌توان تخمین زد.

در جدول (۱۰-۵)، بر اساس سیستم ردبهندی RDi، بعد از امتیازدهی به پارامترهای این سیستم، اندیس قابلیت حفاری در زون‌های مورد نظر محاسبه شده است.

فصل پنجم

تعیین قابلیت حفاری معادن باگک و دردوی

جدول ۱۰-۵ - اندیس قابلیت حفاری برای زون‌های مشخص شده معدن باگک

تراز	شماره زون	جنس سنگ	امتیاز مقاومت فشاری تکمحوره	امتیاز بافت	امتیاز سختی	امتیاز فاصله‌داری درزه‌ها	امتیاز پرکننده درزه‌ها	امتیاز شبیداری درزه‌ها	سرعت ثبت شده	RDi
۱۶۷۰	۱۶۶۰	۱۶۵۰	۱۶۵۰	۱۲						
۲۵	۱۶	۱۳								
هماتیت	گرانیت آلتره	مگنتیت پرعيار	دولومیت							
۱۶	۶	۶	۱۱							
۱	۷	۱	۱							
۴	۴	۴	۴							
۵	۵	۵	۱							
۱۵	۱۰	۱۰	۱۵							
۱	۱۲	۸	۱							
۰/۴۱	۰/۴۵	۰/۲۸	۰/۲۷							
۴۲	۴۴	۳۴	۳۳							

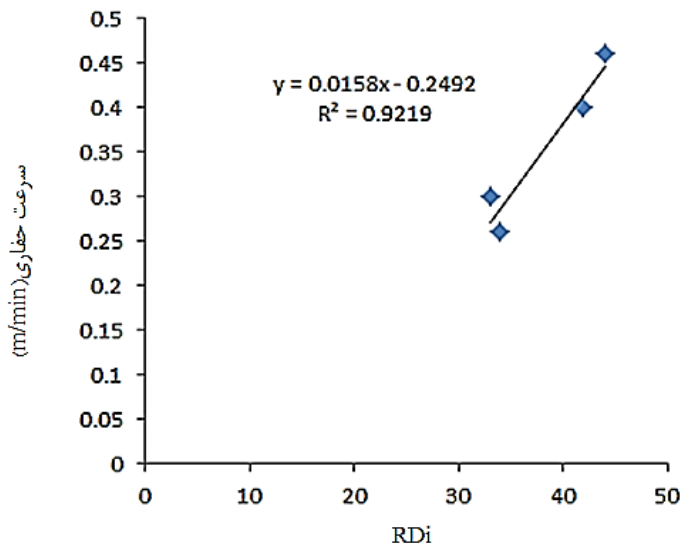
در این جدول ، با مشخص شدن اندیس قابلیت حفاری در چهار زون تعیین شده در معدن باگک، مشاهده می‌شود که سرعت حفاری در دولومیت و مگنتیت، آهسته-متوسط و در گرانیت آلتره و هماتیت متوسط می‌باشد. البته سرعتی که در این زون‌ها ثبت شده این مطلب را به خوبی نشان می‌دهد.

۶.۲.۵ ارتباط بین RDi و سرعت حفاری

اگر بتوان یک رابطه مناسب بین اندیس قابلیت حفاری و سرعت حفاری ثبت شده در زون‌های انتخاب شده به دست آورد، می‌توان پس از محاسبه این اندیس برای سایر زون‌ها و جایگذاری آن در این رابطه، سرعت حفاری را به راحتی تخمین زد.

در شکل (۲۲-۵) ارتباط بین اندیس قابلیت حفاری و سرعت حفاری، نشان داده شده است.

فصل پنجم



شکل ۵-۲۲-۵- نمودار ارتباط بین RDi و سرعت حفاری در معدن باگ

رابطه (۲-۵)، این ارتباط را بیان می کند:

$$v = 0.0158RDi - 0.2492 \quad (2-5)$$

v: سرعت حفاری (m/min)

RDi : اندیس قابلیت حفاری

۷.۲.۵ امتیازدهی به هر کدام از زون‌ها بر اساس سیستم رده‌بندی RDi

پس از تعیین روابط بین اندیس قابلیت حفاری و سرعت حفاری، ابتدا مقاومت فشاری تمام زون‌ها را با استفاده از رابطه (۱-۵) تعیین کرده، آنگاه بعد از امتیازدهی به تمامی پارامترهای موجود در سیستم رده‌بندی RDi، این اندیس را محاسبه کرده و نهایتاً می‌توان با استفاده از رابطه (۲-۵)، سرعت حفاری را در هر یک از زون‌ها، محاسبه کرد.

به طور نمونه در جداول (۱۱-۵) و (۱۲-۵)، تمام مشخصات دو زون از معدن باگ و امتیازات مربوط به آن‌ها در سیستم رده‌بندی RDi، درج شده است. در اشکال (۲۳-۵) و (۲۴-۵)، نمای کلی این زون‌ها مشاهده می‌شود.

فصل پنجم

تعیین قابلیت حرارتی معادن باگک و دردودی

جدول ۱۱-۵- مشخصات زون شماره ۲۵ معدن باگک

معدن: باگک	تراز: ۱۶۷۰	زون: ۲۵	جنس سنگ: هماتیت
پارامترها			پرشدگی: هماتیت و لیمونیت
امتیاز	۴۴/۳۴		
۱	متراکم		
۱۶	۴۰/۳۷		
۴	۶-۷		Mohs.H
۵	۰/۴		j.s
۱۵	۳		j.p
۱	۱۰		j.d
متوسط	۴۲		RDi
	۰/۴۱		V

مشخصات کامل هر زون، همراه با امتیازات و سرعت مربوطه، هم به صورت کیفی و هم به صورت کمی در بخش پیوست در جداول (۱-۷) تا (۷-۲۷) ذکر شده است.



شکل ۲۳-۵- تصویری از زون شماره ۲۵ (هماتیت) معدن باگک

فصل پنجم

تعیین قابلیت حفاری معادن باگک و دردوى

جدول ۱۲-۵- مشخصات زون شماره ۱۱ معدن باگک

جنس سنگ: مگنتیت کم عیار	زون: ۱۱	تراز: ۱۶۵۰	معدن: باگک
پارامترها			
امتیاز	۵۶/۱۴	sh.H	
۱	متراکم	Te	
۶	۱۲۳/۹۲	UCS	
۴	۶-۷	Mohs.H	
۱۳	۱-۲	j.s	
۱۵	بسته	j.p	
۶	۴۵	j.d	
متوسط	۴۵	RDi	
	۰/۴۶	V	



شکل ۲۴-۵- تصویری از زون شماره ۱۱ (مگنتیت کم عیار) معدن باگک

در جدول (۱۳-۵)، امتیاز مربوط به پارامترهای مختلف ماده سنگ و توده سنگ در زون های معدن

باگک محاسبه شده، سپس اندازه قابلیت حفاری و سرعت حفاری تخمین زده شده، درج شده است.

فصل پنجم

تعیین قابلیت حفاری معادن باگک و دردوی

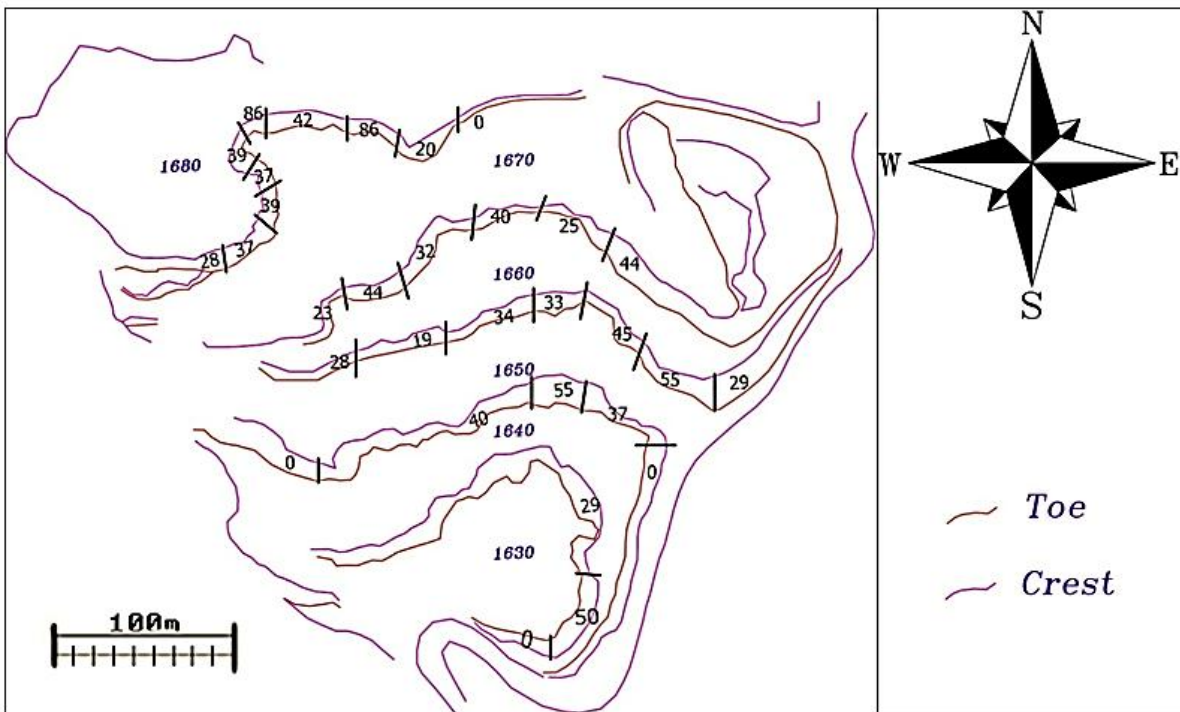
جدول ۱۳-۵- جدول امتیازات نهایی بر اساس سیستم طبقه‌بندی RDI در معدن باگک

سرعت حفاری (کمی)	سرعت حفاری (کیفی)	RDI	شیب- داری درزهای داری درزهای	پرکننده درزهای	- فاصله- داری درزهای	سختی موس	بافت	ucs	زون
-	-	-	-	-	-	-	-	-	۱
۰/۵۴	متوسط	۵۰	۱	۱۵	۱	۴	۷	۲۲	۲
۰/۲۱	آهسته-متوسط	۲۹	۳	۱۰	۵	۴	۱	۶	۳
-	-	-	-	-	-	-	-	-	۴
۰/۳۴	آهسته-متوسط	۳۷	۶	۱۵	۵	۴	۱	۶	۵
۰/۶۲	متوسط	۵۵	۶	۱۵	۱۳	۴	۱	۱۶	۶
۰/۳۸	آهسته-متوسط	۴۰	۱	۱۵	۱۳	۴	۱	۶	۷
-	-	-	-	-	-	-	-	-	۸
۰/۲۱	آهسته-متوسط	۲۹	۱	۱۰	۱	۴	۷	۶	۹
۰/۶۲	متوسط	۵۵	۶	۱۵	۱۳	۴	۱	۱۶	۱۰
۰/۴۶	متوسط	۴۵	۶	۱۵	۱۳	۴	۱	۶	۱۱
۰/۲۷	آهسته-متوسط	۳۳	۱	۱۵	۱	۴	۱	۱۱	۱۲
۰/۲۹	آهسته-متوسط	۳۴	۸	۱۰	۵	۴	۱	۶	۱۳
۰/۰۵	آهسته	۱۹	۱	۱	۱	۴	۱	۱۱	۱۴
۰/۱۹	آهسته-متوسط	۲۸	۱	۱۵	۱	۴	۱	۶	۱۵
۰/۴۵	متوسط	۴۴	۱۲	۱۰	۵	۴	۷	۶	۱۶
۰/۱۵	آهسته-متوسط	۲۵	۳	۱۰	۱	۴	۱	۶	۱۷
۰/۳۸	آهسته-متوسط	۴۰	۱	۱۵	۱۳	۴	۱	۶	۱۸
۰/۲۶	آهسته-متوسط	۳۲	۱	۱۵	۵	۴	۱	۶	۱۹
۰/۴۵	متوسط	۴۴	۸	۱۵	۵	۴	۱	۱۱	۲۰
۰/۱۱	آهسته-متوسط	۲۳	۱	۱۰	۱	۴	۱	۶	۲۱
-	-	-	-	-	-	-	-	-	۲۲
۰/۰۷	آهسته	۲۰	۱	۱	۱	۴	۷	۶	۲۳
۱/۱۱	سریع	۸۶	۱۲	۱۵	۱۸	۱۸	۱	۲۲	۲۴
۰/۴۱	متوسط	۴۲	۱	۱۵	۵	۴	۱	۱۶	۲۵
۱/۱۱	سریع	۸۶	۱۲	۱۵	۱۸	۱۸	۱	۲۲	۲۶
۰/۳۶	آهسته-متوسط	۳۹	۱۲	۱۵	۱	۴	۱	۶	۲۷
۰/۴	آهسته-متوسط	۴۱	۱	۱۰	۱۳	۴	۷	۶	۲۸
۰/۳۷	آهسته-متوسط	۳۹	۱۲	۱۵	۱	۴	۱	۶	۲۹
۰/۳۴	آهسته-متوسط	۳۷	۱	۱۵	۵	۴	۱	۱۱	۳۰
۰/۲۹	آهسته-متوسط	۳۴	۱	۱۵	۱	۴	۱	۶	۳۱

فصل پنجم

تعیین قابلیت حفاری معادن باگک و دردوى

در شکل (۲۵-۵) ، امتیاز مربوط به اندیس قابلیت حفاری نشان داده شده است.

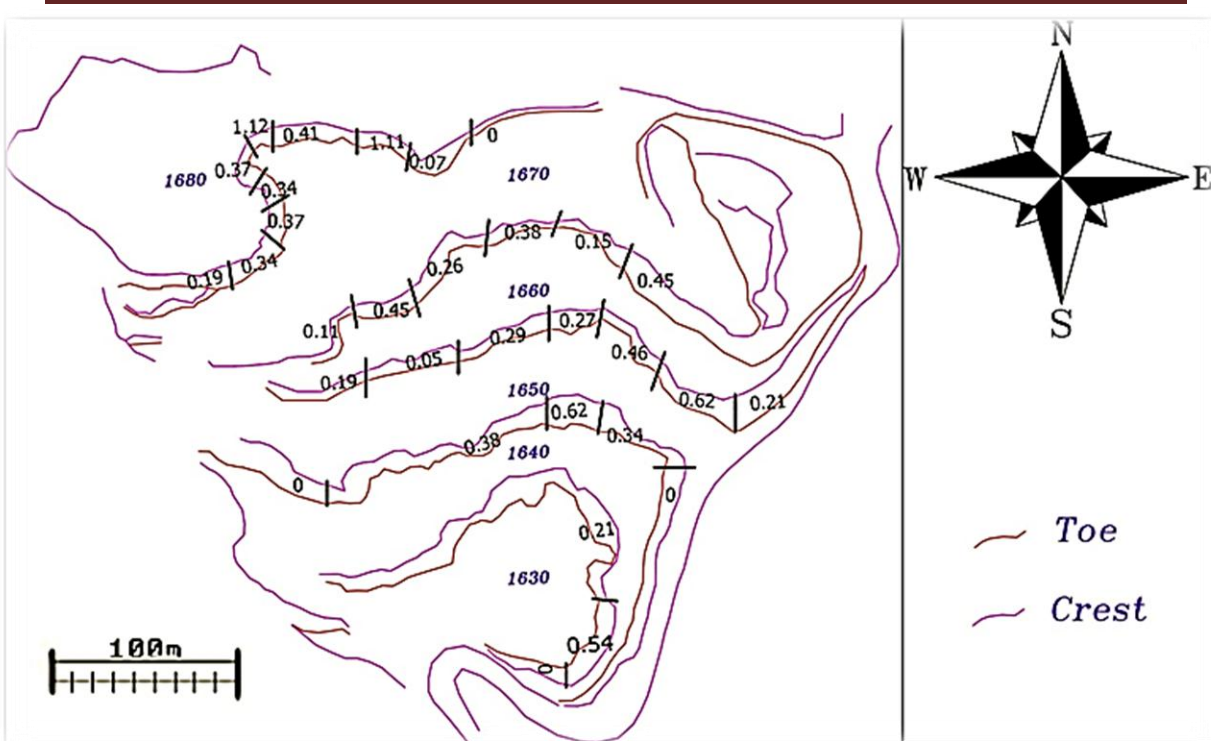


شکل ۲۵-۵- امتیاز RD_i زون‌های مختلف معدن باگک

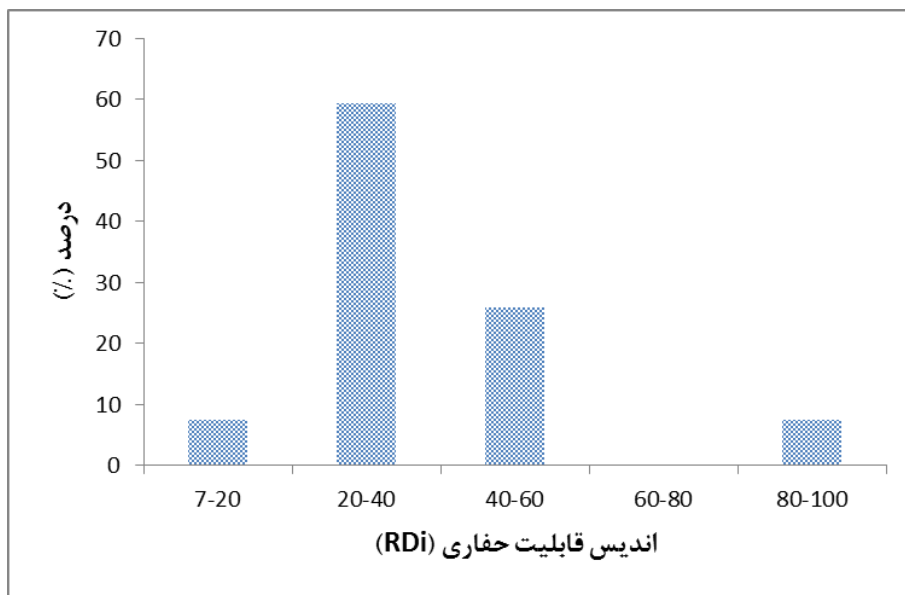
همچنین در شکل (۲۶-۵)، سرعت حفاری به صورت کمی و در شکل (۲۷-۵)، نمودار ستونی

درصد اندیس قابلیت حفاری در معدن باگک رسم شده است. در این شکل با توجه به سیستم مورد استفاده در این تحقیق، سرعت به طور کیفی در بازه ۰-۲۰ آهسته، ۲۰-۴۰ آهسته-متوسط، ۴۰-۶۰ متوسط، ۶۰-۸۰ متوسط-سریع و ۸۰-۱۰۰ سریع بیان شده است. با توجه به مطالب بیان شده و شکل (۲۷-۵)، سرعت کیفی بیش از ۵.۹٪ سنگ‌های این معدن، آهسته-متوسط، ۲۶٪ دارای سرعت متوسط، ۸٪ دارای سرعت آهسته و سرعت بیش از ۷٪ سنگ‌ها سریع می‌باشد. البته سرعتی که در هر زون تعیین می‌شود، با در نظر گرفتن تمامی پارامترهای موجود در سیستم ردیابی مورد استفاده در تحقیق می‌باشد و با توجه به یک پارامتر مشخص نمی‌توان قضاوت درستی در پیش‌بینی سرعت حفاری کرد.

فصل پنجم



شکل ۲۶-۵- تخمین سرعت حفاری زون‌های مختلف معدن باگک با استفاده از اندیس حفاری RDI



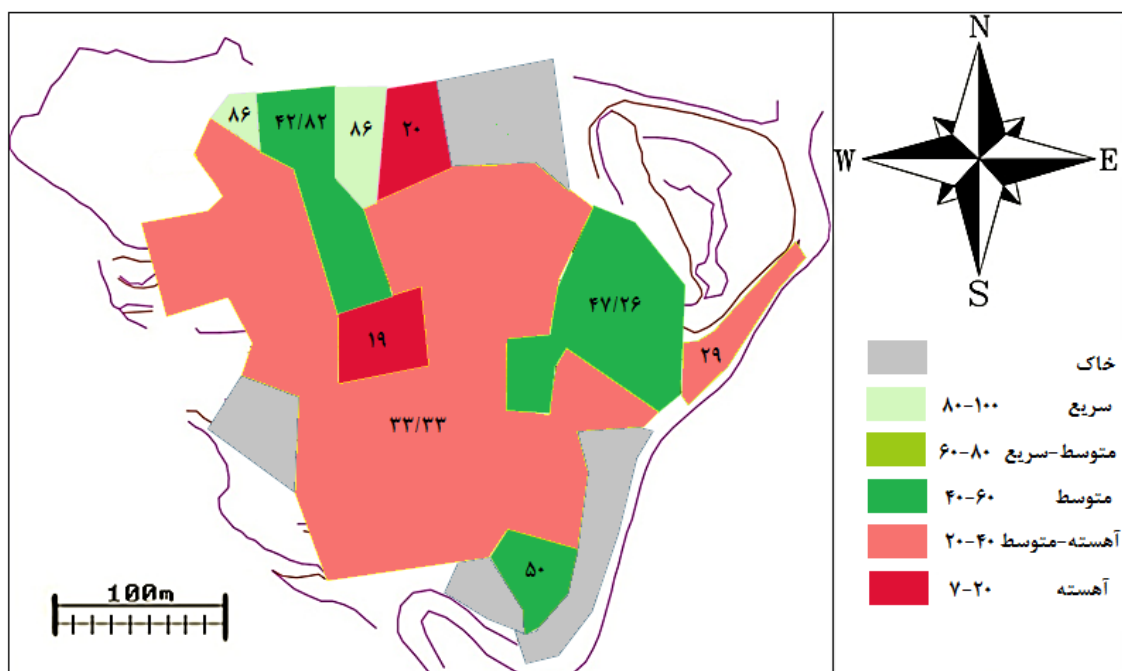
شکل ۲۷-۵- نمودار ستونی درصد اندیس قابلیت حفاری در معدن باگک

۸.۲.۵ زون‌بندی نهایی توده‌سنگ‌های معدن باگک

همانطور که قبلاً اشاره شد، ترازهای مختلف معدن باگک، به ۳۱ زون مختلف تقسیم شده است.

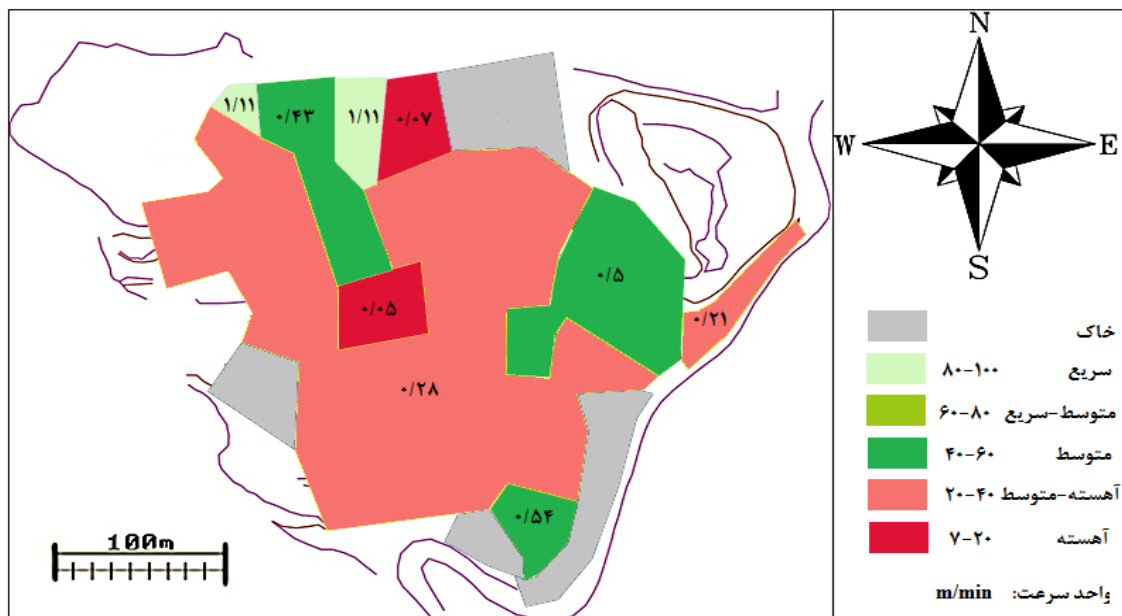
با توجه به اینکه امتیاز بسیاری از زون‌ها، نزدیک به یکدیگر می‌باشد، زون‌های هم‌کلاس و در همسایگی هم یک زون جدید در نظر گرفته شده است. سپس با استفاده از روش میانگین وزنی طول پیمایش، امتیاز RDI برای هر زون جدید محاسبه شده و در نهایت، این معدن به ۱۲ زون نهایی تقسیم شده است.

اشکال (۲۸-۵) و (۲۹-۵)، به ترتیب زون‌بندی نهایی توده‌سنگ‌های معدن باگک را بر اساس شاخص قابلیت حفاری و سرعت حفاری نشان می‌دهد.



شکل ۵-۲۸-۵- زون‌بندی نهایی توده‌سنگ‌های معدن باگک بر اساس شاخص قابلیت حفاری (RDI)

فصل پنجم



شکل ۲۹-۵- زون‌بندی نهایی توده‌سنگ‌های معدن باغک بر اساس سرعت حفاری

همانطور که در اشکال فوق مشاهده می‌شود، بیشتر نواحی حفاری در این معدن، دارای سرعت آهسته-متوسط می‌باشند.

در معدن باغک در دو زون لیمونیتی سرعت بالای ۱ متر بر دقیقه بوده و در بقیه زون‌ها سرعت از ۰/۰۵ تا ۰/۰۵۴ متر بر دقیقه تغییر می‌کند. این سرعت پایین در این معدن می‌تواند به دلایل زیر باشد:

- سختی بیشتر سنگ‌های این معدن ۶-۷ بوده که، سختی بالایی می‌باشد.
- بافت غالب در معدن باغک، بافت متراکم است که، این بافت قابلیت حفاری را کاهش داده و در سیستم رده‌بندی RDi، دارای امتیاز کمی می‌باشد.
- به لحاظ مقاومتی، سنگ‌های این معدن دارای مقاومت بالایی می‌باشند.

پس از بررسی معدن باغک، به تعیین قابلیت حفاری معدن دردوى پرداخته می‌شود. از آنجایی که برخی توضیحات برای هر دو معدن یکسان می‌باشد، بنابراین از آوردن دوباره این توضیحات صرف‌نظر می‌شود.

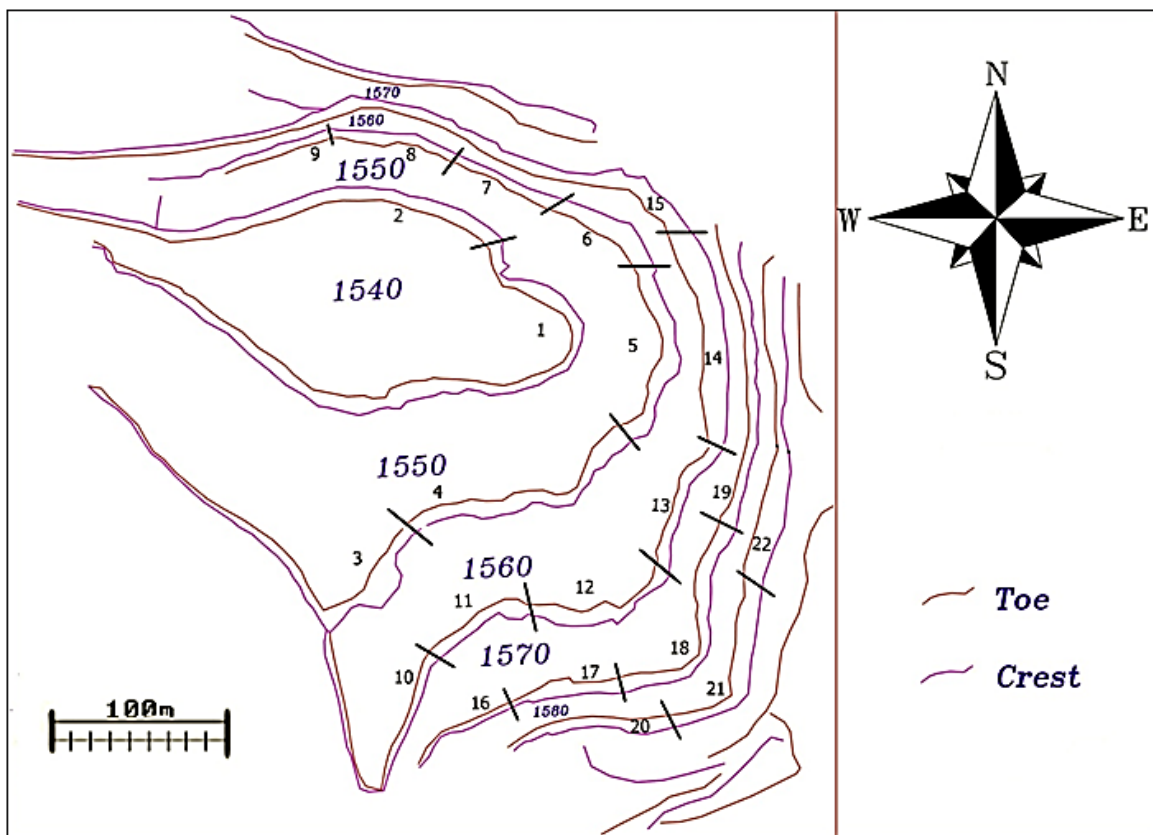
فصل پنجم

تعیین قابلیت حفاری توده سنگ‌های معدن دردوى

۳.۵ تعیین قابلیت حفاری توده سنگ‌های معدن دردوى

۱.۳.۵ زون‌بندی

ترازهای مختلف معدن دردوى نیز مانند معدن باغک، با توجه به تغییرات جنس سنگ و شرایط ناپیوستگی‌ها، به ۲۲ زون تقسیم شده است که در شکل (۳۰-۵)، ترازهای مختلف این معدن همراه با شماره زون و در جدول (۱۴-۵)، جنس سنگ هر کدام از زون‌ها به تفکیک آورده شده است.



شکل ۳۰-۵- زون‌بندی معدن دردوى

فصل پنجم

تعیین قابلیت حاره‌ی معادن باگک و دردوى

جدول ۱۴-۵- جنس سنگ‌های زون‌های مختلف معدن دردوى

شماره زون	تراز	جنس سنگ	شماره زون	تراز	جنس سنگ
۱	۱۵۴۰	مگنتیت پر عیار	۱۲	۱۵۶۰	مگنتیت کم عیار
۲	۱۵۴۰	گرانیت آلترا شده	۱۳	۱۵۶۰	گرانیت آلترا شده
۳	۱۵۵۰	خاک آبرفتی	۱۴	۱۵۶۰	خاک آبرفتی
۴	۱۵۵۰	مگنتیت کم عیار	۱۵	۱۵۶۰	گرانیت آلترا شده
۵	۱۵۵۰	توف کربنات دار آذرآواری	۱۶	۱۵۷۰	خاک آبرفتی
۶	۱۵۵۰	مگنتیت پر عیار	۱۷	۱۵۷۰	گرانیت آلترا شده
۷	۱۵۵۰	مگنتیت کم عیار	۱۸	۱۵۷۰	مگنتیت کم عیار
۸	۱۵۵۰	گرانیت آلترا شده	۱۹	۱۵۷۰	گرانیت آلترا شده
۹	۱۵۵۰	هماتیت	۲۰	۱۵۸۰	خاک آبرفتی
۱۰	۱۵۶۰	مگنتیت کم عیار	۲۱	۱۵۸۰	توف کربنات دار آذرآواری
۱۱	۱۵۶۰	توف کربنات دار آذرآواری	۲۲	۱۵۸۰	گرانیت آلترا شده

همانند معدن باگک، در شکل (۳۱-۵)، درصد انواع سنگ‌های معدن دردوى نشان داده شده

است. با توجه به این شکل می‌توان ترتیب فراوانی سنگ‌های این معدن را به صورت زیر بیان کرد:

گرانیت آلترا (٪.۳۲)، مگنتیت کم عیار (٪.۲۳)، مگنتیت پر عیار (٪.۹)، توف کربنات دار آذرآواری (٪.۱۴)

و هماتیت (٪.۴)، بیان کرد.



شکل ۳۱-۵- درصد انواع سنگ‌های معدن دردوى

فصل پنجم

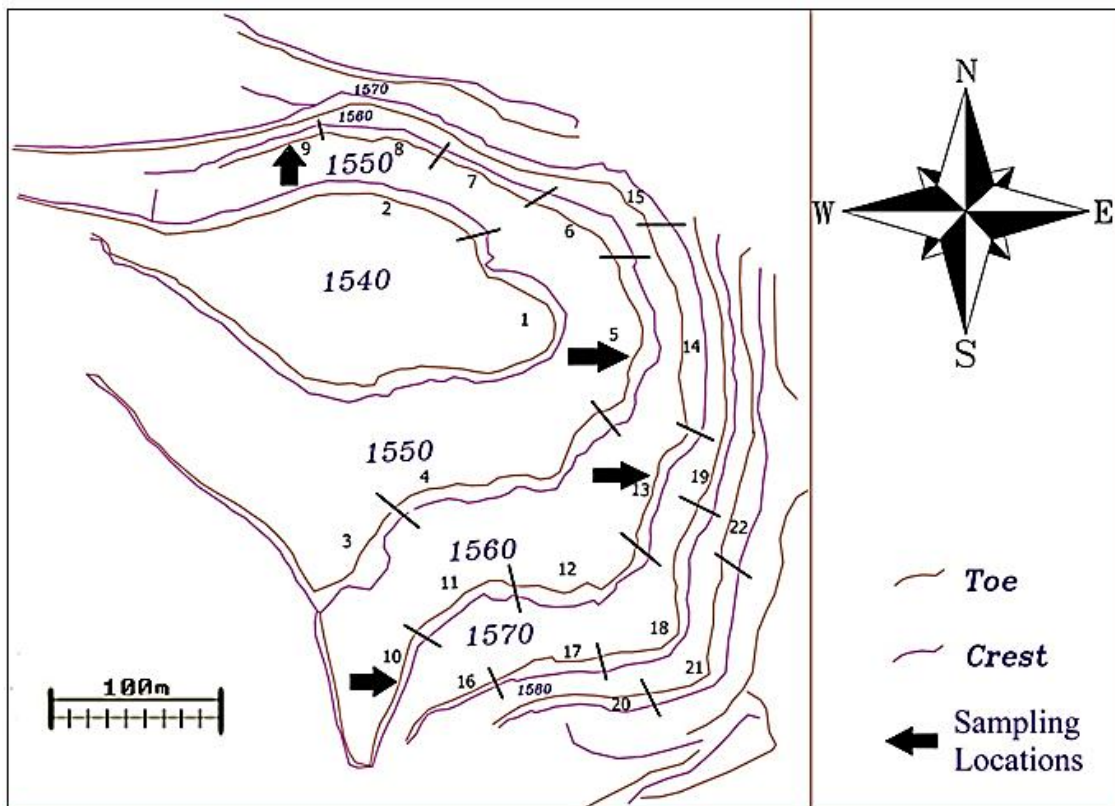
تعیین قابلیت حاره‌ی معادن باخک و دردوى

۲.۳.۵ اندازه‌گیری پارامترهای مربوط به ماده‌سنگ

همانطور که قبلاً اشاره شد، با توجه به اینکه، برای استفاده از سیستم رده‌بندی RDI، باید پارامترهایی از ماده‌سنگ مانند بافت، مقاومت فشاری تکمحوره و سختی موس تعیین شوند، در ادامه به تعیین این پارامترها پرداخته می‌شود. همچنین مقاومت بار نقطه‌ای، چگالی، تخلخل و سختی اشمیت نیز در این بخش تعیین شده است.

۱.۲.۳.۵ برداشت نمونه

با توجه به جدول (۱۴-۵) و شکل (۳۱-۵)، مشاهده می‌شود که، در معدن دردوى پنج نوع سنگ مختلف وجود دارد، با توجه به این که سنگ‌های از جنس مگنتیت، به لحاظ مقاومتی تفاوتی با یکدیگر نداشته و تفاوت آن‌ها در عیار آهن موجود در آن‌ها می‌باشد، از این نوع سنگ یک نمونه انتخاب شده است. بنابراین به منظور انجام آزمایش‌های مقاومت فشاری تکمحوره، مقاومت بار نقطه‌ای، چگالی و تخلخل از زون‌های ۵ (توف کربنات‌دار آذرآواری)، ۹ (هماتیت)، ۱۰ (مگنتیت کم‌عیار) و ۱۳ (گرانیت آلتره‌شده) و جهت تعیین بافت و سختی موس از تمامی زون‌ها نمونه‌هایی جمع‌آوری شده و به آزمایشگاه منتقل شده‌اند. در شکل (۳۲-۵) محل نمونه‌های انتخاب شده نشان داده شده است.



شکل ۳۲-۵- زون های تعیین شده جهت جمع آوری نمونه از معدن دردوى

۲.۲.۳.۵ مقاومت فشاری تک محوره

جهت تعیین مقاومت فشاری تک محوره در نمونه های معدن دردوى نیز همانند معدن باگک، از

استاندارد ISRM استفاده شده است.

به عنوان مثال، در شکل (۳۳-۵)، بارگذاری فشاری نمونه توف کربنات دار آذرآواری، نشان داده

شده است.

فصل پنجم



الف- نمونه توف قبل از عملیات بارگذاری
ب- نمونه توف بعد از عملیات بارگذاری

شکل ۳۳-۵- بارگذاری فشاری نمونه توف کربناتدار آذرآواری

نتایج آزمایش مقاومت فشاری تکمحوره در جدول (۱۵-۵)، درج شده است.

جدول ۱۵-۵- نتایج آزمایش مقاومت فشاری تکمحوره در معدن دردوان

نوع سنگ	مقادیر فشاری تک محوره (MPa)	توف کربناتدار آذرآواری	مگنتیت کم عیار	هماتیت	گرانیت آلتنه شده
-	۴۲/۱۷	۴۲/۱۷	۳۲/۶۱	۲۰	۴۵/۲۱

در قسمت پیوست، اطلاعات مربوط به نمونه‌های آزمایش مقاومت فشاری تکمحوره این معدن، در جدول (۴۹-۷)، به طور کامل ذکر شده است.

۳.۲.۳.۵ مقاومت بار نقطه‌ای

به منظور انجام آزمایش مقاومت بار نقطه‌ای، نمونه‌هایی از محل زون‌های تعیین شده، انتخاب و در آزمایشگاه مهندسین مشاور کاوشگران بارگذاری شده‌اند. برای انجام این آزمایش از نمونه‌های کلوخه‌ای استفاده شده است. در شکل (۳۴-۵)، نمونه‌ای از هماتیت معدن دردوان در حال بارگذاری در زیر دستگاه مقاومت بار نقطه‌ای مشاهده می‌شود.

فصل پنجم

تعیین قابلیت حرارتی معادن باخک و دردوى



شکل ۳۴-۵- آزمایش مقاومت بار نقطه‌ای نمونه شماره ۱ سنگ هماتیت معدن دردوى

همچنین شکل (۳۵-۵)، قبل و بعد از بارگذاری این نمونه را، نشان می‌دهد.



الف- نمونه هماتیتی قبل از عملیات بارگذاری

شکل ۳۵-۵- نمونه شماره ۱ سنگ هماتیت معدن دردوى، قبل و بعد از بارگذاری

نتایج آزمایش مقاومت بار نقطه‌ای نمونه‌های معدن دردوى در جدول (۱۶-۵)، قبل مشاهده

است. همچنین در بخش پیوست، اطلاعات مربوط به این آزمایش و روابطی که به منظور تعیین مقاومت فشاری تکمحوره مورد استفاده قرار گرفته، در جدول (۵۱-۷)، به طور کامل بیان شده است.

جدول ۱۶-۵- نتایج آزمایش مقاومت بار نقطه‌ای در معدن دردوى

نوع سنگ	شاخص مقاومت بار نقطه‌ای تصحیح شده (MPa)	توف کربنات‌دار آذرآواری	مگنتیت کم‌عیار	هماتیت	گرانیت آلتره شده
۲/۳۱	۱/۰۱	۱/۹۵	۲/۳۱	۱/۰۱	۲/۵
۵۳/۰۶	۴۴/۷۱	۲۴/۳	۵۷/۴۵		

فصل پنجم

تعیین قابلیت حفاری معادن باگک و دردوى

از مقایسه جداول (۱۵-۵) و (۱۶-۵) نتیجه‌گیری می‌شود که، نمونه‌های معدن دردوى نسبت به نمونه‌های معدن باگک از مقاومت کمتری برخوردار بوده و سرعت حفاری در مورد این پارامتر، بیشتر از معدن باگک می‌باشد.

۴.۲.۳.۵ تعیین سختی و بافت

جهت تعیین سختی نمونه‌های معدن دردوى نیز، از مقیاس سختی موس استفاده شده است. همچنین بافت نمونه‌های تمامی زون‌ها، با توجه به سیستم رده‌بندی اشاره شده، به صورت چشمی و با نظر افراد متخصص تعیین شده است. در جدول (۱۷-۵)، سختی موس تمام نمونه‌های سنگی در این معدن مشاهده می‌شود.

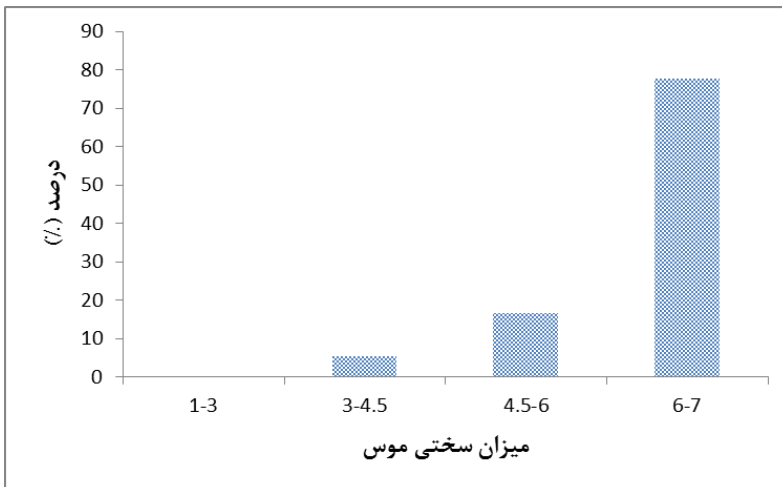
جدول ۱۷-۵ - مقدار سختی موس نمونه‌های سنگی معدن دردوى

شماره زون	جنس سنگ	میزان سختی	شماره زون	جنس سنگ	میزان سختی
۱	مگنتیت پرعيار	۶-۷	۱۲	مگنتیت کمعيار	۶-۷
۲	گرانیت آلترا شده	۶-۷	۱۳	گرانیت آلترا شده	۶-۷
۳	خاک آبرفتی	-	۱۴	خاک آبرفتی	-
۴	مگنتیت کمعيار	۶-۷	۱۵	گرانیت آلترا شده	۶-۷
۵	توف کربنات‌دار آذرآواری	۴/۵-۶	۱۶	خاک آبرفتی	۴/۵-۶
۶	مگنتیت پرعيار	۶-۷	۱۷	گرانیت آلترا شده	۶-۷
۷	مگنتیت کمعيار	۳-۴/۵	۱۸	مگنتیت کمعيار	۳-۴/۵
۸	گرانیت آلترا شده	۶-۷	۱۹	گرانیت آلترا شده	۶-۷
۹	هماتیت	۶-۷	۲۰	خاک آبرفتی	۶-۷
۱۰	مگنتیت کمعيار	۶-۷	۲۱	توف کربنات‌دار آذرآواری	۶-۷
۱۱	توف کربنات‌دار آذرآواری	۴/۵-۶	۲۲	گرانیت آلترا شده	۴/۵-۶

با توجه به جدول فوق و نمودار ستونی رسم شده برای سختی موس در معدن دردوى (شکل ۳۶-۵)، مشاهده می‌شود که ۰.۷۸٪ سنگ‌های این معدن، دارای سختی ۶-۷ و بیش از ۱۷٪ دارای سختی ۶-۷ بوده، که نشان‌دهنده سختی بالا در سنگ‌های این معدن می‌باشد.

فصل پنجم

تعیین قابلیت حفاری معادن باخک و دردوى



شکل ۳۶-۵- نمودار ستونی درصد سختی موس در معدن دردوى

در جدول (۱۸-۵) نيز، نوع بافت نمونه‌های مختلف، نشان داده شده است.

جدول ۱۸-۵- بافت نمونه‌های سنگی معدن دردوى

شماره زون	جنس سنگ	شماره زون	بافت	جنس سنگ	شماره زون
۱	مگنتیت پر عیار	۱۲	متراکم	مگنتیت کم عیار	متراکم
۲	گرانیت آلتنه شده	۱۳	گرانوئیدی	گرانیت آلتنه شده	-
۳	خاک آبرفتی	۱۴	-	خاک آبرفتی	-
۴	مگنتیت کم عیار	۱۵	متراکم	متراکم	گرانوئیدی
۵	توف کربنات دار آذرآواری	۱۶	متراکم	متراکم	خاک آبرفتی
۶	مگنتیت پر عیار	۱۷	متراکم	متراکم	گرانوئیدی
۷	مگنتیت کم عیار	۱۸	متراکم	متراکم	گرانیت آلتنه شده
۸	گرانیت آلتنه شده	۱۹	گرانوئیدی	هماتیت	-
۹	هماتیت	۲۰	متراکم	متراکم	خاک آبرفتی
۱۰	مگنتیت کم عیار	۲۱	متراکم	متراکم	توف کربنات دار آذرآواری
۱۱	توف کربنات دار آذرآواری	۲۲	متراکم	متراکم	گرانیت آلتنه شده

همانطور که در شکل (۳۷-۵)، مشاهده می‌شود، ۶۱٪ بافت سنگ‌های موجود در اين معدن،

بافت متراکم می‌باشد، که در سیستم رده‌بندی RDi، به لحاظ تأثیر منفی بر قابلیت حفاری، بدترین

بافت بوده و دارای کمترین امتیاز است. بنابراین انتظار می‌رود که این ویژگی نیز قابلیت حفاری در این

معدن را تحت تأثیر قرار داده و آن را کاهش دهد.



شکل ۳۷-۵- نمودار ستونی مربوط به میزان بافت‌های مختلف در معدن دردوی

۵.۲.۳.۵ تعیین سختی اشمتیت

در این معدن، جهت تعیین رابطه بین مقاومت فشاری تکمحوره و سختی اشمتیت و همچنین تعیین رابطه میان مقاومت بارنقطه‌ای و سختی اشمتیت، این پارامتر در تمامی زون‌ها تعیین شده است.

جهت اندازه‌گیری سختی اشمتیت نمونه‌های معدن دردوی، همانند معدن باگک در هر یک از زون‌ها، ۲۰ آزمایش انجام شده، سپس با حذف نیمی از داده‌هایی که مقدار کمتری دارند، میانگین ۱۰ داده باقی‌مانده محاسبه شده و در نهایت با ضرب کردن این مقدار در ضریب تصحیح، سختی اشمتیت در هر زون به دست آمده است. در جدول (۱۹-۵)، سختی اشمتیت تمام نمونه‌های سنگی زون‌های مختلف معدن دردوی آورده شده است.

فصل پنجم

تعیین قابلیت حاره‌ی معادن باخک و دردودی

جدول ۱۹-۵ - سختی اشمیت نمونه‌های معدن دردودی

سختی اشمیت	جنس سنگ	شماره زون	سختی اشمیت	جنس سنگ	شماره زون
۵۴/۷	مگنتیت کم‌عیار	۱۲	۵۹/۸	مگنتیت پر‌عیار	۱
۵۲/۹	گرانیت آلتره شده	۱۳	۴۴/۵۳	گرانیت آلتره شده	۲
-	خاک آبرفتی	۱۴	-	خاک آبرفتی	۳
۴۷/۶	گرانیت آلتره شده	۱۵	۴۷/۶۶	مگنتیت کم‌عیار	۴
-	خاک آبرفتی	۱۶	۵۴/۶۴	توف کربنات‌دار آذرآواری	۵
۵۰/۳۱	گرانیت آلتره شده	۱۷	۴۸/۵۸	مگنتیت پر‌عیار	۶
۵۳/۴۵	مگنتیت کم‌عیار	۱۸	۴۸	مگنتیت کم‌عیار	۷
۴۸/۰۲	گرانیت آلتره شده	۱۹	۴۶/۴۶	گرانیت آلتره شده	۸
-	خاک آبرفتی	۲۰	۳۶/۹۸	هماتیت	۹
۴۲/۵	توف کربنات- دار آذرآواری	۲۱	۴۹/۷۷	مگنتیت کم‌عیار	۱۰
۴۴/۶۵	گرانیت آلتره شده	۲۲	۵۳/۵۴	توف کربنات‌دار آذرآواری	۱۱

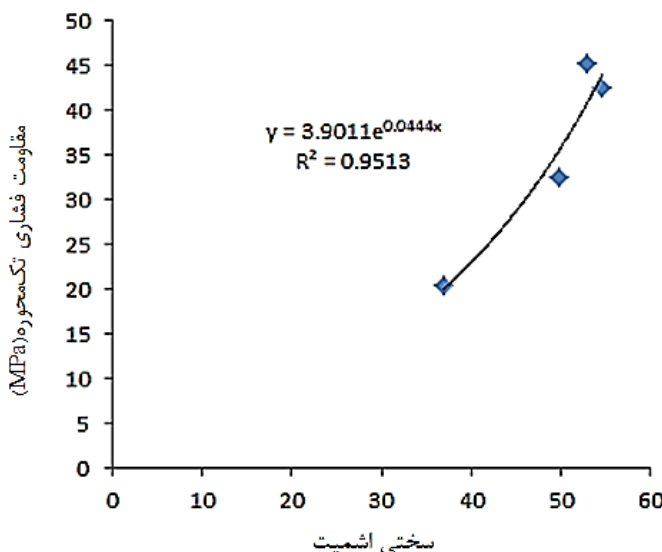
۶.۲.۳.۵ تعیین ارتباط بین مقاومت فشاری تکمحوره و مقاومت بار نقطه‌ای با سختی

اشمیت در زون‌های انتخاب شده

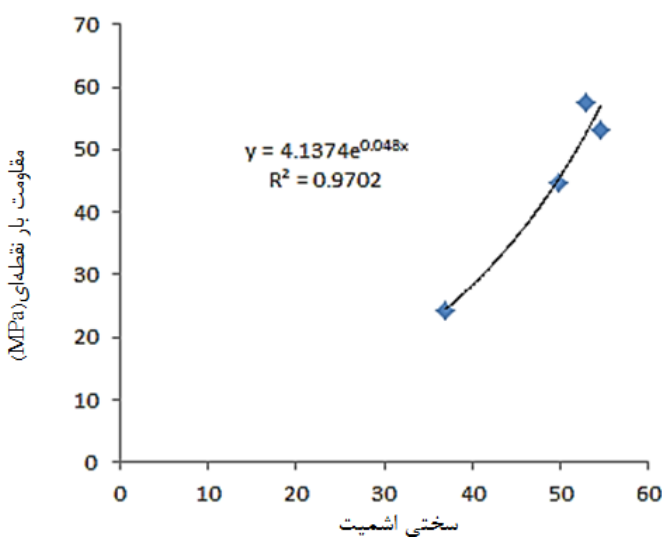
در این بخش رابطه‌ای بین سختی اشمیت و مقاومت فشاری تکمحوره و نیز سختی اشمیت و مقاومت بار نقطه‌ای ارائه شده است، که می‌توان با جایگذاری سختی اشمیت در هر یک از این روابط، با صرف هزینه کمتر و با دقت نسبتاً خوب، مقاومت فشاری تکمحوره تمام نمونه‌های سنگی از زون-های مختلف را مشخص کرد.

در اشکال (۳۸-۵) و (۳۹-۵)، به ترتیب نمودار ارتباط بین مقاومت فشاری تکمحوره با سختی اشمیت و مقاومت بار نقطه‌ای مشاهده می‌شود. همانطور که در این نمودارها مشاهده می‌شود، ضریب همبستگی در هر دو نمودار، یک ارتباط قابل قبولی را بین مقاومت فشاری تکمحوره و مقاومت بار نقطه‌ای با سختی اشمیت می‌دهد.

فصل پنجم



شکل ۳۸-۵ - نمودار ارتباط بین مقاومت فشاری تکمحوری و چکش اشمت در معدن دردوانی



شکل ۳۹-۵ - نمودار ارتباط بین مقاومت بار نقطه‌ای و سختی اشمت در معدن دردوانی

با توجه به اشکال بالا، ضریب همبستگی بین مقاومت فشاری تکمحوره و سختی اشمت در زون‌های انتخابی، $0/95$ و $0/97$ می‌باشد. مشاهده می‌شود که، این همبستگی بین مقاومت بار نقطه‌ای و سختی اشمت بیشتر از همبستگی بین مقاومت فشاری تکمحوره و سختی اشمت می‌باشد. بنابراین رابطه‌ای که برای بدستآوردن

فصل پنجم

تعیین قابلیت حاره‌ی معادن باگک و دردوى

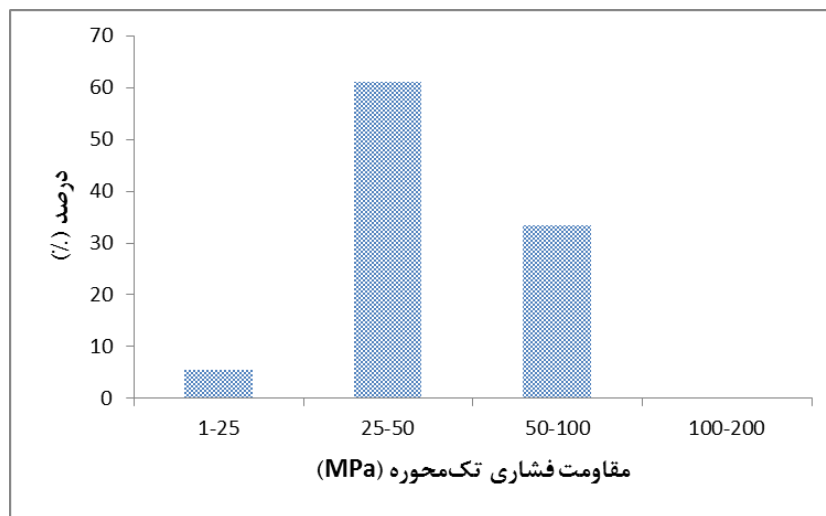
مقاومت فشاری زون‌های دیگر استفاده شده است، رابطه میان مقاومت بار نقطه‌ای و سختی اشمیت می‌باشد (رابطه ۳-۵).

$$uc_s = 4.137 \times e^{0.048SH} \quad (3-5)$$

uc_s: مقاومت بار نقطه‌ای (MPa)

SH: سختی اشمیت

پس از به دست آوردن مقاومت فشاری تکمحوره در دیگر زون‌های معدن دردوى، نمودار ستونی برای مقاومت فشاری سنگ‌های این معدن رسم شده و در شکل (۴۰-۵)، قابل مشاهده می‌باشد.



شکل ۴۰-۵- نمودار ستونی درصد مقاومت فشاری تکمحوره در معدن دردوى

همانطور که در این نمودار مشاهده می‌شود، بیش از ۶۱٪ سنگ‌های این معدن در بازه مقاومتی ۲۵-۵۰ مگاپاسکال، ۳۳٪ در بازه مقاومتی ۵۰-۱۰۰ مگاپاسکال و ۶٪ سنگ‌های این معدن دارای مقاومتی بین ۱-۲۵ قرار دارند، که در مجموع تمام سنگ‌های این معدن دارای مقاومتی زیر ۱۰۰ مگاپاسکال بوده که در مقایسه با مقاومت فشاری سنگ‌های معدن باگک، بسیار پایین می‌باشند.

فصل پنجم

۷.۲.۳.۵ چگالی و تخلخل

جهت تعیین چگالی و تخلخل نمونه‌های این معدن نیز، مانند معدن باگک، پس از انتقال دادن این نمونه‌ها به آزمایشگاه دانشگاه صنعتی شاهرود عملیات لازم انجام شده و نتایج حاصل در جدول (۲۰-۵)، درج شده است.

جدول ۲۰-۵-نتایج آزمایش چگالی و تخلخل در معدن دردوى

گرانیت آلتره شده	هماتیت	مگنتیت کم عیار	توف کربنات دار آذرآواری	نوع سنگ
۲/۶	۳/۸۲	۴/۹۹	۳/۳۲	چگالی (g/cm ³)
۳/۱۸	۱۲/۶۲	۱/۹۶	۶	تخلخل (%)

اطلاعات مربوط به مقادیر چگالی و تخلخل در جدول (۴۷-۷)، و روابط مورد استفاده جهت تعیین این دو پارامتر در این معدن، به طور کامل در قسمت پیوست توضیح داده شده است.

۳.۳.۵ پارامترهای مربوط به تودهسنگ

همانطور که اشاره شد، وضعیت ناپیوستگی‌ها یکی از مهم‌ترین عوامل مؤثر بر قابلیت حفاری می‌باشد. در معدن دردوى نیز، بعضی از زون‌ها که دارای بیش از یک دسته‌درزه هستند، وضعیت دسته‌درزه‌ای که بدترین وضعیت را دارد و نسبت به دسته‌درزه دیگر قابلیت حفاری را بیشتر تحت تأثیر قرار می‌دهد، مد نظر قرار گرفته است.

به منظور برداشت دسته‌درزه‌ها، اطلاعات مربوط به زاویه بین امتداد چال و سطح درزه، فاصله-داری و پرشدگی درزه‌ها جهت امتیازدهی ثبت شده است. در شکل (۴۱-۵)، نمونه‌ای از پر شدگی گرانیت توسط کلسیت در این معدن نشان داده شده است.

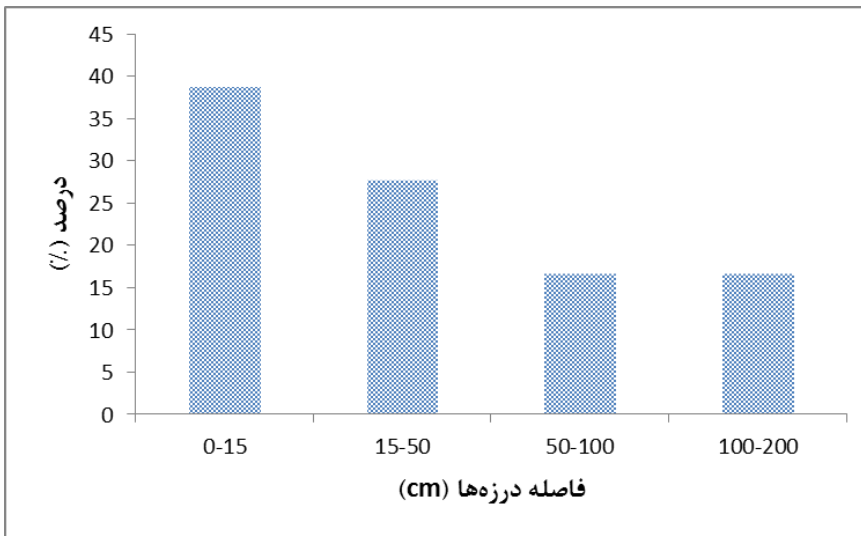


شکل ۴۱-۵- پرشدگی گرانیت توسط کلسیت در معدن دردوی

نمودار ستونی فاصله‌داری درزه‌ها در بازه‌های مختلف در معدن دردوی در شکل (۴۲-۵)، نشان داده شده است. مشاهده می‌شود که، فاصله‌داری درزه‌ها در این معدن متفاوت می‌باشد، به طوری که ۳۹٪ فاصله‌داری در بازه ۱۵-۰ سانتی‌متر، ۲۸٪ در بازه ۱۵-۵۰ سانتی‌متر، ۱۶٪ در بازه ۵۰-۱۰۰ سانتی‌متر و بیش از ۱۷٪ در بازه بیش از ۱-۲ متر می‌باشد. در این نیز مانند معدن باغک، بیش از ۶۷٪ فاصله‌داری درزه‌ها، زیر ۵/۰ متر می‌باشند که این امر موجب کاهش پیوستگی محیط حفاری شده و نرخ نفوذ را کاهش می‌دهد.

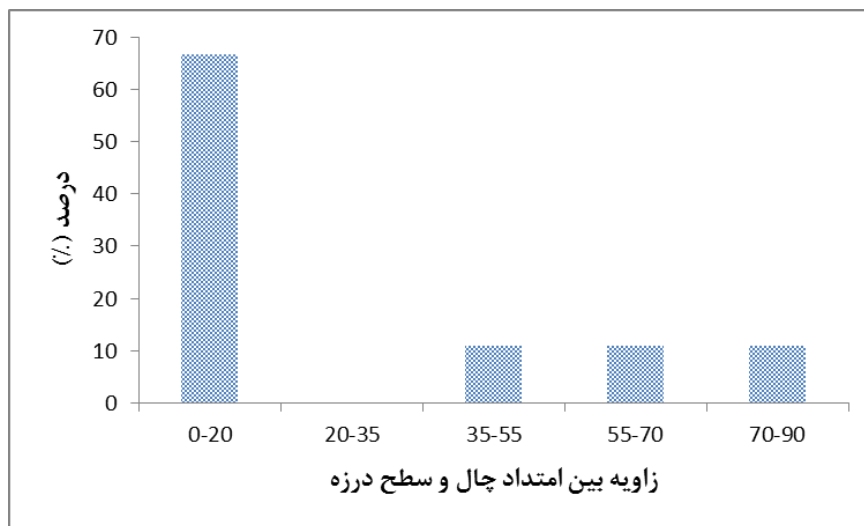
فصل پنجم

تعیین قابلیت حاره‌ی معادن باگک و دردوی



شکل ۴۲-۵ - نمودار ستونی درصد فاصله‌داری درزه‌ها در معدن دردوی

همچنین در این مرحله از کار، زاویه بین امتداد چال و سطح درزه برداشت شده است که، در شکل (۴۳-۵)، نتایج کار به صورت نمودار ستونی نشان داده شده است.



شکل ۴۳-۵ - نمودار ستونی درصد زاویه‌داری بین امتداد چال و سطح درزه در معدن باگک

با توجه به نمودار ستونی فوق، مشاهده می‌شود که، بیش از ۶۷٪ درزه‌ها، دارای زاویه بین امتداد چال و سطح درزه ۰-۲۰ درجه، ۱۱٪ درزه‌ها دارای زاویه‌ای بین ۳۵-۵۵ درجه، زاویه ۱۱٪ درزه‌ها بین ۵۵-۷۰ درجه و ۱۱٪ دیگر درزه‌ها، دارای زاویه‌ای بین ۷۰-۹۰ درجه می‌باشند. از این

فصل پنجم

تعیین قابلیت حفاری معادن باگک و دردوی

نمودار نتیجه‌گیری می‌شود که بیش از نیمی از درزه‌ها، دارای زاویه کمتر از ۲۰ درجه بوده که نرخ نفوذ را تحت تأثیر قرار داده و آن را کاهش خواهد داد.

۴.۳.۵ ثبت سرعت حفاری در زون‌های انتخابی

به منظور ارزیابی سرعت حفاری و شرایط توده‌سنگ، این سرعت در زون‌های مختلف معدن دردوی اندازه‌گیری شده است. در جداول (۲۱-۵) و (۲۲-۵)، به ترتیب سرعت حفاری و مشخصات دستگاه حفار بیان شده است. همچنین در شکل (۴۴-۵)، تصویری از ماشین حفار آورده شده است.

جدول ۲۱-۵-سرعت حفاری در زون‌های مورد نظر معدن دردوی

شماره زون	جنس سنگ	سرعت(m/min)	قطر چال(mm)
۵	توف کربناتدار آذرآواری	۰/۴۷	۱۵۲
۹	هماتیت	۰/۸۲	۱۵۲
۱۰	مگنتیت کم عیار	۰/۶۹	۱۵۲
۱۳	گرانیت آلتره شده	۰/۴۴	۱۵۲

جدول ۲۲-۵-مشخصات دستگاه حفار در معدن دردوی

نام دستگاه	فشار پشت متنه(bar)	دور متنه(دور در دقیقه)	نوع کمپرسور	دور موتور کمپرسور(RPM)	فشار هوای (bar)	قطر حفاری(mm)
Roc L8	۵۰	۴۵-۵۰	جزئی از دستگاه حفار	۲۰۰۰	۲۰	۱۵۲

با توجه به جدول (۲۲-۵) و مقایسه آن با مشخصات دستگاه‌های حفار معدن باگک، مشاهده می‌شود، دستگاه‌های حفار مستقر در معدن باگک، دارای کارایی پایین بوده و اطلاعاتی از قبیل، سرعت چرخش، بار پشت متنه، سرعت حفاری، و ... در آن ثبت نمی‌شود، که یک ضعف عمدۀ در این دستگاه‌های حفار به شمار می‌رود.

فصل پنجم

تعیین قابلیت حفاری معادن باخک و دردوى

همچنین، قطر حفاری با ماشین حفار Roc L8، ۱۵۲ میلی‌متر بوده و زمان تعویض میله متنه و جابه‌جایی دستگاه حفار Roc L8، نسبت به دستگاه حفار TYL386 بسیار کم است، در نتیجه می‌توان گفت، اگر از دستگاه حفار Roc L8 به منظور حفاری استفاده شود، تعداد چال کمتری لازم بوده و در زمان حفاری نیز صرفه‌جویی خواهد شد.

ماشین حفار Roc L8، به راحتی می‌تواند، چال مورد نظر را با شیب‌های مختلف حفر نماید. این بدان معنی است که، می‌توان با توجه به شرایط هر معدن، الگوهای مختلف آتشباری را اجرا کرده و بهترین الگو را هم به لحاظ هزینه و هم تولید بار بیشتر انتخاب کرد.



شکل ۴۴-۵ - دستگاه حفاری در حال حفاری در معدن دردوى

۵.۳.۵ محاسبه اندیس قابلیت حفاری در زون‌های مختلف معدن دردوى

اندیس قابلیت حفاری برای زون‌های مختلف معدن دردوى، محاسبه شده است، تا در بخش‌های بعدی بتوان یک رابطه مناسب بین اندیس قابلیت حفاری و سرعت حفاری ثبت شده در این زون‌ها در

فصل پنجم

تعیین قابلیت حفاری معادن باخک و دردوى

معدن دردوى به دست آورد. آنگاه بعد از محاسبه اندیس قابلیت حفاری برای سایر زون‌ها و جایگذاری آن در این رابطه، بتوان سرعت حفاری را به راحتی تخمین زد.

در جدول (۲۳-۵)، بر اساس سیستم RDI، بعد از امتیازدهی به پارامترهای این سیستم، اندیس قابلیت حفاری در زون‌های مورد نظر محاسبه شده است.

با مشخص شدن اندیس قابلیت حفاری در چهار زون تعیین شده در معدن دردوى، مشاهده می‌شود که سرعت حفاری در توف کربنات‌دار آذرآواری و گرانیت آلتره آهسته- متوسط و در مگنتیت و هماتیت متوسط می‌باشد.

جدول ۲۳-۵- اندیس قابلیت حفاری برای زون‌های مشخص شده معدن دردوى

۱۵۶۰	۱۵۶۰	۱۵۵۰	۱۵۵۰	تراز
۱۳	۱۰	۹	۵	شماره زون
گرانیت آلتره	مگنتیت کم عیار	هماتیت	توف کربنات‌دار آذرآواری	جنس سنگ
۱۶	۱۶	۲۲	۱۱	امتیاز مقاومت فشاری تک محوره
۷	۱	۱	۱	امتیاز بافت
۴	۴	۴	۹	امتیاز سختی
۱	۹	۹	۱	امتیاز فاصله‌داری درزه‌ها
۷	۱۵	۱۵	۱۵	امتیاز پرکننده درزه‌ها
۱	۶	۶	۱	امتیاز شیبداری درزه‌ها
۰/۴۴	۰/۶۹	۰/۸۲	۰/۴۷	سرعت ثبت شده
۳۶	۵۱	۵۷	۳۸	RDI

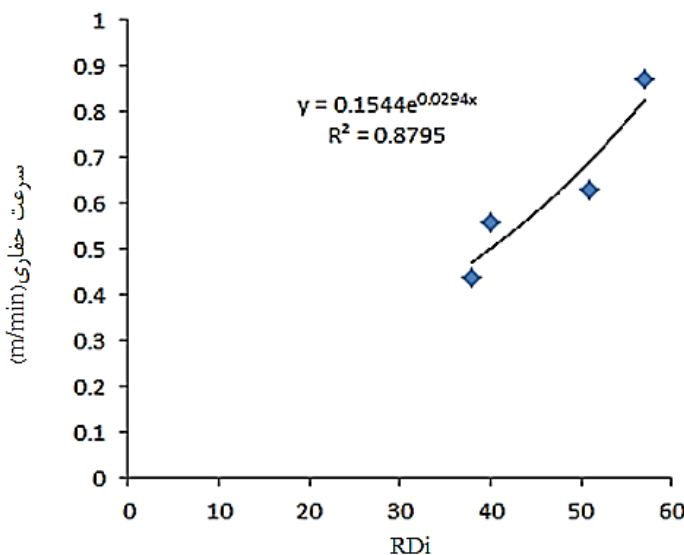
۶.۳.۵ ارتباط بین RDI و سرعت حفاری

همانطور که اشاره شد، اگر بتوان یک رابطه مناسبی بین اندیس قابلیت حفاری و سرعت حفاری ثبت شده در زون‌های انتخاب شده به دست آورد، می‌توان پس از محاسبه این اندیس برای سایر زون‌ها و جایگذاری آن در این رابطه، سرعت حفاری را به راحتی تعیین کرد.

فصل پنجم

تعیین قابلیت حفاری معادن باخک و دردوى

در شکل (۴۵-۵)، ارتباط بین انديس قابلیت حفاری و سرعت حفاری برای معدن دردوى مشاهده می‌شود. رابطه (۴-۵) نیز اين ارتباط را بيان می‌کند. با توجه به اين نمودار می‌توان گفت، ارتباط بین انديس قابلیت حفاری و سرعت حفاری در اين معدن نیز، يك ارتباط قابل قبولی می‌باشد.



شکل ۴۵-۵- نمودار ارتباط بین RDI و سرعت حفاری در معدن دردوى

$$v = 0.1544e^{0.0294RDi} \quad (4-5)$$

V: سرعت حفاری (m/min)

RDI : انديس قابلیت حفاری

۷.۳.۵ امتيازدهي به هر کدام از زونها بر اساس سیستم RDI

پس از تعیین روابط فوق، ابتدا مقاومت فشاری تمام زون‌ها را با استفاده از رابطه (۳-۵) تعیین کرده، آنگاه بعد از امتيازدهي به تمامی پارامترهای موجود در سیستم ردهبندی RDI، این انديس محاسبه شده و نهایتاً می‌توان با استفاده از رابطه (۴-۵)، سرعت حفاری هر یک از زون‌ها را تخمین زد.

به طور نمونه در جداول (۲۴-۵) و (۲۵-۵)، تمام مشخصات دو زون از معدن دردوى و امتيازات آن‌ها در سیستم ردهبندی RDI، ذکر شده است. در اشكال (۴۶-۵) و (۴۷-۵)، نمای کلی اين زون‌ها

فصل پنجم

تعیین قابلیت حاره‌ی معادن باخک و دردوى

مشاهده می‌شود. مشخصات کامل هر زون، همراه با امتیازات و سرعت مربوطه، هم به صورت کیفی و هم به صورت کمی در بخش پیوست آمده است.

جدول ۵-۲۴- مشخصات زون شماره ۱ معدن دردوى

جنس سنگ: مگنتیت پر عیار	زون: ۱	تراز: ۱۵۴۰	معدن: دردوى
پارامترها			
امتیاز	۵۹/۸	sh.H	
۱	متراکم	Te	
۱۱	۷۳	UCS	
۴	۶ - ۷	Mohs.H	
۱	۰ - ۰ / ۱۵	j.s	
۱۵	بسطه	j.p	
۸	۵۵ - ۷۰	j.d	
متوسط	۴۰	RDi	
	۰/۵	V	



شکل ۵-۴۶- تصویری از زون شماره ۱(مگنتیت پر عیار) معدن دردوى

فصل پنجم

تعیین قابلیت حراری معادن باخک و دردوی

جدول ۲۵-۵- مشخصات زون شماره ۱۹ معدن دردوی

جنس سنگ: گرانیت آلترا	زون: ۱۹	تراز: ۱۵۷۰	معدن: دروی
پرشدگی: کلسیت	پارامترها		
امتیاز	۴۸/۰۲	sh.H	
۷	گرانوئیدی	Te	
۱۶	۴۱/۴۷	UCS	
۴	۶-۷	Mohs.H	
۵	۰/۱۵-۰/۵	j.s	
۱۵		j.p	
۱	۰-۲۰	j.d	
متوسط	۴۸	RDi	
	۰/۶۳	V	



شکل ۴۷-۵- تصویری از زون شماره ۱۹ (گرانیت آلترا) معدن دردوی

فصل پنجم

تعیین قابلیت حفاری معادن باخک و دردوى

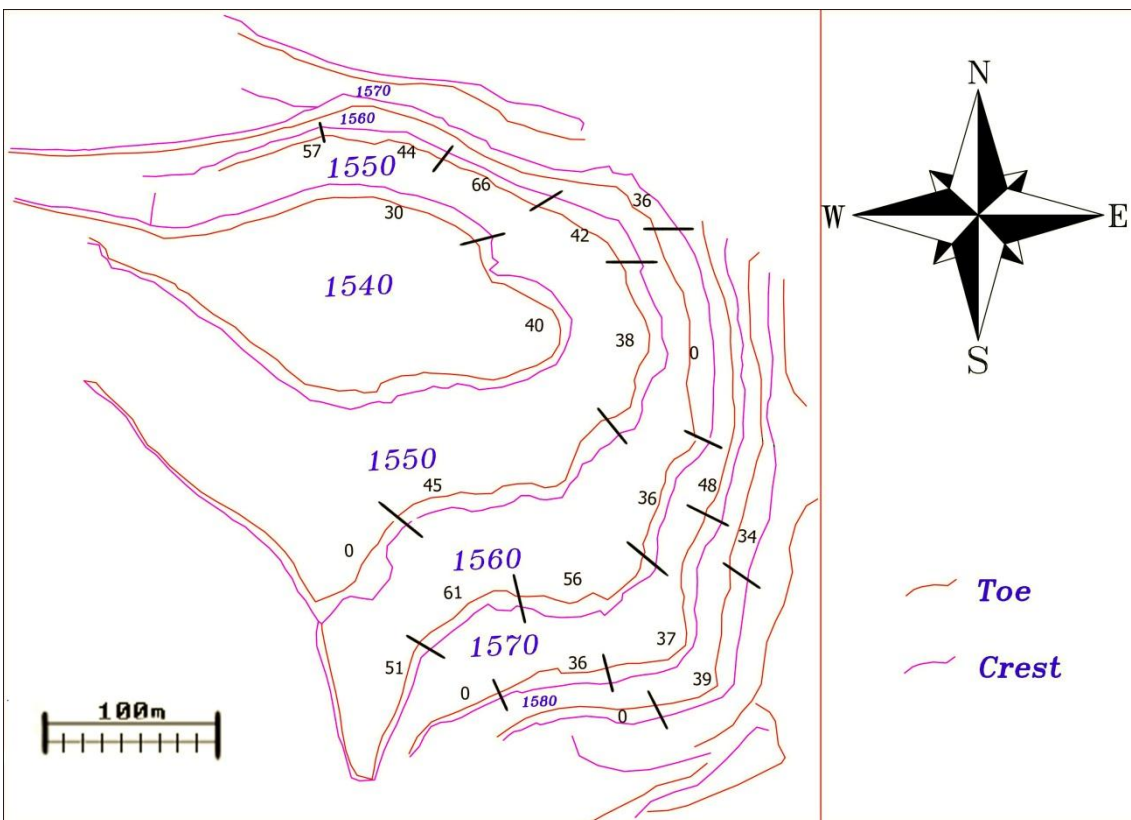
در جدول (۲۶-۵)، امتیازدهی نهایی زون‌های مختلف معدن دردوى درج شده و وضعیت سرعت مربوط به هر زون به صورت کیفی و کمی ذکر شده است. در این جدول مشخصات زون‌های خاکی با خط تیره نشان داده شده است.

جدول ۲۶-۵- جدول امتیازات نهایی بر اساس سیستم طبقه‌بندی RDI در معدن دردوى

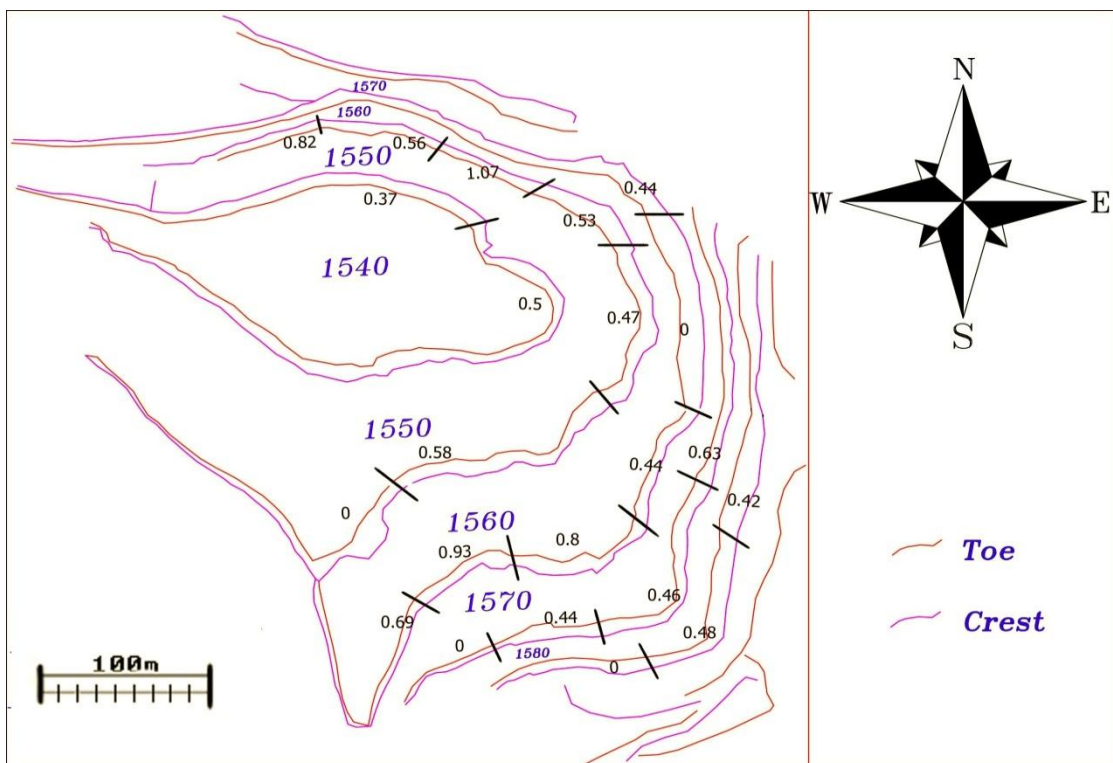
سرعت حفاری (کمی)	سرعت حفاری (کیفی)	RDI	شیب-داری درزه‌ها	پرکننده درزه‌ها	فاصله‌داری درزه‌ها	سختی موس	بافت	ucs	زون
۰/۵	متوسط	۴۰	۸	۱۵	۱	۴	۱	۱۱	۱
۰/۳۷	آهسته-متوسط	۳۰	۱	۱	۱	۴	۷	۱۶	۲
-	-	-	-	-	-	-	-	-	۳
۰/۵۸	متوسط	۴۵	۱	۱۰	۱۳	۴	۱	۱۶	۴
۰/۴۷	آهسته-متوسط	۳۸	۱	۱۵	۱	۹	۱	۱۱	۵
۰/۵۳	متوسط	۴۲	۱	۱۵	۵	۴	۱	۱۶	۶
۱/۰۷	متوسط-سریع	۶۶	۱۲	۱۵	۹	۱۳	۱	۱۶	۷
۰/۵۶	متوسط	۴۴	۱	۱۵	۱	۴	۷	۱۶	۸
۰/۸۲	متوسط	۵۷	۶	۱۵	۹	۴	۱	۲۲	۹
۰/۶۹	متوسط	۵۱	۶	۱۵	۹	۴	۱	۱۶	۱۰
۰/۹۳	متوسط-سریع	۶۱	۱۲	۱۵	۱۳	۹	۱	۱۱	۱۱
۰/۸	متوسط	۵۶	۱۲	۱۵	۱۳	۴	۱	۱۱	۱۲
۰/۴۴	آهسته-متوسط	۳۶	۱	۷	۱	۴	۷	۱۶	۱۳
-	-	-	-	-	-	-	-	-	۱۴
۰/۴۴	آهسته-متوسط	۳۶	۱	۷	۱	۴	۷	۱۶	۱۵
-	-	-	-	-	-	-	-	-	۱۶
۰/۴۴	آهسته-متوسط	۳۶	۱	۷	۱	۴	۷	۱۶	۱۷
۰/۴۶	آهسته-متوسط	۳۷	۱	۱۵	۵	۴	۱	۱۱	۱۸
۰/۶۳	متوسط	۴۸	۱	۱۵	۵	۴	۷	۱۶	۱۹
-	-	-	-	-	-	-	-	-	۲۰
۰/۴۸	آهسته-متوسط	۳۹	۱	۷	۵	۹	۱	۱۶	۲۱
۰/۴۲	آهسته-متوسط	۳۴	۱	۱	۵	۴	۷	۱۶	۲۲

در اشکال (۴۸-۵) و (۴۹-۵)، به ترتیب امتیاز مربوط به اندیس قابلیت حفاری و سرعت حفاری به صورت کمی به تفکیک هر زون، نشان داده شده است.

فصل پنجم



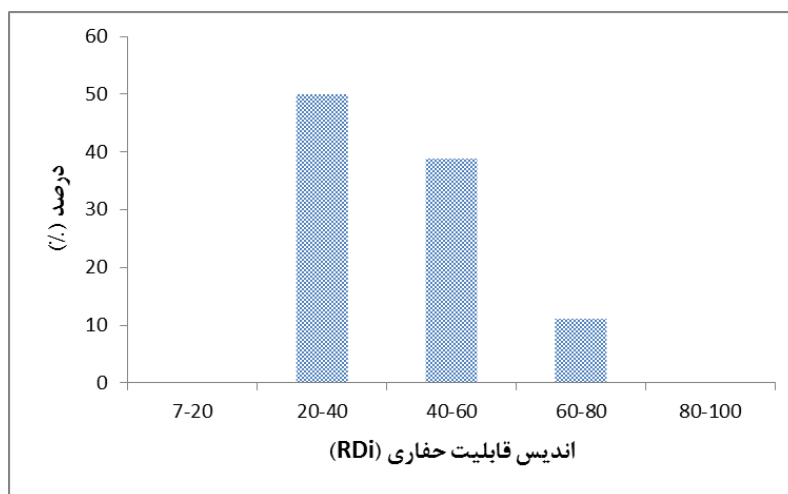
شکل ۴۸-۵- مقدار شاخص RDI در زون های مختلف معدن دردی



شکل ۴۹-۵- تخمین سرعت حفاری در زون های مختلف معدن دردی

در شکل (۵۰-۵)، نمودار ستونی درصد اندیس قابلیت حفاری در معدن دردوى رسم شده است.

همانطور که قبلًاً اشاره شد، با توجه به سیستم مورد استفاده در این تحقیق، سرعت به طور کیفی در بازه ۰-۲۰ آهسته، ۲۰-۴۰ آهسته-متوسط، ۴۰-۶۰ متوسط-سریع و ۶۰-۱۰۰ سریع بیان شده است. با توجه به این مطالب و نمودار ستونی رسم شده، سرعت کیفی بیش از ۵۰٪ سنگ-های این معدن، آهسته-متوسط، ۳۹٪ دارای سرعت متوسط، ۱۱٪ دارای سرعت متوسط-سریع می-باشد. مشاهده می‌شود که، نزدیک به ۹۰ درصد زون‌های موجود در این معدن دارای سرعتی متوسط و متوسط به پایین می‌باشد. این سرعت کیفی با توجه به فاصله‌داری درزه‌ها، بافت و سختی غالبي که در این معدن وجود دارد، امری بدیهی به نظر می‌رسد.

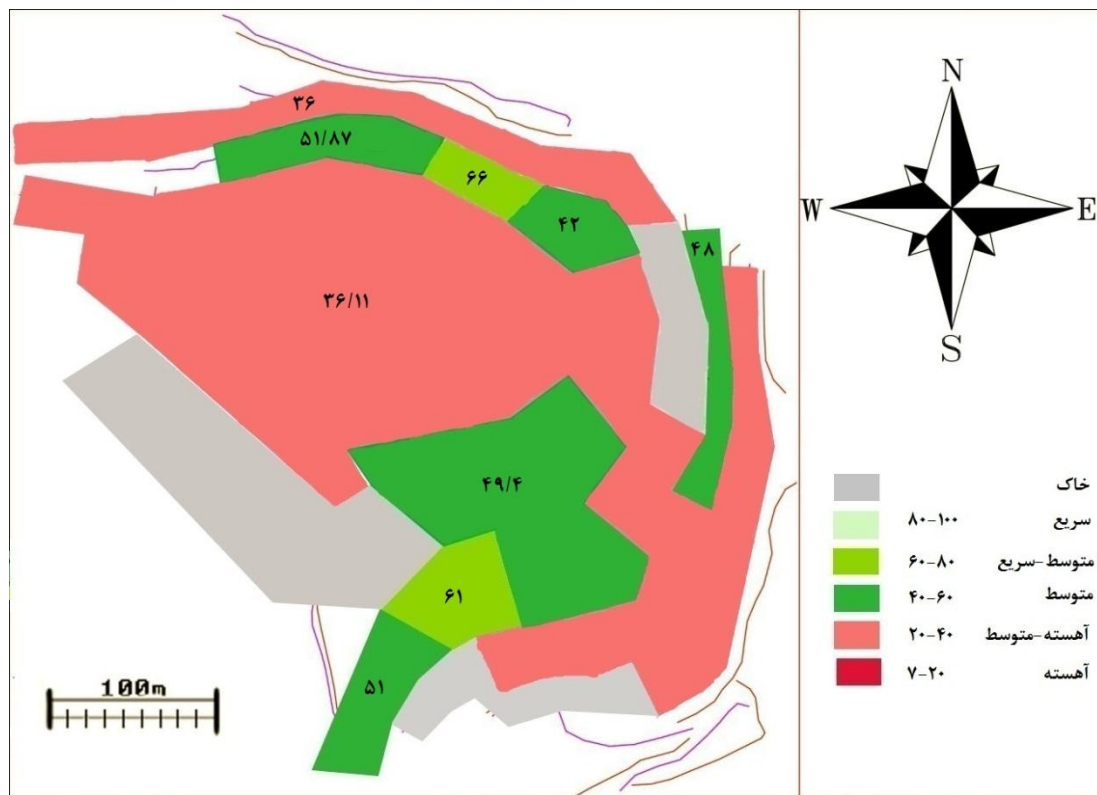


شکل ۵۰-۵- نمودار ستونی درصد اندیس قابلیت حفاری در معدن دردوى

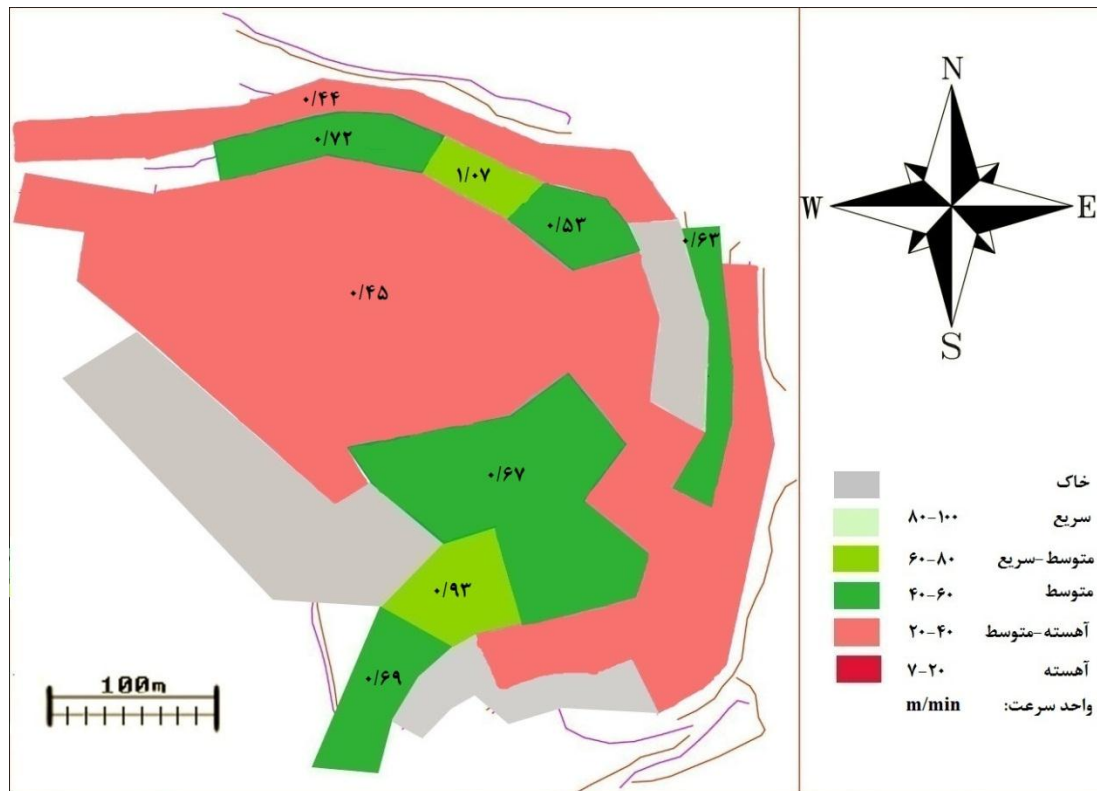
۸.۳.۵ زون‌بندی نهايی توده‌سنگ‌های معدن دردوى

در اين معدن نيز همانند معدن باگک، زون‌های هم‌کلاس و در همسایگی هم یك زون جديد در نظر گرفته شده و ۲۲ زون اين معدن به ۱۲ زون بزرگتر تبديل شده است. سپس با استفاده از روش ميانگين وزني طول پيمایش، امتياز RDI برای هر زون جديد به دست آمده است. زون‌بندی نهايی در معدن دردوى، بر اساس شاخص قابلیت حفاری و سرعت حفاری به ترتیب در اشكال (۵۱-۵) و (۵۲-۵)، مشاهده می‌شود.

فصل پنجم



شکل ۵-۵۱-۵- زون‌بندی نهایی تودهسنگ‌های معدن دردوى بر اساس شاخص قابلیت حفاری (RDi)



شکل ۵-۵۲-۵- زون‌بندی نهایی تودهسنگ‌های معدن دردوى بر اساس سرعت حفاری

فصل پنجم

تعیین قابلیت حفاری معادن باگک و دردوی

همانطور که در اشکال بالا مشاهده می‌شود، بیشتر نواحی حفاری در این معدن نیز، دارای سرعت آهسته-متوسط می‌باشند.

در معدن دردوی سرعت از ۱/۰۷ تا ۱/۰۴ متر بر ثانیه متغیر می‌باشد. اما مقدار سرعت در زون‌های مشابه (آهسته-متوسط)، این دو معدن متفاوت است. این تفاوت سرعت، به دلایل زیر می‌باشد:

- ماشین حفاری مستقر در معدن دردوی، قدرت و کارایی بیشتری نسبت به ماشین حفاری معدن دردوی دارد.
- سنگ‌های معدن باگک به لحاظ مقاومتی، بسیار مقاومتر از سنگ‌های معدن دردوی می‌باشند.

۴.۵ مقایسه بین پارامترهای مختلف در معادن باگک و دردوی

در جداول (۲۷-۵) تا (۳۲-۵)، مقایسه‌ای بین پارامترهای مختلف اندازه‌گیری شده و سرعت حفاری در معادن باگک و دردوی، آورده شده است.

جدول ۲۷-۵- مقایسه درصد انواع بافت در دو معدن باگک و دردوی

نوع بافت	متخلخل	شکسته	گرانوئیدی	پرفیری	متراکم
معدن باگک	۰	۰	٪۲۲	۰	٪۷۸
معدن دردوی	۰	۰	٪۳۹	۰	٪۶۱

با توجه به جدول (۲۷-۵)، مشخص می‌شود که، یکی از بافت‌های غالب در هر دو معدن باگک و دردوی بافت متراکم می‌باشد. از آنجا که این بافت در سیستم رده‌بندی RDI، دارای کمترین امتیاز بوده و بیشترین تأثیر را در میان بافت‌ها در کاهش نرخ نفوذ دارد، به نظر می‌رسد، یکی از عواملی که موجب کاهش نرخ نفوذ در هر دو معدن شده است، این پارامتر می‌باشد.

در جدول (۲۸-۵)، مشاهده می‌شود که، بیش از ۶۳٪ سنگ‌های معدن باگک دارای مقاومت بیش از ۱۰۰ مگاپاسکال بوده، اما در معدن دردوی مقاومت تمامی سنگ‌ها کمتر از ۱۰۰ مگاپاسکال

فصل پنجم

تعیین قابلیت حاره‌ی معادن باگک و دردوی

می‌باشد. بنابراین از نظر مقاومتی، سنگ‌های معدن باگک دارای مقاومت بیشتری بوده و انتظار می‌رود که، این پارامتر، سرعت را در بخش‌های مختلف معدن، تحت تأثیر قرار دهد.

جدول ۲۸-۵- مقایسه درصد مقاومت فشاری تکمحوره در دو معدن باگک و دردوی

بیشتر از ۲۰۰	۱۰۰-۲۰۰	۵۰-۱۰۰	۲۵-۵۰	۱-۲۵	مقاومت فشاری تک-محوره (MPa)
مقاومت خیلی بالا	مقاطومت بالا	مقاطومت متوسط	مقاطومت کم	مقاطومت خیلی کم	
.	%۶۳	%۱۵	%۱۱	%۱۱	معدن باگک
.	.	%۳۳	%۶۱	%۶	معدن دردوی

با توجه به داده‌های جدول (۲۹-۵)، نتیجه گرفته می‌شود که، سختی غالب در هر دو معدن در مقیاس موس، ۷-۶ بوده، که سختی بالایی می‌باشد. این پارامتر نیز نرخ نفوذ را در هر دو معدن تحت تأثیر قرار داده و آن را کاهش خواهد داد.

جدول ۲۹-۵- مقایسه درصد سختی موس در دو معدن باگک و دردوی

بیشتر از ۷	۶-۷	۴/۵-۶	۳-۴/۵	۱-۳	سختی موس
خیلی سخت	سخت	نسبتاً سخت	نسبتاً نرم	خیلی نرم تا نرم	
.	%۹۳	.	.	%۷	معدن باگک
.	%۷۸	%۱۷	%۵	.	معدن دردوی

با توجه به جدول (۳۰-۵)، که مقایسه‌ای بین فاصله‌داری در دو معدن باگک و دردوی را نشان می‌دهد، این نتیجه گرفته می‌شود که، فاصله‌داری در هر دو معدن باگک و دردوی، متفاوت بوده، اما درزه‌های بیشتری در بازه ۱۵-۰ سانتی‌متر نسبت به دیگر بازه‌ها، قرار دارد.

جدول ۳۰-۵- مقایسه درصد فاصله‌داری درزه‌ها در دو معدن باگک و دردوی

۰-۰/۱۵	۰/۱۵-۰/۵	۰/۵-۱	۱-۲	بیشتر از ۲ متر	فاصله‌داری درزه‌ها (m)
%۴۱	%۳۰	.	%۲۲	%۷	معدن باگک
%۳۹	%۲۸	%۱۶	%۱۷	.	معدن دردوی

فصل پنجم

تعیین قابلیت حفاری معادن باگک و دردوی

زاویه بین امتداد چال و سطح درزه نیز یکی از عوامل تأثیرگذار بر نرخ نفوذ می‌باشد. هر چه مقدار این زاویه بیشتر باشد، نرخ نفوذ نیز بیشتر خواهد بود. در جدول (۳۱-۵)، مشاهده می‌شود که، در هر دو معادن بیش از نیمی از زاویه‌های اندازه‌گیری شده، در بازه ۰-۲۰° قرار دارند که تأثیر منفی بر روی نرخ نفوذ دارد.

جدول ۳۱-۵- مقایسه درصد زاویه بین امتداد چال و سطح درزه در دو معادن باگک و دردوی

زاویه بین امتداد چال و سطح درزه	۰-۲۰	۲۰-۳۵	۳۵-۵۵	۵۵-۷۰	۷۰-۹۰	معدن باگک
%۵۲	%۷	%۱۵	%۷	%۱۹		
%۶۷	%۰	%۱۱	%۱۱	%۱۱		معدن دردوی

در جدول (۳۲-۵)، پس از در نظر گرفتن تأثیر تمام پارامترهای ذکر شده در سیستم رده‌بندی RDi، سرعت به صورت کیفی در هر دو معادن مشخص شده است. مشاهده می‌شود که، در هر دو معادن، سرعت‌های غالب به ترتیب، آهسته-متوسط و متوجه می‌باشند.

جدول ۳۲-۵- مقایسه درصد شاخص کیفیت حفاری (RDi) در دو معادن باگک و دردوی

آهسته	۰-۲۰	۲۰-۴۰	۴۰-۶۰	۶۰-۸۰	۸۰-۱۰۰	RDi
%۸		آهسته-متوسط	متوسط	متوسط-سریع	سریع	معدن باگک
.		%۵۹	%۲۶	.	%۷	معدن دردوی

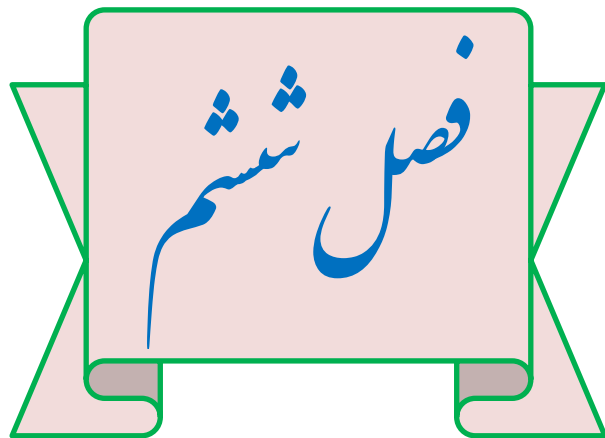
پس از تعیین سرعت حفاری در تمام زون‌های سنگی، با استفاده از رابطه بین اندیس قابلیت حفاری و سرعت حفاری، بیشترین و کمترین سرعت در معادن باگک و دردوی ۰/۰۵ و ۱/۱۱ متر بر دقیقه بوده و در معادن دردوی، بیشترین و کمترین سرعت ۰/۳۷ و ۱/۰۷ متر بر دقیقه می‌باشد.

۵.۵ جمع‌بندی و نتیجه‌گیری

در این فصل، پس از انتخاب سیستم رده‌بندی مناسب جهت تعیین قابلیت حفاری معادن باگک و دردوی، به بررسی ارتباط بین این شاخص و سرعت حفاری پرداخته شد. برای این منظور پس از

مطالعات آزمایشگاهی بر روی چهار نمونه از معدن باگک و چهار نمونه از معدن دردوى از توابع معادن سنگآهن سنگان، شاخص قابلیت حفاری برای هر کدام از این معادن محاسبه شد. سپس با انجام تحلیل‌های آماری و رگرسیونی بر نتایج آزمایشات، علاوه بر تعیین ارتباط بین شاخص قابلیت حفاری و سرعت حفاری، جهت تعیین مقاومت فشاری تکمحوره نیز ارتباط بین عدد سختی اشمتیت، مقاومت فشاری تکمحوره و مقاومت بار نقطه‌ای مورد بررسی قرار گرفت. با توجه به روابط ارائه شده بین عدد سختی اشمتیت و مقاومت فشاری تکمحوره و همچنین عدد سختی اشمتیت و مقاومت بار نقطه‌ای، چون ضریب همبستگی در هر دو معدن میان سختی اشمتیت و مقاومت بار نقطه‌ای بیشتر بود، بنابراین از این روابط جهت تعیین مقاومت فشاری استفاده شد. علاوه بر این شاخص حفاری توده‌سنگ با سرعت حفاری نیز دارای رابطه‌ای قوی در هر دو معدن باگک و دردوى بود. با تعیین شاخص قابلیت حفاری برای تمام زون‌ها، با استفاده از رابطه بین این شاخص و سرعت حفاری در زون‌های انتخابی، سرعت حفاری در تمام ترازهای دیگر هر دو معدن تعیین شد. در نهایت، زون‌بندی نهایی بر اساس شاخص قابلیت حفاری و سرعت حفاری در هر دو معدن انجام شد که، بر این اساس هر دو معدن به ۱۲ زون بزرگتر تقسیم شدند.

بنابراین با تعیین زون‌بندی نهایی در این معادن و داشتن شاخص قابلیت حفاری و سرعت در این زون‌ها، می‌توان با دید بهتری به حفاری در این معادن پرداخت.



نیچے کری و پیشہ دات

فصل ششم

نتیجه‌گیری و پیشنهادات

۱.۶ نتیجه‌گیری

حفاری به صورت گسترهای در مهندسی معدن، عمران و نفت استفاده می‌شود. با توجه به هزینه بالا و ماشینآلات گران قیمت، شناخت محیط حفاری و خصوصیات توده‌سنگ برجا، کمک بسیار زیادی به انتخاب نوع سیستم حفاری، تعیین تعداد ماشینآلات حفاری، ارزیابی توان تولید معدن و پیش‌بینی سرعت حفاری خواهد نمود. عوامل متعددی در امر حفاری دخیل‌اند. برخی از این عوامل با قابلیت حفاری رابطه مستقیم و برخی دیگر رابطه عکس دارند.

به منظور انجام این تحقیق، پس از بررسی سیستم‌های ردۀ‌بندی مختلف همراه با مزايا و معایب آن‌ها در بخش سوم، نهایتاً سیستم ردۀ‌بندی RDi، جهت تعیین قابلیت حفاری معدن باعک و دردوی انتخاب شد. به منظور تعیین قابلیت حفاری در معدن ذکر شده با استفاده از این سیستم ردۀ‌بندی، ابتدا ترازهای مختلف هر کدام از معدن باعک و دردوی بر اساس پارامترهای مطرح شده در سیستم ردۀ‌بندی RDi، زون‌بندی شدند، که بر این اساس، معدن باعک به ۳۱ زون و معدن دردوی به ۲۲ زون تقسیم شدند. در هر یک از این معدن، چهار زون جهت جمع‌آوری نمونه و ثبت سرعت حفاری انتخاب شده و پارامترهایی از قبیل مقاومت فشاری تکمحوره، مقاومت بار نقطه‌ای، چگالی و تخلخل در هر یک از نمونه‌های این هشت زون مشخص شدند. همچنین بافت، سختی موس، سختی اشميٰ، فاصله‌داری، شيب‌داری و پرشدگی درزه‌ها در تمامی ۵۳ زون تعیين گردیدند. از آنجايی که تعیين مقاومت فشاری تکمحوره برای تمامی ۵۳ زون امری هزینه‌بر بود، با تعیين رابطه بين مقاومت فشاری تکمحوره و چکش اشميٰ و همچنین رابطه بين مقاومت بار نقطه‌ای و چکش اشميٰ در زون‌های تعیين شده، مشخص شد که، رابطه بين مقاومت بار نقطه‌ای و چکش اشميٰ در هر دو معدن یک رابطه قوي با ضريب همبستگي بالا مي‌باشد. (ضريب همبستگي بين مقاومت فشاری تکمحوره در معدن باعک و دردوی به ترتيب: $R^2=0.9513$ و $R^2=0.813$ ، ضريب همبستگي بين مقاومت بار نقطه‌اي و سختی اشميٰ در هر کدام از معدن باعک و دردوی به ترتيب: $R^2=0.9702$ و $R^2=0.8647$.)

فصل ششم

نتیجه کیری و پیشنهادات

بنابراین با استفاده از این روابط مقاومت فشاری تمام زون‌ها که یکی از پارامترهای ورودی سیستم رده‌بندی RDi می‌باشد، محاسبه شد.

در مرحله بعد، رابطه بین اندیس قابلیت حفاری و سرعت حفاری که یک رابطه ضروری به منظور تعیین سرعت حفاری در سایر زون‌ها می‌باشد، تعیین گردید. بدین منظور پس از محاسبه اندیس قابلیت حفاری (RDi) و ثبت سرعت حفاری در زون‌های تعیین شده، رابطه بین این دو پارامتر در هر یک از معادن به طور جداگانه به دست آمد. پس از تحلیل رگرسیونی مشخص شد که رابطه بین اندیس قابلیت حفاری و سرعت حفاری در هر دو معادن، یک رابطه بسیار خوب و قوی می‌باشد (ضریب همبستگی در هر یک از معادن باغک و دردوى به ترتیب: $R^2=0.9219$ و $R^2=0.8795$).

پس از در نظر گرفتن تأثیر تمام پارامترهای ذکر شده در سیستم رده‌بندی RDi، سرعت به صورت کیفی در هر دو معادن مشخص شد، به طوری که در هر دو معادن، سرعت‌های غالب به ترتیب، آهسته-متوسط و متوسط می‌باشند. پس از محاسبه اندیس قابلیت حفاری در تمامی زون‌های دیگر و با استفاده از رابطه بین اندیس قابلیت حفاری و سرعت حفاری در هر کدام از معادن، سرعت در تمام زون‌ها به دست آمد. در نهایت، زون‌بندی نهایی بر اساس شاخص قابلیت حفاری و سرعت حفاری در هر دو معادن انجام شد که، بر این اساس هر دو معادن به ۱۲ زون بزرگتر تقسیم شدند. پس از این زون‌بندی جدید مشخص شد که، در معادن باغک سرعت از ۰/۰۵ تا ۰/۵۴ متر بر دقیقه تغییر می‌کند و فقط در دو زون لیمونیتی سرعت بالای ۱ متر بر دقیقه می‌باشد. در معادن دردوى نیز سرعت از ۰/۴۴ تا ۰/۱۰۷ متر بر دقیقه تغییر می‌باشد.

با توجه به مطالعه گفته شده نتیجه‌گیری می‌شود، می‌توان قبل از حفاری، با تعیین اندیس قابلیت حفاری در زون‌های دیگر و با استفاده از رابطه بین این اندیس و سرعت حفاری در زون‌های انتخاب شده، سرعت حفاری را به صورت کمی تعیین کرده و با اطلاع از وضعیت حفاری در هر زون، با دید باز به حفاری در هر زون پرداخت.

فصل ششم

نتیجه کریزی و پیشنهادات

۲.۶ پیشنهادات

- ۱- از آنجایی که پارامترهای وابسته به ماشین حفار تأثیر بسزائی در تعیین قابلیت حفاری دارند، بهتر است که دستگاه‌های حفاری، در زمان‌های مقرر سرویس‌های دوره‌ای شوند و چنانچه لازم باشد، تعمیرات پیشگیرانه برای آن‌ها انجام شود. این امر موجب افزایش کارایی تک تک اجزای دستگاه حفاری شده و در موجب افزایش قابلیت حفاری خواهد شد.
- ۲- پیشنهاد می‌شود به دلایل زیر و به منظور افزایش بازدهی و کاهش هزینه‌ها، در معدن باگک نیز از ماشین حفار Roc L8 و یا دستگاه حفاری با کارایی بالاتر استفاده شود.
- ماشین حفار مستقر در معدن باگک، یک دستگاه قدیمی بوده و اطلاعاتی از قبیل، سرعت چرخش، بار پشت مته، سرعت حفاری، و ... در آن ثبت نمی‌شود.
- قطر حفاری با ماشین حفار Roc L8 ۱۵۲ میلی‌متر است، بنابراین می‌توان به منظور عملیات آتشباری، در مجموع تعداد چال کمتری حفر کرد.
- از آنجایی که مقاومت سنگ‌های معدن باگک بالا می‌باشد، دستگاه‌های حفار فعلی مستقر در این معدن، دارای کارایی پایینی می‌باشند.
- زمان تعویض میله مته و جابه‌جایی دستگاه حفار Roc L8، نسبت به دستگاه حفار TYL386، بسیار کم بوده، که در مجموع تعداد چال بیشتری را در زمان کمتر حفر می‌نماید.
- ماشین حفار Roc L8، به راحتی می‌تواند، چال مورد نظر را با شیب‌های مختلف آتشباری را اجرا کرده و بهترین الگو را هم به لحاظ هزینه و هم تولید بار بیشتر انتخاب کرد.
- پیشنهاد می‌شود برای مطالعات بیشتر در زمینه تعیین قابلیت حفاری، از روش RPi نیز استفاده شود و نتایج این دو روش در این معادن با یکدیگر مقایسه شود.

فصل ششم

نتیجه کریزی و پیشنهادات

- ۴- ضعف فعلی که در سیستم ردهبندی RDI وجود دارد این است که، در جایی که با بیش از یک دسته درزه غالب مواجه شود، پاسخی برای این مسئله نخواهد داشت. پیشنهاد می‌شود، به منظور برطرف کردن این مشکل و توسعه این سیستم ردهبندی، تحقیقات بیشتری در این زمینه انجام شود.

منابع

- استوار، رحمت‌ا...، ۱۳۸۲، "آتش‌کاری در معادن"، چاپ ششم، چاپ قلم، ص ۲۱۴.
- اصانلو، مرتضی، ۱۳۸۲، "روش‌های حفاری"، چاپ دوم، مرکز نشر صدرا، ص ۴۱-۲۱.
- ترابی، سید رحمن، ۱۳۷۲، "القبای معدنکاری"، چاپ اول، مرکز نشر دانشگاهی، تهران، ص ۱۰۷.
- حسینی سیدهادی، پورحیمیان یاشار، آقابابایی حمید، ۱۳۸۵، "بررسی و مدلسازی تاثیر شیب‌داری در زدها بر سرعت چالزنی در معدن رویاز"، فصلنامه علوم زمین، شماره ۶۳، سال شانزدهم.
- حسینی سیدهادی، پورحیمیان یاشار، آقابابایی حمید، ۱۳۸۶، "پیشنهاد سیستم طبقه‌بندی جدید جهت پیش‌بینی سرعت حفاری در معدن رویاز"، سومین کنفرانس مکانیک سنگ ایران.
- حسینی سیدهادی، عطائی محمد، ۱۳۸۸، "تأثیر مشخصات مقاومتی سنگ بر سرعت حفاری ضربه‌ای در معادن"، ششمین کنفرانس زمین‌شناسی مهندسی و محیط زیست ایران.
- حسینی س، (۱۳۸۷)، پایان‌نامه ارشد : "R_{Pi} روشی جدید برای ارزیابی و پیش‌بینی قابلیت حفاری سنگ‌ها"، دانشکده مهندسی معدن، نفت و ژئوفیزیک، دانشگاه صنعتی شاهروд.
- شرکت مهندسی معدنکاو، فروردین ۱۳۸۸، "گزارش زمین‌شناسی ساختمانی آنومالی سنگ‌آهن با غلک(سنگان)".
- شرکت مهندسی معدنکاو، خرداد ۱۳۸۸، "گزارش زمین‌شناسی ساختمانی آنومالی سنگ‌آهن در دروی(سنگان)".
- عطائی م، حسینی س، (۱۳۸۷)، طرح پژوهشی، "بررسی پارامترهای مؤثر در سرعت حفاری و ارائه سیستم طبقه‌بندی جدید برای تعیین اندازه قابلیت نفوذ در سنگ‌ها (R_{Pi})"، دانشکده مهندسی معدن، نفت و ژئوفیزیک، دانشگاه صنعتی شاهروд.
- فهیمی‌فر، ا، سروش، ح، ۱۳۸۰، "آزمایش‌های مکانیک سنگ، مبانی نظری و استانداردها (جلد اول آزمون‌های آزمایشگاهی)", انتشارات شرکت سهامی آزمایشگاه‌های فنی و مکانیک خاک.

منابع

قویدل م، (۱۳۹۰)، پایان نامه ارشد، "طبقه بندی قابلیت حفاری توده سنگ ها و پیش بینی سرعت حفاری در معدن سنگ آهن گلگهر"، دانشکده مهندسی معدن، نفت و ژئوفیزیک، دانشگاه صنعتی شاهروд.

کمالی جواد، مهترپور شاکر، ۱۳۸۰، "عوامل مؤثر در سرعت حفاری"، اولین کنفرانس حفاری ایران.
محمدی سید داود، خانلری غلامرضا، ۱۳۸۳، "تخمین قابلیت تراشه شدن توده های سنگی با استفاده از رده بندی های Q و RMR ", کنفرانس مهندسی معدن ایران.
معماریان حسین، قاسمی امیر رضا، مهین راد ابوالفضل، ۱۳۸۵، "بررسی عوامل مؤثر بر نرخ نفوذ در چالزن های ضربه ای چکش بالا"، نشریه علمی - پژوهشی مهندسی معدن.

مهندسين مشاور کاوشگران، مرداد ۱۳۸۹، "گزارش طراحی، برنامه ریزی و آماده سازی استخراج معدن سنگ آهن با غک سنگان".

مهندسين مشاور کاوشگران، فروردین ۱۳۹۱، "گزارش طراحی، برنامه ریزی و آماده سازی استخراج معدن سنگ آهن با غک سنگان".

مهندسين مشاور کاوشگران، شهریور ۱۳۸۵، "گزارش نهایی بررسی امکان تأمین سالانه یک میلیون تن آهن دانه بندی شده از معادن فرعی با غک، دردوی و تپه قرمز".

مهندسين مشاور کاوشگران، خرداد ۱۳۸۹، "گزارش طراحی و برنامه ریزی استخراج معدن سنگ آهن دردوی سنگان".

مهندسين مشاور کاوشگران، فروردین ۱۳۹۱، "گزارش طراحی و برنامه ریزی استخراج معدن سنگ آهن دردوی سنگان".

وفائیان، محمود، ۱۳۷۶، "خصوصیات سنگ ها"، نشر اردکان، ص ۶-۹.

یاوری شهرضا، مهدی، ۱۳۸۱، "اصول مهندسی معدن"، چاپ اول، چاپ و نشر علامه طباطبایی، ص ۱۲۸-۱۵۳.

منابع

یاوری شهرضا، مهدی، ۱۳۸۳، "فنون چالزی پله‌ای و راهنمای انتخاب تجهیزات"، چاپ اول، لیتوگرافی و خدمات چاپ امید، ص ۲۳-۲۱.

Akun M.E. & Karpuz C. (2005) "Drillability studies of surface-set diamond drilling in Zonguldak region sandstones from Turkey" International Journal of Rock Mechanics and Mining Science, 42, 473-479.

Altindag R. (2003) "Technical Note Estimation of Penetration Rate in Percussive Drilling by Means of Coarseness Indexand Mean Particle Size". Rock Mech. Rock Engng. 36 (4), 323–332.

Bilim, N. (2011) "Determination of drillability of some natural stones and their association with rock properties". Scientific Research and Essays Vol. 6(2), pp. 382-387, 18 January.

Bilgesu H. I., tetric L.T., Altmis U., Mohaghegh S. and Ameri S. (1997) "A new approach for the prediction of rate of penetration (ROP) values" Proc. of SPE Reginal Meeting, Lexington, USA, 175-179.

Bilgin, N. and Kahraman, S. (2003). "Drillability prediction in rotary blast hole drilling". In: Proc. 18th Int. Mining Cong. and Exhibition of Turkey, Antalya, Turkey, pp. 177–182.

Cheniany A, Hasan Khoshrou, Shahriar K and Khademi Hamidi J. (2012) "An estimation of the penetration rate of rotary drills using the Specific Rock Mass Drillability index" International Journal of Mining Science and Technology 22 187–193.

Denkhaus H.G. (2003) "Brittleness and drillability". The South African Institute of Mining and Metallurgy.

Ersoy A. & Waller,M.D. (1995) "Textural characterization of rocks" J. of Engineering Geology, June, Vol. 39, Issues 3-4, 123-136.

Gunaydin O., Kahraman S and Fener M. (2004) "Sawability prediction of carbonate rocks from brittleness indexes". The Journal of The South African Institute of Mining and Metallurgy.

Hoseinie S. H., Aghababaei H., Pourrahimian Y. (2008) "Development of a new classification system for assessing of Rock mass Drillability index (RDi)" International Journal of Rock Mechanics and Mining Science, 45, 1-10.

Hoseinie S.H & Ataei, M and Osanloo, M. (2009) “A new classification system for evaluating rock penetrability”. International Journal of Rock Mechanics & Mining Sciences 46, 1329–1340.

Howarth D.F. and Rowland J.C. (1987) “Quantitative assessment of rock texture and correlation with drillability and strength properties” Rock Mech. Rock Eng., 20, 57–85.

<http://projeh.blogfa.com>

Hustrulid WA, Fairhurst C. (1971) “A theoretical and experimental study of the percussive drilling of rock” Part VI: application of the model to actual percussive drilling. Int J Rock Mech Min Sci ; 9:431–449.

Jimeno CL, Jimeno E. L. & Carsedo F. J. A. (1995) “Drilling and blasting of rocks” A.A Balkema, Pub Rotterdam.

Kahraman S. (1999) “Rotary and percussive drilling prediction using regression analysis” International Journal of Rock Mechanics and Mining Science, 36: 981-989.

Kahraman S., Balci C., Yazici S. & Bilgin N. (2000) “Prediction of the penetration rate of rotary blast hole drilling using a new drillability index” International Journal of Rock Mechanics and Mining Science, 37,729-743.

Kahraman, S. (2002). “Correlation of TBM and drilling machine performances with rock brittleness”. Eng. Geol. 65, 269–283.

Kahraman,S. (2003). “Performance analysis of drilling machines using rock modulus Ratio”. J. S. Afr. Inst. Min. Metall. 103, 515–522.

Kahraman S., Bilgin N. and Feridunoglu C. (2003) ” Dominant rock properties affecting the penetration rate of percussive drills” Int. J. Rock Mech. Min. Sci., 40, 711–723.

Oddsson, J. (1979). “Rock quality designation and drilling rate correlated with lithology and degree of alteration in volcanic rocks from the 1979 Surtsey drill hole”. Surtsey Research Progress Report IX, 94-97.

Plinninger R.J & Thuro K. (2004) “Wear Prediction in Hardrock Excavation Using the CERCHAR Abrasiveness Index (CAI)”. 53rd Geomechanics Colloquium.

Rustan A. (1998) “Rock Blasting terms and Symbols” A. A. Balkema, Rotterdam, Brookfield, pp. 60.

Tunnels & Tunnelling International. (2006) “*Abrasivity testing for rock and soils*”. , pp. 47-49.

Thuro K. and Spaun G. (1996) ” *Introducing the destruction work as a new rock property of toughness referring to drillability in conventional drill and blast tunneling*” Eurock 96, Turin, Italy.

Thuro K. (1997) ” *Prediction of drillability in hard rock tunneling by drilling and blasting*” In Glosser, J., Hinkel, J.W. and Schubert, W. (Eds.): *Tunnels for People*, Balkema, Rotterdam, 103 – 108.

Thuro K., Plinniger R.J. and Spaun G. (2002) “*Drilling, Blasting and Cutting – Is it possible to quantify geological parameters relating to excavability?*” Environment.

Durban, South Africa, 16 - 20 September - J. L. van Rooy and C. A. Jermy, editors.

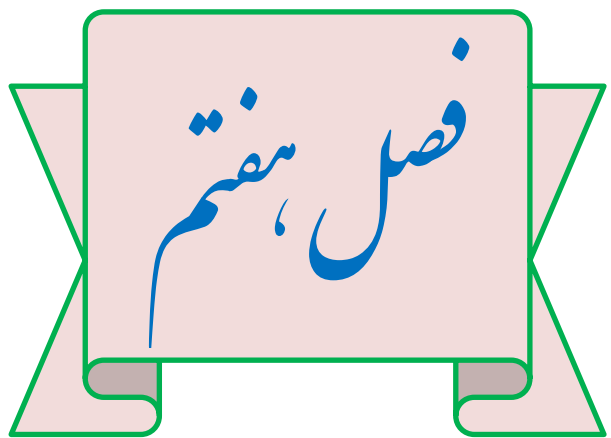
Thuro K. and Plinniger R.J. (2003) ”*Hard rock tunnel boring, cutting, drilling and blasting: rock parameters for excavability*” Technology roadmap for rock mechanics, South African Institiue of Mining and Metallurgy.

Wilbur L. (1982) “*Rock Tunnel Engineering Handbook*”. Edited by Bickel and kuesel, Publication of Van Norstrand Reinhold Company.

www.simp.ir.

Yarali O. and Kahraman S. (2011) “*The drillability assessment of rocks using the different brittleness values*”. *Tunnelling and Underground Space Technology* 26, 406–414.

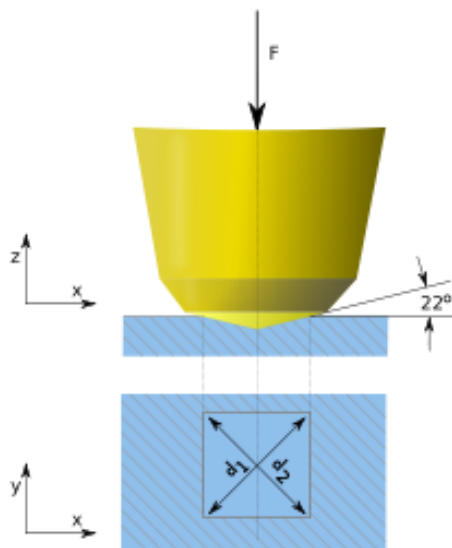
Yasar E., Ranjith P.G. and Viete D.R. (2011) “*An experimental investigation into the drilling and physico-mechanical properties of a rock-like brittle material*”. *Journal of Petroleum Science and Engineering* 76, 185–193.



پوست

۱.۷ آزمایش سختی ویکرز

این آزمایش در سال ۱۹۲۴ معرفی گردیده و مورد استفاده قرار گرفته است. در این آزمایش از نفوذ یک هرم مربع القاعده و قائم استفاده می‌گردد که، جنس آن از الماس مصنوعی بوده و زاویه رأس آن ۱۳۶ درجه است (شکل ۱-۷).



شکل ۱-۷ - آزمایش سختی ویکرز

این آزمایش اثر کوچکتری روی فلزات باقی گذاشته و ضمناً برای فلزات نرم مناسب‌تر می‌باشد. در آزمایش برنیل چون اثر نیروی واردہ شکل گلوله نیز بطور الاستیک تغییر می‌نمود لذا شکل ایجاد شده به نیروی واردہ بستگی داشته و از این رو نسبت P/D^2 حائز اهمیت بود. اما چون در این آزمایش هرم کوچک الماس تغییر شکل نمی‌دهد و شکل ایجاد شده در نمونه آزمایشی بستگی به نیروی واردہ نداشته و از این رو جوابهای بدست آمده دقیق‌تر و قابل تشخیص‌تر است. مثلاً سختی ویکرز ۶۰۰ دو برابر سختی ویکرز ۳۰۰ است، ولی در آزمایش برنیل این مقیاس و تناسب برقرار نیست و ورقهای نازک به روش برنیل حق تقدم دارند (<http://projeh.blogfa.com>).

۱.۱.۷ عدد سختی ویکرز

این عدد بر اساس رابطه (۱-۷)، محاسبه می‌شود.

$$VH = \frac{2F \sin(136^\circ/2)}{d^2} \approx \frac{1.854F}{d^2} \quad \text{رابطه (۱-۷)}$$

واحد سختی ویکرز، کیلوگرم نیرو بر میلی‌متر مربع است و مقادیر حاصل بصورت گزارش می‌شوند که VH_{yy} میزان سختی و VH_{xx} نیروی اعمال شده بر فرورونده است.

۲.۱.۷ مقدار نیرو در آزمایش ویکرز

مقدار نیرو در آزمایش ویکرز کمتر از نیروی مورد استفاده در آزمایش برنیل بوده و با سخت بودن نمونه مورد آزمایش افزایش می‌یابد، این نیرو معمولاً بین ۳۰ تا ۵ کیلوگرم بوده و نیروهای زیاد مثلاً بالای ۱۲۵ کیلوگرم باید دقت شود تا به الماس دستگاه لطمہ نزد (<http://projeh.blogfa.com>) آورده شده.

۲.۷ جداول مربوط به زون‌های معدن باگ

در جداول (۱-۷) تا (۲۷-۷)، تمام پارامترهای مربوط به سیستم رده‌بندی RDI آورده شده است. همچنین سختی اشمیت، امتیاز RDI و مقدار سرعت مربوط به هر زون نیز آمده است. در این جداول، مقاومت فشاری تکمحوره بر حسب مگاپاسکال، فاصله‌داری درزه‌ها بر حسب متر و سرعت حفاری بر حسب متر بر دقیقه بیان شده است.

جدول ۱-۷- معدن باغک، زون شماره ۲

معدن: باغک	تراز: ۱۶۳۰	زون: ۲	جنس سنگ: گرانیت آلتنه خرد شده
پارامترها			
امتیاز	۳۷/۲۶	sh.H	
۷	گرانوئیدی	Te	
۲۲	۱۷/۶۶	ucs	
۴	۶-۷	Mohs.H	
۱	۰-۰/۱۵	j.s	
۱۵	درزه بسته	j.p	
۱	۵	j.d	
متوسط	۵۰	RDi	
	۰/۵۴	V	

جدول ۲-۷- معدن باغک، زون شماره ۳

معدن: باغک	تراز: ۱۶۳۰	زون: ۳	جنس سنگ: مگنتیت پر عیار
پارامترها			
امتیاز	۵۳/۸۲	sh.H	
۱	متراکم	Te	
۶	۱۰۱/۴	ucs	
۴	۶-۷	Mohs.H	
۵	۰/۴۳	j.s	
۱۰	۲۵	j.p	
۳	۳۰	j.d	
آهسته- متوسط	۲۹	RDi	
	۰/۲۱	V	

جدول ۳-۷- معدن باغک، زون شماره ۵

معدن: باغک	تراز: ۱۶۴۰	زون: ۵	جنس سنگ: مگنتیت کم عیار
پارامترها			پرشدگی: کلسیت
امتیاز	۵۴/۲۳	sh.H	۱
۱	متراکم	Te	۶
۶	۱۰۵/۱۲	ucs	۴
۴	۶-۷	Mohs.H	۵
۵	۰/۲۵	j.s	۱۵
۱۵	تقریباً بسته	j.p	۶
۶	۳۷	j.d	آهسته - متوسط
آهسته - متوسط	۳۷	RDi	۰/۳۴
		V	

جدول ۴-۷- معدن باغک، زون شماره ۶

معدن: باغک	تراز: ۱۶۴۰	زون: ۶	جنس سنگ: مگنتیت فلوگوپیت دار
پارامترها			پرشدگی: کلسیت و فلوگوپیت
امتیاز	۴۳/۲۴	sh.H	۱
۱	لایه ای و متراکم	Te	۱۶
۱۶	۳۵/۸۲	ucs	۴
۴	۶-۷	Mohs.H	۱۳
۱۳	۱-۲	j.s	۱۵
۱۵	تقریباً بسته	j.p	۶
۶	۵۰	j.d	متوسط
متوسط	۵۵	RDi	۰/۶۲
		V	

جدول ۷-۵-معدن باغک، زون شماره ۷

معدن: باغک	تراز: ۱۶۴۰	زون: ۷	جنس سنگ: مگنتیت کم عیار
پارامترها			پرشدگی: کلسیت
sh.H	۵۴/۸	امتیاز	۱
Te	۱۱۰/۴۸	متراکم	۶
ucs	۶ - ۷	Mohs.H	۴
j.s	۱/۵	۱/۵	۱۳
j.p	۶	۱/۵	۱۵
j.d	۷	۱/۵	۱
RDi	۴۰	آهسته - متوسط	آهسته - متوسط
V	۰/۳۸		

جدول ۷-۶-معدن باغک، زون شماره ۹

معدن: باغک	تراز: ۱۶۵۰	زون: ۹	جنس سنگ: گرانیت آلتره
پارامترها			پرشدگی: کلسیت
sh.H	۵۴/۶	امتیاز	۷
Te	۱۰۸/۵۷	گرانوئیدی	۶
ucs	۶ - ۷	Mohs.H	۴
j.s	۰-۰/۱۵	۱/۵	۱
j.p	۲۰	۱/۵	۱۰
j.d	۱۰	۱/۵	۱
RDi	۲۹	آهسته - متوسط	آهسته - متوسط
V	۰/۲۱		

جدول ۷-۷-معدن باغک، زون شماره ۱۰

معدن: باغک	تراز: ۱۶۵۰	زون: ۱۰	جنس سنگ: مگنتیت فلوگوپیت دار
پارامترها			
امتیاز	۴۱/۷۸	sh.H	
۱	لایه‌ای و متراکم	Te	
۱۶	۳۰/۴۲	ucs	
۴	۶-۷	Mohs.H	
۱۳	۱-۲	j.s	
۱۵	بسته	j.p	
۶	۴۵	j.d	
متوسط	۵۵	RDi	
	۰/۶۲	V	

جدول ۷-۸-معدن باغک، زون شماره ۱۱

معدن: باغک	تراز: ۱۶۵۰	زون: ۱۱	جنس سنگ: مگنتیت کم عیار
پارامترها			
امتیاز	۵۶/۱۴	sh.H	
۱	متراکم	Te	
۶	۱۲۳/۹۲	ucs	
۴	۶-۷	Mohs.H	
۱۳	۱-۲	j.s	
۱۵	بسته	j.p	
۶	۴۵	j.d	
متوسط	۴۵	RDi	
	۰/۴۶	V	

جدول ۹-۷- معدن باغک، زون شماره ۱۲

جنس سنگ: دولومیت	زون: ۱۲	تراز: ۱۶۵۰	معدن: باغک
پرشدگی: کلسیت	پارامترها		
امتیاز	۵۱/۰۶	sh.H	
۱	متراکم	Te	
۱۱	۷۸/۹۴	ucs	
۴	۶ - ۷	Mohs.H	
۱	۰ - ۰/۱۵	j.s	
۱۵	۶	j.p	
۱	۰ - ۲۰	j.d	
آهسته - متوسط	۳۳	RDi	
	۰/۲۷	V	

جدول ۱۰-۷- معدن باغک، زون شماره ۱۳

جنس سنگ: مگنتیت پر عیار	زون: ۱۳	تراز: ۱۶۵۰	معدن: باغک
پرشدگی: کلسیت	پارامترها		
امتیاز	۵۶/۹۵	sh.H	
۱	متراکم	Te	
۶	۱۳۲/۶۵	ucs	
۴	۶ - ۷	Mohs.H	
۵	۰/۲۸	j.s	
۱۰		j.p	
۸	۷۰	j.d	
آهسته - متوسط	۳۴	RDi	
	۰/۲۹	V	

جدول ۱۱-۷ - معدن باغک، زون شماره ۱۴

معدن: باغک	تراز: ۱۶۵۰	زون: ۱۴	جنس سنگ: دولومیت خرد شده
پارامترها			
امتیاز	۴۸/۷۵	sh.H	
۱	متراکم	Te	
۱۱	۶۳/۳۵	ucs	
۴	۶-۷	Mohs.H	
۱	۰-۰/۱۵	j.s	
۱		j.p	
۱	۰-۲۰	j.d	
آهسته	۱۹	RDi	
	۰/۰۵۱	V	

جدول ۱۲-۷ - معدن باغک، زون شماره ۱۵

معدن: باغک	تراز: ۱۶۵۰	زون: ۱۵	جنس سنگ: مگنتیت پر عیار
پارامترها			
امتیاز	۵۷/۸	sh.H	
۱	متراکم	Te	
۶	۱۴۲/۳۳	ucs	
۴	۶-۷	Mohs.H	
۱	۱۳/۲۵	j.s	
۱۵	تقریباً بسته	j.p	
۱	۰-۲۰	j.d	
آهسته- متوسط	۲۸	RDi	
	۰/۱۹	V	

جدول ۱۳-۷ - معدن باغک، زون شماره ۱۶

معدن: باغک	تراز: ۱۶۶۰	زون: ۱۶	جنس سنگ: گرانیت آلتره
پارامترها			پرشدگی: کلسیت
sh.H	۵۵/۹۴	۱۶	امتیاز
Te	۱۲۱/۸۴	۷	گرانوئیدی
ucs	۶-۷	۶	
Mohs.H	۰/۴۳	۴	
j.s	۱۳	۵	
j.p	۷۱	۱۰	
j.d	۴۴	۱۲	
RDi	۰/۴۵	متوسط	
V			

جدول ۱۴-۷ - معدن باغک، زون شماره ۱۷

معدن: باغک	تراز: ۱۶۶۰	زون: ۱۷	جنس سنگ: مگنتیت کم عیار
پارامترها			پرشدگی: کلسیت
sh.H	۵۶/۷۸	۱۷	امتیاز
Te	متراکم	۱	
ucs	۱۳۰/۷۸	۶	
Mohs.H	۶-۷	۴	
j.s	۰/۰۴	۱	
j.p	۱۱	۱۰	
j.d	۲۲	۳	
RDi	۲۵	آهسته- متوسط	
V	۰/۱۵		

جدول ۱۵-۷ - معدن باغک، زون شماره ۱۸

معدن: باغک	تراز: ۱۶۶۰	زون: ۱۸	جنس سنگ: مگنتیت پر عیار
پارامترها			پرشدگی: کلسیت
امتیاز	۵۴/۰۸	sh.H	
۱	متراکم	Te	
۶	۱۰۳/۷۴	ucs	
۴	۶-۷	Mohs.H	
۱۳	۱/۶۸	j.s	
۱۵	تقریباً بسته	j.p	
۱	۳	j.d	
آهسته- متوسط	۴۰	RDi	
	۰/۳۸	V	

جدول ۱۶-۷ - معدن باغک، زون شماره ۱۹

معدن: باغک	تراز: ۱۶۶۰	زون: ۱۹	جنس سنگ: مگنتیت کم عیار
پارامترها			
امتیاز	۵۴/۶۵	sh.H	
۱	متراکم	Te	
۶	۱۰۹/۰۵	ucs	
۴	۶-۷	Mohs.H	
۵	۰/۳۲	j.s	
۱۵	۵	j.p	
۱	۱۵	j.d	
آهسته- متوسط	۳۲	RDi	
	۰/۲۶	V	

جدول ۱۷-۷-معدن باغک، زون شماره ۲۰

جنس سنگ: دولومیت	زون: ۲۰	تراز: ۱۶۶۰	معدن: باغک
پرشدگی: کلسیت	پارامترها		
امتیاز	۴۹/۸۶	sh.H	
۱	متراکم	Te	
۱۱	۷۰/۵۱	Ucs	
۴	۶-۷	Mohs.H	
۵	۰/۱۶	j.s	
۱۵	تقريباً بسته	j.p	
۸	۵۶	j.d	
متوسط	۴۴	RDi	
	۰/۴۵	V	

جدول ۱۸-۷-معدن باغک، زون شماره ۲۱

جنس سنگ: مگنتیت پر عیار	زون: ۲۱	تراز: ۱۶۶۰	معدن: باغک
پرشدگی: کلسیت	پارامترها		
امتیاز	۵۵/۸۲	sh.H	
۱	متراکم	Te	
۶	۱۲۰/۶	Ucs	
۴	۶-۷	Mohs.H	
۱	۰/۰۴	j.s	
۱۰	۱۰	j.p	
۱	۰	j.d	
آهسته- متوسط	۲۳	RDi	
	۰/۱۱	V	

جدول ۱۹-۷ - معدن باغک، زون شماره ۲۳

معدن: باغک	تراز: ۱۶۷۰	زون: ۲۳	جنس سنگ: گرانیت آلتره خردشده
پارامترها			
امتیاز	۵۵/۹۴	sh.H	
۷	گرانوئیدی	Te	
۶	۱۲۱/۸۳	ucs	
۴	۶-۷	Mohs.H	
۱	۰-۰/۱۵	j.s	
۱	۰-۲۰	j.p	
۱	۰-۲۰	j.d	
آهسته	۲۰	RDi	
	۰/۰۷	V	

جدول ۲۰-۷ - معدن باغک، زون شماره ۲۴

معدن: باغک	تراز: ۱۶۷۰	زون: ۲۴	جنس سنگ: لیمونیت
پارامترها			
امتیاز	-	sh.H	
۱	متراکم	Te	
۲۲	-	ucs	
۱۸	۱-۲	Mohs.H	
۱۸		j.s	
۱۵		j.p	
۱۲		j.d	
سریع	۸۶	RDi	
	۱/۱۱	V	

جدول ۲۱-۷- معدن باغک، زون شماره ۲۵

معدن: باغک	تراز: ۱۶۷۰	زون: ۲۵	جنس سنگ: هماتیت
پارامترها			پرشدگی: هماتیت و لیمونیت
		۴۴/۳۴	امتیاز
		متراکم	۱
		۴۰/۳۷	۱۶
		۶ - ۷	۴
		۰ / ۴	۵
		۳	۱۵
		۱۰	۱
		۴۲	متوسط
		۰ / ۴۱	
		V	

جدول ۲۲-۷- معدن باغک، زون شماره ۲۶

معدن: باغک	تراز: ۱۶۷۰	زون: ۲۶	جنس سنگ: لیمونیت
پارامترها			امتیاز
		-	شده
		متراکم	۱
		-	۲۲
		۱ - ۲	۱۸
		j.s	۱۸
		j.p	۱۵
		j.d	۱۲
		RDi	سریع
		V	۱/۱۱

جدول ۲۳-۷- معدن باغک، زون شماره ۲۷

معدن: باغک	تراز: ۱۶۷۰	زون: ۲۷	جنس سنگ: مگنتیت پر عیار
پارامترها			
امتیاز	۵۶/۵۸	sh.H	
۱	متراکم	Te	
۶	۱۲۸/۶۱	ucs	
۴	۶-۷	Mohs.H	
۱	۰-۰/۱۵	j.s	
۱		j.p	
۱۲	۷۰-۹۰	j.d	
آهسته- متوسط	۳۹	RDi	
	۰/۳۶	V	

جدول ۲۴-۷- معدن باغک، زون شماره ۲۸

معدن: باغک	تراز: ۱۶۷۰	زون: ۲۸	جنس سنگ: گرانیت آلتره
پارامترها			
امتیاز	۵۴/۷۴	sh.H	
۷	گرانوئیدی	Te	
۶	۱۰۹/۹	ucs	
۴	۶-۷	Mohs.H	
۱۳	۱-۲	j.s	
۱		j.p	
۱	۱۰	j.d	
متوسط	۴۱	RDi	
	۰/۴	V	

جدول ۲۵-۷ - معدن باغک، زون شماره ۲۹

معدن: باغک	تراز: ۱۶۷۰	زون: ۲۹	جنس سنگ: مگنتیت کم عیار
پارامترها			
امتیاز	۵۶/۹۵	sh.H	
۱	متراکم	Te	
۶	۱۳۲/۶۵	ucs	
۴	۶-۷	Mohs.H	
۱	۰-۰/۱۵	j.s	
۱		j.p	
۱۲	۷۰-۹۰	j.d	
آهسته- متوسط	۳۹	RDi	
	۰/۳۷	V	

جدول ۲۶-۷ - معدن باغک، زون شماره ۳۰

معدن: باغک	تراز: ۱۶۷۰	زون: ۳۰	جنس سنگ: دولومیت
پارامترها			
امتیاز	۵۱/۰۶	sh.H	
۱	متراکم	Te	
۱۱	۷۸/۹۴	ucs	
۴	۶-۷	Mohs.H	
۵	۰/۱۵-۰/۵	j.s	
۱		j.p	
۱	۰-۲۰	j.d	
آهسته- متوسط	۳۷	RDi	
	۰/۳۴	V	

جدول ۲۷-۷- معدن باغک، زون شماره ۳۱

معدن: باغک	تراز: ۱۶۷۰	زون: ۳۱	جنس سنگ: گرانیت آلتره
پارامترها			
امتیاز	۵۵/۵	sh.H	
۷	گرانوئیدی	Te	
۶	۱۱۷/۳۵	ucs	
۴	۶-۷	Mohs.H	
۱	۰-۰/۱۵	j.s	
۱	۰-۲۰	j.p	
۱	۳۴	j.d	
آهسته- متوسط		RDi	
	۰/۲۹	V	

۳.۷ جداول مربوط به زون‌های معدن دردوی

در جداول (۲۸-۷) تا (۴۵-۷) نیز، تمام پارامترهای مربوط به سیستم ردمبندی RDi آورده شده

است. همچنین سختی اشمیت، امتیاز RDi و مقدار سرعت مربوط به هر زون نیز آمده است.

جدول ۲۸-۷- معدن دردوی، زون شماره ۱

معدن: دردوی	تراز: ۱۵۴۰	زون: ۱	جنس سنگ: مگنتیت پرعيار
پارامترها			
امتیاز	۵۹/۸	sh.H	
۱	متراکم	Te	
۱۱	۷۳	ucs	
۴	۶-۷	Mohs.H	
۱	۰-۰/۱۵	j.s	
۱۵	بسه	j.p	
۸	۵۵-۷۰	j.d	
متوسط	۴۰	RDi	
	۰/۵	V	

جدول ۷-۲۹-۲-معدن دروی، زون شماره ۲

جنس سنگ: گرانیت آلتره	زون: ۲	تراز: ۱۵۴۰	معدن: دردوى
خردشده	پارامترها		
امتیاز	۴۴/۵۳	sh.H	
۷	گرانوئیدی	Te	
۱۶	۳۵/۰۸	ucs	
۴	۶-۷	Mohs.H	
۱		j.s	
۱		j.p	
۱	۰-۲۰	j.d	
آهسته- متوسط	۳۰	RDi	
	۰/۳۷	V	

جدول ۷-۳۰-۲-معدن دروی، زون شماره ۴

جنس سنگ: مگنتیت کم عیار	زون: ۴	تراز: ۱۵۵۰	معدن: دردوى
پرشدگی: کلسیت و هماتیت	پارامترها		
امتیاز	۴۷/۶۶	sh.H	
۱	متراکم	Te	
۱۶	۴۰/۷۶	ucs	
۴	۶-۷	Mohs.H	
۱۳	۱-۲	j.s	
۱۰	۲۰	j.p	
۱	۰-۲۰	j.d	
متوسط	۴۵	RDi	
	۰/۵۸	V	

جدول ۷-۳۱-معدن دروی، زون شماره ۵

جنس سنگ: توف کربناتدار آذرآواری	زون: ۵	تراز: ۱۵۵۰	معدن: دردروی
پارامترها			
امتیاز	۵۴/۶۴	sh.H	
۱	متراکم	Te	
۱۱	۵۶/۹۸	ucs	
۹	۴/۵-۶	Mohs.H	
۱	۰-۰/۱۵	j.s	
۱۵	بسته	j.p	
۱	۰-۲۰	j.d	
آهسته- متوسط	۳۸	RDi	
	۰/۴۷	V	

جدول ۷-۳۲-معدن دروی، زون شماره ۶

جنس سنگ: مگنتیت پر عیار	زون: ۶	تراز: ۱۵۵۰	معدن: دردروی
پارامترها			
امتیاز	۴۸/۵۸	sh.H	
۱	متراکم	Te	
۱۶	۴۲/۶۰	ucs	
۴	۶-۷	Mohs.H	
۵	۰/۱۵-۰/۵	j.s	
۱۵	۲/۵	j.p	
۱	۹	j.d	
متوسط	۴۲	RDi	
	۰/۵۳	V	

جدول ۷-۳۳-معدن دروی، زون شماره ۷

جنس سنگ: مگنتیت کم عیار (مقداری نرم)	زون: ۷	تراز: ۱۵۵۰	معدن: دردوی
پارامترها			
امتیاز	۴۸	sh.H	
۱	متراکم	Te	
۱۶	۴۱/۴۳	ucs	
۱۳	۳-۴/۵	Mohs.H	
۹	۰/۵-۱	j.s	
۱۵	بسه	j.p	
۱۲	۷۰ - ۹۰	j.d	
متوسط- سریع	۶۶	RDi	
	۱/۰۷	V	

جدول ۷-۳۴-معدن دروی، زون شماره ۸

جنس سنگ: گرانیت آلتره	زون: ۸	تراز: ۱۵۵۰	معدن: دردوی
پارامترها			
امتیاز	۴۶/۴۶	sh.H	
۷	گرانوئیدی	Te	
۱۶	۳۸/۴۸	ucs	
۴	۶-۷	Mohs.H	
۱	۰-۰/۱۵	j.s	
۱۵	بسه	j.p	
۱	۰ - ۲۰	j.d	
متوسط	۴۴	RDi	
	۰/۵۶	V	

جدول ۷-۳۵-معدن دروی، زون شماره ۹

جنس سنگ: هماتیت	زون: ۹	تراز: ۱۵۵۰	معدن: دردوى
پارامترها			
امتیاز	۳۶/۹۸	sh.H	
۱	متراکم	Te	
۲۲	۲۴/۴۱	ucs	
۴	۶-۷	Mohs.H	
۹	۰/۵-۱	j.s	
۱۵	بسته	j.p	
۶	۳۵-۵۵	j.d	
متوسط	۵۷	RDi	
	۰/۸۲	V	

جدول ۷-۳۶-معدن دروی، زون شماره ۱۰

جنس سنگ: مگنتیت کم عیار	زون: ۱۰	تراز: ۱۵۶۰	معدن: دردوى
پارامترها			
امتیاز	۴۹/۷۷	sh.H	
۱	متراکم	Te	
۱۶	۴۵/۱۱	ucs	
۴	۶-۷	Mohs.H	
۹	۰/۵-۱	j.s	
۱۵	۲	j.p	
۶	۳۵-۵۵	j.d	
متوسط	۵۱	RDi	
	۰/۶۹	V	

جدول ۳۷-۷- معدن دروی، زون شماره ۱۱

معدن: دردوى	تراز: ۱۵۶۰	زون: ۱۱	جنس سنگ: توف کربناتدار آذرآواری
پارامترها			
امتیاز	۵۳/۵۴	sh.H	
۱	متراکم	Te	
۱۱	۵۴/۰۵	ucs	
۹	۴/۵-۶	Mohs.H	
۱۳	۱-۲	j.s	
۱۵	بسته	j.p	
۱۲	۸۰	j.d	
متوسط- سریع	۶۱	RDi	
	۰/۹۳	V	

جدول ۳۸-۷- معدن دروی، زون شماره ۱۲

معدن: دروی	تراز: ۱۵۶۰	زون: ۱۲	جنس سنگ: مگنتیت کم عیار
پارامترها			
امتیاز	۵۴/۷	sh.H	
۱	متراکم	Te	
۱۱	۵۷/۱۴	ucs	
۴	۶-۷	Mohs.H	
۱۳	۱/۱۵	j.s	
۱۵	تقرباً بسته	j.p	
۱۲	۷۰	j.d	
متوسط	۵۶	RDi	
	۰/۸	V	

جدول ۷-۳۹- معدن دروی، زون شماره ۱۳

معدن: دروی	تراز: ۱۵۶۰	زون: ۱۳	جنس سنگ: گرانیت آلتره
پارامترها			خردشده، پرشدگی: خاک
sh.H	۵۲/۹	امتیاز	
Te	۵۲/۴۱	۷	گرانوئیدی
ucs	۶-۷	۱۶	
Mohs.H	۰/۱۵-۱	۴	
j.s	۰-۲۰	۱	
j.p		۷	
j.d		۱	
RDi	۳۶	آهسته- متوسط	
V	۰/۴۴		

جدول ۷-۴۰- معدن دروی، زون شماره ۱۵

معدن: دروی	تراز: ۱۵۶۰	زون: ۱۵	جنس سنگ: گرانیت آلتره
پارامترها			خردشده، پرشدگی: خاک
sh.H	۴۷/۶	امتیاز	
Te	۴۰/۶۴	۷	گرانوئیدی
ucs	۶-۷	۱۶	
Mohs.H	۰-۰/۱۵	۴	
j.s		۱	
j.p		۷	
j.d		۱	
RDi	۳۶	آهسته- متوسط	
V	۰/۴۴		

جدول ۱۷-۴۱- معدن دروی، زون شماره ۱۷

معدن: دروی	تراز: ۱۵۷۰	زون: ۱۷	جنس سنگ: گرانیت آلتره
پارامترها			خردشده، پرشدگی: خاک
sh.H	۵۰/۳۱		امتیاز
Te	۴۶/۲۹		۷
ucs	۶-۷		۱۶
Mohs.H	۰-۰/۱۵		۴
j.s			۱
j.p			۷
j.d			۱
RDi	۳۶		آهسته- متوسط
V	۰/۴۴		

جدول ۱۸-۴۲- معدن دروی، زون شماره ۱۸

معدن: دروی	تراز: ۱۵۷۰	زون: ۱۸	جنس سنگ: مگنتیت کم عیار
پارامترها			پرشدگی: کلسیت
sh.H	۵۳/۴۵		امتیاز
Te	متراکم		۱
ucs	۵۳/۸۲		۱۱
Mohs.H	۶-۷		۴
j.s	۰/۱۵-۰/۰۵		۵
j.p	۲/۵		۱۵
j.d	۹		۱
RDi	۳۷		آهسته- متوسط
V	۰/۴۶		

جدول ۴۳-۷ - معدن دروی، زون شماره ۱۹

معدن: دروی	تراز: ۱۵۷۰	زون: ۱۹	جنس سنگ: گرانیت آلتره
پارامترها			
امتیاز	۴۸/۰۲	sh.H	پرشدگی: کلسیت
۷	گرانوئیدی	Te	
۱۶	۴۱/۴۷	ucs	
۴	۶-۷	Mohs.H	
۵	۰/۱۵-۰/۵	j.s	
۱۵		j.p	
۱	۰-۲۰	j.d	
متوسط	۴۸	RDi	
	۰/۶۳	V	

جدول ۴۴-۷ - معدن دروی، زون شماره ۲۱

معدن: دروی	تراز: ۱۵۸۰	زون: ۲۱	جنس سنگ: توف کربناتدار آذرآواری
پارامترها			
امتیاز	۴۲/۵	sh.H	خردشده، پرشدگی: خاک
۱	متراکم	Te	
۱۶	۳۱/۸۱	ucs	
۹	۴/۵-۶	Mohs.H	
۵		j.s	
۷	۲	j.p	
۱	۰-۲۰	j.d	
آهسته-متوسط	۳۹	RDi	
	۰/۴۸	V	

جدول ۷-۴۵- معدن دروی، زون شماره ۲۲

جنس سنگ: گرانیت آلتره	زون: ۲۲	تراز: ۱۵۸۰	معدن: دروی
خردشده	پارامترها		
امتیاز	۴۴/۶۵	sh.H	
۷	گرانوئیدی	Te	
۱۶	۳۵/۲۷	ucs	
۴	۶-۷	Mohs.H	
۵		j.s	
۱		j.p	
۱	۰-۲۰	j.d	
آهسته - متوسط	۳۴	RDi	
	۰/۴۲	V	

۴.۷ جداول مربوط به پارامترهای اندازه‌گیری شده جهت به دست آوردن چگالی و تخلخل

در جداول (۴۶-۷) و (۴۷-۷)، پارامترهای مختلف مربوط به چگالی و تخلخل هر یک از معادن

باغک و دردی آورده شده است.

جدول ۷-۴۶- پارامترهای مربوط به چگالی نمونه‌های معدن باغک

n(%)	ρ_d (gr/cm ³)	V_v (cm ³)	V (cm ³)	M_S (gr)	M_{sat} (gr)	M_{sub} (gr)	نوع سنگ
۰/۹۳۱۳	۲/۶۰۶۳	۰/۳۹۷۴	۴۲/۶۷۱۳	۱۱۱/۲۱۴۹	۱۱۱/۶۱۲۳	۶۸/۹۴۱۰	گرانیت آلتره
۰/۶۱۴۴	۴/۷۴۰۶	۰/۰۷۶۶	۱۲/۴۶۷۸	۵۹/۱۰۴۹	۵۹/۱۸۱۵	۴۶/۷۱۳۷	مگنتیت پرعیار
۱/۸۱۳۲	۴/۶۲۶۸	۰/۵۵۲۸	۳۰/۴۸۷۹	۱۴۱/۰۶۱۳	۱۴۱/۶۱۴۱	۱۱۱/۱۲۶۲	مگنتیت کم عیار
۰/۵۹۴۸	۳/۰۷۲۶	۰/۰۸۷۶	۱۴/۷۲۷۸	۴۵/۲۵۳۳	۴۵/۳۴۰۹	۳۰/۶۱۳۱	دولومیت
۲۶/۱۱۱۵	۲/۳۶۱۲	۶/۸۴۳۵	۲۶/۲۰۸۷	۶۱/۸۸۴۷	۶۱/۷۲۸۲	۴۲/۵۱۹۵	لیمونیت

جدول ۴-۷-۷ - پارامترهای مربوط به چگالی نمونه‌های معدن دردی

n(%)	ρ_d (gr/cm ³)	V _v (cm ³)	V(cm ³)	M _s (gr)	M _{sat} (gr)	M _{sub} (gr)	نوع سنگ
۳/۱۷۸۴	۲/۵۹۶۷	۱/۳۹۸۱	۴۳/۹۸۷۷	۱۱۴/۲۲۳۱	۱۱۵/۶۲۱۲	۷۱/۶۳۳۵	گرانیت آلتره
۳/۵۴۷۱	۴/۴۳۳۶	۱/۰۱۱۵	۲۸/۵۱۶۳	۱۲۶/۴۳۰۵	۱۲۷/۴۴۲۰	۹۸/۹۲۵۷	مگنتیت کم عیار
۱۱/۳۶۱۱	۳/۸۰۶۱	۳/۶۵۹۴	۳۲/۲۰۹۹	۱۲۲/۵۹۳۰	۱۲۶/۲۵۲۴	۹۴/۰۴۲۵	هماتیت
۲/۹۷۹۲	۳/۳۴۹۸	۱/۱۰۹۵	۳۷/۲۴۱۶	۱۲۴/۷۵۰۶	۱۲۵/۸۶۰۱	۸۸/۶۱۸۵	توف کربنات دار آذرآواری

که در این جداول:

$$V = \frac{M_{sat} - M_{sub}}{\rho_w} \quad (۲-۷) \quad \text{رابطه}$$

: جرم اشباع غوطه‌ور نمونه (gr) M_{sub}

: جرم نمونه اشباع با سطح خشک (gr) M_{sat}

: چگالی آب (gr/cm³) ρ_w

: حجم کل (cm³) V

$$V_v = \frac{M_{sat} - M_s}{\rho_w} \quad (۳-۷) \quad \text{رابطه}$$

: جرم نمونه خشک (gr) M_s

: حجم منافذ (cm³) V_v

$$\rho_d = \frac{M_s}{V} \quad (۴-۷) \quad \text{رابطه}$$

: چگالی خشک (gr/cm³) ρ_d

$$n = \frac{100V_v}{V} \quad (۵-۷) \quad \text{رابطه}$$

: تخلخل (%) n

۵.۷ جداول مربوط به مشخصات نمونه‌های تهیه شده جهت انجام مقاومت

فشاری تکمحوره و مقاومت بار نقطه‌ای

در جداول (۴۸-۷) تا (۵۱-۷)، تمام مشخصات نمونه‌های آماده شده جهت آزمایشات مقاومت

فشاری تکمحوره و مقاومت بار نقطه‌ای آورده شده است.

جدول ۴۸-۷- مشخصات نمونه‌های معدن باگک جهت اندازه‌گیری مقاومت فشاری تکمحوره

دolumیت	هماتیت	مگنتیت پر عیار	گرانیت آلترا شده	مشخصات نمونه
۱۴۹/۵	۱۲۵/۱۲	۱۲۰/۷۴	۱۴۹/۹۷	ارتفاع(mm)
۵۴/۱۲	۵۴/۱۲	۵۴/۱۲	۵۴/۱۲	قطر(mm)
۲/۷۶	۲/۳	۲/۲۳	۲/۷۷	نسبت ارتفاع به قطر
۲۳۰۰/۴۱	۲۳۰۰/۴۱	۲۳۰۰/۴۱	۲۳۰۰/۴۱	سطح مقطع(mm^2)
۲۳۵۰۰۰	۱۳۸۰۰۰	۲۷۵۰۰۰	۲۱۹۰۰۰	حداکثر نیروی وارد(N)
۱۰۲/۱۶	۶۰	۱۱۹/۵۷	۹۵/۲	مقاومت فشاری تکمحوره(MPa)

جدول ۴۹-۷- مشخصات نمونه‌های معدن دردی جهت اندازه‌گیری مقاومت فشاری تکمحوره

گرانیت آلترا	هماتیت	مگنتیت کم عیار	توف کربنات دار آذرآواری	مشخصات نمونه
۱۴۸/۷	۱۴۵/۲	۱۲۶/۸۷	۱۴۶/۷۷	ارتفاع(mm)
۵۴/۱۲	۵۴/۱۲	۵۴/۱۲	۵۴/۱۲	قطر(mm)
۲/۷۵	۲/۶۸	۲/۳۴	۲/۷۱	نسبت ارتفاع به قطر
۲۳۰۰/۴۱	۲۳۰۰/۴۱	۲۳۰۰/۴۱	۲۳۰۰/۴۱	سطح مقطع(mm^2)
۱۰۴۰۰۰	۴۶۰۰۰	۷۵۰۰۰	۹۷۰۰۰	حداکثر نیروی وارد(N)
۴۵/۲۱	۲۰	۳۲/۶۱	۴۲/۱۷	مقاومت فشاری تکمحوره(MPa)

جدول ۵۰-۷- مشخصات نمونه‌های معدن باگک جهت اندازه‌گیری مقاومت بار نقطه‌ای

دولومیت		هماتیت		مگنتیت پر عیار		گرانیت آلتره شده		معدن باگک
نمونه ۱	نمونه ۲	نمونه ۱	نمونه ۲	نمونه ۱	نمونه ۲	نمونه ۱	نمونه ۲	
۹۷	۱۲۶	۱۰۰	۷۵	۱۰۱	۱۱۳	۱۲۷	۹۸	$W_1(mm)$
۹۸	۱۰۹	۱۲۵	۱۰۵	۹۰	۱۱۷	۱۰۹	۱۲۳	$W_2(mm)$
۹۷/۵	۱۱۷/۵	۱۱۲/۵	۹۰	۹۵/۵	۱۱۵	۱۱۸	۱۱۰/۵	$W(mm)$
۵۹	۷۴	۷۵	۶۵	۵۳	۵۶	۶۹	۷۳	$D(mm)$
۷۳۲۸/۰۳	۱۱۰۷۶/۴۳	۱۰۷۴۸/۴۱	۷۴۵۲/۲۲	۶۴۴۷/۷۷	۸۲۰۳/۸۲	۱۰۳۷۱/۹۷	۱۰۲۷۵/۸	$D_e^2(mm^2)$
۸۵/۶	۱۰۵/۲۴	۱۰۳/۶۷	۸۶/۳۳	۸۰/۳	۹۰/۵۷	۱۰۱/۸۴	۱۰۱/۳۷	D_e
۲۲۰	۲۷۵	۹۵	۹۰	۳۰۰	۳۳۵	۲۱۰	۳۱۰	$P(bar)$
۲۷۶۳۲	۳۴۵۴۰	۱۱۹۳۲	۱۱۳۰۴	۳۷۶۸۰	۴۲۰۷۶	۲۶۳۷۶	۳۸۹۳۶	$P(N)$
۳/۷۷	۳/۱۲	۱/۱۱	۱/۵۲	۵/۸۴	۵/۱۳	۲/۵۴	۳/۷۹	$I_s(MPa)$
۱/۲۷	۱/۴	۱/۳۹	۱/۲۸	۱/۲۴	۱/۳۱	۱/۳۸	۱/۳۷	F
۴/۸	۴/۳۶	۱/۵۴	۱/۹۴	۷/۲۲	۶/۷	۳/۵	۵/۲۱	I_{s50}
۱۱۰/۴۷	۱۰۰/۲۵	۳۵/۴۵	۴۴/۶۱	۱۶۶/۳۵	۱۵۴/۱۲	۸۰/۵۶	۱۱۹/۷۸	$\delta_c(MPa)$
۱۰۵/۳۶		۴۰/۰۳		۱۶۰/۲۳		۱۰۰/۱۷		$\delta_c(MPa)$

جدول ۵۱-۷- مشخصات نمونه‌های معدن دردوى جهت اندازه‌گيرى مقاومت بار نقطه‌ای

گرانیت آلتره شده		هماتیت		مگنتیت کم عیار		توف کربنات- دار آذر آواری		معدن دردوى
نمونه ۱	نمونه ۲	نمونه ۱	نمونه ۲	نمونه ۱	نمونه ۲	نمونه ۱	نمونه ۲	
۱۲۸	۹۵	۹۵	۶۵	۱۲۰	۶۱	۱۲۶	۱۰۹	$W_1(mm)$
۱۰۲	۱۱۷	۱۱۴	۹۶	۱۳۵	۹۵	۱۰۵	۷۸	$W_2(mm)$
۱۱۵	۱۰۶	۱۰۴/۵	۸۰/۵	۱۲۷/۵	۷۸	۱۱۵/۵	۹۳/۵	$W(mm)$
۷۵	۶۸	۹۵	۷۳	۴۶	۴۷	۶۸	۸۵	$D(mm)$
۱۰۹۸۷/۲۶	۹۱۸۲/۱۶۶	۱۲۶۴۶/۵	۷۴۸۵/۹۹	۷۴۷۱/۳۴	۴۶۷۰/۱۰	۱۰۰۰۵/۱	۱۰۱۲۴/۲	$D_e^2(mm^2)$
۱۰۴/۸۲	۹۵/۸۲	۱۱۲/۴۶	۸۶/۵۲	۸۶/۴۴	۶۸/۳۴	۱۰۰/۰۳	۱۰۰/۶۲	$D_e(mm)$
۱۳۵	۱۵۵	۸۰	۴۵	۸۰	۷۰	۱۶۰	۱۱۰	$P(bar)$
۱۶۹۵۶	۱۹۴۶۸	۱۰۰۴۸	۵۶۵۲	۱۰۰۴۸	۸۷۹۲	۲۰۰۹۶	۱۳۸۱۶	$P(N)$
۱/۵۴	۲/۱۲	۰/۷۹	۰/۷۶	۱/۳۴	۱/۸۸	۲/۰۱	۱/۳۶	$I_s(MPa)$
۱/۴	۱/۳۴	۱/۴۴	۱/۲۸	۱/۲۸	۱/۱۵	۱/۳۷	۱/۳۷	F
۲/۱۵	۲/۸۴	۱/۱۴	۰/۹۷	۱/۷۲	۲/۱۷	۲/۷۴	۱/۸۷	I_{s50}
۴۹/۵۳	۶۵/۳۵	۲۶/۳۲	۲۲/۲۳	۳۹/۵۷	۴۹/۸۴	۶۳/۱۱	۴۳	$\delta_c(MPa)$
۵۷/۴۴		۲۴/۳		۴۴/۷		۵۳/۰۶		$\delta_c(MPa)$

همچنین روابط (۶-۷) تا (۱۱-۷)، که جهت به دست آوردن بعضی از پارامترها استفاده شده است، آورده شده است.

در جداول مربوط به مقاومت بار نقطه‌ای از روابط زیر استفاده شده است:

$$W = \frac{w_1 + w_2}{2} \quad \text{رابطه (۶-۷)}$$

W : کوچکترین بعد بلوك یا کلوخه در جهت عمود بر محور بارگذاري (ميانگين عرض نمونه)

$$D_e^2 = \frac{4 \times w \times D}{\pi} \quad \text{رابطه (۷-۷)}$$

قطر معادل مغزه D_e (mm)

فاصله بين نقاط تماس فکها D (mm)

$$I_s = \frac{P}{D_e^2} \quad \text{رابطه (۸-۷)}$$

I_s : شاخص مقاومت بار نقطه‌ای تصحیح نشده I_s (MPa)

بار در لحظه گسیختگی $P(N)$

قطر معادل مغزه D_e (mm)

$$I_{s50} = F \times I_s \quad \text{رابطه (۹-۷)}$$

I_{s50} : شاخص مقاومت بار نقطه‌ای تصحیح نشده I_{s50} (MPa)

ضریب تصحیح اندازه F

$$F = \left(\frac{D_e}{50}\right)^{0.45} \quad \text{رابطه (۱۰-۷)}$$

$$\delta_c(MPa) = 23 \times I_{s50} \quad \text{رابطه (۱۱-۷)}$$

مقاومت فشاری تکمحوره δ_c (MPa)

Abstract

According to high costs and expensive machines, understanding all of the parameters effective in drilling and optimizing them, make the condition suitable for optimized exploitation. Realization the drilling environment and rock mass properties contribute to selection of drilling type, determination of drilling machines, assessment of mine production rate and prediction of drilling speed. Many factors have hand in drilling. Some of them have direct relationship with drillability and some have inverse. Sangan iron ore mines locate in southeastern of Khorasan-e-razavi province. To determine the drillability in these mines, two of active mines of this complex named Baghak and Dardway have been selected. To do the research in these mines, at first level contours of each mine have been classified according to parameters of RDi classification system, so that Baghak mine divides into 31 zones and Dardway mine divides into 22 zones. Thus, in each mine, 4 zones have been selected for sampling and recording of drilling speed. Uniaxial compressive strength, point load strength, density and porosity of each sample have been determined. Moreover, texture, Mohs Hardness, Schmidt hardness, spacing, slope and filling of the joints have been determined in all zones. Since one of an important parameters in RDi classification system is uniaxial compressive strength and determination of this parameter for all 53 zones is so expensive, so in this study Schmidt hardness at first has been determined for all zones and then after making relationship between uniaxial compressive strength and Schmidt hammer and between point load strength and Schmidt hammer in 4 selective zones in each mines, it was obtained that correlation coefficient between point load strength and Schmidt hammer in both mines are higher than correlation coefficient between uniaxial compressive strength and Schmidt hammer in determined zones. By relationship between point load strength and Schmidt hammer, compressive strength of all zones that is one of the input parameters of RDi classification system, has been calculated. Moreover, after calculation of the Rock Drillability Index (RDi) and recoding the drilling speed in selective zones, relation between RDi and drilling speed in each mine has been obtained separately. Finally, after calculation of the RDi for all zones and by relation between RDi and drilling speed, speed in all zones of both mines has been obtained. According to the results, drilling speed can be determined before drilling by RDi classification

system in terms of quality and quantity and by information of each zone condition, drilling should be started.

Keywords: Rock mass engineering classification, Drillability, Sangan iron mines.



Shahrood University of Technology
Faculty of Mining Engineering, Petroleum and Geophysics

Evaluation of Sangan iron mines drillability by rock mass classification

Reza Farkhari

Supervisors:

Dr. Hossein Mirzaii Nasirabad

Dr. Farhang Sereshki

Advisors:

Abdorraoof Mashhoor

**Thesis Submitted in Partial Fulfillment of the
Requirements for the Degree of Master of Science (M.Sc.)**

In

Mining engineering

September 2012